РЕДАКЦИОННАЯ КОЛЛЕГИЯ

Главный редактор:

Шубинский Игорь Борисович – доктор технических наук, профессор, эксперт Научного совета при Совете Безопасности РФ, генеральный директор ЗАО «ИБТранс» (Москва, Россия)

Заместители главного редактора:

Шебе Хендрик – доктор естественных наук, главный эксперт по надежности, эксплуатационной готовности, ремонтопригодности и безопасности, TÜV Rheinland InterTraffic (Кёльн, Германия)

Ястребенецкий Михаил Анисимович — доктор технических наук, профессор, начальник отдела Национальной академии наук Украины «Государственный научно-технический центр ядерной и радиационной безопасности» (Харьков, Украина)

Ответственный секретарь:

Замышляев Алексей Михайлович – доктор технических наук, заместитель Генерального директора АО «НИИАС» (Москва, Россия)

Технический редактор:

Новожилов Евгений Олегович – кандидат технических наук, начальник отдела АО «НИИАС» (Москва, Россия)

Председатель редакционного совета:

Розенберг Игорь Наумович – доктор технических наук, профессор, Генеральный директор АО «НИИАС» (Москва, Россия)

Сопредседатель редакционного совета:

Махутов Николай Андреевич — доктор технических наук, профессор, член — корреспондент РАН, главный научный сотрудник Института машиноведения им. А.А. Благонравова, председатель Рабочей группы при Президенте РАН по анализу риска и проблем безопасности (Москва, Россия)

РЕДАКЦИОННЫЙ СОВЕТ:

Аврамович Зоран Ж. – доктор технических наук, профессор, профессор Института транспорта Университета г. Белград (Белград, Сербия)

Баранов Леонид Аврамович – доктор технических наук, профессор, заведующий кафедрой «Управления и защиты информации» Российского университета транспорта (МИИТ) (Москва, Россия)

Бочков Александр Владимирович — кандидат технических наук, заместитель начальника отдела анализа и ранжирования объектов контроля Управления «Аналитический центр», ООО «Газпром газнадзор» (Москва, Россия)

Бочков Константин Афанасьевич – доктор технических наук, профессор, научный руководитель – заведующий НИЛ «Безопасность и ЭМС технических средств (БЭМС ТС), УО «Белорусский государственный университет транспорта» (Гомель, Белоруссия)

Гапанович Валентин Александрович — кандидат технических наук, президент НП «Объединение производителей железнодорожной техники» (Москва, Россия)

Каштанов Виктор Алексеевич – доктор физико-математических наук, профессор, профессор департамента прикладной математики Национального исследовательского университета «Высшая школа экономики» (Москва, Россия)

Климов Сергей Михайлович – доктор технических наук, профессор, начальник управления 4 Центрального научно-исследовательского института Министерства обороны РФ (Москва, Россия)

Кофанов Юрий Николаевич – доктор технических наук, профессор, профессор Московского института электроники и математики Национального исследовательского университета «Высшая школа экономики» (Москва, Россия)

Кришнамурти Ачьтха – доктор физико-математических наук, профессор, почетный профессор Департамента математики Университета науки и технологий (Кочин, Индия)

Лецкий Эдуард Константинович — доктор технических наук, профессор, заведующий кафедрой «Автоматизированные системы управления» Российского университета транспорта (МИИТ) (Москва, Россия)

Нетес Виктор Александрович – доктор технических наук, профессор ФГБОУ ВО «Московский технический университет связи и информатики» (МТУСИ) (Москва, Россия)

Папич Любиша – доктор технических наук, профессор, директор Исследовательского центра по управлению качеством и надёжностью (DQM), (Приевор, Сербия)

Поляк Роман А. – доктор физико-математических наук, профессор, приглашенный профессор Школы математических наук технологического Университета Технион (Хайфа, Израиль)

Соколов Борис Владимирович — доктор технических наук, профессор, заместитель директора по научной работе Санкт-Петербургского института информатики и автоматизации Российской академии наук (СПИИРАН), (Санкт-Петербург, Россия)

Уткин Лев Владимирович — доктор технических наук, профессор, заведующий кафедры «Телематика» (при ЦНИИ РТК) Санкт-Петербургского политехнического университета Петра Великого (Санкт-Петербург, Россия)

Юркевич Евгений Викторович – доктор технических наук, профессор, Главный научный сотрудник лаборатории Технической диагностики и отказоустойчивости ИПУ РАН. (Москва, Россия)

УЧРЕДИТЕЛЬ ЖУРНАЛА:

ООО «Журнал «Надежность»

Зарегистрирован в Министерстве Российской Федерации по делам печати, телерадиовещания и средств массовых коммуникаций. Регистрационное свидетельство ПИ № 77-9782 от 11 сентября 2001 года.

Официальный печатный орган Российской академии надежности Издатель журнала ООО «Журнал «Надежность» Генеральный директор

Дубровская А.З.
Адрес: 109029, г. Москва,
ул. Нижегородская, д. 27, стр. 1, оф. 209
ООО «Журнал «Надежность»
www.dependability.ru
Отпечатано в ОАО «Областная типография
«Печатный двор». 432049, г. Ульяновск,
ул. Пушкарева, 27.

Подписано в печать 08.06.2019 Объем , Тираж 500 экз, Заказ № Формат 60х90/8, Бумага глянец

Статьи рецензируются.
Статьи опубликованы в авторской редакции.
Мнение членов редакционного совета может не совпадать с точкой зрения авторов публикаций.
Перепечатка материалов допускается только с письменного разрешения редакции. Рукописи не возвращаются.

ЖУРНАЛ ИЗДАЕТСЯ ПРИ УЧАСТИИ И ПОДДЕРЖКЕ АКЦИОНЕРНОГО ОБЩЕСТВА «НАУЧНО-ИССЛЕДОВАТЕЛЬСКИЙ И ПРОЕКТНО-КОНСТРУКТОРСКИЙ ИНСТИТУТ ИНФОРМАТИЗАЦИИ, АВТОМАТИЗАЦИИ И СВЯЗИ НА ЖЕЛЕЗНОДОРОЖНОМ ТРАНСПОРТЕ» (АО «НИИАС») И ООО «ИЗДАТЕЛЬСКИЙ ДОМ «ТЕХНОЛОГИИ»

СОДЕРЖАНИЕ

Структурная надежность. Теория и практика	
Геча В.Я., Барбул Р.Н., Сидняев Н.И., Бутенко Ю.И. Методология оценки	
надежности космических аппаратов при проектной и конструкторской проработке .	3
Антонов А.В., Чепурко В.А., Черняев А.Н. Исследование модели учета	_
отказов по общей причине бета-фактора	9
Михайлов В.С. Оценка гамма-процентного срока для биномиального плана испыт	аний18
Функциональная надежность. Теория и практика	
Иванов А.И., Куприянов Е.Н., Туреев С.В. Нейросетевое обобщение класси-	
ческих статистических критериев для обработки малых выборок биометрических д	анных 22
Розенберг Е.Н., Коровин А.С., Пенькова Н.Г. Модель оценки эффективности	
диагностических средств в бортовых устройствах	28
Функциональная безопасность и живучесть. Теория и практика	
Баранов Л.А., Кульба В.В., Шелков А.Б., Сомов Д.С. Индикаторный подход	
в управлении безопасностью объектов инфраструктуры железнодорожного трансп	орта33
Ефимов В.В. К вопросу о терминологии живучести авиационных конструкций	42
Управление рисками. Теория и практика	
Попов В.Г., Сухов Ф.И., Боландова Ю.К. Экономическая оценка аварийного	
риска воздействия природных чрезвычайных ситуаций при движении поездов	48
Гнеденко – Форум	54

Методология оценки надежности космических аппаратов при проектной и конструкторской проработке

Владимир Я. Геча, Акционерное общество «Научно-производственная корпорация «Космические системы мониторинга, информационно-управляющие и электромеханические комплексы» имени А.Г. Иосифьяна», Российская Федерация, Москва

Руслан Н. Барбул, Акционерное общество «Научно-производственная корпорация «Космические системы мониторинга, информационно-управляющие и электромеханические комплексы» имени А.Г. Иосифьяна», Российская Федерация, Москва

Николай И. Сидняев, Московский государственный технический университет им. Н.Э. Баумана, Российская Федерация, Москва

Юлия И. Бутенко, Московский государственный технический университет им. Н.Э. Баумана, Российская Федерация, Москва



Владимир Я. Геча



Руслан Н. Барбул



Николай И. Сидняев



Юлия И. Бутенко

Резюме. В статье рассматриваются вопросы экслуатационной надежности космических систем (КС), эффективности сложных многоцепочных систем, использования резервирования при конструировании космических аппаратов (КА). Представлены методики прогнозирования надежности создаваемых устройств, проектирование устройств с заданной надежностью и сравнение надежности различных КС. С этой целью излагаются фундаментальные вопросы из теории надежности для проектирования КС, методы сбора и обработки данных о надежности аппаратуры по результатам эксплуатации и специальных испытаний на надежность. Разработаны методы, математические модели и проведен анализ структуры аппаратуры на этапе проектирования и при изготовлении. Приведены расчетные соотношения при различных видах резервирования в испытаниях, продления сроков эксплуатации блоков КА, основа которых - методология оценки остаточного ресурса. Систематизированы и изучены существующие методы анализа надежности. Изложены проблемы неопределенности информации по входным данным при расчетах классическими методами. Изучено влияние отклонения внешних воздействий от номинальных значений, непостоянность интенсивности отказов, нелинейный характер влияния внешних факторов нанадежность. Исследован характер влияния внешних факторов на надежность и степень учета факторов в существующих методах. Отмечено, что качественные, организационно-технические (конструктивные и программные) требования по надежности, задаваемые в ТЗ для каждой стадии создания элементов КС в целом, должны выполняться и подтверждаться на соответствующей стадии работ. Представлены методики оценки ресурса технических объектов, среди которых важное место занимают методики, основанные на физических предпосылках расходования ресурса. Отмечена важность экономического аспекта исследования проблемы продления сроков эксплуатации КС.

Ключевые слова: надежность, методики, ресурс, проектирование, космический аппарат, оценка ресурса.

Формат цитирования: Геча В.Я., Барбул Р.Н., Сидняев Н.И., Бутенко Ю.И. Методология оценки надежности космических аппаратов при проектной и конструкторской проработке // Надежность. 2019. №2. С. 3-8. DOI: 10.21683/1729-2646-2019-19-2-3-8

Введение

Стадии проектирования, начиная с разработки технического задания на систему и кончая выпуском технической документации на опытное производство, являются ключевыми в общей проблеме обеспечения надежности космического аппарата (КА). Важной работой, регламентирующей взаимоотношения всех участников разработки КА, является обоснование программы обеспечения надежности (ПОН) изделия в целом, его составных частей и элементов, а также выработка и согласование порядка подтверждения требований по надежности на всех стадиях создания [1-4]. С этой целью используют модели ПОН, типовые ПОН и модели (процедуры) подтверждения надежности. После выбора основных проектных, схемных и конструкторско-технологических решений перед окончательным оформлением проекта службой надежности предприятия совместно с подразделениямиразработчиками осуществляется оценка (экспертиза) результатов проектирования с позиций обеспечения надежности и корректировка принятых решений [5-8].

КА представляет собой сложный многокомпонентный комплекс, содержащий в себе как аппаратные, так и программные средства [9-12]. Соответственно, возникает необходимость оперативного контроля их характеристик и анализа состояния в процессе эксплуатации. Надежность является одной из важнейших характеристик технической системы [3]. Согласно ГОСТ, под надежностью принято понимать свойство объекта сохранять во времени в установленных пределах значения всех параметров, характеризующих способность выполнять требуемые функции в заданных режимах и условиях эксплуатации, технического обслуживания, ремонта, хранения и транспортирования [4]. Поскольку КА имеет сложную структуру (а, следовательно, и сложный характер взаимосвязей между отдельными компонентами), усложняется и сам процесс получения численных значений показателей надежности [5-8].

Методологические аспекты и цели поставленной задачи

Для предупреждения и выявления отказов конструктивного, производственного и эксплуатационного характера и защиты от их последствий элементов системы применяют различные методы и средства. Если в результате предварительных исследований эффективности системы определен объем потребности в данном виде изделий и требуемый уровень гарантии выполнения задач при их применении, тогда минимально необходимый уровень надежности изделий можно определить однозначно в результате оценки и минимизации суммарных затрат ресурсов на создание и применение, т. е. на выполнение программы в целом [6, 7].

Разработка системы ограниченного применения (десятки образцов). В этом случае приходится учитывать все составляющие суммарных затрат: затраты на разработку системы, на изготовление и на эксплуатацию всего парка изделий, обеспечивающих выполнение задача не менее $N_{\rm тp}$ раз (потребное количество изделий) с гарантией не ниже $\gamma_{\rm тp}$ [9-12]. Задание требований по надежности системы и ее элементов включает:

- выбор номенклатуры показателей надежности;
- нормирование надежности (установление требуемых количественных значений показателей надежности элементов системы);
- нормирование доверительных вероятностей или средних квадратичных отклонений, с которыми нормативные значения показателей надежности системы должны быть подтверждены к моменту завершения государственных испытаний;
- формирование для элементов системы организационных и технических требований по обеспечению надежности;
- установление порядка подтверждения требования по надежности по стадиям создания элементов системы.

В общей постановке задача нормирования надежности формулируется следующим образом [8, 9, 13].

Пусть КА состоит из N элементов, объединенных определенной структурой и выполняющих определенные функции. При этом известны [9, 10, 14]: вид совместной плотности распределения моментов отказов элементов КА (τ_i) , $f_s \left\{ \tau_i ; i = \overline{1,N} \right\}$; требуемое значение (или ряд значений) показателя надежности системы P; функции связи надежности и рассматриваемых факторов $\phi_i \left\{ P_i ; i = \overline{1,N}, \Phi_v, v = \overline{1,S} \right\}$, $l = \overline{1,L}$; функции распределения времени безотказной работы составных частей $F_i = P_i \left\{ f \left(\tau_i \right) \right\}$, $i = \overline{1,N}$; целевая функция (функционал) $g = g \left\{ P_i, i = 1, N \right\}$, где P_i — точечное значение оценки надежности i-го элемента; Φ_v — рассматриваемый v-й фактор; S — число рассматриваемых факторов; L — число функций связи.

Необходимо найти такие значения надежности элементов, которые оптимизируют целевую функцию g[1, 9].

Если необходимо спроектировать КА с минимальной стоимостью или массой, то в качестве целевой функции выбирают стоимость или массу $g = C, C = C\left\{P_i, i = \overline{1, N}\right\}$, или $g = M, M = M\left\{P_i, i = \overline{1, N}\right\}$.

В процессе решения отыскивают вектор $P = \{P_1, P_2, \dots, P_i, \dots P_N\}$, минимизирующий C или M, т. е. $C(\overline{P}) = \min C(\overline{P}); \overline{P} = \{P_1, P_2, \dots, P_i, \dots P_N\}$, или $M(\overline{P}) = \min M(\overline{P}); \overline{P} = \{P_1, P_2, \dots, P_i, \dots P_N\}$ при $\Phi(P) \geq \Phi_0$. Если ставится задача максимизации функции $\Phi(P)$ при заданных ограничениях на стоимость (или массу), то $g = \Phi; \Phi = \Phi \left\{P_i, i = \overline{1, N}\right\}$. Решают задачу отыскания вектора P, максимизирующего $\Phi(\overline{P})$, т. е. $\Phi(\overline{P}) = \max \Phi(P)$ при $C(\overline{P}) \leq C_0$, или $\Phi(\overline{P}) = \max \Phi(P)$ при $M(\overline{P}) \leq M_0$. Часто нормирование производят при условии не только выполнения требований по надежности системы, но и требований по безопасности. Тогда задачу решают, используя в качестве функции $\Phi(\overline{P})$ функцию безопасности, т. е. $B = \Phi(\overline{P})$, а затем проверяют условие $B = \Phi(\overline{P}) \geq P_B$. Если оно выполняется, то решение зада-

чи окончено, если не выполняется, то решение задачи продолжают, начиная с вектора $P = \overline{P}_{B'}$ т. е. вектора, удовлетворяющего решению на первом этапе.

Методы конкретной реализации задач

При создании изделий космической техники, не имеющих аналогов и прототипов, вместо жестких нормативных значений показателей надежности разрабатывают алгоритмы и методики задания и нормирования количественных требований по надежности, учитывающие специфику использования КА и элементов [15, 16], а также реальные ограничения.

Рассмотрим область применения вероятностных показателей надежности как основы для обеспечения гарантий в зависимости от объема программы применения КА [4, 5, 7]. Пусть целью единичной программы создания и применения спутника одноразового использования является удовлетворение потребности в $N_{\scriptscriptstyle {
m TD}}$ таких изделий. Необходимое время работы спутников задано, в качестве показателя надежности изделия используется вероятность безотказной работы R. Известна зависимость уровня надежности изделия от затрат в рамках программы обеспечения надежности $R = R_1 R_2 R_3$, где $R_1 = 1 - (1 - R_{10}) \exp \left[-\alpha_1 \left(C_1 - C_{10} \right) \right]$ – составляющая надежности, учитывающая влияние отказов комплектующих изделий с учетом резервирования; $R_2 = 1 - (1 - R_{20}) \exp \left[-\alpha_2 (C_2 - C_{20}) \right]$ - составляющая надежности, учитывающая уровень производства и контроля готовой продукции; $R_3 = 1 - \left(1 - R_{30}\right) \exp\left[-\alpha_3 \left(N_{\text{от}} - N_{\text{от0}}\right)\right] - \cos$ тавляющая надежности, учитывающая уровень отработанности; R_{10} , R_{20} , R_{30} – начальные (минимальные) уровни составляющих R_1 , R_2 , R_3 , соответствующие минимальным реализуемым затратам $C_{10},\,C_{20},\,N_{\rm or0}$ средств $C_{1},\,C_{2}$ и изделий $N_{\mbox{\tiny or}}$, затраченных на экспериментальную отработку; $\alpha_{\mbox{\tiny l}}$, $\alpha_{2}, \, \alpha_{3}$ – параметры, определяющие темп роста составляющих показателя R при увеличении затрат.

Возможные варианты решений и стратегий строятся с учетом того, что обеспечить достижение поставленной цели можно как за счет увеличения расхода средств на обеспечение более высокого уровня надежности каждого образца, так и за счет расширения программы изготовления изделий [14].

Так как при изготовлении N КА число КА N_{y} , успешно выполнивших свою задачу, случайно, речь может идти об обеспечении практической гарантии с уровнем γ , где $\gamma = P\left\{N_{y} \geq N_{\tau p}\right\}$. Каждое решение задается вектором составляющих R_{1} , R_{2} , R_{3} или соответствующих затрат C_{1} , C_{2} , N_{or} , что однозначно определяет уровень R. Для заданных γ и $N_{\tau p}$ с учетом известного R однозначно можно определить число изготовляемых КА $N_{\Gamma} = f\left(N_{\tau p}, \beta, R\right)$, гарантирующих успешную реализацию программы. Суммарные затраты на реализацию программы C_{Σ} могут быть определены на основе зависимости $C_{\Sigma} = \left(C_{1} + C_{2}\right)\left(N_{\text{от}} + N_{\Gamma}\right)$. Смысл рациональности

(оптимальности) принимаемого решения при задании необходимого уровня надежности изделия и выделении средств на обеспечение надежности заключается в минимизации суммарных затрат разработку и изготовление необходимого количества КА [11, 15], гарантирующего успешную работу $N_{\rm y} \geq N_{\rm Tp}$ изделий. В качестве множества исходов используем пространство элементарных событий. Каждое из элементарных событий ω_i состоит в том, что в результате применения N КА произошло ровно $N_{\rm y}=i$ успехов. С точки зрения достижения поставленной цели все множество исходов W можно разделить на два подмножества W_1 и W_2 такие, что

$$\forall (i = 0, 1, ..., N)(w_i \in W_1) \leftrightarrow (i \ge N_{\text{rp}});$$

$$\forall \left(i = 0, 1, ..., N\right) \left(w_i \in W_2\right) \longleftrightarrow \left(i < N_{\text{\tiny TD}}\right).$$

С учетом этого вероятность события $w_i \leftrightarrow \{N_y = i\}$ при известной вероятности безотказной работы КА определяют по формуле [4]:

$$P\left\{w_{i}\right\} = C_{N}^{i}R^{i}\left(1 - R\right)^{N - i}.$$

Эта формула задает вероятностную меру на пространстве W. Событие W_1 является объединением всех ω_i при $i\!\geq\!N_{\rm rp}$, поэтому его вероятность определяется как сумма вероятностей этих элементарных событий

$$P\left\{W_{1}\right\} = \sum_{i=N_{m}}^{N} C_{N}^{i} R^{i} \left(1-R\right)^{N-i}.$$

Эта вероятность и дает уровень практической гарантии успешного выполнения программы. Для обеспечения заданного уровня гарантии у при известных значениях R и $N_{\scriptscriptstyle {\rm TD}}$ можем увеличивать N и этим самым заново определять пространство W_1 до тех пор, пока не добьемся выполнения условия $P\{W_1\} \ge \gamma$ [2]. При этом величина N и будет равна искомому значению N_{Γ} . Таким образом, получим возможные пути построения функционального соответствия $\phi: R \to N$. Если множество *R* принять за пространство стратегий, среди которых необходимо выбрать значение $R_{\rm on}$, обеспечивающее минимум суммарных затрат на про реализацию программы $C_{\Sigma \min}$, соответствие ϕ решает часть задачи: для каждого R определяет N_{Γ} . Решение усложняется тем, что надежность R может быть обеспечена различными сочетаниями составляющих R_1, R_2, R_3 . В каждом частном случае может быть поставлена и решена задача вспомогательной оптимизации, например, найти вектор R_1, R_2 , обеспечивающий $R' = R_1 R_2$ при минимуме стоимости $C = C_1 + C_2$. Описание процедуры поиска экстремума приведено в работах [2, 9] в составе программы, определяющей зависимость удельных затрат $C_{yz} = C_{\Sigma}/N_{\tau p}$ и удельных нормированных затрат $C_{y_{\rm JLH}} = C_{y_{\rm JL}} / C_{0}^{7}$, где $C_0 = C_{10} + C_{20}$, от объема потребности $N_{\rm TD}$ для конкретных вариантов исходных данных [11]. Кроме этого, по результатам вычислений может быть определена доля

затрат на компенсацию статистической неустойчивости результата относительно математического ожидания

$$\Delta C_{\gamma} = \frac{C}{C_{\Sigma}} \left(N_{\Gamma} - \frac{N_{\text{TP}}}{R} \right),$$

а также доля затрат на обеспечение надежности

$$\Delta C_R = 1 - \Delta C_{\gamma} - \frac{C_0}{C_{\Sigma}} \left(N_{\text{Tp}} + N_{\text{OTO}} \right).$$

Анализ последних двух формул позволяет выделить области значений массовости продукции с различными возможностями использования вероятностных требований в качестве основы для обеспечения гарантии успеха [1, 4, 12]. Для изделий массового производства $(N_{\rm rn} > 10^3)$ дополнительные затраты на обеспечение гарантированного результата, компенсирующие статистическую неустойчивость случайных явлений относительно средних, составляют единицы процентов от суммарной стоимости программы и незначительную часть суммарных расходов на программу обеспечения надежности. Для изделий серийного производства $(N_{\rm rp} > 10^2)$ затраты на компенсацию неустойчивости составляют до 10% суммарных расходов и порядка 20% расходов по программе обеспечения надежности. Для изделий мелкосерийного производства $(N_{\scriptscriptstyle {
m TD}}$ – десятки) затраты на компенсацию неустойчивости составляют до 25% суммарных расходов и до 50% стоимости ПОН. Наконец, для уникальных изделий ($N_{\mbox{\tiny тр}}-$ единицы) затраты на компенсацию статистической неустойчивости путем увеличения объема программы изготовления могут в несколько раз превышать первоначально планируемую стоимость программы, что является явно неприемлемым путем обеспечения гарантированного результата. Результаты анализа показывают возможности использования явления стохастического детерминизма для обеспечения гарантий. В условиях рассмотренного выше примера зависимость достигнутого уровня надежности изделия от затрачиваемых средств предполагается заданной в виде функционального соответствия $\phi: C \to R$ со свойствами:

$$\forall (s_i, s_j \in S) \exists (w_i = \phi(s_i), w_j = \phi(s_j)) : [w_i, R_w, w_j] \rightarrow [s_i R_s s_j],$$

что позволяет однозначно находить наилучшую стратегию распределения затрат, обеспечивающую максимум показателя R с точностью до задания допустимой ошибки процедуры поиска экстремума.

Единственный вид учитываемой неопределенности заключен в неоднозначности функционального соответствия, т. е. в случайности числа успехов. Принцип гарантированного результата позволяет устранить эту неоднозначность путем введения уровня практической гарантии и построения области $f: R \times N \to N_{\Gamma}$.

Следующий шаг приближения постановки задачи к реальной жизни состоит в учете неоднозначности соответствия $\phi: C \to R$, которое в достаточно общем случае может быть задано совместным распределением констант, входящих в соотношения. Последовательное применение принципа гарантированного результата

основано на построении доверительного интервала $[\underline{R}(C),1]$ с уровнем практической гарантии обеспечения γ_{o6} . Причем практическая гарантия успешной реализации программы γ зависит теперь как от гарантии обеспечения γ_{o6} , так и от гарантии успешного применения γ_{np} : $\gamma = \gamma_{o6} \gamma_{np}$. При такой постановке задачи становится актуальным исследование вопроса о целесообразности использования стратегии экспериментального подтверждения достигнутого уровня надежности [2].

Пусть с целью подтверждения некоторого уровня надежности R_n планируется испытать n KA. Результаты каждого исхода испытаний $\{n, m\}$, где m — число успешных испытаний, случайны и в предположении независимости исходов имеют вероятности

$$P\{n,m\} = \binom{n}{m} R_{oo}^{n-m} \left(1 - R_{oo}\right)^{m},$$

где $R_{\rm of}$ — уровень обеспеченной надежности. Для каждого исхода $\{n, m\}$ можно построить условную плотность байесовской оценки подтвержденного уровня надежности R_n

$$\phi_{\text{yen}}(R_{n}/n, m) = \frac{R_{n}^{n-m} (1 - R_{n})^{m} \phi(R_{n})}{\int_{0}^{1} R_{n}^{n-m} (1 - R_{n})^{m} \phi(R_{n}) dR_{n}}.$$

Средневзвешенная условная плотность распределения оценки подтвержденного уровня надежности будет:

$$\overline{\phi}_{ycn}(R_n) = (n+1)! \, n! \times R_{o6}^{n-m} (1-R_{o6})^m R_n^{n-m} \times \sum \frac{(1-R_n)^m}{(m!)^2 \left[(n-m)! \right]^2}.$$

Используя эту зависимость, можно получить функциональное соответствие $\phi: R_{o6} \times n \times R_n \to \gamma_n$. Для подтверждения уровня R_n при испытаниях n изделий с надежностью R_{o6} целесообразно использовать зависимость вила:

$$\gamma_{n} = (n+1) \sum_{m=0}^{n} R_{oo}^{n-m} (1 - R_{oo})^{m} \left[\frac{n}{m!(n-m)!} \right]_{R_{n}}^{1} z^{n-m} (1-z)^{m} dz.$$

При больших n (порядка 20 и более) и $m \ge 1$ вычисление у можно упростить, используя нормальную аппроксимацию апостериорной плотности распределения с дисперсией $\sigma^2 = R_{ob} (1 - R_{ob}) / n$. Так, например, результаты решения задачи выбора оптимальных значений R_{00} $n, \gamma_{\rm m}, C, N_{\rm p}$ для уровня гарантии $\gamma = 0.9$ для различных объемов программы применений изделий свидетельствуют о недостаточной эффективности использования только вероятностных показателей для планирования программ создания уникальных изделий. В то же время для программ с объемом применения изделий более сотни для обеспечения гарантии 0,9 оптимальная доля затрат на подтверждение надежности составляет 10%, 5% и 2% полных затрат для объема применения 100, 500 и 2000 шт. соответственно; при этом разница между обеспеченным и подтвержденным уровнем гарантии снижается от 0,15 до 0,06.

Расчеты показывают, что подтверждение надежности более эффективно при больших объемах программ применения. При малых объемах программы целесообразнее расходовать средства на обеспечение надежности. Вид зависимости $R_{\rm of} = f(C)$ определяется на основе опыта реализации ПОН изделий-аналогов, что не исключает возможности появления новых непредвиденных проблем, типов отказов и т.п. В этих условиях целесообразной является разработка в составе ПОН эффективных защитных мероприятий, которые благодаря повышению уровня организации процесса применения КА могут обеспечить решение задачи при большем уровне начальной неопределенности.

Выводы

Предложен новый подход к анализу эксплуатационной надежности многокомпонентных космических систем (КС), позволяющий существенно улучшить и упростить решение задач анализа и контроля надежности. Одним из достоинств разработанной методики является то, что в ситуациях, когда еще не накопилось достаточно статистической информации, источником первоначальных данных для настройки модели надежности являются экспертные суждения, а в дальнейшем – используются данные, поступающие в ходе эксплуатации. Тем самым на всех стадиях жизненного цикла системы удается поддерживать модель надежности в актуальном состоянии.

Систематизированы и изучены существующие методы анализа надежности. Выявлены проблемы недостатка информации при расчетах классическими методами, игнорирование таких факторов, как влияние отклонения режима работы или внешних воздействий от номинальных значений, непостоянность интенсивности отказов, нелинейный характер влияния внешних факторов на надежность. Изучен характер влияния внешних факторов на надежность и степень учета данных факторов в существующих методах. Сформулирована задача анализа надежности. Качественные, организационнотехнические (конструктивные и программные) требования по надежности, задаваемые в ТЗ для каждой стадии создания элементов и КС в целом, должны выполняться и подтверждаться на соответствующей стадии работ. Для их подтверждения не требуется статистический эксперимент, и в этом их большое преимущество. Значительному сокращению затрат на экспериментальные исследования КА и вообще созданию высоконадежных изделий на стадиях проектно-конструкторской разработки способствуют создаваемые в отдельных отраслях ракетно-космической отрасли проектные нормы надежности - системы количественных и качественных требований и правил, выполнение которых обязательно при разработке КА. Следует при этом отметить, что предлагаемый метод оценки рассмотрен только для изделий космической техники в составе КС, который может послужить отправной точкой для разработки

частных методик оценки экономической эффективности продления сроков эксплуатации конкретных типов и видов космической техники.

Библиографический список

- 1. **Гнеденко Б.В.** Математические методы в теории надежности [Текст] / Б.В. Гнеденко, Ю.К. Беляев, А.Д. Соловьев. М.: Наука, 1965. 524 с.
- 2. Сидняев Н.И. Теория планирования эксперимента и анализ статистических данных: учебное пособие [Текст] / Н.И. Сидняев. М.: Издательство Юрайт, ИД Юрайт, 2011. 399 с.
- 3. Морозов Д.В., Чермошенцев С.Ф. Методика повышения надежности функционирования системы управления беспилотного летательного аппарата в полете при возникновении отказа в бортовой контрольнопроверочной аппаратуре [Текст] // Надежность. -2019; -N219(1). -C.30-35.
- 4. Сидняев Н.И. Модели и методы оценки остаточного ресурса изделий радиоэлектроники [Текст] / Н.И. Сидняев, Г.С. Садыхов, В.П. Савченко М.: Издательство МГТУ им. Н.Э. Баумана, 2015. –382 с.
- 5. **Morris S.F.** Use and application of MIL-HDBK-217 [Text] / S.F. Morris // Solid Slate Technology. 1990. Vol. 33. No. 6. Pp. 65-69.
- 6. Сидняев Н.И. Математическое моделирование оценки надежности объектов сложных технических систем [Текст] / Н.И. Сидняев. // Проблемы машиностроения и надежности машин. -2003. № 4. C.24-31.
- 7. **Brennom T.R.** Should us MIL-HDBK-217 be 8888 [Text] / T.R. Brennom // IEEE Trans. Reliab. 1988. Vol. 37. No. 5. Pp. 474-475.
- 8. Сидняев Н.И. Обзор и исследование физики отказов для оценки показателей надежности радиоэлектронных приборов современных РЛС [Текст] / Н.И. Сидняев // Физические основы приборостроения. 2017. Т. 6. № 2(23). С. 4-52.
- 9. **Барлоу Р.** Математическая теория надежности [Текст] /Р. Барлоу, Ф. Прошан. М.: Советское радио, 1969. 488 с.
- 10. РД 50-690-89. Методические указания. Надежность в технике. Методы оценки показателей надежности по экспериментальным данным [Текст]. Введ. 1991-01-01. М.: Гос. комитет СССР по управлению качеством продукции и стандартам, 1990.
- 11. Сидняев Н.И. Факторы космической погоды, влияющие на бортовые элементы низкоорбитальных космических аппаратов [Текст] / Н.И. Сидняев, Л.А. Макриденко, В.Я. Геча, В.Н. Онуфриев / Вопросы электромеханики. Труды ВНИИЭМ. Труды Четвертой международной научно-технической конференции «Актуальные проблемы создания космических систем дистанционного зондирования Земли». М.: АО «Корпорация «ВНИИЭМ», 2016. С. 90-10.
- 12. Похабов Ю.П. Что понимать под расчетом надежности уникальных высокоответственных систем при-

менительно к механизмам одноразового срабатывания космических аппаратов [Текст] // Надежность. -2018; $-N_24$. -C.28-35.

- 13. Антонов С.Г., Климов С.М. Методика оценки рисков нарушения устойчивости функционирования программно-аппаратных комплексов в условиях информационно-технических воздействий [Текст] // Надежность. -2017. -№17(1). -C.32-39.
- 14. Сидняев Н.И. О современных подходах развития теории эффективности космических систем [Текст] / Н.И. Сидняев, В.Я. Геча, Р.Н. Барбул / Системы управления полным жизненным циклом высокотехнологичной продукции в машиностроении: новые источники роста: Всероссийская научно-практическая конференция (Москва, 18 апреля 2018 г.): материалы конференции / Московский государственный технический университет имени Н.Э. Баумана (национальный исследовательский университет). М.: Издательство МГТУ им. Н.Э. Баумана, 2018. С. 69-75.
- 15. Климов С.М., Поликарпов С.В., Федченко А.В. Методика повышения отказоустойчивости сетей спутниковой связи в условиях информационно-технических воздействий [Текст] // Надежность. 2017. N017(3). C.32-40.
- 16. **Колобов А.Ю., Дикун Е.В.** Интервальные оценки безотказности единичных космических аппаратов [Текст] // Надежность. 2017. №17(4). С.31-35.

Сведения об авторах

Владимир Я. Геча — доктор технических наук, профессор, заместитель генерального директора, Акционерное общество «Научно-производственная корпорация «Космические системы мониторинга, информационноуправляющие и электромеханические комплексы» имени А.Г. Иосифьяна», Российская Федерация, Москва, e-mail: vniiem@orc.ru, vniiem@vniiem.ru

Руслан Н. Барбул — старший научный сотрудник, заместитель генерального директора по качеству и надежности, Акционерное общество «Научнопроизводственная корпорация «Космические системы мониторинга, информационно-управляющие и электромеханические комплексы» имени А.Г. Иосифьяна», Российская Федерация, Москва, e-mail: vniiem@orc.ru, vniiem@vniiem.ru

Николай И. Сидняев – доктор технических наук, профессор, заведующий кафедрой, Московский государственный технический университет им. Н.Э. Баумана, Российская Федерация, Москва, e-mail: Sidn ni@mail.ru

Юлия И. Бутенко – кандидат технических наук, доцент, Московский государственный технический университет им. Н.Э. Баумана, Российская Федерация, Москва, e-mail: iuliiabutenko2015@yandex.ru

Поступила: 17.12.2018

Исследование модели учета отказов по общей причине бета-фактора

Александр В. Антонов, АНО ДПО Техническая академия Росатома, Российская Федерация, Обнинск **Валерий А. Чепурко,** АО РАСУ, Российская Федерация, Москва **Алексей Н. Черняев,** АО РАСУ, Российская Федерация, Москва



Александр В. Антонов



Валерий А. Чепурко



Алексей Н. Черняев

Резюме. Цель. Отказы по общим причинам (ООП) представляют собой зависимые отказы группы из нескольких элементов, происходящие одновременно или в течение короткого промежутка времени (т.е. почти одновременно), вследствие действия одной общей причины (например, резкое изменение климатических условий эксплуатации, затопление помещения эксплуатации и пр.). Зависимый отказ - это множественный отказ нескольких элементов системы, вероятность которого не может быть выражена просто как произведение вероятностей безусловных отказов отдельных элементов. Для расчета вероятностей ООП существуют несколько различных общепринятых моделей: модель греческих букв, альфа-, бета-фактора и различные их вариации. Наиболее простой с точки зрения моделирования зависимых отказов и проведения дальнейших расчетов надежности является модель бета-фактора. Остальные модели при моделировании подразумевают комбинаторный перебор зависимых событий в группе из п событий, который при большом числе п становится трудозатратным. В статье для выбранных структурных схем надежности подробно разобрана методика расчета вероятности отказа системы с учетом ООП для модели бета-фактора. Цель данной статьи состоит в подробном анализе методики бета-фактора для трех структурных схем надежности, в исследовании влияния параметров модели на конечный результат, в нахождении ограничений применимости модели бета-фактора. Методы. Для выполнения расчетов применялись численные методы решения уравнений, аналитические методы исследования функций. Выводы. В статье подробно разобрана методика расчета ненадежности с учетом ООП по модели бета-фактора для трех структурных схем. В первом примере для выбранной структурной схемы из п параллельных элементов с одинаковой надежностью аналитически показано, что учет ООП не обязательно приводит к увеличению ненадежности. Во втором примере с основным соединением из п элементов с одинаковой надежностью показано, что учет ООП в зависимости от значения параметров приводит как к увеличению, так и к уменьшению ненадежности. Обнаружено существование множества значений параметров модели бета-фактора, приводящих к недопустимым значениям вероятности отказа системы. Эти множества значений соответствуют относительно большим значениям параметров модели и, с практической точки зрения, в расчетах реальных систем с высоконадежными составляющими вряд ли достижимы. В третьем примере исследуется классическая схема-мостик с двумя группами ООП. Показано сложное неоднозначное влияние параметров модели бета-фактора на вероятность отказа. Как и во втором примере, обнаружены ограничение на применимость модели бета-фактора.

Ключевые слова: отказ по общей причине, отказ по всевозможным причинам, независимые отказы, зависимые отказы, несовместные события, бета-фактор, функция ненадежности.

Формат цитирования: Антонов А.В., Чепурко В.А., Черняев А.Н. Исследование модели учета отказов по общей причине бета-фактора // Надежность. 2019. №2. С. 9-17. DOI: 10.21683/1729-2646-2019-19-2-9-17

Введение

Современный анализ надежности сложных систем не обходится без учета возможности отказов по общей причине (ООП). ООП – это отказ двух или более конструкций, систем или компонентов вследствие единичного конкретного события или единичной конкретной причины [1]. Одновременный отказ двух или более конструкций, систем или компонентов вызывается определенными недостатками, заложенными в процессе проектирования или производства, ошибками при эксплуатации или в процессе технического обслуживания, которые проявляются в результате воздействия природных явлений, эксплуатационных процессов на атомной станции, действий человека или любых внутренних событий в системе контроля и управления [2]. В качестве примера можно привести блокировку ряда систем безопасности вследствие принятия неправильного решения персоналом на Чернобыльской АЭС. Существующая классификация ООП подразумевает отказы, обусловленные внутренним или внешним воздействием, отказы вследствие ошибок персонала, отказы общего вида из-за общности конструкции или условий работы.

Существует несколько вероятностных методик учета ООП: модели альфа-фактора, греческих букв, бетафактора и другие. Одна из наиболее простых – модель бета-фактора, которая рассматривает либо единичные независимые отказы элементов группы, объединенные общей причиной (ООП-группы), либо одновременный отказ всех элементов ООП-группы. Остальные модели рассматривают возможность того, что откажут произвольные подгруппы в ООП-группе. В этом случае в зависимости от модели определенным образом находится вектор параметров, соответствующих вероятности ООП подгруппы заданного объема. Поскольку модель бетафактора подразумевает ООП всей группы одновременно, она содержит единственный параметр β.

Целью данной работы является исследование того, как учет ООП, по модели бета-фактора влияет на вероятность отказа различных структурных схем. Помимо обнаружения зависимости вероятности отказа системы от параметра модели β , в каждом случае проводится анализ вероятности отказа на предмет обнаружения возможных ограничений модели.

ООП в параллельных структурах

Проанализируем надежность параллельной (резервированной) с точки зрения надежности структуры с учетом ООП. Пусть система состоит из n параллельных равнонадежных элементов с вероятностью отказа q каждый. Очевидно, что без учета ООП вероятность отказа системы будет равна q^n .

Предположим, что по общей одинаковой причине могут отказать все n элементов. В этом случае возможны будут следующие события: i_j — независимый отказ j-го элемента, C — зависимый ООП всех элементов.

Согласно предположениям модели бета-фактора, отказ любого элемента группы может произойти либо по независимой, либо по общей, одинаковой для всех элементов, причине, т.е. события i_j и C будут несовместными. При этом вероятности этих событий будут пропорциональны q — вероятности отказа элемента по всевозможным (total) причинам

$$P(C) = \beta q, P(i_j) = (1 - \beta)q, j = 1,...n.$$
 (1)

Неотрицательный коэффициент пропорциональности β зависит от множества факторов, таких, как структура системы, способ резервирования, условия эксплуатации и т. д. Обычно этот коэффициент достаточно мал и технические системы содержат высоконадежные элементы, т.е. вероятность отказа q тоже мала. В таких условиях применение модели бета-фактора обычно не приводит к парадоксальным или даже невозможным результатам. При относительно больших значениях β и q вполне возможно их получить.

Логическая функция работоспособности с учетом ООП будет выглядеть следующим образом:

$$Y_s = \overline{(i_1 \wedge i_2 \wedge \ldots \wedge i_n) \vee C},$$

вероятность отказа $Q(Y_s)$ будет определяться выражением

$$Q(Y_s) = 1 - P(Y_s) =$$

$$= P(i_1 \wedge i_2 \wedge ... \wedge i_n) + P(C) = ((1 - \beta)q)^n + \beta q.$$
 (2)

Исследуем (2) на предмет выявления возможных проблем с проводимыми расчетами.

Поскольку $0 \le (1-\beta)q \le 1$, то $((1-\beta)q)^n \le (1-\beta)q$. Следовательно, вероятность отказа (2) не будет превышать единицы. Т.е. условие нормировки для параллельной структуры будет выполнено.

Проверим общепринятое мнение о том, что учет ООП в резервируемых структурах приводит к увеличению вероятности отказа системы. Для этого определим значения параметров модели ООП, при которых достигается относительное увеличение надежности системы с параллельной структурой при учете ООП. Для увеличения надежности, очевидно, должно выполняться требование

$$Q(Y_s) = ((1-\beta)q)^n + \beta q < q^n.$$

После упрощения получаем условие:

$$\left(\frac{\beta}{1 - (1 - \beta)^n}\right)^{\frac{1}{n - 1}} = q_{\beta, n} < q.$$
 (3)

При выполнении (3) надежность параллельной структуры, рассчитанная с учетом ООП, будет выше надежности без такого учета. На рисунке 1 приведены

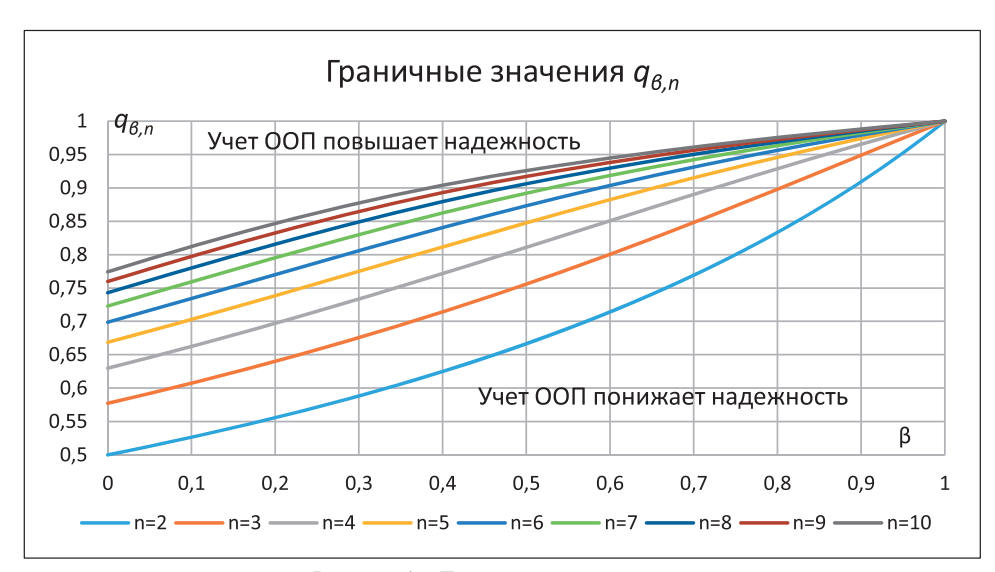


Рисунок 1 — Граничные значения q_{8n}

графики зависимости функции $q_{\beta,n}$ от параметра β при различных n.

Предположим, что параметр $\beta>0$. Тогда, если вероятность по всевозможным причинам q будет меньше граничной $q_{\beta,n}$, то учет ООП приведет к уменьшению надежности резервируемой системы. Этот эффект обычно и ожидается в качестве естественной реакции модели бета-фактора на учет ООП. В том случае, если $q=q_{\beta,n}$, учет ООП приведет, как ни странно, к увеличению надежности системы. Возьмем, к примеру, $\beta=1/4$, q=3/4, n=2. Вероятности отказов с учетом и без учета ООП будут равны $\left((1-\beta)q\right)^n+\beta q=\frac{129}{256}$ и $q^n=\frac{9}{16}=\frac{144}{256}$ соответственно.

Чтобы разобраться с этим эффектом, рассмотрим крайнюю ситуацию. Предположим, что q=1, т.е. вероятность отказа одного элемента по всевозможным причинам равна 1. В этом случае вероятность отказа без учета ООП будет также равна 1. В случае если $n \ge 2$ и $\beta \in (0,1)$, учет ООП приведет к следующему результату

$$(1-\beta)^n + \beta < 1.$$

Вероятности одного независимого отказа и ООП любого элемента будут равны, соответственно, $(1-\beta)u\beta$. Получается, что единичную вероятность отказа модель бета-фактора разложила на две составляющие, обусловленные причиной отказа. Если бы система состояла из одного элемента, то никакого уменьшения вероятности не произошло бы: $(1-\beta)+\beta=1$. Для резервированной структуры произошло уменьшение вероятности отказа, вызванное «жесткостью» предположений модели бетафактора. Отказ j-го элемента есть дизьюнкция несовместных событий $i_j \vee C$. Отказ системы – конъюнкция $\Lambda_{j=1}^n (i_j \vee C)$. Если бы были возможны события вида $i_1 \wedge i_2 \wedge i_n \wedge C_{3,4,\dots,n-1}$ – отказали по независимой причине

1-й, 2-й и n-й элементы, а остальные — по общей причине, и все возможные комбинаторные варианты перебора таких событий, имеющиеся в других моделях учета ООП (модель альфа-фактора, греческих букв и т.д.), то вероятность, возможно, была бы больше. Однако в модели бета-фактора события такого рода невозможны, поскольку, к примеру, невозможно событие $C_{3,4,\dots,n-1}$.

С другой стороны, смену поведения функции надежности (или ненадежности) при различных значениях параметров можно объяснить достаточно просто, проведя качественный анализ функции ненадежности, анализируя, в частности, производные этой функции по q и β .

Производная функции $Q(Y_s)$ по q будет определяться выражением.

$$\frac{\partial Q(Y_s)}{\partial q} = nq^{n-1} (1-\beta)^n + \beta > 0 \text{ при } \beta \in (0,1),$$

т.е. увеличение ненадежности элемента приводит к увеличению ненадежности параллельной системы в целом.

Теперь возьмем производную по другому параметру

$$\frac{\partial \mathcal{Q}(Y_s)}{\partial \beta} = -nq^n \left(1 - \beta\right)^{n-1} + q. \tag{4}$$

Проанализируем (4). Производная равна 0 в критической точке

$$\beta_{\kappa pum.} = 1 - \frac{1}{q} \left(\frac{1}{n} \right)^{\frac{1}{n-1}} = 1 - \frac{1}{q} \exp\left(-\frac{\ln n}{n-1} \right).$$
 (5)

Критическая точка достижима в том случае, если $\beta_{\kappa pum.} \in (0,1)$. Условие $\beta_{\kappa pum.} < 1$ очевидно выполняется, а $\beta_{\kappa pum.} > 0$ происходит тогда и только тогда, когда

$$q > \exp\left(-\frac{\ln n}{n-1}\right).$$

Заметим, что

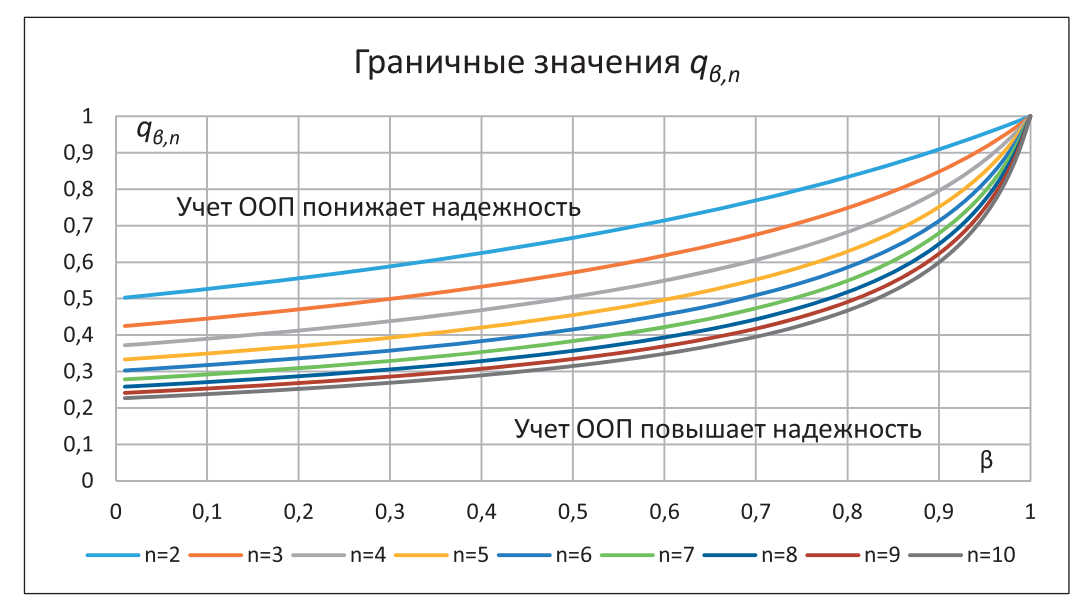


Рисунок 2 — Граничные значения $q_{\text{в.п.}}$

$$\lim_{\beta \to 0+} q_{\beta,n} = \lim_{\beta \to 0+} \left(\frac{\beta}{1 - \left(1 - \beta\right)^n} \right)^{\frac{1}{n-1}} = \exp\left(-\frac{\ln n}{n-1}\right).$$

Таким образом, при $q \in \left(0, exp\left(-\frac{\ln n}{n-1}\right)\right]$ производная (4) для любых значений β будет положительной, т.к. $\frac{\partial Q\left(Y_{s}\right)}{\partial \beta}\bigg|_{\beta=1} = q > 0 \text{ и критическая точка находится вне отрезка [0, 1]. Следовательно, увеличение <math>\beta$ будет приводить, как этого и следовало ожидать, к увеличению ненадежности.

В том случае, если $q \in \left(exp\left(-\frac{\ln n}{n-1}\right),1\right]$, будет существовать точка экстремума (5), причем, т.к. производная (4) будет положительной при $\beta=1$, критическая точка будет точкой минимума. Тогда $\frac{\partial Q\left(Y_{s}\right)}{\partial \beta}\Big|_{\beta=0} < 0$ и функция ненадежности будет парадоксально убывать по параметру β . Таково строгое обоснование поведения функции ненадежности.

ООП в последовательных структурах

В этом разделе проанализируем надежность последовательной (основной) с точки зрения надежности структуры с учетом ООП. Пусть система состоит из n последовательных равнонадежных элементов с вероятностью отказа q каждый. Без учета ООП ВБР системы будет равна $P(Y_s) = (1-q)^n$.

Логическая функция работоспособности с учетом ООП будет выглядеть следующим образом

$$Y_s = \overline{i_1 \vee i_2 \vee \ldots \vee i_n \vee C}.$$

ВБР с учетом ООП

$$P(Y_s) = P(\overline{i_1} \wedge \overline{i_2} \wedge \dots \wedge \overline{i_n}) - P(C) = (1 - (1 - \beta)q)^n - \beta q.$$
 (5)

Так же, как и в случае с параллельной структурой, учет ООП может как уменьшить, так и увеличить надежность основного соединения. Для определения граничных значений $q_{\beta,n}$, очевидно, необходимо решить алгебраическое уравнение

$$(1-(1-\beta)q)^n - \beta q = (1-q)^n.$$
 (6)

На рисунке 2 приведены графики зависимости функции $q_{\beta,n}$ от параметра β при различных n. Решение уравнения (6) получено численным методом деления отрезка пополам.

Если вероятность по всевозможным причинам q будет меньше граничной $q_{\rm B,n}$, то учет ООП приведет к увеличению надежности последовательной системы. В том случае, если $q=q_{\rm B,n}$, учет ООП никак не скажется на надежности системы. И, наконец, если $q>q_{\rm B,n}$, учет ООП приведет к уменьшению надежности системы.

Возьмем, как и ранее, к примеру,
$$\beta = \frac{1}{4}$$
, $q = \frac{3}{4}$, $n = 2$. Вероятности отказов с учетом и без учета ООП будут равны $1 - \left(1 - \left(1 - \beta\right)q\right)^n + \beta q = \frac{255}{256}$ и $1 - \left(1 - q\right)^n = \frac{15}{16} = \frac{240}{256}$ соответственно.

Смену поведения функции надежности (или ненадежности) при различных значениях параметров, как и выше, попробуем объяснить, проведя качественный анализ функции ненадежности, анализируя, в частности, производные этой функции по q и β .

Производная функции $Q(Y_s)$ по q будет определяться выражением

$$\frac{\partial Q(Y_s)}{\partial q} = n(1-\beta)(1-(1-\beta)q)^{n-1} + \beta > 0 \text{ при } \beta \in (0,1).$$



Рисунок 3 – Допустимые значения q.

Увеличение ненадежности элемента приводит к увеличению ненадежности параллельной системы в пелом.

Производная по другому параметру

$$\frac{\partial Q(Y_s)}{\partial \beta} = -nq \left(1 - (1 - \beta)q\right)^{n-1} + q. \tag{7}$$

Проанализируем (7). Производная равна 0 в критической точке

$$\beta_{\kappa pum.} = 1 - \frac{1}{q} \left(1 - \left(\frac{1}{n} \right)^{\frac{1}{n-1}} \right) = 1 - \frac{1}{q} \left(1 - \exp\left(-\frac{\ln n}{n-1} \right) \right). \tag{8}$$

Критическая точка достижима в том случае, если $\beta_{\kappa pum.} \in (0,1)$. Условие $\beta_{\kappa pum.} < 1$ очевидно выполняется, а $\beta_{\kappa num.} > 0$ происходит тогда и только тогда, когда

$$q > 1 - \exp\left(-\frac{\ln n}{n-1}\right)$$
.

Таким образом, при $q\in\left(0,1-\exp\left(-\frac{\ln n}{n-1}\right)\right]$ производная (7) для любых значений β будет отрицательной, т.к. $\frac{\partial Q\left(Y_{s}\right)}{\partial\beta}\bigg|_{\beta=1}=q-nq<0$ при $n{\geq}2$ и критическая точка

находится вне отрезка [0,1]. Следовательно, увеличение β будет приводить, как этого и следовало ожидать, к уменьшению ненадежности.

В том случае, если $q > \exp\left(-\frac{\ln n}{n-1}\right)$, будет существовать точка экстремума (8), причем, т.к. производная (7) будет отрицательной при β =1, критическая точка будет точкой максимума. Тогда $\frac{\partial Q\left(Y_{s}\right)}{\partial \beta}\Big|_{\beta=0} > 0$ и функция ненадежности будет возрастать по параметру β .

В отличие от параллельной структуры, в последовательной для каждого β существуют предельные значения вероятности отказа по всевозможным причинам для каждого элемента, превышение которых может привести к недопустимым значениям вероятности отказа системы. Для нахождения этих значений необходимо решить уравнение

$$(1-(1-\beta)q)^n -\beta q = 0. (9)$$

Недопустимо высокое значение вероятности отказа напрямую связано с предположениями модели бетафактора. С точки зрения алгебры логики из появления события C следует то, что не произошло отказов по независимым причинам, т.е. $C \Rightarrow i_1 \lor i_2 \lor \ldots \lor i_n$. В этом случае

$$P(\overline{i_1} \wedge \overline{i_2} \wedge ... \wedge \overline{i_n}) \ge P(C)$$
, T.E.
$$(1 - (1 - \beta)q)^n \ge \beta q.$$

Так, к примеру, в случае n = 2,3,4,5,10,50,100 областью допустимых значений вероятности q будет область под графиком кривой на рисунке 3.

Возьмем, как и ранее, к примеру, β =0,1, q=0,9, n=2. Вероятности отказов с учетом и без учета ООП будут равны $1 - (1 - (1 - \beta)q)^n + \beta q = 1,0539$ и $1 - (1 - q)^n = 0,99$ соответственно.

ООП в мостиковой схеме

Исследуем влияние параметров модели бета-фактора в мостиковой схеме. Структура мостиковой схемы представлена на рисунке 4. Предположим, что существует две различные общие причины для выхода из строя сразу нескольких элементов мостика:

- общая причина a, по которой одновременно могут отказать элементы 1 и 2;

 общая причина b, по которой одновременно отказывают элементы 3 и 4.

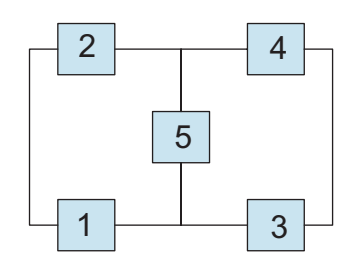


Рисунок 4 – Мостиковая схема

Таким образом, элементы 1 и 2 образуют первую ООП-группу, а элементы 3 и 4—вторую. Получается так, что эти две группы не содержат одинаковых элементов, хотя, вообще говоря, такое вполне возможно, что один элемент может быть одновременно в нескольких ООП-группах. Такую ситуацию предполагается рассмотреть в следующей работе.

Пусть β_a и β_b — параметры модели бета-фактора в соответствующих группах. В этом случае возможны будут следующие события: i_1 — независимый отказ 1-го элемента, i_2 — независимый отказ 2-го элемента, C_a — зависимый ООП 1-го элемента и 2-го элемента (группы a) — рисунок 5. Таким же образом, в том же пространстве элементарных исходов можно изобразить события из второй ООП-группы: i_3 — независимый отказ 3-го элемента, i_4 — независимый отказ 4-го элемента, C_b — зависимый ООП 3-го элемента и 4-го элемента (группы b).

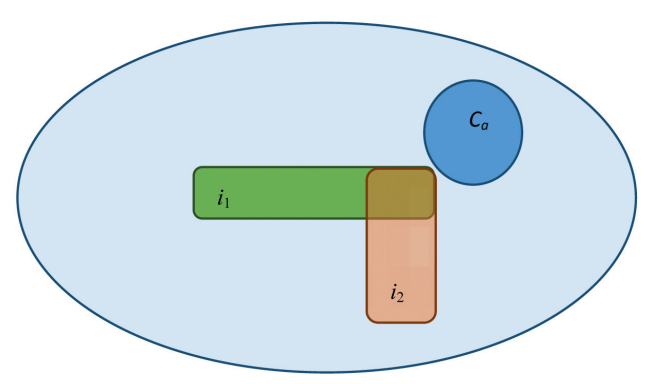


Рисунок 5 – События при ООП

На рисунке 5 изображено возможное взаимное расположение событий одной группы. Важно отметить, что несовместными (взаимоисключающими) будут пары событий: i_1 и C_a , i_2 и C_a , i_3 и C_b , i_4 и C_b . Обозначим событие x_k —k-й элемент работоспособен, $k=1,\ldots,5$. Тогда

$$x_1 = i_1 \lor C_a, x_2 = i_2 \lor C_a, x_3 = i_3 \lor C_b, x_4 = i_4 \lor C_b.$$

Логическая функция неработоспособности будет выглядеть следующим образом

$$\overline{Y_s} = [x_5 A] \vee [\overline{x_5}_{51} B], \tag{10}$$

где
$$A = (\overline{x}_1 \overline{x}_2) \vee (\overline{x}_3 \overline{x}_4)$$
 и $B = (\overline{x}_2 \vee \overline{x}_4)(\overline{x}_1 \vee \overline{x}_3)$.

Пусть все элементы равнонадежны и вероятности их отказов по всевозможным причинам равны q. В этом случае ненадежность мостика без учета ООП будет равна:

$$Q(Y_s) = q^3 (2-q)^2 + q^2 (1-q)(2-q^2) =$$

$$= 2q^5 - 5q^4 + 2q^3 + 2q^2.$$
(11)

Заменим участвующие в (10) события A и B, содержащие $\overline{x}_1, \overline{x}_2, \overline{x}_3$ и \overline{x}_4 , на независимые и ООП события:

$$A = (\overline{x}_1 \overline{x}_2) \vee (\overline{x}_3 \overline{x}_4) = (i_1 i_2 \vee C_a) \vee (i_3 i_4 \vee C_b).$$

$$B = (\overline{x}_2 \vee \overline{x}_4)(\overline{x}_1 \vee \overline{x}_3) = (i_1 \vee i_3)(i_2 \vee i_4) \vee C_a \vee C_b.$$

Определим вероятности этих событий:

$$P(A) = f(\beta_a, q) + f(\beta_b, q) - f(\beta_a, q) f(\beta_b, q),$$
 (12) где
$$f(\beta, q) = (1 - \beta)^2 q^2 + \beta q.$$

Для расчета вероятности события B воспользуемся теоремой сложения, которая в случае несовместных событий одной ООП-группы даст следующий результат

$$\begin{split} P(B) &= P\left(\left(i_{1} \vee i_{3}\right)\left(i_{2} \vee i_{4}\right)\right) + P\left(C_{a}\right) + P\left(C_{b}\right) - \\ &- P\left(i_{1}i_{2}C_{b}\right) - P\left(i_{3}i_{4}C_{a}\right) - P\left(C_{a}C_{b}\right) = g^{2}\left(\beta_{a},\beta_{b},q\right) + \\ &+ \beta_{a}q + \beta_{b}q - \left(1 - \beta_{a}\right)^{2}\beta_{b}q^{3} - \left(1 - \beta_{b}\right)^{2}\beta_{a}q^{3} - \beta_{a}\beta_{b}q^{2}, \end{split}$$
 где $g(\beta_{a},\beta_{b},q) = (1 - \beta_{a})q + (1 - \beta_{b})q - (1 - \beta_{a})(1 - \beta_{b})q^{2}.$

После подстановки полученных результатов и упрощения получим ненадежность мостика с учетом $OO\Pi$

$$Q(Y_s) = c_5 q^5 + c_4 q^4 + c_3 q^3 + c_2 q^2 + c_1 q,$$
 (13)

где коэффициенты полинома определяются выражениями:

$$c_{5} = 2(1 - \beta_{a})^{2} (1 - \beta_{b})^{2},$$

$$c_{4} = (1 - \beta_{a})(1 - \beta_{b})(-5 + 3\beta_{a} + 3\beta_{b} - \beta_{a}\beta_{b}),$$

$$c_{3} = 2 - 3\beta_{a} - 3\beta_{b} + \beta_{a}\beta_{b} (6 - \beta_{a} - \beta_{b}),$$

$$c_{2} = (1 - \beta_{a})^{2} + (1 - \beta_{b})^{2} - \beta_{a}\beta_{b},$$

$$c_{1} = \beta_{a} + \beta_{b}.$$

В результате проведенных исследований функции (13) обнаружились следующие зависимости.

При $q \le 0,5$ ненадежность $Q(Y_s)$ классически монотонно возрастает по каждому параметру β_a , β_b (рисунок 6). Т.е., при расчете мостика с высоконадежными элементами неожиданных эффектов не обнаружено.

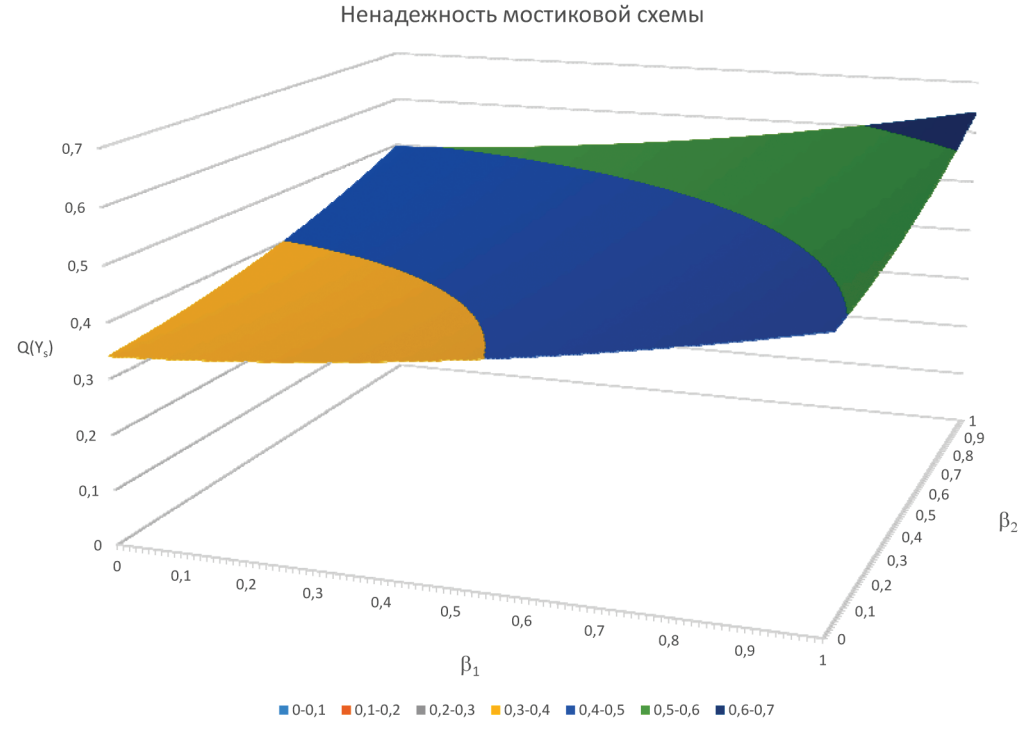


Рисунок 6 – Функция ненадежности мостика (q=0,3).



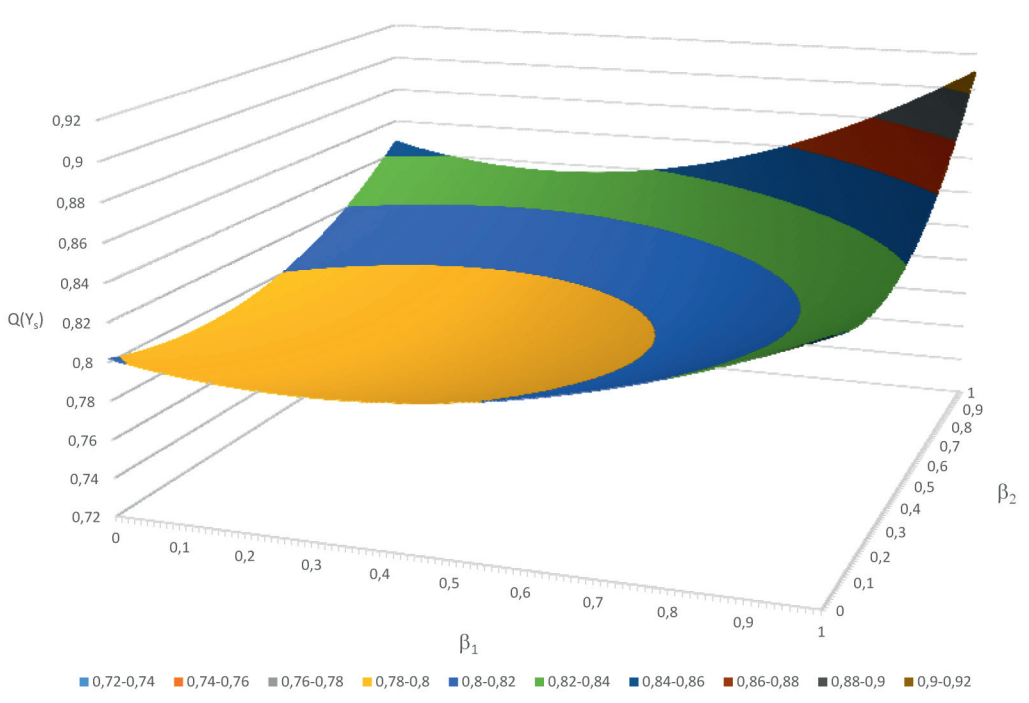


Рисунок 7 — Функция ненадежности мостика (q=0,7).

При $q \in (0,5,\approx 0,85)$ функция ненадежности имеет глобальный минимум. В окрестности точки (0,0) ненадежность уменьшается при увеличении каждого параметра (рисунок 7). При достижении точки минимума дальнейшее увеличение параметров ООП приводит к увеличению ненадежности. При $\beta_a = \beta_b = 1$ достигается максимум ненадежности. Таким образом, при средней ненадежности составляющих мостик элементов

учет ООП может привести к снижению ненадежности системы в целом. Значение 0,85 получено визуально, для точных оценок необходимо аналитическое исследование (13).

При $q \in (\approx 0.85, \approx 0.91)$ функция ненадежности имеет сложную зависимость: четыре локальных граничных минимума и один максимум (рисунок 8). В окрестности точки (0,0) ненадежность уменьшается при увеличении

■ 0,95-0,955 ■ 0,955-0,96 ■ 0,96-0,965

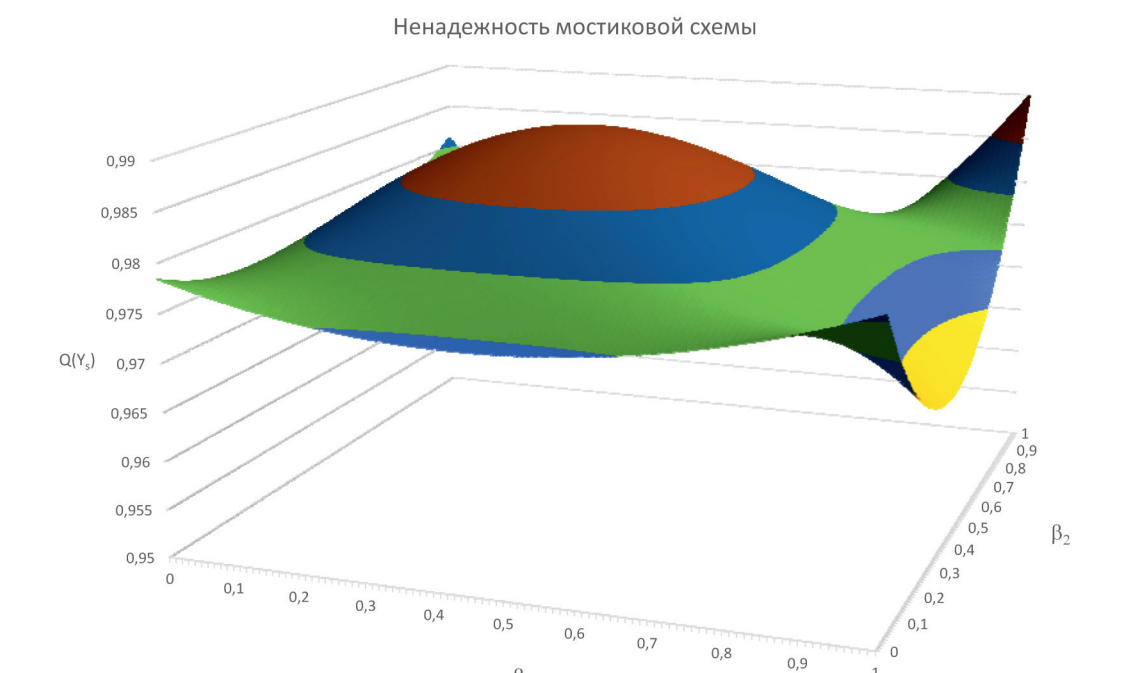


Рисунок 8 – Функция ненадежности мостика (q=0,9).

■ 0,965-0,97 **■** 0,97-0,975 **■** 0,975-0,98 **■** 0,98-0,985

 β_1

Ненадежность мостиковой схемы

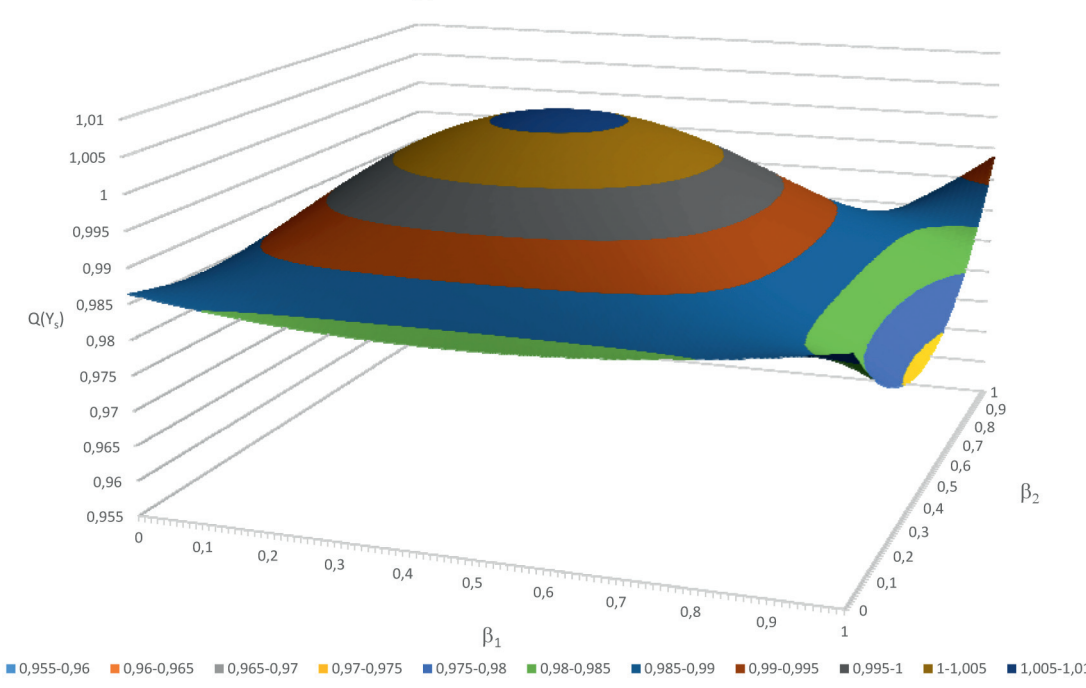


Рисунок 9 — Функция ненадежности мостика (q=0,92).

каждого параметра. При достижении точки минимума дальнейшее увеличение параметров ООП приводит к увеличению ненадежности. Дальнейшее поведение зависит от конкретных значений параметров. При β_a = β_b =1 достигается максимум ненадежности. При высокой ненадежности составляющих мостик элементов учет ООП может привести как к снижению (при малых β_a , β_b), так и к увеличению ненадежности системы в целом.

При $q \in (\approx 0,91,1)$ функция ненадежности имеет прежнюю сложную зависимость: четыре локальных граничных минимума и один максимум (рисунок 9). В окрестности точки (0,0) ненадежность уменьшается при увеличении каждого параметра. При достижении точки минимума дальнейшее увеличение параметров ООП приводит к увеличению ненадежности. Дальнейшее поведение зависит от конкретных значений

параметров. При $\beta_a = \beta_b = 1$ достигается максимум ненадежности. Необходимо отметить, что существует область недопустимых значений параметров β_a , β_b , при которых ненадежность системы принимает значения большие единицы. Таким образом, не обязательно последовательная структура имеет недопустимые значения параметров модели бета-фактора.

Заключение

В статье проведено математическое исследование модели бета-фактора учета ООП. Исследования проводились на трех структурных схемах надежности: параллельной, последовательной и схеме типа мостик. Для двух последних схем обнаружилась проблема недопустимых значений параметров модели бета-фактора при высокой ненадежности элементов, составляющих систему. Для всех трех схем надежности показано, что необязательно увеличение параметров модели бетафактора приводит к увеличению ненадежности.

Библиографический список

- 1. **ГОСТ Р МЭК 61226-2011**. Атомные станции. Системы контроля и управления, важные для безопасности. Классификация функций контроля и управления [Текст]. Введ. 2011—09—26. М.: Стандартинформ, 2011. V, 22 с.: ил.
- 2. **ГОСТ Р МЭК 62340-2011**. Атомные станции. Системы контроля и управления, важные для безопасности. Требования по предотвращению отказов по общей причине [Текст]. Введ. 2012–07–01. М.: Стандартинформ, 2012. V, 18 с.
- 3. **Антонов А.В.** Анализ дерева отказов в среде программирования R [Текст] / А.В. Антонов, Е.Ю. Галивец, В.А. Чепурко, А.Н. Черняев // Надежность. 2018. № 18(1). С. 4-13. DOI:10.21683/1729-2646-2018-18-1-4-13.
- 4. **Антонов А.В.** Анализ дерева отказов в среде программирования R. Учет отказов по общей причине [Текст] / А.В. Антонов, Е.Ю. Галивец, В.А. Чепурко, А.Н. Черняев // Надежность. 2018. № 18(3). С. 3-9. DOI:10.21683/1729-2646-2018-18-3-3-9.
- 5. **Перегуда А.И.** Математическая модель надежности компьютерных сетей [Текст] / А.И. Перегуда, А.А. Пере-

- гуда, Д.А. Тимашев // Надежность. -2013. N = 4. C. 18-43. DOI:10.21683/1729-2646-2013-0-4-18-43.
- 6. **Алпеев А.С.** Надежность программного обеспечения управляющих систем и безопасность атомных станций [Текст] / А.С. Алпеев // Надежность. 2015;(4):75-80. https://doi.org/10.21683/1729-2646-2015-0-4-75-80.
- 7. **Mosleh A.** Procedures Guidelines in Modeling Common Cause Failures in Probabilistic Risk Assessment [Text] / A. Mosleh, D.M. Rasmuson, F.M. Marshall // NUREG/CR-5485. Univercity of Maryland, 1998.
- 8. **O'Connor Andrew N.** A General Cause Based Methodology for Analysis of Dependent Failures in System Risk and Reliability Assessments [Text] / A.N. O'Connor, A. Mosleh. Univercity of Maryland, 2013. URL: http://hdl.handle.net/1903/14285 (дата обращения 09.04.2019).
- 9. **Smith C.L.** Systems Analysis Programs for Handson Integrated Reliability Evaluations (SAPHIRE) Version 8: Technical Reference [Text] / C. L. Smith, S. T. Wood, W. J. Galyean, J. A. Schroeder, M. B. Sattison // NUREG/CR-7039 INL/EXT-09-17009. Vol. 2. U.S. Nuclear Regulatory Comission, Washington, D.C., 2011.
- 10. **A.N. O'Connor.** «A general cause based methodology for analysis of dependent failures in system risk and reliability assessments», 2013.

Сведения об авторах

Александр В. Антонов — доктор технических наук, профессор, главный эксперт Международного центра подготовки персонала Автономной некоммерческой организации дополнительного профессионального образования «Техническая академия Росатома», Российская Федерация, Москва, e-mail: AVAntonov@rosatomtech.ru

Валерий А. Чепурко — кандидат физико-математических наук, доцент, главный специалист отдела расчетных обоснований проектных решений АО РАСУ, Российская Федерация, Москва, e-mail: VAChepurko@rasu.ru

Алексей Н. Черняев – кандидат технических наук, заместитель технического директора – директор департамента проектирования АО РАСУ, Российская Федерация, Москва, e-mail: AlNChernyaev@rasu.ru

Поступила: 06.02.2019

Оценка гамма-процентного срока для биномиального плана испытаний

Виктор С. Михайлов, Федеральное государственное унитарное предприятие «Центральный научно исследовательский институт химии и механики им. Д.М. Менделеева» ФГУП «ЦНИИХМ», Российская Федерация, Москва



Виктор С. Михайлов

Резюме. В современном производстве высоконадежных, уникальных, сложных изделий стала обычной ситуация, в которой необходимо получить оценку гамма-процентного срока сохраняемости (ГПСС) или гамма-процентной наработки до отказа (ГПНДО) (далее - ГПС. понимая под этим соответственно ГПСС или ГПНДО) на основе испытаний, не давших отказов. Как правило, план испытаний относят к биномиальным испытаниям или к испытаниям с ограниченной наработкой и восстановлением. Под ГПНДО понимается наработка, в течение которой отказ не возникнет с вероятностью, выраженной в процентах. Аналогично, под ГПСС понимается календарная продолжительность хранения изделия, в течение и после которой изделие способно выполнять требуемую функцию с вероятностью, выраженной в процентах. Цель работы. Целью работы является нахождение такой оценки ГПС, которая будет простой и более эффективной по сравнению с традиционной и уступающей незначительно эффективной оценке, в случае существования последней, с точки зрения близости к расчетной оценке ГПС при использовании биномиального плана испытаний. Методы исследования. В основе исследования эффективных оценок лежит интегральный подход, использующий построение правила выбора (критерий) эффективной оценки, заданного на сумме значений абсолютных смещений оценок, выбранных из некоторого множества, от функции параметра закона распределения. Выводы Полученная оценка ГПС является простой и более эффективной по сравнению с традиционной и уступает незначительно эффективной оценке, в случае существования последней, с точки зрения близости к расчетной оценке ГПС при использовании биномиального плана испытаний. Полученная оценка ГПС имеет существенные преимущества, а именно: оценка является эффективной на достаточно широком классе оценок; оценка позволяет получать значение по результатам испытаний, не давших отказов. Полученная оценка ГПС рекомендуется для безотказных испытаний, проводимых по биномиальному плану.

Ключевые слова: гамма-процентный срок сохраняемости; гамма-процентная наработка до отказа; экспоненциальное распределение; план испытаний; точечная оценка.

Формат цитирования: Михайлов В.С. Оценка гамма-процентного срока для биномиального плана испытаний // Надежность. 2019. №2. С. 18-21. DOI: 10.21683/1729-2646-2019-19-2-18-21

Введение

В современном производстве высоконадежных, уникальных, сложных изделий стала обычной ситуация, в которой необходимо получить оценку гаммапроцентного срока сохраняемости (ГПСС) или гаммапроцентной наработки до отказа (ГПНДО) (далее – ГПС, понимая под этим соответственно ГПСС или ГПНДО) на основе испытаний, не давших отказов. Как правило, план испытаний относят к плану типа NБ τ или NВ τ , где N – число испытуемых однотипных изделий; τ – наработка (одинаковая для каждого изделия); Б (В) – характеристика плана, означающая, что работоспособность изделия после каждого отказа в течение срока испытаний не восстанавливается (восстанавливается) [1]. Под ГПНДО понимается наработка, в течение которой отказ не возникнет с вероятностью у, выраженной в процентах [2]. Аналогично, под ГПСС понимается календарная продолжительность хранения изделия, в течение и после которой изделие способно выполнять требуемую функцию с вероятностью у, выраженной в процентах

[2]. При условии подчинения наработки до отказа экспоненциальному закону распределения с параметром T_0 (средняя наработка до отказа, далее – СНДО), расчетное значение ГПС (далее – t_v) вычисляется по формуле:

$$t_{\gamma} = -T_0 \ln \left(\gamma \right). \tag{1}$$

Постановка задачи

Рассмотрим случай проведения испытаний в соответствии с биномиальным планом.

Для биномиального плана испытаний достаточной статистикой является число наблюдаемых отказов (r) и суммарная наработка $S(R,N,\tau,t_i)$ [1,4,5], R=r — случайное число отказов, t_i — моменты отказов, i=1,2,...,R, тогда для биномиального плана испытаний случайная величина R (далее — с.в.), имеет биномиальное распределение $p_N(k)$ $[3, \varphi$ -ла (1.4.55)] с параметрами N и p, 0 , т.е. с.в. <math>R, равная числу успехов в серии из N независимых опытов, принимает целочисленные значения 0, 1, 2, ..., N с вероятностями:

$$p_{N}(k) = C_{N}^{k} p^{k} (1 - p)^{N - k}.$$
 (2)

Функция распределения $F_R(r,N,p)$ биномиальной с.в. R примет вид

$$F_R(r, N, p) = \sum_{k=0}^{r} p_N(k)$$
. (3)

С целью построения оценки ГПС (\hat{t}_{γ}) вполне естественным будет, если в качестве оценки параметра T_0 воспользоваться традиционной оценкой средней наработки до отказа, построенной для экспоненциального распределения [1,5]:

$$T_{02} = \frac{S(R, N, \tau, t_i)}{r},$$
 при $r > 0$.

Однако полученная таким образом оценка $\hat{t}_{\gamma 2} = -T_{02} \ln(\gamma)$ имеет существенные недостатки, а именно:

- оценка является смещенной [1];
- оценка является не эффективной [1];
- оценка не позволяет получать значение t_{γ} по результатам испытаний, не давших отказов.

Для решения упомянутой выше задачи достаточно найти несмещенную эффективную оценку (\hat{t}_{vab}) , если такая существует в классе состоятельных смещенных оценок. (Класс состоятельных оценок, в который входят и все оценки, полученные методом подстановки, включая и метод максимального правдоподобия, содержит в себе оценки с любым смещением, в том числе и с фиксированным – в виде функции от параметра или константы [3]). В ряде случаев найденные несмещенные эффективные оценки имеют весьма громоздкий вид со сложным алгоритмом вычисления [4]. Они также не всегда являются достаточно эффективными в классе всех смещенных оценок и не всегда имеют значительное преимущество перед простыми, но смещенными оценками, с точки зрения близости к оцениваемому показателю [6].

Цель работы

Целью статьи является нахождение оценки ГПС (далее $-\hat{t}_{\gamma_1}$), которая будет простой и более эффективной по сравнению с традиционной и уступающей незначительно эффективной оценке $\hat{t}_{\gamma_2 \phi}$, в случае существования последней, с точки зрения близости к t_{γ} при использовании биномиального плана испытаний.

Методы исследования и результаты

Рассмотрим класс оценок представимых в виде $\hat{t}_{\gamma} = -\hat{T}_0 \ln(\gamma)$, где \hat{T}_0 — оценка СНДО для биномиального плана испытаний.

В качестве инструмента для нахождения эффективной оценки будем использовать интегральные характеристики [6]. Аналогично [6] построим функционал (далее $-A(\hat{t}_x)$) в основе которого лежит суммарный квадрат

отклонения ожидаемой реализации оценки \hat{t}_γ от t_γ для всех возможных значений t_γ , T_0 , γ , N и τ :

$$A\left(\hat{t}_{\gamma}(R, N, \tau, t_{i})\right) = \frac{1}{3} \sum_{\tau_{j}=1E+3}^{\tau_{j}=1E+5} \frac{1}{10} \sum_{N=1}^{10} \int_{0}^{\infty} \left(\frac{1}{T_{0}}\right)^{2} \begin{cases} E\hat{t}_{\gamma}(R, N, \tau_{j}, t_{i}) - \\ -(-T_{0}\ln\left(\gamma\right)) \end{cases}^{2} \partial T_{0}, \quad (4)$$

где $E\hat{t}_{\gamma}$ – математическое ожидание оценки. В соответствии с формулой (3) математическое ожидание $E\hat{t}_{\gamma}(R,N,\tau,t_{i})$ имеет вид:

$$E\hat{t}_{\gamma}\left(R,N,\tau,t_{i}\right) = \sum_{k=0}^{N} p_{N}(k)\hat{t}_{\gamma}\left(k,N,\tau,t_{i}\right) =$$

$$= \sum_{k=0}^{N} p_{N}\left(k\right) * (-\hat{T}_{0}\ln\left(\gamma\right)).$$

Эффективная оценка ГПС t_{γ} должна обладать минимальной величиной функционала $A(\hat{t}_{\gamma})$.

Вынесем из-под знака интеграла выражение $-\ln(\gamma)$, тогда формула (4) примет вид:

$$A(\hat{t}_{\gamma}) = \ln^2(\gamma) V(\hat{T}_0), \tag{5}$$

где

$$\begin{split} V\Big(\hat{T}_{0}(R,N,\tau)\Big) &= \\ &= \frac{1}{3} \sum_{\tau_{i}=1E+3}^{\tau_{j}=1E+5} \frac{1}{10} \sum_{N=1}^{50} \int_{0}^{\infty} \left(\frac{1}{T_{0}}\right)^{2} \left\{ E\hat{T}_{0}(R,N,\tau_{j}) - T_{0} \right\}^{2} \partial T_{0}. \end{split}$$

В соответствии с [6] функционал $V(\hat{T_0})$ в формуле (5) принимает минимальное значение (а вместе с ним и функционал $A(\hat{t_\gamma})$), если в качестве оценки параметра T_0 подставить его эффективную оценку, построенную на достаточно широком классе смещенных оценок. В этом случае для биномиального плана испытаний в качестве оценки параметра T_0 (СНДО) следует использовать неявно заданную и эффективную оценку $\hat{T_4}$ из [6]:

$$\hat{T}_4 = \frac{\tau}{-\ln(1 - \hat{p}(R, N))},\tag{6}$$

где оценка вероятности отказа \hat{p} получается решением уравнения (см. формулу (3)):

$$F_R(r, N, \hat{p}) = \sum_{k=0}^{r} p_N(k, \hat{p}) = 0.5.$$

Тогда эффективная оценка ГПС $\hat{t}_{\gamma l}$, построенная на достаточно широком классе оценок [6], примет вид (см. формулу (1)):

$$\hat{t}_{\gamma 1} = -\hat{T}_4 \ln \left(\gamma \right) \tag{7}$$

Для безотказных испытаний оценку $\hat{t}_{\gamma 1}$ можно применять и для плана типа NВ τ . Полученная таким образом оценка ГПС t_{γ} имеет существенные преимущества, а именно:

- оценка является эффективной на достаточно широком классе оценок [6];
- оценка позволяет получать значение t_{γ} по результатам испытаний, не давших отказов и проводимых по планам испытаний типа NБ τ или NВ τ .

Примеры

Пример 1. В качестве показателя надежности изделия используется гамма-процентная наработка до отказа t_{γ} (γ =0,9), которая не должна быть менее 1500 ч. По результатам безотказных испытаний одного изделия в течение 10000 ч требуется сделать оценку t_{γ} и проверку соответствия изделия требованиям к надежности.

Непосредственно из формул (6) – (7) следует, что оценка величины ГПНДО составит

$$\hat{t}_{\gamma 1} = -\hat{T}_4 \ln \left(\gamma \right) = -\ln \left(0, 9 \right) * \frac{\tau}{-\ln \left(1 - \hat{p} \left(R = 0, N = 1 \right) \right)} =$$

$$= 0,1053 * \frac{10000}{-\ln \left(1 - 0, 5 \right)} = 1519 \text{ ч.}$$

По результатам оценки t_{γ} можно сделать вывод о соответствии изделия требованиям к гамма-процентной наработке до отказа. Время, в течение которого откажет не более 10% изделий, составит 1519 ч, что соответствует требованиям к надежности изделия.

Приведем для сравнения традиционное решение примера 1.

Традиционно для испытаний, не давших отказов, параметр T_0 (вместо точечной оценки) оценивают по нижней доверительной границе (далее – НДГ) СНДО с доверительной вероятностью $\gamma=0,9$. Тогда результат в соответствии с [5] составит:

$$T_{01n} = \frac{2t_{\sum}}{x^2(1-\infty;2r+1)} = \frac{2*1*10000}{2,71} = 7380 \,\mathrm{ч},$$

где $x^2(1-\infty;2r+1)$ — квантиль x^2 -распределения с 2r+1 степенью свободы (для плана испытаний *N*BT), ($\alpha=1-\gamma=1-0.9=0.1$) — уровень значимости согласно ГОСТ Р 50779.26-2007;

$$\hat{t}_{\gamma 1} = -T_{01\mu} \ln (\gamma) = 0,1053*7380 = 777 \text{ y.}$$

По результатам оценки t_{γ} традиционным методом можно сделать вывод о несоответствии изделия требованиям к гамма-процентной наработке до отказа. Время, в течение которого откажет не более 10% изделий, составит 777 ч, что не соответствует требованиям к надежности изделия.

Из сравнения традиционной $\hat{t}_{\gamma 1}=777~(\gamma=90\%)$ и предлагаемой $\hat{t}_{\gamma 1}=1519(\gamma=90\%)$ оценок гаммапроцентной наработки до отказа t_{γ} следует, что для испытаний, не давших отказов, традиционное оценивание с использованием нижних доверительных оценок, как и следовало ожидать, существенно занижает гамма-

процентную наработку до отказа t_{γ} в сравнении с предлагаемой оценкой $\hat{t}_{\gamma l}$.

Пример 2. В условиях примера 1 по результатам испытаний десяти изделий произошел один отказ в конце испытаний, требуется сделать оценку v_{γ} и проверку соответствия изделий требованиям к надежности.

Непосредственно из формул (6) – (7) следует, что оценка величины ГПНДО составит

$$\begin{split} \hat{t}_{\gamma 1} &= \hat{T}_4 \ln \left(\gamma \right) = -\ln \left(0, 9 \right) * \frac{\tau}{-\ln \left(1 - \hat{p} \left(R = 1, N = 10 \right) \right)} = \\ &= 0,1053 * \frac{10000}{-\ln (1 - 0,16226)} = 5947 \text{ ч.} \end{split}$$

По результатам оценки t_{γ} можно сделать вывод о соответствии изделия требованиям к гамма-процентной наработке до отказа. Время в течение которого откажет не более 10% изделий составит 5947 час, что соответствует требованиям к надежности изделия.

Приведем для сравнения традиционное решение примера 2.

Традиционно параметр T_0 оценивают в соответствии с [5] по формуле:

$$T_{01} = \frac{t_{\sum}}{R+1} = \frac{10*10000}{2} = 50000 \text{ ч.}$$

Тогда

$$\hat{t}_{\gamma 1} = -T_{01} \ln (\gamma) = 0.1053 * 50000 = 5265 \text{ ч.}$$

По результатам оценки t_{γ} традиционным методом можно сделать вывод о соответствии изделия требованиям к гамма-процентной наработке до отказа. Время, в течение которого откажет не более 10% изделий, составит 5265 час, что соответствует требованиям к надежности изделия.

Оценка СНДО T_{01} уступает по своей эффективности оценке \hat{T}_4 [6]. Следовательно, оценка гамма-процентной наработки до отказа $\hat{t}_{\gamma 1}$ эффективнее традиционной оценки гамма-процентной наработки до отказа $\hat{t}_{\gamma 1}$. Тогда из сравнения традиционной $\bar{t}_{\gamma 1}=5265$ ($\gamma=90\%$) и предлагаемой $\hat{t}_{\gamma 1}=5947(\gamma=90\%)$ оценок гамма-процентной наработки до отказа t_{γ} следует, что традиционное оценивание $\hat{t}_{\gamma 1}$, как и следовало ожидать, существенно занижает гамма-процентную наработку до отказа t_{γ} в сравнении с предлагаемой оценкой $\hat{t}_{\gamma 1}$.

Пример 3. В качестве показателя надежности изделия используется гамма-процентный срок сохраняемости t_{γ} (γ =0,9), который не должен быть менее одного года. По результатам безотказного хранения одного изделия в течение 10 лет требуется сделать оценку t_{γ} и проверку соответствия изделия требованиям к надежности.

Непосредственно из формул (6)-(7) следует, что оценка величины ГПСС составит

$$\hat{t}_{\gamma 1} = \hat{T}_4 \ln (\gamma) = -\ln (0,9) * \frac{\tau}{-\ln (1 - \hat{p} (R = 0, N = 1))} =$$

$$= 0.1053 * \frac{10}{\ln (1 - 0.5)} = 1.519 \text{ год.}$$

По результатам оценки t_{γ} можно сделать вывод о соответствии изделия требованиям к гамма-процентному сроку сохраняемости. Календарное время, в течение которого откажет не более 10% изделий, составит 1,519 года, что соответствует требованиям к надежности изделия.

Выводы

Полученная оценка ГПС \hat{t}_{γ_1} является простой и более эффективной по сравнению с традиционной и уступает незначительно оценке $\hat{t}_{\gamma_2 \phi}$, в случае ее существования, с точки зрения близости к t_{γ} при использовании биномиального плана испытаний.

Полученная оценка ГПС $\hat{t}_{\gamma 1}$ имеет существенные преимущества, а именно:

- оценка является эффективной на достаточно широком классе оценок [6];
- оценка позволяет получать значение t_{γ} по результатам испытаний, не давших отказов.

Полученная оценка ГПС $\hat{t}_{\gamma 1}$ рекомендуется для безотказных испытаний, проводимых по биномиальному плану.

Библиографический список

- 1. **Барзилович Е.Ю.** Вопросы математической теории надежности [Текст] / Е.Ю. Барзилович, Ю.К. Беляев, В.А. Каштанов и др.: под ред. Б.В. Гнеденко. М.: Радио и связь, 1983. 376 с.
- 2. **ГОСТ 27.002-2015**. Надежность в технике. Термины и определения [Текст]. Введ. 2016–06–21. М.: Стандартинформ, 2016. IV, 27 с.
- 3. **Шуленин В.П.** Математическая статистика. Часть 1. Параметрическая статистика [Текст]: учебник / В.П. Шуленин. Томск: Издательство НТЛ, 2012. 540 с.

- 4. **Воинов В.Г.** Несмещенные оценки и их применение [Текст] / В.Г. Воинов, М.С. Никулин. М.: Наука, 1989.-440~c.
- 5. **ГОСТ Р 50779.26-2007.** Статистические методы. Точечные оценки, доверительные, предикционные и толерантные интервалы для экспоненциального распределения [Текст]. Введ. 2007–12–27. М.: Стандартинформ, 2008. IV, 27 с.
- 6. **Михайлов В.С.** Неявные оценки для плана испытаний типа NБ τ [Текст] / В.С. Михайлов // Надежность и качество сложных систем. 2018. №1(21). С. 64-71.
- 7. **Михайлов В.С.** Нахождение эффективной оценки средней наработки на отказ [Текст] / В.С. Михайлов // Надежность. 2016. № 4(59). С. 40-42.
- 8. **Ишков А.С.** Методика оценки гамма-процентной наработки радиоэлектронных компонентов информационно-измерительных систем по результатам кратковременных испытаний [Текст] / А.С. Ишков, В.Д. Зуев // Надежность. 2015. №2(53). С. 82-89.
- 9. Швецова-Шиловская Т.Н. Расчетно-экспериментальный метод оценки показателей надежности технологического комплекса на основе результатов его испытаний с учетом априорной информации о надежности по результатам испытаний составных частей [Текст] / Т.Н. Швецова-Шиловская, Т.В. Громова, Ф.П. Соколов, В.Г. Ратушенко // Надежность. − 2013. №2(45). − С. 80-92.
- 10. **Чумаков И.А.** Оценки остаточного времени альтернирующего процесса. Общий подход к оценкам остаточного времени [Текст] / И.А.Чумаков, В.А. Чепурко, А.В. Антонов // Надежность. −2013. №2(45). С. 51-79.

Сведения об авторе

Виктор С. Михайлов – ведущий инженер, Федеральное государственное унитарное предприятие «Центральный научно-исследовательский институт химии и механики им. Д.И. Менделеева» ФГУП «ЦНИИХМ», Российская Федерация, Москва, e-mail: Mvs1956@list.ru

Поступила: 25.11.2018

DOI: 10.21683/1729-2646-2019-19-2-22-27

Нейросетевое обобщение классических статистических критериев для обработки малых выборок биометрических данных

Александр И. Иванов, АО «Пензенский научно-исследовательский электротехнический институт», Российская Федерация, Пенза

Евгений Н. Куприянов, ФБГОУ ВПО «Пензенский государственный университет», Российская Федерация, Пенза **Сергей В. Туреев,** НИИ систем связи и управления, Российская Федерация, Москва



Александр И. Иванов



Евгений Н. Куприянов



Сергей В. Туреев

Резюме. Целью работы является повышение мощности статистических критериев за счет их совместного применения для снижения требований к объему тестовой выборки. Методы. Классические статистические критерии: хи-квадрат, Крамера фон-Мизеса и Шапиро-Уилка предложено объединять через использование эквивалентных им искусственных нейронов. Каждый нейрон выполняет сравнение входных статистик с заранее вычисленным порогом и имеет два выходных состояния. Это позволяет получать три разряда бинарного выходного кода сети из трех искусственных нейронов. Результаты. Показано, что каждый из этих критериев на малых выборках биометрических данных дает большие значения ошибок первого и второго рода при проверке гипотезы нормальности. Нейросетевое объединение трех рассмативаемых критериев позволяет существенно снизить вероятности ошибок первого и второго рода. Приведены результаты парных нейросетевых обобщений, а также неросетевого обобщения тройки рассматриваемых статистических критериев. Выводы. Дается прогноз ожидаемых вероятностей ошибок первого и второго рода для нейросетевых обобщений 10 и 30 классических статистических критериев для малых выборок, содержащих 21 опыт. Важным элементом технологии прогнозирования является симметризация задачи, когда вероятности ошибок первого и второго рода делаются одинаковыми и усредняются. Усредняются также модули коэффициентов парной корреляции выходных состояний сумматоров искусственных нейронов. Только в этом случае связь числа обобщаемых критериев с ожидаемыми вероятностями ошибок первого и второго рода становится линейной в логарифмических координатах.

Ключевые слова: статистические критерии: хи-квадрат, Крамера фон-Мизеса, Шапиро-Уилка; искусственные нейронные сети, малые выборки, проверка гипотезы нормального закона распределения данных.

Формат цитирования: Иванов А.И., Куприянов Е.Н., Туреев С.В. Нейросетевое обобщение классических статистических критериев для обработки малых выборок биометрических данных // Надежность. 2019. №2. С. 22-27. DOI: 10.21683/1729-2646-2019-19-2-22-27

Проблема контроля закона распределения данных малых выборок

Проблемы обеспечения надежности уникальных отвественных систем [1, 2] многогранны и могут быть решены только комплексом организационно-технических мероприятий. Особо ярко эти проблемы проявляются в нейросетевой биометрии. Каждый из нас имеет уникальный биометрический образ, который необходимо однозначно преобразовать в криптографический ключ или в длинный пароль доступа из случайных символов. Однозначность преобразования обеспечивается обучением нейронной сети, при этом обучающая выборка имеет близкий к нормальному многомерный закон распределения данных. Проблема состоит в том, что обучающие выборки малы. В частности стандартный алгоритм [3] обучения хорошо справляется со своей задачей на выборке в 20 примеров, если эта выборка корректно получена и не имеет выбросов (грубых ошибок).

В случае, когда выборка биометрических данных велика (200 опытов и более) проверить гипотезу нормальности их распределения не сложно. Можно воспользоваться хи-квадрат критерием или иным другим статистическим критерием [4]. Одной из проблем биометрии [5] является то, что ее пользователи не желают предъявлять автомату обучения искусственной нейронной сети [3] 200 и более примеров своего биометрического образа. Пользователи комфортно себя чувствуют, предъявляя обучающую выборку объемом от 10 до 20 примеров своего уникального биометрического образа, например, рукописного пароля или голосовой парольной фразы. Требования предъявить больше примеров для обучения, воспринимаются пользователями негативно.

Аналогичная ситуация возникает в ботанике, биологии, медицине. Селекционер ботаник или биолог в короткие сроки не имеет возможности получить выборку в 200 особей животных (экземпляров растений), обладающих нужными редкими свойствами. Достаточную для корректных статистических оценок выборку удается

получить через достаточно длительный интервал времени, фактически выделив и закрепив желаемые редкие свойства в нескольких поколениях.

В медицине наблюдается аналогичная ситуация: для проверки статистических гипотез требуются большие выборки. Тематика статистической обработки малых выборок популярна, однако известные рекомендации [6, 7] не дают кардинальных улучшений ситуации. Как правило, добиться улучшения удается, если применять несколько статистических критериев [8].

Можно попытаться усилить известные статистические критерии [9], однако этот путь не дает значительных улучшений. Как правило, новые статистические критерии или модификация старых по отдельности плохо работают.

Основной идеей данной работы является нейросетевое объединение классических статистических критериев [4, 10, 11]. Успехи, достигнутые российской нейросетевой биометрией, весьма и весьма значительны. Силами регуляторов отечественного рынка информационной безопасности создан пакет российских национальных стандартов ГОСТ Р 52633.хх, регламентирующих ряд очень жестких требований к нейросетевой биометрии. В рамках данной статьи мы фактически предпримем попытку переложить хорошо отработанные математические приемы нейросетевой биометрии в новые предметные области. При этом мы попытаемся показать, что рекордно жесткие требования регуляторов отечественного рынка информационной безопасности к вероятностям ошибок первого и второго рода будут выполнимы и в других предметных областях, если придерживаться основных рекомендаций пакета стандартов нейросетевой биометрии ГОСТ Р 52633.хх.

Синтез и настройка хи-квадрат нейрона с 5 входами

При проверке гипотезы нормальности на практике наиболее часто используется хи-квадрат критерий Пирсона. Для малой выборки объемом в 21 опыт формула для вычисления значения хи-квадрат критерия имеет следующий вид:

$$\chi^2 = 21 \cdot \sum_{i=1}^{5} \frac{\left(\frac{n_i}{21} - \Delta \tilde{P}_i\right)^2}{\Delta \tilde{P}_i},\tag{1},$$

где n_i — число опытов, попавших в i-тый интервал гистограммы, $\Delta \tilde{P}_i$ — ожидаемая вероятность попадания опытов в i-тый интервал гистограммы при нормальном законе распределения данных проверяемой выборки.

Заметим, что в соответствии с отечественными стандартизованными рекомендациями [10] среднее число опытов, попавших в каждый из интервалов гистограмм должно быть близко к 5. Именно по этой причине в формуле (1) используется суммирование по 5 интервалам гистограммы для малой выборки в 21 опыт.

При создании своей формулы в 1900 году Пирсон не мог воспользоваться вычислительной техникой. По этой причине он вынужден был искать асимптотические соотношения для бесконечно больших выборок. Сегодня ситуация изменилась, любой студент способен написать программу, воспроизводящую миллионы выборок объемом в 21 опыт. На рисунке 1 приведено распределение плотности вероятности значений хи-квадрат критерия для выборок с нормальным и равномерным законом распределения значений.

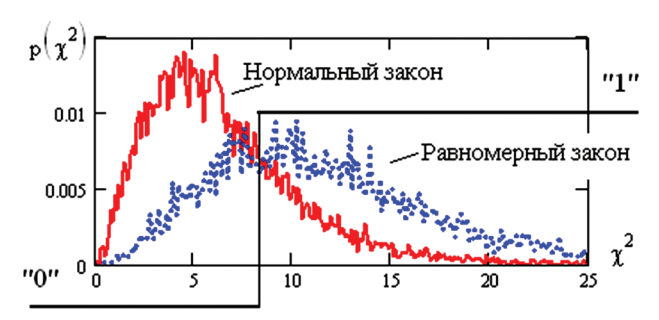


Рисунок 1 — Распределения значений хи-квадрат критерия для выборок объемом в 21 опыт с равномерным и нормальным законами распределения значений

Следует отметить, что искусственные нейроны настраиваются таким образом, чтобы эффективно разделять на два класса «нормальные» и «равномерные» входные данные [12]. На рисунке 1 пороговый элемент хи-квадрат нейрона делит континуум выходных на две области: «0» — «нормальные» данные и «1» — «равномерные» данные. Настройка выходного квантователя хи-квадрат нейрона выполняется исходя из условия равновероятного значения ошибок первого и второго рода $P_1 = P_2 = P_{EE} = 0,292$.

Для того, чтобы получить пять входных параметров хи-квадрат нейрона, необходимо выполнить сортировку данных проверяемой выборки по их значениям:

$$x = \operatorname{sort}(x). \tag{2}$$

Кроме того, необходимо вычислить ширину интервалов гистограммы:

$$\Delta x = \frac{x_{20} - x_0}{5}. (3)$$

Далее выполняют вычисление положения краев интервалов:

$$X_i = x_0 + \Delta x \cdot i$$
 при $i = 0, 1, ..., 5$. (4)

Только после этого удается подсчитать число попаданий в каждый из интервалов гистограммы и сформировать вектор входных параметров $\{n_1, n_2, ..., n_5\}$ для нейрона (1). Итоговый результат подвергается квантованию:

$$\begin{cases} z(\chi^2) \leftarrow \text{"0" если } \chi^2 \le 7,72; \\ z(\chi^2) \leftarrow \text{"1" если } \chi^2 > 7,72. \end{cases}$$
 (5)

В итоге мы имеем полное формальное описание реализации хи-квадрат нейрона для выборки, состоящей из 21 опыта.

Синтез и настройка нейрона Шапиро-Уилка с 10 входами

Очевидно, что к той же выборке из 21 реализации может быть применен критерий Шапиро-Уилка [4, 11]. Его значение вычисляется по следующей формуле:

$$v^{2} = \frac{1}{\left(\sigma(x)\right)^{2}} \cdot \left\{ \sum_{i=0}^{9} a_{i} \cdot \left(x_{20-i} - x_{i}\right) \right\}^{2}, \tag{6}$$

где x_i – упорядоченные значения, проверяемой выборки, $\sigma(x)$ – стандартное отклонение, a_i – табличные значения коэффициентов Шапиро-Уилка.

Распределения значений этого критерия для равномерного и нормального законов приведены на рисунке 2.

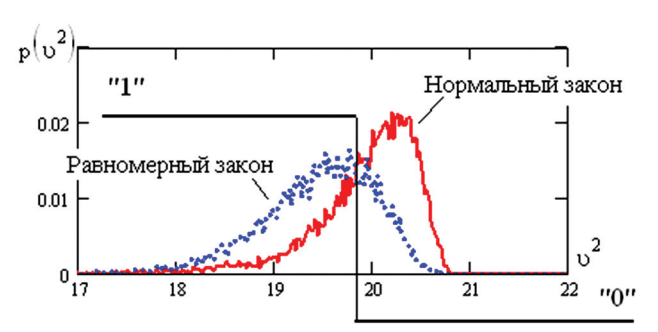


Рисунок 2 — Распределения значений критерия Шапиро-Уилка для выборок объемом в 21 опыт с равномерным и нормальным законами распределения значений

Если рассматривать функционал (6) как некоторый искусственный нейрон, то его выходами будут 10 разностей данных, исследуемой выборки, а выходной квантователь будет описываться следующими соотношениями:

$$\begin{cases} z(v^2) \leftarrow \text{"0" если } v^2 \ge 19,8; \\ z(v^2) \leftarrow \text{"1" если } v^2 < 19,8. \end{cases}$$
 (7)

Такая настройка порога срабатывания квантователя обеспечивает одинаковые значения вероятности ошибок первого и второго рода $P_1 = P_2 = P_{EE} = 0,303$.

Синтез и настройка нейрона Крамера фон-Мизеса с 20 входами

Если сравнивать хи-квадрат нейрон (1) и нейрон Шапиро-Уилка (6) мы наблюдаем рост размерности их входной размерности (числа входов их сумматоров). Еще большей входной размерностью обладает нейрон Крамера фон-Мизеса:

$$\omega^2 = \sum_{i=0}^{19} \left(\frac{i+1}{21} - \tilde{P}(x_i) \right)^2 \cdot \frac{x_{i+1} - x_i}{x_{20} - x_0}.$$
 (8)

Распределения значений на выходе сумматора нейрона Крамера фон-Мизеса приведены на рисунке 3.

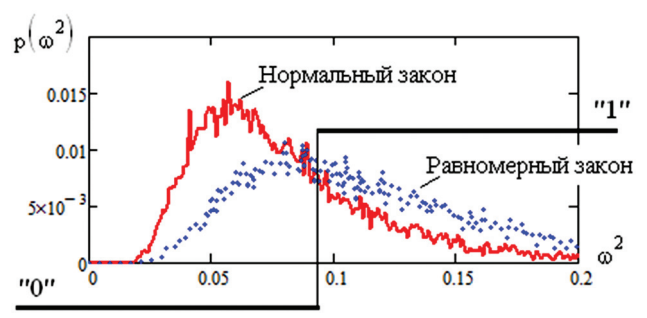


Рисунок 3 — Распределения значений критерия Крамера фон-Мизеса для выборок объемом в 21 опыт с равномерным и нормальным законами распределения значений

Настроенный выходной квантователь сумматора нейрона описывается следующим образом:

$$\begin{cases} z(\omega^2) \leftarrow \text{"0" если } \omega^2 \le 0{,}087; \\ z(\omega^2) \leftarrow \text{"1" если } \omega^2 > 0{,}087. \end{cases}$$
 (9)

Такая настройка порога срабатывания квантователя обеспечивает одинаковые значения вероятности ошибок первого и второго рода $P_1 = P_2 = P_{EE} = 0.342$.

Совместное использование трех статистических критериев

Описанные выше статистические критерии линейно независимы (имеют модули коэффициентов корреляции менее единицы):

$$\begin{cases} \operatorname{corr}(\chi^{2}, \upsilon^{2}) \approx +0,559; \\ \operatorname{corr}(\chi^{2}, \omega^{2}) \approx -0,708; \\ \operatorname{corr}(\omega^{2}, \upsilon^{2}) \approx -0,667. \end{cases}$$
(10)

Отсутствие полной линейной зависимости (10) выходных состояний трех критериев позволяет объединить их для совместного использования. В этом случае выходной код трех нейронов «000» будет соответствовать трехкратному подтверждению гипотезы нормальности данных, исследуемой выборки. Инверсное состояние этого кода «111» будет соответствовать трехкратному подтверждению гипотезы равномерного закона распределения данных малой выборки.

По аналогии с практикой применения нейросетевых преобразователей биометрия-код будем принимать решение о принятии одной из двух гипотез по большинству состояний «0» или «1» в выходном коде сети трех нейронов. В этой ситуации каждому из четырех кодовым состояниям «нормальное» распределение будет соответствовать своя вероятность ошибок, эти данные сведены в таблицу 1.

Таблица 1. Вероятности появления ошибок для кодовых состояний «нормальное» распределение

Код	«000»	«001»	«010»	«100»
P_1	0,0404	0,0423	0,0441	0,0621

Получается, что принятие кодов таблицы 1 как некоторого комплексного признака «нормальности» данных может привести к ошибкам, возникающим с вероятностью от 0,0404 до 0,0621. Наблюдается примерно 7-ми кратное снижение вероятности принятия ошибочных решений при использовании совокупности трех статистических критериев по сравнению с их применением поодиночке.

Эффект повышения точности оценок при увеличении размеров группы нейросетевого обобщения статистических критериев

В настоящее время созданы и применяются десятки статистических критериев [4, 10, 11]. Предположительно для каждого из них может быть собран эквивалентный искусственный нейрон. Более того, в последнее время активизируются работы по созданию новых, ранее неизвестных статистических критериев [13-17]. Первые успехи в этом направлении позволяют надеяться на то, что к десяткам уже созданных статистических критериев в ближайшие годы удастся добавить десятки совершенно новых критериев. То есть, через несколько лет мы можем получить пакет из сотни различных статистических критериев и их нейронов-аналогов.

Возникает вопрос: до какого уровня можно снизить вероятность появления ошибок при нейросетевом обобщении коллекции из 100 и более статистических критериев? Ответить на этот вопрос можно, опираясь на накопленный технологический опыт обработки данных нейросетевой биометрии.

Для прогнозов могут быть использована технология симметризации нейронных сетей [18, 19]. Для ее реализации усредним вероятности появления ошибок трех рассмотренных ранее нейронов (0,292+0,303+0,342)/3=0,312. Далее усредним модули коэффициентов корреляции между выходными состояниями трех нейронов (10): E(|corr(.)|)=0,645. Будем исходить из того, что все 100 обобщаемых критериев имеют симметричную матрицу коэффициентов корреляции со значениями элементов вне ее диагонали 0,645.

Еще одним упрощением является нормализация выходных состояний сумматоров нейронов, что противоречит данным, отображенным на рисунках 1, 2, 3, однако на данный момент только для этого упрощения существует положительный опыт использования симметризации.

Приняв все перечисленные выше допущения, мы приходим к блок-схеме численного эксперимента, отображенной на рисунке 4. Исходные данные для численного эксперимента получают от 100 программных генераторов псевдослучайных чисел с нормальным распределением.

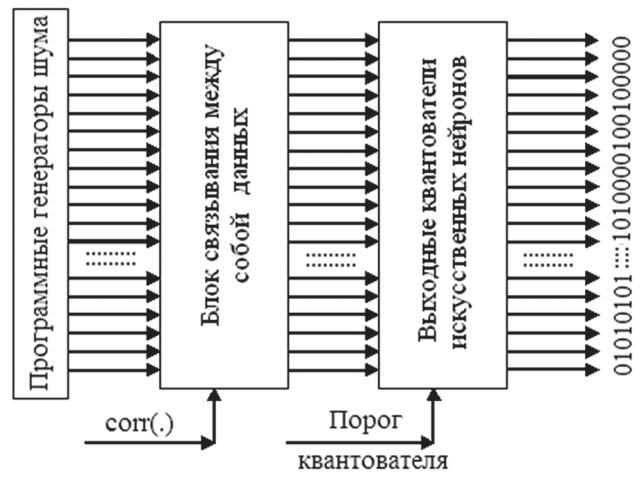


Рисунок 4 — Блок-схема решения задачи моделирования полностью симметричных искусственных нейронных сетей

Так как 100 программных генераторов дают независимые данные, их необходимо связать друг с другом и сделать одинаково коррелированными. Эту функцию выполняет второй слева блок на рисунке 4, реализующий произведение вектора независимых случайных чисел на симметричную связывающую матрицу:

$$\begin{bmatrix} 1 & a & ::: & a \\ a & 1 & ::: & a \\ ::: & ::: & ::: & ::: \\ a & a & ::: & 1 \end{bmatrix} \times \begin{bmatrix} x_1 \\ x_2 \\ ::: \\ x_{100} \end{bmatrix} = \begin{bmatrix} y_1 \\ y_2 \\ ::: \\ y_{100} \end{bmatrix}.$$
(11)

В силу симметричности, связывающей матрицы преобразования (11), выходные данные оказываются одинаково коррелированными. Для того, чтобы получить заданное значение коэффициентов равной коррелированности $\operatorname{corr}(y_i, y_{i+1}) = 0,645$ достаточно подбора значения всего одного параметра регулирования — a.

Следует отметить, что процедура симметризации связей и данных не может давать точных соответствий прогнозов и реальных данных. Если мы установим порог квантования блока эмуляции нейронов так, чтобы вероятность ошибок составляла 0,312, то тройки выходов совместно дадут общую ошибку 0,138. Этот результат примерно в 3 раза хуже реальных данных таблицы 1.

Для того, чтобы привести результаты к наблюдаемым данным, приходится значительно снизить равные вероятность ошибок каждого из нейронов с величины 0,312 до величины 0,141. В этом случае вероятность ошибок совместной работы группы из трех нейронов составит 0,0404.

Переход от обычных данных к данным с равной коррелированностью выгоден тем, что для этого частного случая в логарифмических координатах вероятности ошибок и число нейронов связаны линейной зависимостью, как это показано на рисунке 5.

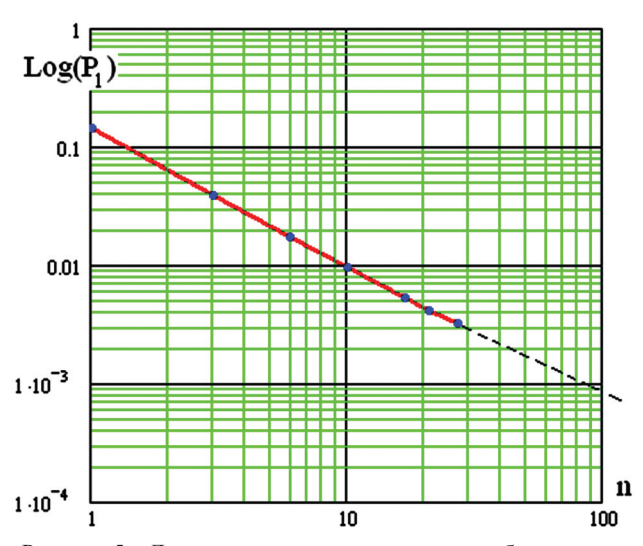


Рисунок 5 – Линия снижения вероятности ошибок первого рода из-за совместного применения нескольких статистических критериев с коэффициентами корреляции 0,645

Линия построена по 7 группам, состоящим из 1, 3, 6, 10, 16, 21, 27 нейронов. При проведении численного эксперимента использовалась выборка из 10 000 000 реализаций, время вычислений составляет примерно 9 минут на обычной вычислительной машине. Следует отметить, что применяя эту же вычислительную машину трудно провести численный эксперимент для группы из 100 нейронов, так как придется ждать несколько месяцев. Сократить время удается путем экстраполяции (пунктирная линия на рисунке 5).

В конечном итоге прогнозируемое значение вероятности ошибок для нейросетевого обобщения 10 критериев должно составить $P_1=0.01$, а при обобщении 100 критериев вероятность ошибок должна снизиться до величины 0,0009. Столь существенное снижение вероятности ошибок является хорошим стимулом для организации работ по синтезу новых статистических критериев [13-17].

Заключение

Пирсон, создавший в 1900 году хи-квадрат критерий, по сути дела, начал революцию в статистической обработке. Путь развития, обнаруженный Пирсоном, оказался очень плодотворным и за прошедшие 119 лет, его последователями были созданы десятки разных статистических критериев.

Нейронные сети начали активно изучаться с середины XX века, однако только в начале XXI века эта технология обработки была доведена до промышленного применения и стандартизована [3].

Основным утверждением данной статьи является возможность объединения двух, казалось бы, разных ветвей математики. Для объединения вполне достаточно использовать стандартизованные в России технологии нейросетевой обработки биометрических данных, применив их к трем или более классическим

статистическим критериям. Для рассмотренной тройки статистических критериев этот подход дает снижение вероятности ошибок более чем в 7 раз. При этом становится очевидным тезис о целесообразности расширения номенклатуры существующих статистических критериев. Чем больше размер группы, обобщаемых нейронами статистических критериев, тем лучше должен быть конечный результат.

В этом контексте кардинально меняется подход к синтезу новых статистических критериев. После Пирсона математики старались найти новый критерий, мощность которого выше чем у его предшественников. Огромное число критериев, которые были исследованы, но имели относительно низкую мощность, не публиковалось. При нейросетевом объединении множества статистических критериев мощность каждого из них перестает играть основную роль. Крайне важным оказывается еще и то, каковы корреляционные связи добавленного критерия с группой других критериев. В нашем случае два объединяемых критерия имеют примерно одинаковую мощность, однако в этой группе присутствует особый критерий Шапиро-Уилка, который имеет низкую коррелированность с основными критериями хи-квадрат и Крамера-фон Мизеса.

Как следствие, необходимо повторить работы по исследованию возможного многообразия статистических критериев, принимая во внимание не только их относительную мощность, но и значения их коэффициентов корреляции в группах с другими, наиболее востребованными статистическими критериями. Новые статистические критерии с относительно низкой мощностью разделения гипотез ранее отбраковывались и не публиковались, теперь ситуация коренным образов изменилась. Куда важнее становится то, как новый критерий дополняет уже исследованные статистические критерии. Скорее всего, в ближайшее время потребуется создавать некоторую таблицу уровня родственности (коррелированности) уже известных и перспективных статистических критериев. Объединять в группы и создавать для них нейросетевые обобщения выгоднее всего линейно независимые (слабо коррелированные) статистические критерии.

Библиографический список

- 1. **Похабов Ю.П.** Проблемы надежности и пути их решения при создании уникальных высокоответственных систем [Текст] / Ю.П. Похабов // Надежность. Том $19. \mathbb{N} \ 1. \mathbb{C}. \ 10-17.$
- 2. **Похабов Ю.П.** Обеспечение надежности уникальных высокоответственных систем [Текст] / Ю.П. Похабов // Надежность. Том 17. № 3. С. 17-23.
- 3. **ГОСТ Р 52633.5-2011.** Защита информации. Техника защиты информации. Автоматическое обучение нейросетевых преобразователей биометрия-код доступа [Текст]. Введ. 2012-04-01. М.: Стандартинформ, 2012. IV, 15 с.

- 4. **Кобзарь А.И.** Прикладная математическая статистика: для инженеров и научных работников [Текст] / А.И. Кобзарь. М.: ФИЗМАТЛИТ, 2006 г. 816 с.
- 5. **Язов Ю.К.** и др. Нейросетевая защита персональных биометрических данных [Текст] / Ю.К. Язов, В.И. Волчихин, А.И. Иванов, В.А. Фунтиков, И.Г. Назаров / Под ред. Ю.К. Язова. М.: Радиотехника, 2012 г. 157 с
- 6. **Сухорученков Б.И.** Анализ малой выборки. Прикладные статистические методы [Текст] / Б.И. Сухорученков. М.: Вузовская книга, 2010. 384 с: ил.
- 7. Дерффель К. Статистика в аналитической химии [Текст] / К. Дерффель. М.: Мир, 1994. 258 с.
- 8. Даев Ж.А., **Нурушев Е.Т.** Применение статистических критериев для улучшения эффективности методов оценки рисков. // Надежность. Том 18. № 2. С. 42-45.
- 9. **Ахметов Б.Б., Иванов А.И.** Оценка качества малой выборки биометрических данных с использованием более экономичной формы хи-квадрат критерия. // Надежность. $-2016. \mathbb{N} 2(57). \mathbb{C}. 43-48.$
- 10. **Р 50.1.037-2002.** Рекомендации по стандартизации. Прикладная статистика. Правила проверки согласия опытного распределения с теоретическим. Часть І. Критерии типа $\chi 2$ [Текст]. М.: Госстандарт России, 2001. 140 с.
- 11. **Р 50.1.037-2002.** Прикладная статистика. Правила проверки согласия опытного распределения с теоретическим. Часть ІІ. Непараметрические критерии [Текст]. М.: Госстандарт России, 2002. 123 с.
- 12. **Хайкин Саймон.** Нейронные сети: полный курс [Текст] / С. Хайкин. М.: «Вильямс», 2006. 1104 с.
- 13. **Серикова Н.И.** Оценка правдоподобия гипотезы о нормальном распределении по критерию Джини для числа степеней свободы, кратного числу опытов [Текст]/ Н.И. Серикова, А.И. Иванов, Ю.И. Серикова. // Вопросы радиоэлектроники. 2015. N 1(1). C. 85-94.
- 14. **Перфилов К.А.** Критерий среднего геометрического, используемый для проверки достоверности статистических гипотез распределения биометрических данных [Текст] / К.А. Перфилов. / Труды научно-технической конференции кластера пензенских предприятий, обеспечивающих безопасность информационных технологий. Пенза, 2014. Том 9. С. 92-93. URL: http://www.pniei.penza.ru/RV-conf/T9/C92.
- 15. **Иванов А.И.** Оценка соотношения мощностей семейства статистических критериев «среднего геометрического» на малых выборках биометрических

- данных [Текст] / А.И. Иванов, К.А. Перфилов / XI Всероссийская научно-практическая конференция «Современные охранные технологии и средства обеспечения комплексной безопасности объектов». Пенза-Заречный. 20 октября 2016 г. –2016. С. 223-229.
- 16. **Иванов А.И.** Многомерный статистический анализ качества биометрических данных на предельно малых выборках с использованием критериев среднего геометрического, вычисленного для анализируемых функций вероятности [Текст] / А.И. Иванов, К.А. Перфилов, Е.А. Малыгина // Измерение. Мониторинг. Управление. Контроль. − 2016. − № 2(16). − С. 64-72.
- 17. **Иванов А.И.** Оценка качества малых выборок биометрических данных с использованием дифференциального варианта статистического критерия среднего геометрического [Текст] / А.И. Иванов, К.А. Перфилов, Е.А. Малыгина // Вестник СИБГАУ. 2016. №4(17). С. 864-871.
- 18. **Малыгин А.Ю.** Быстрые алгоритмы тестирования нейросетевых механизмов биометрикокриптографической защиты информации [Текст] / А.Ю. Малыгин, В.И. Волчихин, А.И. Иванов, В.А. Фунтиков. Пенза, Издательство Пензенского государственного университета, 2006. 161 с.
- 19. **Ахметов Б.С.** Алгоритмы тестирования биометрико-нейросетевых механизмов защиты информации [Текст] / Б.С. Ахметов, В.И. Волчихин, А.И. Иванов, А.Ю. Малыгин. Алматы, КазНТУ им. Сатпаева, 2013. 152 с. URL: http://portal.kazntu.kz/files/publicate/2014-01-04-11940.pdf

Сведения об авторах

Александр И. Иванов, доктор технических наук, доцент, ведущий научный сотрудник лаборатории биометрических и нейросетевых технологий АО «Пензенский научно-исследовательский электротехнический институт», Российская Федерация, Пенза, e-mail: ivan@pniei.penza.ru

Евгений Н. Куприянов, аспирант кафедры «Технические средства информационной безопасности» ФГБОУ ВО «Пензенский государственный университет», Российская Федерация, Пенза, e-mail: ibst@pnzgu.ru

Сергей В. Туреев, начальник научно-технического центра, НИИ систем связи и управления, Российская Федерация, Москва, e-mail: niissu@niissu.ru

Поступила: 22.01.2019

Модель оценки эффективности диагностических средств в бортовых устройствах

Ефим Н. Розенберг, АО «НИИАС», Российская Федерация, Москва **Александр С. Коровин,** АО «НИИАС», Российская Федерация, Москва **Наталья Г. Пенькова,** АО «НИИАС», Российская Федерация, Москва



Ефим Н. Розенберг



Александр С. Коровин



Наталья Г. Пенькова

Резюме. Цель данной статьи – показать, что разработка, внедрение новых средств диагностики и улучшение существующих средств диагностики в бортовых устройствах позволяет добиться улучшения эксплуатационных характеристик и снижения вероятности перехода интеллектуальных систем железнодорожного транспорта в запрещенное состояние. Методика. Для интеллектуальных систем железнодорожного транспорта наибольший интерес представляет построение аналитической модели оценки вероятности в связи с ее возможностью наглядной демонстрации учитываемых в модели факторов. Запрещенные события, которые приводят к нарушению работоспособности интеллектуальных систем железнодорожного транспорта, являются случайными, и их можно представить в виде случайного процесса. Случайный процесс развития системы, переход системы из разрешенного состояния в запрещенное состояние, изменение состояний системы во времени может быть описан полумарковским процессом. При оценке вероятности попадания системы в запрещенное состояние возникает вопрос выбора метода расчета. В статье показана возможность представления и решения полумарковской модели с помощью связанной графовой модели [3, 5], которая обладает высоким уровнем наглядности и является хорошо формализованным методом определения вероятности перехода системы в запрещенное состояние. Множество состояний системы и связи между ними представлены в виде ориентированного графа состояний, для которого определены топологические понятия [3]. Для определения влияния введения новых средств диагностики и улучшения существующих средств диагностики в бортовых устройствах на вероятность перехода интеллектуальных систем железнодорожного транспорта в запрещенное состояние используется теорема определения вероятности перехода системы из начального неопасного состояния в опасное состояние и приведена формула расчета этой вероятности. Результаты. Реализованный в представленной статье графовый метод демонстрирует, что применение дополнительных средств диагностики позволяет уменьшить вероятность попадания системы в запрещенное состояние, то есть, в состояние, когда отказ не будет обнаружен штатными или дополнительными средствами диагностики, более чем в 2 раза.

Ключевые слова: бортовые устройства безопасности, блок индикации, функциональная надежность, графовая модель.

Формат цитирования: Розенберг Е.Н., Коровин А.С., Пенькова Н.Г., Модель оценки эффективности диагностических средств в бортовых устройствах// Надежность. 2019. №2. С. 28-32. DOI: 10.21683/1729-2646-2019-19-2-28-32

Введение

Для планирования мероприятий по обработке запрещенных событий на железнодорожном транспорте широко применяется моделирование. Для интеллектуальных систем большие возможности предоставляет математическое моделирование. Методы математического моделирования подразделяют на две группы: аналитические и имитационные. В виду определенных недостатков метода имитационного моделирования [1], для интеллектуальных систем железнодорожного транспорта наибольший интерес представляет построение аналитической модели оценки вероятности в связи с возможностью наглядной демонстрации учитываемых в модели факторов. Запрещенные события, приводящие к нарушению работоспособности интеллектуальных систем железнодорожного транспорта, являются слу-

чайными, их можно представить в виде случайного процесса. Случайный процесс развития системы, переход системы из разрешенного состояния в запрещенное состояние, изменение состояний системы во времени может быть описан полумарковским процессом. Построение и решение полумарковских моделей в общем виде сводится к формированию системы однородных дифференциальных уравнений. Такой путь всегда чреват математическими трудностями. Поэтому в статье показана возможность представления и решения полумарковской модели с помощью связанной графовой модели [3, 5]. Такая модель обладает высоким уровнем наглядности, позволяет формализовать искомые состояния системы, а также пути перехода из разрешенного в запрещенное состояние, не требует применения сложного математического аппарата для формирования мероприятий по обработке запрещенных событий.

Постановка задачи

В настоящее время на железнодорожном транспорте одними из интеллектуальных систем на борту локомотива являются: устройство безопасности КЛУБ-У (унифицированное комплексное локомотивное устройство безопасности), комплекс БЛОК (безопасный локомотивный объединенный комплекс) и комплекс БЛОК-М (безопасный локомотивный объединенный комплекс масштабируемый). Устройство безопасности КЛУБ-У, комплекс БЛОК и комплекс БЛОК-М имеют свои блоки индикации, которые оснащены человеко-машинным интерфейсом. Блок индикации является программно-аппаратным устройством. Данное устройство предназначено для отображения информации, необходимой машинисту, помощнику машиниста, оператору, в случае беспилотного движения локомотива, сервисному персоналу при ведении локомотива и при проведении предрейсовой диагностики.

Отображаемая информация о допустимой скорости, целевой скорости, фактической скорости, профиле пути, расстоянии, о впередилежащей точке остановки, графике движения, впередиидущем поезде, показании запрещающего светофора, позволяет достигать цели по безопасному ведению локомотива – как соблюдение скоростного режима при штатной работе, так и прогнозирование безопасного режима ведения локомотива.

В процессе работы устройства возможно нарушение его работоспособности вследствие случайного отказа его аппаратной части, проявления систематической ошибки в его программе, ошибки машиниста, взаимодействующего с устройством, ошибки во входных данных. Любое нарушение работоспособности устройства расценивается как его отказ. Это приводит к отображению неактуальной информации и принятию машинистом неверных решений по соблюдению безопасного режима ведения локомотива.

В связи с этим уделяется большое внимание разработке и применению диагностических технических средств, позволяющих минимизировать вероятность попадания блока индикации в запрещенное состояние, которое приведет к нарушению работоспособности устройства отображения информации. Под запрещенным состоянием в данном случае понимается скрытый (не обнаруживаемый диагностическими средствами) отказ.

Блок индикации имеет внутренние средства диагностики, которые с приемлемой для обеспечения безопасности полнотой диагностического покрытия проверяют состояние работоспособности устройства индикации.

С помощью внутренних средств диагностики удается выявить ряд нарушений в работе блока индикации. Для расширения перечня выявляемых ошибок предлагается дополнительно перед каждой поездкой, машинистом или сервисным персоналом проводить предрейсовую диагностику блока индикации. Это, в том числе, позволяет предотвратить выход на линию локомотива с неисправным устройством безопасности.

Цель данной статьи – показать эффективность применения диагностических средств в человеко-машинном

взаимодействии, применительно к бортовым устройствам. А также продемонстрировать, что разработка, внедрение новых средств диагностики и улучшение существующих средств диагностики позволяет добиться улучшения эксплуатационных характеристик блока индикации и снижения вероятности перехода блока индикации в запрещенное состояние.

Описание моделей

Представим алгоритм работы блока индикации с внутренними средствами диагностики и предрейсовой диагностикой в виде блок-схемы (рисунок 1).

Построим граф состояний алгоритма работы блока индикации, представленного на рисунке 1.

События возникновения нарушений при работе блока индикации носят случайный характер. Представим исследуемые состояния алгоритмов работы блока индикации с помощью ориентированного графа состояний G(S,H), где S— конечное множество состояний системы; H— конечное множество дуг между вершинами i,j (состояниями s_i,s_j). Состояния работы блока индикации можно описать следующим образом: если блок индикации находится в состояние s_i , то с вероятностью p_{ij} он сможет перейти в состояние s_i .

На рисунке 2а представлен граф состояний, в котором для обнаружения отказа в работе блока индикации используются только внутренние средства диагностики. А на рисунке 2б представлен граф состояний, в котором для обнаружения отказа в работе устройства помимо внутренних средств диагностики блока индикации, добавляется еще предрейсовая диагностика блока индикации с участием машиниста или сервисного персонала. Для достижения цели нашей статьи исследуем граф на рисунке 2б. Граф имеет следующие состояния:

Состояние «S1» — отображение программой блока индикации текущей поездной обстановки;

Состояние «S2» — проверка наличия отказа внутренними средствами диагностики (программная проверка наличие ошибок в CAN, проверка на зависание контроллера программно переключением watchdog timer, программная проверка наличия блока индикации в конфигурации);

Состояние «S3» — устранение блоком индикации отказа, обнаруженного внутренними средствами диагностики (программный перезапуск CAN — интерфейса, аппаратный перезапуск контроллера с помощью watchdog timer, программный перезапуск программного обеспечения блока индикации);

Состояние «S4» – проверка наличия отказа с помощью предрейсовой диагностики блока индикации (правильность обработки команд, правильность отображения поездной обстановки, правильность установленной версии программного обеспечения, правильность значений параметров постоянных характеристик);

Состояние «S5» – устранение с помощью машиниста или сервисного персонала отказа, обнаруженного предрейсовой диагностикой (оперативное устранение

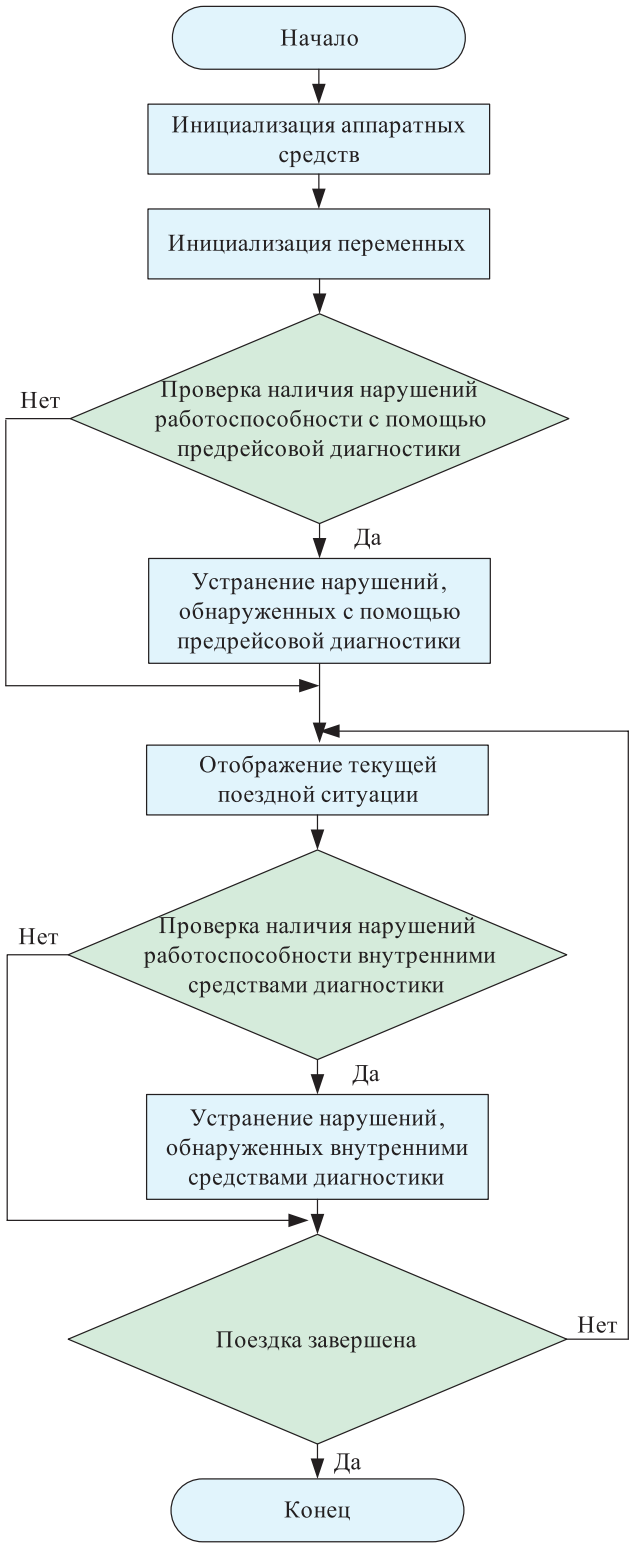


Рисунок 1 — Блок-схема алгоритма работы блока индикации с внутренними средствами диагностики и предрейсовой диагностикой.

обнаруженных ошибок, обновление программного обеспечения блока индикации, ввод правильных значений параметров постоянных характеристик);

Состояние «S6» — нахождение блока индикации в режиме со скрытым отказом.

S — полное множество состояний, S = {S1, S2, S3, S4, S5, S6};

 $S_{\rm p}$ – подмножество состояний не относящихся к запрещенным, $S_{\rm p}$ = {S1, S2, S3, S4, S5};

 \overline{S}_p – подмножество запрещенных состояний, $\overline{S}_p = \{S6\}$.

При исправных внутренних средствах диагностики и средствах предрейсовой диагностики блока индикации обнаруживается факт отказа в работе блока индикации, после чего осуществляется перевод устройства в состояние устранения отказа.

Предполагается, что при обнаружении отказа устройство восстанавливается. В случае необнаружения отказа внутренними средствами диагностики и средствами предрейсовой диагностики блока индикации вследствие их отказа или недостаточной их эффективности, осуществляется перевод устройства в состояние скрытого отказа устройства (запрещенное состояние).

Состояния S1 и S2 являются разрешенными и находятся во множестве «штатный режим работы блока индикации в период эксплуатации по прямому назначению». Выбор значений вероятностей переходов p11 и p12 выполнен исходя из соотношения объема частей программы, реализующих функцию отображения текущей поездной обстановки и функцию проверки наличия отказов внутренними средствами диагностики. Рейс длится 10 часов (то есть каждые 10 часов требуется переход в состояние предрейсовой диагностики).

Выбор значения р21 определен фактической надежностью блока индикации в ходе его эксплуатации. По статистике отказ блока индикации – маловероятное событие (зафиксировано 70 отказов за 2018 год на всей сети железных дорог по данным эксплуатации, всего ориентировочно 11740 изделий). То, что в ходе эксплуатации отказ не зафиксирован, не означает, что блок все это время находился в работоспособном состоянии, он мог некоторую долю времени находиться в запрещенном состоянии скрытого отказа. Распределение значений вероятностей переходов р23 и р26 осуществлено исходя из эффективности реализованной в блоке внутренней диагностики. Обнаруживающая способность отказов внутренними средствами диагностики, реализованными в блоке индикации, в соответствии с ГОСТ Р 61508-7-2012, находится на уровне 0,5.

В таблице 1 представлены значения вероятностей переходов за один шаг из i-го состояния в состояние $j(p_{ij})$.

Таблица 1. Матрица переходных вероятностей

		Состояние						
		1	2	3	4	5	6	Σ
	1	0,72	0,18	0	0,1	0	0	1
ие	2	0,85	0	0,075	0	0	0,075	1
НК(3	1	0	0	0	0	0	1
Состояние	4	0,7	0	0	0	0,15	0,15	1
Cc	5	1	0	0	0	0	0	1
	6	0	0	0	0	0	1	1

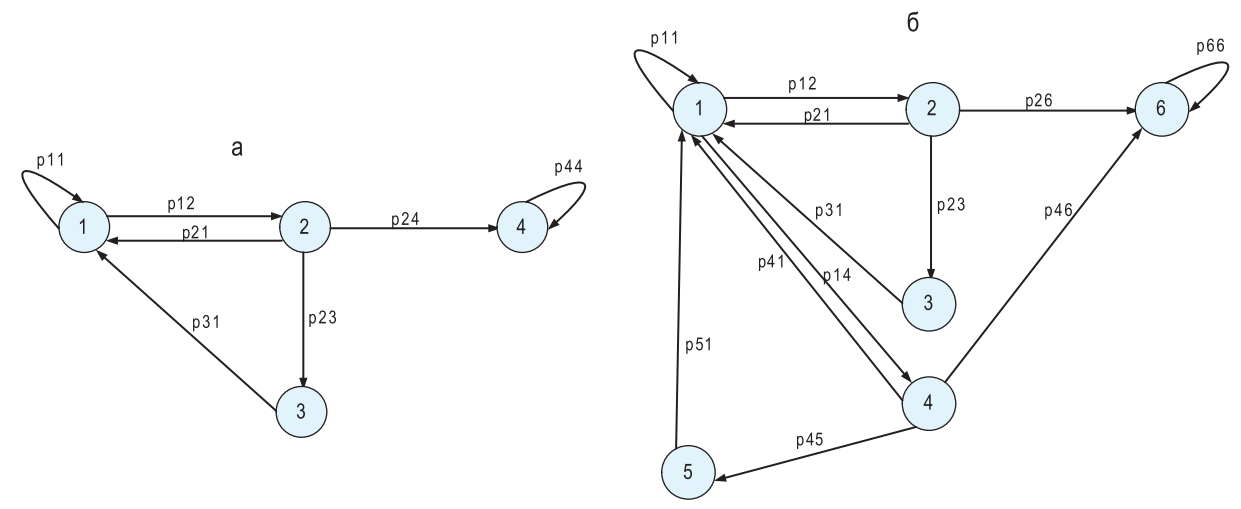


Рисунок 2 — Граф состояний: а) с внутренними средствами диагностики; б) с внутренними средствами диагностики и добавлением предрейсовой диагностики блока индикации с участием машиниста или сервисного персонала.

Задача состоит в определении влияния введения предрейсовой диагностики на вероятность перехода блока индикации в запрещенное состояние во время эксплуатации по назначению, когда используется только внутренняя диагностика.

Для решения этой задачи воспользуемся теоремой, которая гласит, что вероятность перехода системы из конкретного i-го начального неопасного состояния в любое опасное состояние f определяется выражением [5]

$$b_{if} = \frac{\sum_{f \in \overline{S}p} \sum_{k} l_{k}^{if} \Delta G_{k}^{f}}{\Delta G_{\overline{S}p}},$$

где $l_k^{if} - k$ -ый путь, ведущий из неопасного состояния графа i в опасное состояние f;

 ΔG_k^f — вес разложения графа без f-й вершины и вершин графа, расположенных на k-ом пути;

 $\Delta G_{\overline{s_p}}$ – вес разложения графа без вершин множества опасных состояний.

Приведем следующие топологические понятия, используемые для математического моделирования [3]:

- nymb — это цепь последовательно соединенных однонаправленных дуг с началом в состоянии i и окончанием в состоянии j, вес пути

$$l_k^{ij} = \prod_{i,r,j \in S} p_{ir} p_{rj},$$

где p_{ir} — вероятность перехода за один шаг из состояния i в состояние r;

 p_{rj} – вероятность перехода за один шаг из состояния r в состояние j;

- замкнутый контур — это цепь последовательно соединенных однонаправленных дуг, в которой выход конечной вершины в цепи соединен с начальной вершиной в цепи. Вес j-го контура определяется выражением:

$$C_{j} = \prod_{i,j \in S} p_{ij} p_{ji};$$

- nemns — частный случай замкнутого контура, в ней входящие и исходящие дуги сливаются в одну дугу, вес петли $C_i = p_{ii}$;

- разложение графа — это часть графа, не содержащая выделенных вершин и связанных с ней дуг; вес разложения ΔG^i рассчитывается с учетом исключения из графа вершины i и связанных с ней дуг; вес разложения $\Delta G_{\overline{Sp}}$ рассчитывается с учетом дополнительного исключения из графа вершин множества \overline{S}_p и связанных с ними дуг; вес разложения ΔG_k^f рассчитывается с учетом исключения из графа вершины f, а также вершин, расположенных на k-ом пути из начальной вершины в вершину f и связанных с ними дуг;

- вес разложения находится по формуле Мезона:

$$\Delta G = 1 - \sum_{j} C_{j} + \sum_{rj} C_{r} \cdot C_{j} - \sum_{irj} C_{i} \cdot C_{r} \cdot C_{j} + \dots$$

Для того чтобы оценить эффективность введения предрейсовой диагностики, рассчитаем условную вероятность перехода из исходного состояния «1» в запрещенное состояние «6», при условии, что штатные средства диагностики (внутренняя диагностика) отключены (пути $S1 \rightarrow S2 \rightarrow S6$ и $S1 \rightarrow S2 \rightarrow S3$).

В соответствии с теоремой оценки вероятности перехода из начального разрешенного состояния в запрещенное состояние, условная вероятность перехода из S1 в S6 определяется выражением:

$$b_{16/\overline{S}_{126}} = \frac{\sum_{f \in \overline{S}p} \sum_{k} l_{k}^{16} \Delta G_{k}^{6}}{\Delta G_{\overline{S}p}}.$$

Как видно из графа на рисунке 26, количество k путей перехода из S1 в S6 при условии, что для обнаружения отказа в работе блока индикации используется только предрейсовая диагностика блока индикации с участием машиниста или сервисного персонала, равно 1.

Определение весов путей: $l_1^{16} = S1 \rightarrow S4 \rightarrow S6 = p14 \cdot p46$. Определение весов контуров:

C1: $S1 \rightarrow S1$, sec контура – p11;

 $C2: S1 \rightarrow S2 \rightarrow S1$, вес контура – $p12 \cdot p21$;

C3: $S1 \rightarrow S2 \rightarrow S3 \rightarrow S1$, Bec KOHTypa – $p12 \cdot p23 \cdot p31$;

C4: $S1 \rightarrow S4 \rightarrow S1$, Bec KOHTYPA – $p14 \cdot p41$;

C5: $S1 \rightarrow S4 \rightarrow S5 \rightarrow S1$, Bec Kohtypa – $p14 \cdot p45 \cdot p51$;

C6: S6→S6, вес контура – p66.

Для рассматриваемого случая вес разложения графа без вершин множества запрещенных состояний равен: $\Delta G_{\overline{S}_2} = 1 - (C1 + C2 + C3 + C4 + C5).$

 \tilde{A} вес разложения с учетом исключения из графа вершины «6», а также вершин, расположенных на k-ом пути из вершины «1» в вершину «6» и связанных с ними дуг равен: $\Delta G_1^6 = 1$.

Подставляя данные из таблицы 1 получаем, что условная вероятность перехода из состояния S1 в состояние S6:

$$b_{16/\overline{S}_{126}} = \frac{\sum_{f \in \overline{S}p} \sum_{k} l_{k}^{16} \Delta G_{k}^{6}}{\Delta G_{\overline{S}p}} =$$

$$= \frac{p14 * p46 * \Delta G_1^6}{1 - C1 - C2 - C3 - C4 - C5} = 0,53.$$

Поскольку исследуемые модели описывают полную группу событий, то вероятность попадания в единственное запрещенное состояние в обоих случаях равна 1. Таким образом, исходя из вычисленного значения условной вероятности $b_{16/\overline{S}_{12}}$, получаем, что введение предрейсовой диагностики олока индикации с участием машиниста или сервисного персонала позволяет уменьшить вероятность попадания блока индикации в запрещенное состояние во время рейса больше, чем в 2 раза (с 1 до 0,47).

Заключение

В данной статье показана эффективность добавления предрейсовой диагностики блока индикации с участием машиниста или сервисного персонала к внутренним средствам диагностики обнаружения отказа в работе блока индикации. Так, вероятность попадания в запрещенное состояние, то есть, в состояние, когда отказ не будет обнаружен штатными или дополнительными средствами диагностики, уменьшится более чем в 2 раза.

Благодарность

Авторы выражают благодарность профессору, доктору технических наук Шубинскому Игорю Борисовичу за оказанную помощь, ценные советы и замечания при написании настоящей статьи.

Библиографический список

- 1. **Ивницкий В.А.** Моделирование информационных систем железнодорожного транспорта. Учебное пособие [Текст] / В.А. Ивницкий. М.: МИИТ, 2011. 143 с.
- 2. **Шубинский И.Б.** Функциональная надежность информационных систем. Методы анализа [Текст] /

- И.Б. Шубинский. М.: ООО «Журнал «Надежность», 2012. 296 с.
- 3. **Шубинский И.Б.** Надежные отказоустойчивые информационные системы. Методы синтеза [Текст] / И.Б. Шубинский. М.: Журнал Надежность, 2016. 544 с.
- 4. **Шубинский И.Б.** О понятии функциональной надежности [Текст] / И.Б. Шубинский, Х. Шебе // Надежность. -2012. -№ 4. C. 74-84.
- 5. **Шубинский И.Б.** Методы обеспечения функциональной надежности программ [Текст] / И.Б. Шубинский // Надежность. 2014. №4. С. 87-101.
- 6. **Шубинский И.Б.** Графовый метод оценки производственной безопасности на объектах железнодорожного транспорта [Текст] / И.Б. Шубинский, А.М. Замышляев, О.Б. Проневич // Надежность. -2017. Т.17. № 1. С. 40-45.
- 7. **Проневич О.Б.** Алгоритм расчета и прогнозиорвания показателей функциональной безопасности систем электроснабжения железнодорожного транспорта [Текст] / О.Б. Проневич, В.Э. Швед // Надежность. -2018. № 18(3). С. 46-55.
- 8. **Розенберг Е.Н.** Функциональная надежность программного обеспечения блока индикации комплекса БЛОК [Текст] / Е.Н. Розенберг, Н.Г. Пенькова, А.С. Коровин // Надежность. 2017. № 17(2). С. 36-40.
- 9. **Шухина Е.Е.** Безопасный локомотивный объединенный комплекс БЛОК [Текст] / Е.Е. Шухина, В.И. Астрахан. М.: 2013. 103 с.
- 10. **Зорин В.И.** Унифицированное комплексное локомотивное устройство безопасности (КЛУБ-У) [Текст] / В.И. Зорин, В.И. Астрахан. М.: ГОУ «Учебнометодический центр по образованию на железнодорожном транспорте», 2008. 177 с.
- 11. **ГОСТ Р МЭК 61508-7-2012.** Функциональная безопасность систем электрических, электронных, программируемых электронных, связанных с безопасностью. Часть 7. Методы и средства [Текст]. Введ. 2012-10-29. М.: Стандартинформ, 2014. V, 94 с.

Сведения об авторах

Ефим Н. Розенберг – профессор, доктор технических наук, первый заместитель Генерального директора АО «НИИАС». Российская Федерация, Москва, e-mail: info@vniias.ru

Александр С. Коровин – главный специалист сектора разработки микропроцессорных устройств АО «НИИАС». Российская Федерация, Москва, e-mail: A.Korovin@vniias.ru

Наталья Г. Пенькова — заместитель начальника центра безопасности и алгоритмической поддержки АО «НИИ-AC». Российская Федерация, Москва, e-mail: N.Penkova@vniias.ru

Поступила 08.04.2019

Индикаторный подход в управлении безопасностью объектов инфраструктуры железнодорожного транспорта

Леонид А. Баранов, *Российский университет транспорта (МИИТ), Российская Федерация, Москва* **Владимир В. Кульба,** *Институт проблем управления им.* В.А. Трапезникова РАН (ИПУ РАН), Российская Федерация, *Москва*

Алексей Б. Шелков, Институт проблем управления им. В.А. Трапезникова РАН (ИПУ РАН), Российская Федерация. Москва

Дмитрий С. Сомов, ПАО Сбербанк, Российская Федерация, Москва



Леонид А. Баранов



Владимир В. Кульба



Алексей Б. Шелков



Дмитрий С. Сомов

Резюме. Целью настоящей статьи является разработка методов анализа и моделирования процессов возникновения и развития нештатных ситуаций на сложных технических объектах инфраструктуры железнодорожного транспорта. Приведены результаты анализа угроз, причин и последствий возникновения внезапных чрезвычайных ситуаций на сложных технических объектах инфраструктуры железнодорожного транспорта. Для решения задач обеспечения безотказного функционирования технических объектов, а также своевременной идентификации неполадок предложено использовать индикаторный подход. позволяющий осуществлять диагностирование и формальный анализ процессов возникновения и распространения неисправностей по элементам сложных технических систем. Для моделирования процессов распространения возникающих в результате технических неполадок возмущений (угроз возникновения чрезвычайных ситуаций) предложено использовать теоретико-графовый подход, предполагающий модельное и визуальное представление структуры исследуемой технической системы в виде ориентированного графа, отражающего взаимосвязи между ее элементами. Каждой вершине и дуге графа присваиваются некоторые параметры или функционалы, отражающие процессы взаимосвязанного функционирования элементов моделируемой системы. Распространение возмущений в системе моделируется импульсными процессами, запускаемыми в одной или нескольких исходных вершинах. В статье приведены разработанные формализованные модели распространения возмущений в технической системе на основе построения структурных компонент и матриц взаимосвязи. Введено понятие критического элемента технической системы, с использованием которого идентифицируется событие ее выхода из строя. Выделены два базовых критерия отказа технической системы: исключительный (система считается вышедшей из строя, если возмущение достигло любого из критических элементов) и абсолютный критерий (отказ наступает в случае, если возмущение достигло заданного подмножества критических элементов). В работе приведен аналитический пример, иллюстрирующий возможности предложенной модели распространения возмущений по структуре технической системы. Для решения задачи повышения эффективности диагностирования угроз возникновения чрезвычайных ситуаций на технических объектах инфраструктуры железнодорожного транспорта предложена модель использования структурно-интегрированных индикаторов, сущность которой состоит в том, что в структуре технической системы предлагается размещать индикаторы, оперативно передающие необходимую и достаточную информацию в случае возникновения нештатной ситуации. Основная задача при этом состоит в формировании некоторого множества индикаторов, основной целью которого является снижение информационной нагрузки и фокусировка внимания диспетчеров или операторов на ключевых с точки зрения обеспечения безаварийности и безопасности процессах, происходящих в технической системе. Выделены базовые критерии формирования множества индикаторов в сложной технической системе: максимум достоверности оценки последствий возникших возмущений, максимум точности определения причин возникновения нештатной ситуации, минимум времени обнаружения нештатной ситуации, минимум единовременных или текущих затрат. Приведена модифицированная графовая модель распространения возмущений в сложной технической системе, являющаяся основой для решения многокритериальных задач оптимального размещения индикаторов в структуре технических систем по критериям полноты, точности и своевременности обнаружения отказов различного типа. Автоматизация процессов формирования множества индикаторов с применением моделей распространения возмущений в технических системах позволит использовать предложенные методы в рамках развития методологии УРРАН в части совершенствования технологий поддержки принятия решений в процессе управления объектами инфраструктуры железнодорожного транспорта.

Ключевые слова: управление, железнодорожный транспорт, объект инфраструктуры, техническая система, нештатная ситуация, датчики, индикаторы, моделирование.

Формат цитирования: Баранов Л.А., Кульба В.В., Шелков А.Б., Сомов Д.С. Индикаторный подход в управлении безопасностью объектов инфраструктуры железнодорожного транспорта // Надежность. 2019. №2. С. 33-41. DOI: 10.21683/1729-2646-2019-19-2-33-41

Введение

Актуальность проблем обеспечения высокого уровня безопасности на железнодорожном транспорте в настоящее время существенно возрастает. Железные дороги, являясь важнейшей составной частью транспортного комплекса России, играют исключительно важную роль в процессах социально-экономического развития страны, поскольку данному виду транспорта по объему и структуре грузовых и пассажирских перевозок фактически отсутствует альтернатива. Ведущая роль железнодорожного транспорта определяется также характерными для нашей страны значительными расстояниями перевозок, удаленностью основных объектов добывающей промышленности и источников сырьевых ресурсов от пунктов их переработки и потребления, а также морских портов, недостаточным развитием инфраструктуры других видов транспорта в имеющих стратегическое значение для развития нашей страны регионах Сибири и Дальнего Востока. От состояния, безопасности и качества работы железнодорожного транспорта зависят не только перспективы дальнейшего социально-экономического развития, но также возможности государства эффективно выполнять такие важнейшие функции, как защита национального суверенитета и безопасности страны, обеспечение потребности граждан в перевозках, создание условий для выравнивания уровня развития регионов и т.д.

В 2010 г. профильными организациями и подразделениями ОАО «Российские железные дороги» развернуты и в настоящее время активно продолжаются работы по созданию и широкому внедрению комплексной системы управления надежностью, ресурсами и функциональной безопасностью на железнодорожном транспорте УРРАН («Управление ресурсами, рисками и надежностью на стадиях жизненного цикла объектов инфраструктуры и подвижного состава») [1]. Данная система фактически реализует интегрированную технологию управления надежностью, ресурсами и функциональной безопасностью на железнодорожном транспорте и по сути является развитием методологий RAMS (безотказности, готовности, ремонтопригодности и безопасности) и LCC (стоимости жизненного цикла).

Основными стратегическими целями обеспечения безопасности на железнодорожном транспорте являются [2]:

- 1. Повышение эффективности основной деятельности, использования пропускных и провозных способностей инфраструктуры, технической надежности и готовности основных средств;
- 2. Обеспечение качества продуктов, услуг и процессов;

3. Обеспечение безопасности перевозок.

Производственно-технологический комплекс железнодорожного транспорта представляет собой широкомасштабную территориально распределенную многопрофильную инфраструктуру, включающей целый комплекс различных по назначению и решаемым технологическим задачам хозяйств ОАО «РЖД» (хозяйства пути и сооружений, автоматики и телемеханики, связи, электрификации и электроснабжения; локомотивное, вагонное и пассажирское хозяйства). При этом уровень сложности входящих в состав перечисленных хозяйств технических систем непрерывно возрастает, что неизбежно приводит к увеличению количества и разнообразия рисков различного типа, сопутствующих производству, наладке, техническому обслуживанию, эксплуатации и модернизации этих систем [3].

Обеспечение безопасности и надежности становится исключительно актуальным в условиях использования «беспилотных» транспортных средств. Международной ассоциацией общественного транспорта (International Association of Public Transport) рассматривается 5 уровней автоматизации управления движением поездов (от GO A0 до GO A4). При реализации уровня GO A4 на подвижном составе нет эксплуатационного персонала. В этих условиях централизованные системы автоматического управления движением поездов метрополитенов должны содержать подсистемы, обеспечивающие полноту, точность и своевременность обнаружения отказов различного типа и превентивное принятие решения [4].

В настоящее время с развитием современных технологий фактически происходит одновременное увеличение числа задействованных элементов в технических системах (размерностная сложность), рост разнообразия структур взаимодействия элементов таких систем (структурная сложность) и повышение разнообразия форм и способов этого взаимодействия (функциональная сложность). Это существенно повышает уровень сложности постановки и решения комплекса задач обеспечения надежного функционирования сложных технических систем (СТС), входящих в состав объектов инфраструктуры железнодорожного транспорта (ОИЖТ), поскольку в зависимости от их структурных и функциональных особенностей проявление рисков и характер распространения сбоев и отказов в рассматриваемых системах может быть различным [5]. При этом реализация рисков может заключаться в возможности нарушения нормального функционирования или выхода из строя как отдельного узла, так и всей системы в целом.

В настоящей работе основное внимание уделено разработке методов моделирования и анализа процессов

возникновения и развития нештатных ситуаций на объектах инфраструктуры железнодорожного транспорта на основе индикаторного подхода.

1. Моделирование процессов распространения возмущений по технической системе

Обширный опыт эксплуатации СТС различного класса и назначения показывает, что возникновению сбоев и отказов различной природы, а также возникающих по этой причине происшествий и аварийных ситуации, которые далее для краткости будем называть внезапными чрезвычайными ситуациями (ВЧС), как правило, предшествует фаза накопления каких-либо дефектов в технологическом оборудовании или отклонений в протекании того или иного технологического процесса [6]. Длительность данной фазы может очень существенно различаться (от минут до суток). При этом на первом этапе сами по себе дефекты или отклонения не представляют непосредственной угрозы возникновения ВЧС. Происходящие на практике процессы накопления подобных отклонений от нормы связаны, как правило, либо с не наблюдаемостью работы элементов и подсистем СТС из-за отсутствия эффективных средств мониторинга и диагностики, либо, что бывает гораздо чаще, с тем, что персонал привыкает к такого рода отклонениям, поскольку они далеко не всегда приводят к авариям. На следующей фазе происходит внезапное так называемое инициирующее событие, которое приводит к лавинообразному развитию неблагоприятных процессов и возникновению ВЧС, последствия которой существенно усугубляются отсутствием организационнотехнических механизмов противодействия, а также недостатком времени и ресурсов для его эффективного осуществления. Очевидно, что возникающая на третьей фазе как результат быстрого развития событий ВЧС в абсолютном большинстве случаев была бы невозможной без накопления отклонений и ошибок на первой сталии.

Таким образом, одной из основных задач обеспечения безотказного функционирования СТС является своевременная идентификация неполадок, иных нарушений в работе технической системы, предаварийных (аварийных) ситуаций и передача информации об их возникновении в системы визуализации, диспетчеризации и ситуационного управления различного уровня (лицам, принимающим решения (ЛПР), диспетчерам, операторам, и т.д.). Как правило, источниками информации о возможных нештатных отклонениях (неполадках) в работе СТС или их подсистем (узлов) являются датчики – элементы системы, способные регистрировать различные параметры состояния самой системы, ее окружающей среды, параметры функционирования СТС и др.

Возникающую в результате появления неполадок опасность возникновения сбоя, отказа, аварии, ВЧС или иного нарушения нормального функционирования

СТС, которое было зарегистрировано датчиком, будем называть угрозой. При этом будем предполагать, что возникновение некоторой угрозы приводит к возникновению процессов распространения возмущения по структурным элементам СТС в соответствии со схемой их взаимодействия. Поскольку угрозы в соответствии с приведенным выше определением могут иметь различную природу (тип, характер возникновения и проявления и т.п.), то и элементы СТС могут взаимодействовать между собой в процессе распространения возмущений различным образом. Как следствие, для каждого типа угрозы взаимодействие элементов системы будет происходить по различным схемам. Соответственно, по различным путям будет происходить и распространение возмущения по элементам СТС.

Технические системы высокой структурной, размерной и функциональной сложности обычно наделяются достаточно большим количеством датчиков, что существенно затрудняет осуществление качественного контроля их показаний, диагностирование возникающих нештатных ситуаций, а главное - своевременное принятие точных управляющих решений в случае отклонения их показаний от нормы и особенно – появления угрозы возникновения ВЧС. Таким образом, возникает задача выбора структуры информационной системы диспетчерского или ситуационного управления, позволяющей снизить нагрузку на оператора с целью увеличения скорости его реакции на возникающие нештатные ситуации без существенной потери уровня информированности о протекании наиболее существенных с точки зрения обеспечения безопасности процессов в СТС [5, 7–8].

При моделировании распространения возмущений, вызванного угрозой, будем использовать теоретикографовый подход. Представление структуры исследуемой системы в виде графа в настоящее время достаточно широко используется в качестве одного из подходов к визуальному и модельному представлению связей между элементами различных, в том числе технических, систем. При этом в общем случае структура системы в зависимости от моделируемого процесса или явления может быть как жестко фиксированной, так и претерпевать определенные регулярные изменения (что характерно для динамических систем).

Суть рассматриваемого подхода заключается в том, что структура системы и взаимодействие ее элементов в процессе эксплуатации представляются в виде ориентированного графа. Каждой вершине и дуге графа присваиваются некоторые параметры и функционалы, адекватно описывающие процессы функционирования элементов моделируемой системы. Начальный импульс (возмущение), приложенный к одной или группе вершин, распространяется по всему графу, изменяя параметры вершин. При этом в общем случае может меняться и величина самого импульса в соответствии с функционалами, присвоенными дугам графа. В процессе моделирования используется дискретное время с фиксированным шагом Δt . Данный подход в моделиро-

вании динамических систем в настоящее время нашел применение в целом ряде предметных областей [9].

Пусть $A = \{a_1, a_2, ..., a_n\}$ — множество элементов модели, где n — их число. В каждый момент времени любой элемент модели может принимать значения 0 или 1. Единица соответствует активированному состоянию (до элемента дошло возмущение), ноль соответствует неактивному состоянию. Состояние элемента a_i в момент времени t будем обозначать $a_i(t)$, а через $\overline{A}(t)$ будем обозначать вектор—строку $(a_1(t), a_2(t), ..., a_n(t))$ состояний элементов модели. Множество датчиков образует подмножество элементов модели $A \supseteq D = \{d_1, d_2, ..., d_{n_D}\}$, где n_D — количество датчиков.

Назовем матрицей смежности M квадратную бинарную матрицу $n \times n$, проиндексированную по обеим осям множеством элементов модели. В позиции $(i, j), i, j \in 1, n$ матрицы смежности содержится запись 1 тогда и только тогда, когда между собой элементы a_i и a_i модели связаны отношением R_1 таким, что если в момент времени t_1 элемент a_i активен, то из этого следует, что в момент времени $t_2 = t_1 + \Delta t$ элемент a_i тоже будет активным. Иными словами, отношение R_1 задает пути распространения возмущения по системе. Отношение R_1 будем называть отношением смежности или отношением достижимости глубины 1. Наличие отношения смежности между элементами модели a_i и a_i будем обозначать $a_i R_i a_i$, а отсутствие – $a_i R_1 a_i$. В случае, если между элементами a_i и a_i отсутствует отношение смежности R_1 , в позиции (i, j) матрицы смежности M стоит 0. Будем считать, что отношение смежности обладает свойством рефлексивности, т.е. $\forall a \in A$ aR_1a . В рамках модели это означает, что однажды активированный элемент остается активированным в течение всего времени моделирования. Для каждого выделенного типа угрозы может быть выделено свое отношение смежности R_1^1, R_1^2, R_1^3 , и т.д. Соответственно, каждому типу угрозы соответствует своя матрица смежности. Матрице смежности M соответствует орграф причинно-следственных взаимосвязей элементов модели $G(A, R_1)$, вершинами которого является множество элементов модели, а дуга (a_i, a_i) соответствует единице в позиции (i,j) матрицы. Данный граф будем называть орграфом взаимосвязи.

Активация элементов модели задается булевым уравнением $\overline{A}(t_{i+1}) = \overline{A}(t_i) \times M$. Другими словами, на последующих шагах активируются все элементы модели, соединенные дугами с уже активными элементами. При этом, поскольку диагональные элементы матрицы смежности равны 1, однажды активированные элементы остаются активированными в течение всего моделирования.

Среди множества элементов модели выбрано подмножество датчиков $D=\{d_1,\ d_2,\ ...,\ d_{n_D}\}$. Датчики регистрируют заданные параметры СТС и сигнализируют о возникновении угрозы. Возмущение, вызванное данной угрозой, распространяется от датчиков к другим элементам системы по дугам графа взаимосвязи $G(A,R_1)$. Множество элементов модели, матрица взаимосвязи и

подмножество датчиков определяются совместно с проектировщиком системы по результатам анализа схемы функционирования системы на этапе ее разработки. Также среди элементов модели выделяется подмножество критических элементов $K=\{k_1,k_2,...,k_{n_K}\}$, определяющих критерий выхода системы из строя. Для каждого типа угрозы (раскраски ребер) можно рассматривать различные наборы критических элементов.

Моделирование начинается с момента t_0 активации первого датчика и продолжается либо до момента стабилизации (прекращения изменения состояния элементов модели), либо до выхода системы из строя в соответствии с выбранным критерием отказа системы.

Момент выхода системы из строя будем обозначать t_s . Критерий выхода системы из строя определяется критическими элементами. В зависимости от особенностей рассматриваемой системы или узла, а также других особенностей решаемой задачи можно выбирать различные критерии оценки выхода системы из строя. Среди них можно выделить два базовых критерия.

- 1. Исключительный критерий выхода системы из строя. Система считается вышедшей из строя, если возмущение достигло любого из критических элементов: $t_s = \min(t : \exists k \in K : k(t) = 1)$.
- 2. Абсолютный критерий выхода системы из строя. Система считается вышедшей из строя, если возмущение достигло заданного подмножества $K^* \subseteq K$ (в вырожденном случае всех) критических элементов: $t_s = \min(t : \forall k \in K^* : k(t) = 1)$.

Можно также рассматривать и иные критерии, например, связанные с количеством, взаимным расположением и другими параметрами множества критических элементов, до которых дошло возмущение.

Для иллюстрации возможностей предложенной модели распространения возмущений по структуре СТС кратко рассмотрим условный упрощенный пример. Пусть структура системы включает 12 элементов, $n=12,\ A=\{a_1,\ a_2,\ ...,\ a_{12}\}.$ Элементы a_1 и a_2 являются датчиками, $d_1=a_1,\ d_2=a_2,\ D=\{d_1,\ d_2\}=\{a_1,\ a_2\},\ n_D=2.$ Элементы a_{11} и a_{12} являются критическими элементами, $k_1=a_{11},\ k_2=a_{12},\ K=\{k_1,\ k_2\}=\{a_{11},\ a_{12}\},\ n_K=2.$ Задана матрица смежности M:

	1	0	1	0	0	0	0	0	0	0	0	0
	0	1	0	1	1	0	0	0	0	0	0	0
	0	0	1	1	0	0	0	1	0	0	0	0
	0	0	0	1	0	1	0	0	0	0	0	0
	0	0	0	0	1	0	1	0	0	0	0	0
$M = \frac{1}{2}$	0	0	1	0	0	1	1	0	0	0	0	0
<i>IVI</i> —	0	0	0	0	0	0	1	0	0	1	0	0
	0	0	0	0	0	0	0	1	1	0	0	0
	0	0	0	0	0	0	0	0	1	0	1	0
	0	0	0	0	0	0	0	0	1	1	0	1
	0	0	0	0	0	0	0	0	0	0	1	0
	0	0	0	0	0	0	0	0	0	0	0	1

Отношение R_1 , задаваемое матрицей M, формирует орграф взаимосвязи $G(A,R_1)$, представленный на рисунке 1, где датчики обозначены символом окружности \bigcirc , а критические элементы — квадратом \blacksquare . Будем считать, что тип угрозы только один, соответственно, задано одно множество критических элементов, одно отношение смежности и один граф взаимосвязи.

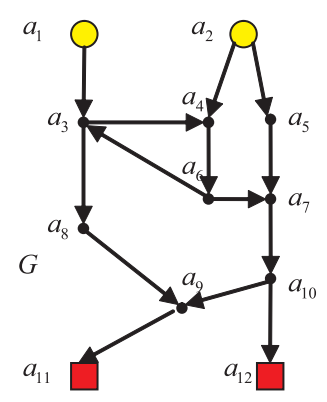


Рисунок 1 – Граф взаимосвязи *G*

Предположим, что в момент времени $t=t_0$ датчик $d_1=a_1$ регистрирует угрозу. $a_1(t_0)=1$, $a_{i,j\neq 1}(t_0)=0$, $\overline{A}(t_0)=\underbrace{(1,0,0,...,0)}_{1,2}$. Тогда, состояния элементов модели в момент времени $t=t_1=t_0+\Delta t$ вычисляются следующим образом:

$$\overline{A}(t_1) = \overline{A}(t_0) \times M = \underbrace{(1,0,1,0,0,\ldots,0)}_{12}$$

На рисунке 2 изображен процесс распространения возмущений по дугам графа взаимосвязи G от активных элементов (выделены дополнительной окружностью) к неактивным, а также состояния соответствующих элементов модели в различные моменты времени. Возмущение распространяется по дугам графа от активных элементов к неактивным, преодолевая за один шаг времени одну дугу. Состояние элементов в произвольный момент времени определяется булевой формулой $\overline{A}(t_i) = \overline{A}(t_0) \times M^i$.

Строки состояний элементов для различных моментов времени имеют следующий вид:

$$\overline{A}(t_0) = (1,0,0,0,0,0,0,0,0,0,0,0);$$

$$\overline{A}(t_1) = (1,0,1,0,0,0,0,0,0,0,0,0,0);$$

$$\overline{A}(t_2) = (1,0,1,1,0,0,0,1,0,0,0,0);$$

$$\overline{A}(t_3) = (1,0,1,1,0,1,0,1,1,0,0,0);$$

$$\overline{A}(t_4) = (1,0,1,1,0,1,1,1,1,0,1,0);$$

$$\overline{A}(t_5) = (1,0,1,1,0,1,1,1,1,1,1,1,1).$$

Как видно из рассмотренного примера, в момент времени $t=t_4$ активируется первый критический элемент.

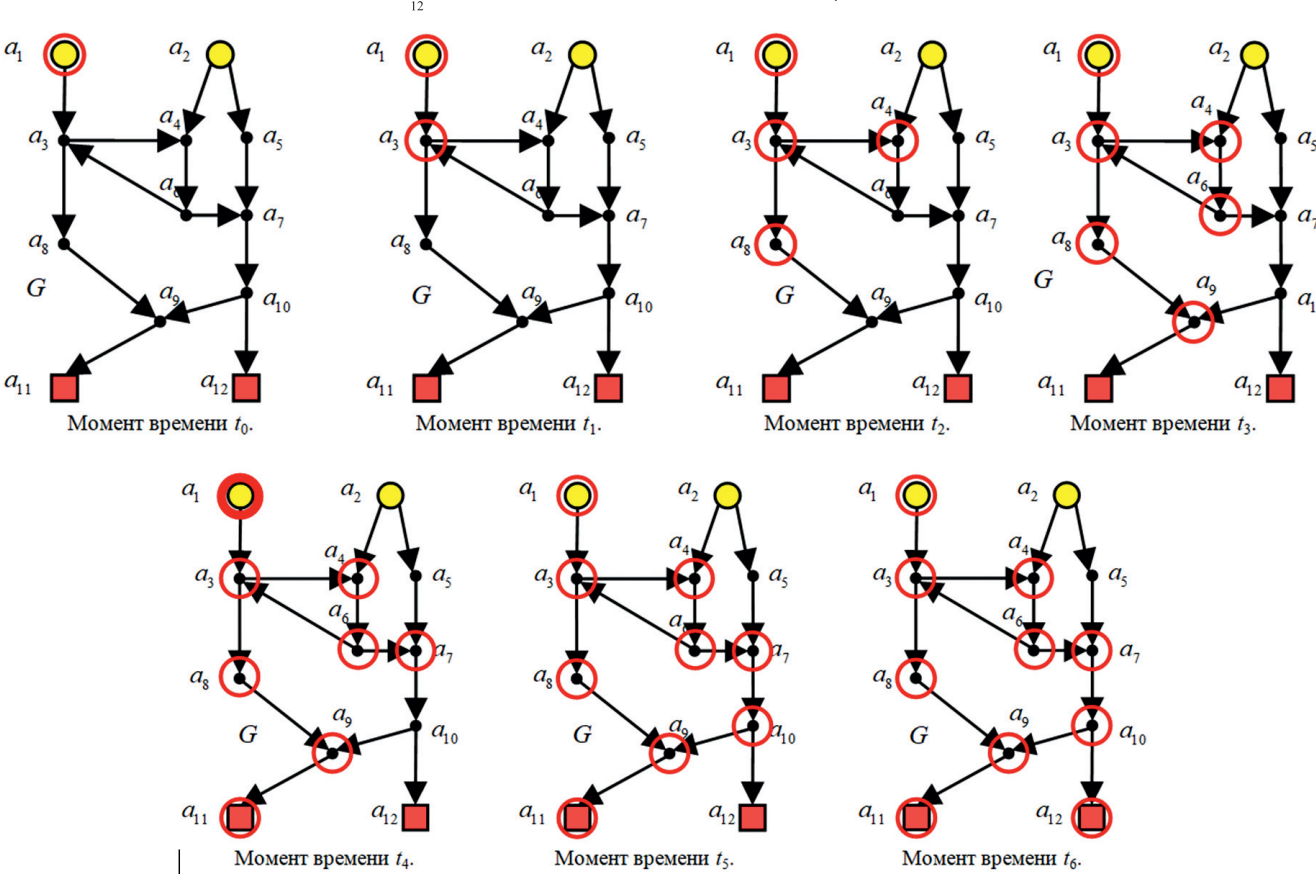


Рисунок 2 – Процесс распространения возмущений по системе

Если в системе используется исключительный критерий выхода системы из строя, то в момент времени t_4 система вышла бы из строя. При абсолютном критерии система выходит из строя в момент времени $t=t_6$.

2. Модели использования индикаторного подхода

Для решения задачи повышения эффективности диагностирования угроз возникновения ВЧС рассмотрим модель использования структурно-интегрированных индикаторов на технических ОИЖТ. Сущность индикаторного подхода состоит в том, что помимо датчиков в структуре технической системы предлагается размещать индикаторы, оперативно передающие необходимую и достаточную информацию в случае возникновения нештатной ситуации в СТС (угрозы возникновения ВЧС) в соответствующие системы визуализации, диспетчеризации или ситуационного управления с целью сигнализации ЛПР (оператору, диспетчеру и т.п.) о необходимости повышенного внимания к сложившейся ситуации или прямого вмешательства.

Основная задача в рамках данного подхода состоит в формировании некоторого множества индикаторов (здесь допустимо использование и общепринятого в организационном управлении и менеджменте понятия «панели индикаторов» [10]), основной целью которого является снижение информационной нагрузки и фокусировка внимания ЛПР (диспетчеров, операторов и т.д.) на ключевых с точки зрения целей задач обеспечения безаварийности и безопасности процессах, происходящих в СТС.

Индикаторы должны выбираться в структуре СТС таким образом, чтобы на основе значений отражаемых ими показателей (параметров) можно было достоверно судить о возникших отклонениях от штатного режима функционирования системы. Таким образом, рассматриваемый подход прежде всего должен в рамках систем контроля, диспетчеризации или ситуационного управления обеспечить оперативное предоставление ЛПР необходимой и достаточной информации о состоянии СТС в наглядной форме, а также возможности оперативного (в том числе сценарного) анализа альтернативных путей развития нештатной ситуации на заданном временном горизонте в управляемой технической системе, что в конечном итоге должно повысить эффективность принимаемых управленческих решений по обеспечению транспортной безопасности.

Для достижения указанных выше целей индикаторы должны быть расположены в структуре СТС таким образом, чтобы сигнализировать ЛПР о возникновении и развитии потенциально опасных ситуаций как можно раньше. Одновременно с этим необходимо отметить, что на ранних стадиях развития ситуации далеко не всегда до конца ясен возможный (наиболее вероятный, пессимистический, оптимистический и т.д.) сценарий развития нештатной ситуации, и, как следствие,

множество последействия может оказаться слишком широким, что не позволит достоверно спрогнозировать последствия и выработать правильное решение. В данном случае требуется оперативный и детальный мониторинг потенциально предаварийного состояния СТС с целью сбора дополнительной информации для ее последующего анализа и выработки соответствующей реакции на возникшие отклонения и угрозы возникновения ВЧС.

Безусловно, не менее важным критерием выбора определенного размещения индикаторов является и стоимость такого размещения. В зависимости от конкретной задачи необходимо учитывать не только количество индикаторов, но и их вес, объем, физическое расстояние между индикаторами, датчиками и т.д. Очевидно, что выбирая множество индикаторов нужно стремиться снизить их общее число, обеспечивая при этом минимально возможное снижение точности и информативности выдаваемых ими данных в системы визуализации, диспетчеризации или ситуационного управления.

На содержательном уровне можно выделить следующие основные критерии формирования множества индикаторов в сложной технической системе.

Достоверность оценки последствий. Набор индикаторов должен быть выбран таким образом, чтобы по их показаниям можно было судить о характере развития ситуации и возможных последствиях с максимальной точностью.

Точность определения причин. Показания индикаторов должны давать возможность не только оперативной идентификации и оценки последствий нештатных ситуаций, но и выявления причин их возникновения. Например, по показаниям индикаторов необходимо обеспечивать возможность определения, с какого узла (элемента) СТС началось распространение негативного воздействия, была ли причина возникших отклонений внешней или внутренней и т.д.

Время обнаружения нештатной ситуации. Индикаторы должны быть выбраны и расположены в структуре СТС таким образом, чтобы выявлять развивающиеся отклонения от нормального функционирования системы на как можно более ранних стадиях для максимизации резерва времени, необходимого на принятие решения оператором системы.

Объем затрат. Выбор и размещение индикаторов в структуре СТС должно быть осуществлено таким образом, чтобы минимизировать единовременные и текущие затраты.

Предложенные критерии в определенном смысле противоречивы, поскольку, например, для максимально точного определения причины возникновения нештатной ситуации, строго говоря, необходимо разместить индикаторы во всех элементах системы, но это приведет к росту стоимости и увеличению информационной нагрузки на ЛПР, росту затрат необходимого ЛПР времени на обнаружение нештатной ситуации и т.п.

Для решения задачи синтеза набора индикаторов модифицируем рассмотренную выше графовую модель распространения возмущений в СТС. Введем понятие времени прохождения дуги, под которым будем понимать положительное число, сопоставленное дуге графа взаимосвязи и означающее время, за которое возмущение перейдет из элемента модели, стоящего в начале дуги, в элемент, стоящий в конце дуги. Для записи времени прохождения дуг будем использовать матрицу временных взаимосвязей M_{t} , представляющую собой квадратную матрицу $n \times n$, проиндексированную по обеим осям элементами модели. При этом в позиции $(i, j), i, j \in 1, n$ матрицы временных взаимосвязей размещено время прохождения дуги (a_i, a_i) , если такая дуга существует, и знак бесконечности ∞, если такая дуга отсутствует.

Назовем матрицей временных расстояний N квадратную матрицу $n \times n$, проиндексированную по обеим осям элементами модели. При этом в позиции $(i,j), i,j, \in 1, n$ данной матрицы стоит временное расстояние между вершинами a_i и a_j графа. Матрица временных расстояний является результатом применения алгоритма нахождения кратчайших расстояний между вершинами Флойда-Уоршелла к матрице временных взаимосвязей [11].

Введем ряд определений, позволяющих сформулировать оптимизационную задачу размещения индикаторов в технической системе. Подмножество индикаторов будем обозначать $I=\{i_1,\,i_2,\,...,\,i_{n_j}\}$. Назовем множеством предшествования времени t вершины a множество всех элементов модели $Bef_i(a)$ таких, что элемент a достижим из них за время, не превышающее времени t. Множеством последействия времени t элемента a назовем множество всех элементов модели $Aft_i(a)$, достижимых из элемента a за время, не превышающее времени t.

Под индикаторным покрытием предшествования времени t будем понимать набор множеств предшествования времени t для всех индикаторов:

$$I_{t}^{Bef} = \left\{ Bef_{t}(i_{1}), Bef_{t}(i_{2}), \dots, Bef_{t}(i_{n_{t}}) \right\}.$$

Индикаторным множеством покрытия предшествования времени t будем называть объединение множеств элементов модели, входящих в индикаторное покрытие предшествования времени t, или, что то же самое, объединение множеств предшествования времени t всех индикаторов:

 $\overline{I_t^{Bef}} = \bigcup_{i=n} Bef_t(i_j).$

Аналогично под индикаторным покрытием последействия времени t будем понимать набор множеств последействия времени t для всех индикаторов:

$$I_{t}^{Aff} = \left\{ Aft_{t}(i_{1}), Aft_{t}(i_{2}), \dots, Aft_{t}(i_{n_{t}}) \right\}.$$

Индикаторным множеством покрытия последействия времени t будем называть объединение множеств элементов модели, входящих в индикаторное покры-

тие последействия времени t, или, что то же самое, объединение множеств последействия времени t всех индикаторов:

$$\overline{I_t^{Aft}} = \bigcup_{j=n} Aft_t \left(i_j \right).$$

Будем называть общим множеством покрытия предшествования набор множеств предшествования для всех индикаторов заданного для каждого индикатора времени:

$$I_{T}^{Bef} = \left\{ Bef_{t_{1}}(i_{1}), Bef_{t_{2}}(i_{2}), \dots, Bef_{t_{n_{l}}}(i_{n_{t}}) \right\},$$

где $T=\{t_1, t_2, ..., t_{n_r}\}$ — набор времен множеств предшествования. Аналогично вводится понятие общего индикаторного покрытия последействия:

$$I_{T}^{Aff} = \left\{ Aft_{t_{1}} \left(i_{1} \right), Aft_{t_{2}} \left(i_{2} \right), \dots, Aft_{t_{n_{I}}} \left(i_{n_{t}} \right) \right\}.$$

Назовем диаметром общего покрытия максимум по всем временам набора

$$T: D(I_T^{Bef}) = D(I_T^{Aft}) = \max_{i \le n_t} (t_i).$$

Аналогично покрытиям времени введем понятие индикаторного множества общего индикаторного покрытия предшествования и последействия:

$$\overline{I_{t}^{Bef}} = \bigcup_{j \leq n_{t}} Bef_{t}(i_{j}), \overline{I_{t}^{Aft}} = \bigcup_{i \leq n_{t}} Aft_{t}(i_{j}).$$

Будем считать, что решением задачи размещения индикаторов является некоторое подмножество элементов модели $I\subseteq A$. Введем ограничения на множество решений и получим, таким образом, множество допустимых решений.

Количество индикаторов должно быть ограничено. Это ограничение следует из требования снизить информационную нагрузку на оператора. Математически данное ограничение можно записать следующим образом: $|I| = n_I \leq N_I, \text{ где } N_I - \text{ некоторая константа, заданная при формулировании конкретной задачи.}$

Набор индикаторов должен покрывать все возможные угрозы, известные на этапе проектирования системы. Другими словами, в терминах рассматриваемой модели, не должно быть ситуации, при которой возмущение, вызванное датчиком, достигнет критического элемента раньше, чем оно достигнет индикатора. Математическую интерпретацию данного ограничения можно записать следующим образом: $\forall d \in D : Alf(d) \cap K \neq \emptyset$ $\exists i \in I : i \in Aft_S(d)$.

Таким образом, область допустимых решений должна удовлетворять следующим требованиям:

$$I \subseteq A,$$

$$\left| I \right| = n_{I} \le N_{I},$$

$$\forall d \in D : Alf (d) \cap K \neq \emptyset \ \exists i \in I : i \in Aft_{S}(d).$$

Сформулируем оптимизационные критерии для поиска оптимального решения среди допустимых решений

1. Критерий максимизации допустимого времени на принятие решения. С точки зрения безопасности функционирования системы и предупреждения выхода ее из строя необходима как можно более ранняя сигнализация об угрозе. Данный критерий состоит в максимизации времени, прошедшего с момента активации критического элемента до наступления критического события и в терминах и обозначениях модели записывается следующим образом:

$$\min_{d \in D, k \in K} \left(\max_{i \in I \cap Alf(d)} \left(dis^{t} \left(d, k \right) - dis^{t} \left(d, i \right) \right) \right) \to \max_{I}$$

2. Полнота покрытия. Для каждого набора индикаторов определено покрытие множествами предшествования и последействия. Для того чтобы иметь возможность судить как можно более полно о возможных причинах и последствиях текущей ситуации в системе необходимо выбрать индикаторы таким образом, чтобы множество покрытия предшествования и последействия охватывало как можно большую часть элементов модели. Математически это можно записать следующим образом:

$$\left| \overline{I^{Alt}} \right| \to \max_{I}; \left| \overline{I^{Bef}} \right| \to \max_{I}.$$

3. Точность покрытия. В предыдущем критерии используется покрытие без учета времени. Но для точного определения развивающейся ситуации необходимо, чтобы индикаторы находились «близко» по времени от возмущения, движущегося по системе. Для этого необходимо, чтобы минимальный диаметр покрытия предшествования или последействия, множество которого покрывает все множество покрытия предшествования I^{Bef} или последействия I^{All} был минимальным:

$$\min_{T:I_T^{Alt}=I^{Alt}} \left(\ D\left(\ I_T^{Alt} \right) \right) \rightarrow \min_I; \ \min_{T:I_T^{Bef}=I^{Bef}} \left(\ D\left(\ I_T^{Bef} \right) \right) \rightarrow \min_I.$$

Сформулируем задачу оптимизации размещения индикаторов.

Пусть задана модель распространения возмущения по технической системе: множество элементов модели $A=\{a_1,a_2,...,a_n\}$, подмножество датчиков $D=\{d_1,d_2,...,d_{n_0}\}$, подмножество критических элементов $K=\{k_1,k_2,...,k_{n_k}\}$. Элементы модели связаны в граф взаимосвязей G, времена прохождения дуг заданы матрицей временных взаимосвязей M.

Требуется найти такое подмножество элементов модели (множество индикаторов) $I=\{i_1,\ i_2,\ ...,\ i_{n_l}\}$, чтобы выполнялись условия:

$$|I| = n_I \le N_I,$$

$$\forall d \in D : Alf(d) \cap K \neq \emptyset \exists i \in I : i \in Aft_S(d).$$

$$\min_{d \in D} \max_{k \in K} \left(\max_{i \in I \cap Aff(d)} (dis^i(d,k) - dis^i(d,i)) \right) \to \max_I,$$

$$\left| \overline{I^{Alt}} \right| \to \max_{I}; \left| \overline{I^{Bef}} \right| \to \max_{I},$$

$$\min_{T:I_T^{All}=I^{All}} \left(\ D\left(\ I_T^{Alt} \right) \right) \rightarrow \min_{I}; \ \min_{T:I_T^{Bef}=I^{Bef}} \left(\ D\left(\ I_T^{Bef} \right) \right) \rightarrow \min_{I}.$$

В виду ориентированности на системы высокой структурной, функциональной и размерностной сложности, а также учитывая противонаправленность сформулированных выше критериев, точные алгоритмы решения рассматриваемой задачи будут иметь слишком высокую вычислительную сложность. В силу этого решение данной задачи предложено осуществлять с использованием комбинации различных приближенных алгоритмов, строящих решения по отдельным критериям, либо модифицирующих некоторое заранее заданное по иным критериям эффективности размещение индикаторов [5, 12]. Существенная особенность практического применения алгоритмов решения рассматриваемой задачи заключается в том, что оно должно осуществляться с использованием интерактивных процедур взаимодействия с экспертами или специалистами в заданной предметной области. Такой подход позволяет значительно улучшить качество результатов решения поставленной задачи (вариантов размещения индикаторов) с точки зрения достижения поставленных целей.

Заключение

Основной целью предложенного индикаторного подхода является повышение надежности эксплуатируемых СТС и предотвращение ВЧС за счет раннего диагностирования отклонений от нормального функционирования технических систем. Индикаторный подход обеспечивает возможность снижения информационной нагрузки на ЛПР (диспетчера или оператора), одновременно с этим фокусируя его внимание на наиболее существенных с точки зрения обеспечения безопасности процессах на объекте управления. Рассматриваемый подход также, что не менее важно, позволяет локализовывать с необходимой точностью источники возникновения нештатных ситуаций.

Предложенные модели распространения возмущений в СТС являются основой для постановки и разработки формализованных методов решения задач своевременного выявления нештатных ситуаций в процессе эксплуатации СТС и предотвращения ВЧС. Разработанный индикаторный подход включает комплекс моделей и технологий анализа процессов воздействия угроз и распространения возмущений в сложных технических системах, а также методов решения многокритериальных задач оптимального размещения индикаторов в структуре СТС по критериям полноты, точности и своевременности обнаружения отказов различного типа.

Автоматизация процессов формирования множества индикаторов, а также обработки, визуализации и анализа

их показаний позволит использовать предложенные методы в рамках развития методологии УРРАН в части совершенствования технологий поддержки принятия решений в процессе управления ОИЖТ.

Библиографический список

- 1. **Гапанович В.А.** Развитие и внедрение технологии УРРАН на железнодорожном транспорте [Текст] / В.А. Гапанович // Надежность. 2013. № 4. С. 3-17.
- 2. **Гапанович В.А.** Система адаптивного управления техническим содержанием инфраструктуры железнодорожного транспорта (проект УРРАН) [Текст] / В.А. Гапанович, И.Б. Шубинский, Е.Н. Розенберг, А.М. Замышляев // Надежность. 2015. № 2. С. 4-22.
- 3. **Кульба В.В.** Методология исследования проблем обеспечения безопасности на железнодорожном транспорте [Текст] / В.В. Кульба, С.А. Косяченко, А.Б. Шелков // Управление большими системами. 2012. Специальный выпуск 38 «Проблемы управления на железнодорожном транспорте». С. 5-19.
- 4. **Баранов Л.А.** Автоматическое управление движением поездов отечественных метрополитенов [Текст] / Л.А. Баранов // Мир транспорта. 2018. №3. С. 156-165
- 5. **Кульба В.В.** Использование сценарного и индикаторного подходов для управления живучестью, стойкостью и безопасностью сложных технических систем [Текст]: Научное издание / В.В. Кульба, Д.А. Кононов, С.А. Косяченко, А.А. Кочкаров, Д.С. Сомов. М.: ИПУ РАН, 2011. 116 с.
- 6. **Быков А.А.** О проблемах техногенного риска и безопасности техносферы [Текст] / А.А. Быков // Проблемы анализа риска. -2012. Том 9. № 3. С. 4-7.
- 7. **Шульц В.Л.** Управление техногенной безопасностью на основе сценарного и индикаторного подходов [Текст]: Научное издание / В.Л. Шульц, В.В. Кульба, А.Б. Шелков И.В. Чернов, Д.С. Сомов. М.: ИПУ РАН, 2013. 116 с.

- 9. Модели и методы анализа и синтеза сценариев развития социально-экономических систем [Текст]: в 2-х кн. / Под ред. В.Л. Шульца, В.В. Кульбы. М.: Наука, 2012. Кн. 1: -304 с. Кн. 2: -358 с.
- 10. Эккерсон У. Панели индикаторов как инструмент управления. Ключевые показатели эффективности, мониторинг деятельности, оценка результатов [Текст] / У. Эккерсон. М.: Изд-во Альпина Бизнес Букс, 2007. 396 с.
- 11. **Кормен Т.** Алгоритмы. Построение и анализ [Текст]: 3-е издание / Т. Кормен, Ч. Лейзерсон, Р. Ривест, К. Штайн. М.: Изд-во Вильямс, 2013. 1324 с.
- 12. **Кульба В.В.** Применение структурно-интегрированных индикаторов в мониторинге сложных технических систем [Текст] / В.В. Кульба, Д.С. Сомов, А.А. Кочкаров. // Известия Южного федерального университета. Технические науки. -2011.-N 3(116). -C. 52-65.

Сведения об авторах

Леонид А. Баранов – доктор технических наук, профессор, заведующий кафедрой, Российский университет транспорта (МИИТ), Российская Федерация, Москва, e-mail: baranov.miit@gmail.com

Владимир В. Кульба – доктор технических наук, профессор, заведующий лабораторией, Институт проблем управления им. В.А. Трапезникова РАН (ИПУ РАН), Российская Федерация, Москва, e-mail: kulba@ipu.ru

Алексей Б. Шелков – кандидат технических наук, ведущий научный сотрудник, Институт проблем управления им. В.А. Трапезникова РАН (ИПУ РАН), Российская Федерация, Москва, e-mail: abshelkov@gmail.com

Дмитрий С. Сомов – главный аналитик, ПАО Сбербанк, Российская Федерация, Москва, e-mail: somov. dmitry@gmail.com

Поступила: 27.02.2019

К вопросу о терминологии живучести авиационных конструкций

Вадим В. Ефимов, Московский государственный технический университет гражданской авиации, Российская Федерация, Москва



Вадим В. Ефимов

Резюме. Цель. Рассмотрены существующие определения живучести и эксплуатационной живучести авиационных конструкций. Сделана попытка дать однозначное определение живучести авиационных конструкций, которое в дальнейшем можно будет распространить и на летательный аппарат в целом и на другие сложные технические объекты. Основная задача настоящей работы состоит в том, чтобы четко разделить понятия надежности и живучести. Для обеспечения эффективности эксплуатации и безопасности полетов летательный аппарат должен обладать летной годностью - комплексной характеристикой летательного аппарата, определяемой реализованными в его конструкции принципами и решениями, позволяющей совершать безопасные полеты в ожидаемых условиях и при установленных методах эксплуатации. Ожидаемые условия эксплуатации описаны в Авиационных правилах - Нормах летной годности. Несмотря на то, что выполнение требований Норм летной годности обеспечивает достаточно высокий уровень безопасности полетов, особо ответственные элементы конструкции выполняют так, чтобы они оставались работоспособны даже в экстремальных условиях, выходящих за рамки ожидаемых условий эксплуатации. Но надежность не может отвечать за работоспособность вне ожидаемых условий эксплуатации. Напрашивается вывод о том, что в экстремальных условиях, выходящих за рамки ожидаемых условий эксплуатации, за работоспособность должно отвечать другое свойство, а именно живучесть. Методы. При проведении настоящего исследования были использованы логический и вероятностный подходы. Были исследованы литературные источники, посвященные в основном проблемам надежности и живучести авиационных конструкций, а также других сложных технических объектов. Для наилучшего понимания различий и взаимосвязи понятий надежности и живучести был использован вероятностный подход. Результаты. После проведенного анализа литературных источников было сформулировано определение живучести как свойства объекта сохранять во времени способность выполнять требуемые функции в экстремальных условиях, выходящих за рамки ожидаемых условий эксплуатации, при установленных методах технического обслуживания, хранения и транспортирования. Кроме того, было предложено определение эксплуатационной живучести как свойства объекта сохранять во времени способность выполнять требуемые функции в экстремальных условиях, выходящих за рамки ожидаемых условий эксплуатации, в зависимости от методов технического обслуживания, хранения и транспортирования. При рассмотрении вероятностного подхода к разделению понятий надежности и живучести авиационных конструкций был использован известный ранее показатель реальной эффективности транспортного летательного аппарата, который представляется в виде математического ожидания показателя эффективности. Летательный аппарат может находиться либо в ожидаемых условиях эксплуатации, либо в экстремальных условиях, выходящих за рамки ожидаемых условий эксплуатации, третьего не дано. Тогда сумма вероятностей попадания летательного аппарата в эти условия должна равняться единице. Вероятность безотказной работы можно вычислить через вероятность противоположного события – вероятность отказа, которую можно представить в виде произведения вероятности попадания летательного аппарата в соответствующие условия эксплуатации и вероятности отказа в данных условиях. Для экстремальных условий, выходящих за рамки ожидаемых, можно использовать доработанные автором известные понятия поражаемости и уязвимости. Выводы. Получено определение живучести, имеющее четкое отличие от понятий надежности и отказобезопасности. Кроме того, предложено понятие эксплуатационной живучести, которое введено по аналогии с ранее введенным понятием эксплуатационной надежности.

Ключевые слова: живучесть, эксплуатационная живучесть, надежность, отказ, безотказность, отказобезопасность, авиационная конструкция, летательный аппарат.

Формат цитирования: Ефимов В.В. К вопросу о терминологии живучести авиационных конструкций // Надежность. 2019. №2. С. 42-47. DOI: 10.21683/1729-2646-2019-19-2-42-47

Введение

Любой летательный аппарат (ЛА) характеризуется широким набором свойств и параметров, среди которых присутствуют эксплуатационные свойства — совокупность свойств ЛА, которые проявляются в процессе эксплуатации. К ним относятся: надежность, живучесть, безопасность и эксплуатационная технологичность. Если термины надежности, безопасности и эксплуатационной технологичности рассмотрены в специальной литературе достаточно подробно и последовательно, а по некоторым терминам существуют даже соответствующие стандарты, то термин «живучесть» не имеет однозначной и общепринятой формулировки. Это относится не только к терминологии живучести ЛА, но и к терминологии живучести других объектов [1–5].

В настоящей работе сделана попытка дать однозначное определение живучести авиационных конструкций, которое в дальнейшем можно будет распространить и на ЛА в целом и на другие сложные технические объекты. Основная задача настоящей работы состоит в том, чтобы четко разделить понятия надежности и живучести, провести между ними четкую границу.

Основные понятия и определения теории живучести авиационных конструкций

Для обеспечения эффективности эксплуатации и безопасности полетов ЛА должен обладать летной годностью, которая закладывается при его создании и поддерживается в эксплуатации. Летная годность - это комплексная характеристика ЛА, определяемая реализованными в его конструкции принципами и решениями, позволяющая совершать безопасные полеты в ожидаемых условиях и при установленных методах эксплуатации [6]. В Нормах летной годности самолетов транспортной категории [7] дается определение ожидаемым условиям эксплуатации - это условия, которые известны из практики или возникновение которых можно с достаточным основанием предвидеть в течение срока службы ЛА с учетом его назначения. Эти условия включают в себя параметры состояния и факторы воздействия на ЛА внешней среды, эксплуатационные факторы, влияющие на безопасность полета.

Ожидаемые условия эксплуатации не включают в себя:

- экстремальные условия, встречи с которыми можно надежно избежать путем введения эксплуатационных ограничений и правил;
- экстремальные условия, которые возникают настолько редко, что требование выполнять Нормы летной годности в этих условиях привело бы к обеспечению более высокого уровня летной годности, чем это необходимо и практически обосновано.

Летная годность зависит от *надежности* ЛА, в том числе от надежности его конструкции, которая, в свою очередь, определяется прочностью конструкции.

На этапе проектирования ЛА его летная годность по условию прочности обеспечивается правильным выбором конструктивных решений, выполнением расчетов на прочность, жесткость и усталость, проведением соответствующих испытаний.

В процессе эксплуатации ЛА из-за усталостных и коррозионных повреждений, деструкции неметаллических материалов, попадания в экстремальные условия эксплуатации, выходящие за рамки ожидаемых условий, возможна потеря летной годности по условию прочности конструкции. В связи с этим при эксплуатации ЛА необходимо поддержание его летной годности путем проведения соответствующих мероприятий при техническом обслуживании и ремонте.

Несмотря на то, что выполнение требований Норм летной годности обеспечивает достаточно высокий уровень безопасности полетов, особо ответственные элементы конструкции выполняют так, чтобы они оставались работоспособны даже в экстремальных условиях, выходящих за рамки ожидаемых условий эксплуатации. Но надежность не может отвечать за работоспособность вне ожидаемых условий эксплуатации, поскольку в соответствии с ГОСТ 27.002-2015 «Надежность в технике. Термины и определения» [8] надежность – это свойство объекта сохранять во времени способность выполнять требуемые функции в заданных режимах и условиях применения, технического обслуживания, хранения и транспортирования, а соответствии с терминологией Норм летной годности под заданными режимами и условиями применения следует понимать ожидаемые условия эксплуатации. Напрашивается вывод о том, что в экстремальных условиях, выходящих за рамки ожидаемых условий эксплуатации, за работоспособность должно отвечать другое свойство, а именно живучесть. Но подходит ли для этого какое-либо из существующих определений живучести? Рассмотрим существующую терминологию живучести авиационных конструкций и ЛА в целом.

В настоящее время терминология живучести не отражена в каком-либо ГОСТе. В предыдущей редакции вышеупомянутого ГОСТа по терминологии надежности (ГОСТ 27.002 – 89, [9]) существовало приложение, где было дано определение живучести, но не одно, а сразу три, что не способствовало однозначному пониманию этого термина. Приведем эти определения. Под живучестью понимают:

1) свойство объекта, состоящее в его способности противостоять развитию критических отказов из дефектов и повреждений при установленной системе технического обслуживания и ремонта,

или

2) свойство объекта сохранять ограниченную работоспособность при воздействиях, не предусмотренных условиями эксплуатации,

ипи

3) свойство объекта сохранять ограниченную работоспособность при наличии дефектов или повреждений определенного вида, а также при отказе некоторых компонентов. Примером служит сохранение несущей способности элементами конструкции при возникновении в них усталостных трещин, размеры которых не превышают заданных значений.

Это своеобразная классификация существующих определений живучести. В литературе, посвященной живучести авиационных конструкций, нашли то или иное отражение все эти три типа определений, но наибольшее распространение получил третий из них. Приведем для примера определения живучести этого типа:

- живучесть свойство конструкции сохранять прочность при наличии повреждений (в том числе усталостных) [10];
- живучесть свойство конструкции выполнять свои функции, несмотря на полученные повреждения различной природы [11];

В соответствии с этими определениями, если возникло какое-либо повреждение, то работоспособность конструкции будет зависеть от ее свойства живучести. Но повреждение конструкции вполне может возникнуть в ожидаемых условиях эксплуатации. Это могут быть частичные отказы, причины которых кроются, например, в ошибках проектирования, некачественном изготовлении элементов конструкции. В качестве примера можно привести усталостные разрушения элементов, возникшие по причине ошибок в расчетах усталостной долговечности или по причине нанесения дефектов при изготовлении деталей, которые явились концентраторами напряжений.

Если конструкция имеет резервные элементы, т.е. создана с использованием принципа безопасного разрушения, то оставшиеся элементы конструкции обеспечат восприятие расчетной нагрузки, а значит, конструкция в целом останется работоспособной. Но тогда понятие живучести пересекается с понятием безотказности, которое является составной частью надежности. В соответствии с [8] безотказность – это свойство объекта непрерывно сохранять способность выполнять требуемые функции в течение некоторого времени или наработки в заданных режимах и условиях применения, т.е. в ожидаемых условиях эксплуатации, если использовать терминологию Норм летной годности. Как известно, одним из самых простых способов повышения безотказности является резервирование элементов. Если один или даже несколько параллельно работающих элементов (в случае многократного резервирования) откажут, то оставшиеся элементы обеспечат работоспособность объекта или его системы. Тогда в чем разница между вышеприведенными определениями живучести и безотказности? Очевидно, что разница может быть только в условиях эксплуатации, при которых возник дефект или частичный отказ. Если это произошло в ожидаемых условиях эксплуатации, то за работоспособность должна отвечать надежность (безотказность), если это произошло в экстремальных условия эксплуатации, выходящих за рамки ожидаемых условий, то за работоспособность должна отвечать живучесть. Но об этом в вышеприведенных определениях живучести ничего не говорится.

В некоторых работах вместе или вместо термина «живучесть» используется термин «эксплуатационная живучесть». Причем в это понятие также вкладывается различный смысл. Рассмотрим следующие определения:

- эксплуатационная живучесть свойство, обеспечивающее нормальное выполнение заданных функций всеми системами ЛА в полете при наличии отказов или повреждений отдельных агрегатов, элементов, узлов [12];
- эксплуатационная живучесть авиационных конструкций свойство конструкций ЛА обеспечивать безопасность эксплуатации по условиям прочности при частичном или полном разрушении силовых элементов из-за усталостных, коррозионных, случайных повреждений при эксплуатации, либо повреждений в процессе производства и ремонта [13].

Данные определения по смыслу ничем не отличаются от вышеприведенных определений живучести, а слово «эксплуатационная», по-видимому, используется для того, чтобы указать на то, что в данном случае речь не идет о боевой живучести, т.е. о живучести, связанной с воздействием боевых поражающих средств, а лишь о живучести, связанной с «обычной» эксплуатацией.

Но в некоторых работах [10, 11] в понятие «эксплуатационная живучесть» вкладывается иной смысл: эксплуатационная живучесть - обобщенный термин, характеризующий свойства конструкции и способы обеспечения ее безопасности по условиям прочности и включающий в себя допустимость повреждения и безопасность разрушения (повреждения). Допустимость повреждения - свойство конструкции и способ обеспечения ее безопасности по условиям прочности путем установления сроков первого и последующих осмотров конструкции в эксплуатации с целью обнаружения возможного повреждения и последующего ремонта конструкции или замены поврежденного элемента до наступления того состояния, когда снижение прочности окажется недопустимым. Безопасность разрушения (повреждения) - свойство конструкции и способ обеспечения ее безопасности по условиям прочности путем создания такой конструкции, при которой после возможного существенного повреждения или разрушения одного из основных силовых элементов остаточная прочность, несмотря на неотремонтированное состояние, не снизится более чем до допустимого уровня за интервал времени, в течение которого повреждение (разрушение) будет заведомо обнаружено.

Это определение достаточно громоздко и сложно для восприятия, но суть его сводится к тому, что живучесть – это свойство, обеспечивающее безопасность за счет

способности противостоять развитию критических отказов из возникших дефектов. Такое понятие эксплуатационной живучести можно отнести к первому типу определений в вышеприведенной классификации определений живучести. Но в данном случае оно пересекается с гостированным понятием *отказобезопасности* — свойства воздушного судна в целом и/или его функциональных систем, характеризующего способность обеспечивать безопасное завершение полета в ожидаемых условиях эксплуатации при возможных отказах на борту воздушного судна [14].

В связи со всем вышеизложенным наиболее логичным и последовательным представляется второй тип определений живучести. В работе [15] дается наиболее близкое ко второму типу определение: живучесть – свойство самолета сохранять работоспособное состояние при воздействии поражающих средств и нерасчетных нагрузок, а также при наличии накопившихся повреждений.

Если из данного определения исключить слова «а также при наличии накопившихся повреждений», то его можно считать вполне приемлемым.

Таким образом, по аналогии с вышеприведенным определением надежности можно дать следующее определение живучести: живучесть — это свойство объекта сохранять во времени способность выполнять требуемые функции в экстремальных условиях, выходящих за рамки ожидаемых условий эксплуатации, при установленных методах технического обслуживания, хранения и транспортирования.

Итак, любой объект и ЛА, в частности, может находиться либо в ожидаемых условиях эксплуатации, либо в экстремальных условиях эксплуатации, выходящих за рамки ожидаемых, третьего не дано. В ожидаемых условиях эксплуатации за работоспособность объекта отвечает надежность, в экстремальных – живучесть.

Понятие «эксплуатационная живучесть» также имеет право на существование. Если рассмотреть определение надежности и вышеприведенное рекомендуемое в настоящей работе определение живучести, то и в том и в другом случае рассматриваются установленные методы технического обслуживания, хранения и транспортирования. Но реальные условия эксплуатации характеризуются значительным разнообразием и нестабильностью из-за различия климатических условий, уровня подготовки летного и технического состава, материально-технической базы, организации технического обслуживания и ремонта и др. Таким образом, методы и условия технического обслуживания, хранения и транспортирования объекта могут отличаться от заданных. В связи с этим в работе [16] было введено понятие эксплуатационной надежности, которое можно сформулировать следующим образом: это свойство объекта сохранять во времени способность выполнять требуемые функции в ожидаемых условиях эксплуатации в зависимости от методов и условий технического обслуживания, хранения и транспортирования. По аналогии с данным определением можно сформулировать определение эксплуатационной живучести — свойства объекта сохранять во времени способность выполнять требуемые функции в экстремальных условиях, выходящих за рамки ожидаемых условий эксплуатации, в зависимости от методов технического обслуживания, хранения и транспортирования.

Таким образом, надежность и живучесть оказываются взаимосвязанными, но четко разделенными понятиями, каждое из которых имеет свою зону ответственности.

Для лучшего понимания этого разделения рассмотрим различие и взаимосвязь надежности и живучести, используя вероятностный подход.

Вероятностный подход к разделению понятий надежности и живучести авиационных конструкций

Для того чтобы лучше разобраться в различии и взаимосвязи понятий надежности и живучести, используем подход, описанный в работе [15].

Рассмотрим показатель реальной эффективности транспортного ЛА, который можно представить в виде математического ожидания:

$$W = W_0 P_{\text{нал}} P_{\text{жив}}$$

где W_0 — показатель исходной эффективности, определяемый функциональными свойствами ЛА (в основном, его летно-техническими характеристиками), при его абсолютной надежности и живучести. Это может быть, например, показатель производительной отдачи [17] W_0 = $m_{_{\rm KOM}}L/m_0$, где $m_{_{\rm KOM}}$ — максимальная масса коммерческой нагрузки, L — дальность полета при максимальная взлетная масса ЛА;

 $P_{\mbox{\tiny над}}$ — показатель надежности (вероятность сохранения работоспособности в ожидаемых условиях эксплуатации);

 $P_{\mbox{\tiny жив}}$ – показатель живучести (вероятность сохранения работоспособности в экстремальных условиях, выходящих за рамки ожидаемых условий эксплуатации).

Показатель надежности можно представить в виде произведения вероятностей:

$$P_{\text{Hall}} = P_{\text{I}} P_{\text{II}} P_{\text{5/ork}}$$

где $P_{{}_{\Gamma}}$ – коэффициент готовности;

 $P_{_{\rm II}}$ – вероятность выполнения полета при условии нахождения ЛА в работоспособном состоянии;

 $P_{\mbox{\tiny 6/отк}}$ — вероятность безотказной работы за время выполнения полета в ожидаемых условиях эксплуатации.

Рассмотрим последовательно эти вероятности.

Для того чтобы ЛА мог выполнить полетное задание, изначально он должен находиться в работоспособном состоянии, что зависит от его свойства готовности. Количе-

ственно это оценивается соответствующей вероятностью P_{r_2} которая называется коэффициентом готовности.

Чтобы выполнить полетное задание, ЛА, будучи в работоспособном состоянии, должен выполнять полет. Это зависит от многих причин, в том числе организационного характера, но если говорить только о свойствах ЛА, то это зависит, например, от технических возможностей его пилотажно-навигационного оборудования (возможность обеспечения полета в темное время суток, в сложных метеоусловиях). Возможность выполнения полета при условии нахождения ЛА в работоспособном состоянии оценивается соответствующей условной вероятностью P_{π} .

Однако в полете могут возникнуть *особые ситуации* – ситуации, возникающие в полете в результате воздействия неблагоприятных факторов или их сочетаний и приводящие к снижению безопасности полета [7], в том числе к авариям и катастрофам, в результате чего полетное задание не может быть выполнено. К неблагоприятным факторам относят отказы, экстремальные условия эксплуатации, ошибки экипажа и обслуживающего персонала.

В данной классификации неблагоприятных факторов под отказами обычно понимают нарушения работоспособности, возникающие в ожидаемых условиях эксплуатации. Это могут быть отказы, причины которых кроются в ошибках проектирования, некачественном изготовлении элементов конструкции и оборудования ЛА. Возможность появления подобных отказов оценивается соответствующей вероятностью $Q_{\text{отк}}$, а вероятность безотказной работы в ожидаемых условиях эксплуатации определяется по формуле:

$$P_{\text{6/otk}} = 1 - Q_{\text{ove}} Q_{\text{otk}}, \tag{1}$$

где $Q_{\text{оуэ}}$ – вероятность попадания ЛА в ожидаемые условия эксплуатации.

Поскольку, как было сказано выше, ЛА может находиться либо в ожидаемых условиях эксплуатации, либо в экстремальных условиях, выходящих за рамки ожидаемых условий эксплуатации, а третьего не дано, то сумма вероятностей попадания ЛА в эти условия должна равняться единице:

$$Q_{\text{ova}} + Q_{\text{ava}} = 1$$
,

где $Q_{_{2y_{2}}}$ – вероятность попадания ЛА в экстремальные условия эксплуатации.

К счастью, $Q_{\text{оуэ}}>> Q_{\text{эуэ}}$, причем $Q_{\text{оуэ}}\cong 1$, в связи с чем в формуле (1) ее обычно опускают.

Но отказы могут быть также следствием попадания ЛА в экстремальные условия, выходящие за рамки ожидаемых условий эксплуатации. То есть отказы могут являться следствием нерасчетных внешних воздействий (например, воздействие одиночных порывов ветра, скорость которых превосходит значения, установленные Нормами летной годности, что может привести к

разрушению элементов конструкции или появлению остаточных деформаций, воздействие повышенной непрерывной атмосферной турбулентности, параметры которой также указаны в Нормах летной годности, что может привести к преждевременному израсходованию ресурса и, как следствие, к усталостному разрушению элемента конструкции, воздействие боевых поражающих средств), ошибок экипажа (например, грубая посадка или превышение максимально допустимого полетного значения перегрузки при маневре, что может привести к разрушению элементов конструкции или появлению остаточных деформаций) или ошибок обслуживающего персонала (например, нанесение дефектов на элементы конструкции при неаккуратном выполнении работ по техническому обслуживанию и ремонту и, как следствие, к преждевременному усталостному разрушению). В данном случае за выполнение полетного задания отвечает уже живучесть.

В соответствии с [15] живучесть ЛА определяется поражаемостью и уязвимостью. Доработаем формулировки этих понятий в соответствии с вышеизложенными соображениями. Тогда поражаемость - это свойство ЛА, характеризующее возможность его попадания в экстремальные условия, выходящие за рамки ожидаемых условий эксплуатации (показателем поражаемости является вероятность попадания ЛА в экстремальные условия эксплуатации – Q_{yy}). Уязвимость – это свойство ЛА, характеризующее возможность нарушения его работоспособного состояния в результате воздействий, не предусмотренных ожидаемыми условиями эксплуатации (показателем уязвимости является вероятность потери работоспособности ЛА при условии воздействия, не предусмотренного ожидаемыми условиями эксплуатации – Q_{yg2}). С учетом этого по аналогии с формулой (1) выражение для показателя живучести, т.е. вероятности сохранения работоспособности в экстремальных условиях, имеет вид:

$$P_{\text{WB}} = 1 - Q_{\text{NY}}Q_{\text{NS}}$$

Заключение

В настоящей работе сделана попытка дать однозначное определение живучести авиационных конструкций. Полученное определение можно распространить на ЛА в целом, а также на другие сложные технические объекты.

Выделять боевую живучесть в отдельное понятие не имеет смысла, т.к. воздействие на объект поражающих средств вполне укладывается в понятие воздействия неблагоприятных факторов.

Достоинством полученного определения живучести является его четкое отличие от гостированных понятий надежности и отказобезопасности.

Кроме того, предложено понятие эксплуатационной живучести, которое введено по аналогии с понятием эксплуатационной надежности.

По мнению автора настоящей работы, назрела необходимость закрепить понятие живучести в соответствующем ГОСТе или, по крайней мере, выпустить приложение к ГОСТ 27.002-2015, подобно приложению к ранее действовавшему ГОСТ 27.002-89, но с учетом изложенных в настоящей работе предложений.

Библиографический список

- 1. **Черкесов Г.Н.** Анализ функциональной живучести структурно-сложных технических систем [Текст] / Г.Н. Черкесов, А.О. Недосекин, В.В. Виноградов // Надежность. 2018. №18(2). С. 17-24. DOI:10.21683/1729-2646-2018-18-2-17-24
- 2. **Черкесов Г.Н.** Описание подхода к оценке живучести сложных структур при многоразовых воздействиях высокой точности [Текст] / Г.Н. Черкесов, А.О. Недосекин // Надежность. 2016. $Notemath{\underline{N}}$ 016(2). С. 3-15. DOI:10.21683/1729-2646-2016-16-2-3-15
- 3. Зарубский В.Г. Особенности организации процесса функционального диагностирования управляющего компьютера повышенной живучести [Текст] / В.Г. Зарубский // Надежность. 2016. N 16(3). С. 35-38. DOI:10.21683/1729-2646-2016-16-3-35-38
- 4. **Юркевич Е.В.** Особенности информационной поддержки в обеспечении живучести космического аппарата при электрофизических воздействиях [Текст] / Е.В. Юркевич, Л.Н. Крюкова, С.А. Салтыков // Надежность. -2016.-N 0 16(4).-C. 30-35. DOI:10.21683/1729-2646-2016-16-4-30-35
- 5. **Климов С.М.** Методика повышения отказоустойчивости сетей спутниковой связи в условиях информационно-технических воздействий [Текст] / С.М. Климов, С.В. Поликарпов, А.В. Федченко// Надежность. -2017. -N 17(3). C. 32-40. DOI:10.21683/1729-2646-2017-17-3-32-40
- 6. **Смирнов Н.Н.** Сохранение летной годности воздушных судов [Текст] / Н.Н. Смирнов Н.Н., Ю.М. Чинючин, С.П. Тарасов. М.: МГТУ ГА, 2005. 78 с.
- 7. Авиационные правила. Часть 25. Нормы летной годности самолетов транспортной категории: утв. Постановлением 23-ей сессии Совета по авиации и использованию воздушного пространства 5 сентября 2003 года. М.: ОАО «Авиаиздат», 2004. 237 с.

- 8. **ГОСТ 27.002-2015.** Надежность в технике. Термины и определения [Текст]. Введ. 2016–06–21. М.: Стандартинформ, 2016. IV, 27 с.
- 9. **ГОСТ 27.002-89.** Надежность в технике. Термины и определения [Текст]. Введ. 1990-07-01. М.: ИПК Издательство стандартов, 1990. 38 с.
- 10. **Арепьев А.Н.** Вопросы эксплуатационной живучести авиаконструкций [Текст] / А.Н. Арепьев, М.С. Громов, В.С. Шапкин. М.: Воздушный транспорт, 2002. 424 с.
- 11. **Бутушин С.В.** Обеспечение летной годности воздушных судов гражданской авиации по условиям прочности [Текст] / С.В. Бутушин, В.В. Никонов, Ю.М. Фейгенбаум, В.С. Шапкин. М.: МГТУ ГА, 2013. 772 с.
- 12. **Смирнов Н.Н.** Основы теории технической эксплуатации летательных аппаратов [Текст]: Часть 2 / Н.Н. Смирнов. М.: МГТУГА, 2003. 87 с.
- 13. Авиация: энциклопедия / Гл. ред. Г. П. Свищев. М.: Большая Российская энциклопедия, 1994. 736 с.
- 14. **ГОСТ Р 56079-2014.** Изделия авиационной техники. Безопасность полета, надежность, контролепригодность, эксплуатационная и ремонтная технологичность. Номенклатура показателей [Текст]. Введ. 2014-07-14. М.: Стандартинформ, 2014. II, 14 с.
- 15. **Анцелиович Л.Л.** Надежность, безопасность и живучесть самолета [Текст] / Л.Л. Анцелиович. М.: Машиностроение, 1985. 296 с.
- 16. **Герасимова Е.Д.** Эксплуатационная надежность и режимы технического обслуживания ЛА и АД [Текст] / Е.Д. Герасимова, Н.Н. Смирнов, И.Ф. Полякова. М.: МГТУГА, 2002. 58 с.
- 17. **Шейнин В.М.** Весовое проектирование и эффективность пассажирских самолетов. Т. 2. Расчет центровки и моментов инерции самолета. Весовой анализ [Текст] / В.М. Шейнин, В.И. Козловский. М.: Машиностроение, 1977. 208 с.

Сведения об авторе

Вадим В. Ефимов – доктор технических наук, доцент, профессор Московского государственного технического университета гражданской авиации, Российская Федерация, Москва, e-mail: efimowww@yandex.ru

Поступила: 19.11.2018

DOI: 10.21683/1729-2646-2019-19-2-48-53

Экономическая оценка аварийного риска воздействия природных чрезвычайных ситуаций при движении поездов

Владимир Г. Попов, *Российский университет транспорта (МИИТ)*, *Российская Федерация*, *Москва* **Филипп И. Сухов**, *Российский университет транспорта (МИИТ)*, *Российская Федерация*, *Москва* **Юлия К. Боландова**, *Российский университет транспорта (МИИТ)*, *Российская Федерация*, *Москва*



Владимир Г. Попов



Филипп И. Сухов



Юлия К. Боландова

Резюме. Цель. Статья посвящена вопросу оценки риска транспортного происшествия, обусловленного воздействием природных чрезвычайных ситуаций, при движении поездов по определенному маршруту. Постоянно увеличивающаяся антропогенная нагрузка на окружающую среду неизбежно приводит к изменениям климата, которые в свою очередь провоцируют увеличение числа экстремальных погодных явлений. Последние, как правило, инициируют техногенные аварии и катастрофы. Оценка факторов климатического риска, количественно характеризующих последствия влияния на инфраструктуру железнодорожного транспорта, служит отправным моментом для управления рисками бедствий и адаптации человеческой деятельности к постоянно изменяющемуся климату. Методы. Авторы данной статьи предлагают метод оценки риска, учитывающий влияние различных видов природных чрезвычайных ситуаций, воздействующих на подвижной состав в процессе его следования. В основе этого метода лежат элементы теории вероятностей и математической статистики. Благодаря разработанной методике можно произвести оценку риска транспортного происшествия, вызванного природными чрезвычайными ситуациями, при движении поездов не только для конкретного участка железной дороги, но и для определенного маршрута или направления на сети железных дорог. Результаты. Для маршрута «Невинномысская – Туапсе», состоящего из 6 участков Северо-Кавказской железной дороги, один из которых был поврежден в результате выпадения обильных осадков 24-25 октября 2018 года, был рассчитан риск транспортного происшествия в результате воздействия на социотехническую систему этого направления трех видов ЧС природного характера, а именно:

- наводнения;
- урагана с силой ветра более 22 м/с;
- сильного дождя.

Параметры этих чрезвычайных ситуаций охарактеризованы следующими составляющими:

- частота возникновения среди других видов ЧС;
- среднее годовое число природных ЧС;
- характерный пространственный масштаб природной ЧС;
- характерное время действия природной ЧС.

Условные вероятности воздействия природной чс. Условные вероятности воздействия на социо-техническую систему железнодорожного транспорта события, имеющего характерный пространственный и временной масштаб, и приведшего к транспортному происшествию с поездом, были оценены из предположения, что поток поездов в пространстве подчиняется нормированному закону Эрланга k-го порядка. Риск транспортного происшествия при движении поезда в четном и нечетном направлениях по i-му участку j-ой железной дороги, вызванного опасным воздействием природного ЧС m-го вида определен с учетом совместности событий. С помощью метода дисконтирования получено уравнение для оценки математического ожидания экономического ущерба от нарушений безопасности движения, что позволило оценить экономическую составляющую риска. Выводы. В результате предложен метод оценки риска транспортного происшествия вследствие воздействия природной ЧС, приведен пример оценки данного риска, включая эго экономическую составляющую, для направления движения «Невинномысская – Туапсе».

Ключевые слова: аварийный риск, аварийные ситуации, чрезвычайные ситуации, железнодорожный транспорт, чрезвычайные ситуации природного характера, грузовые железнодорожные перевозки, нарушения безопасности движения.

Формат цитирования: Попов В.Г., Сухов Ф.И., Боландова Ю.К. Экономическая оценка аварийного риска воздействия природных чрезвычайных ситуаций при движении поездов // Надежность. 2019. №2. С. 48-53. DOI: 10.21683/1729-2646-2019-19-2-48-53

Современная мировая статистика свидетельствует о растущем во всем мире ущербе от опасных погодных и климатических явлений. Из диаграммы (рис. 1) видно, что 90% самых тяжелых экономических потерь приходится не на геофизические явления, такие, как извержения вулканов, цунами и землетрясения, а на метеорологические, климатические и гидрологические явления окружающей среды: паводки, наводнения, сильный ветер, ливневые дожди, град, засухи [1].

Следует отметить, что опасные явления климата могут иницииировать техногенные чрезвычайные ситуации (ЧС). К большим социальным и экономическим потерям привели сели, сопровождавшие мощный циклон с проливными дождями 6—9 августа 2002 г. на Черноморском побережье России, в районе г. Новороссийска. По данным оперативных сводок МЧС России, 6 августа мощные грязекаменные потоки, общий объем которых превышал 15 тыс. м³, разрушили 300 метров железной дороги на участке между Сочи и Туапсе, а также проходящую рядом автотрассу. Было заблокировано движение 47 пассажирских поездов. Прямой экономически: ущерб от рассматриваемого бедствия составил, по предварительным оценкам, боле 71 млн долл. [2].

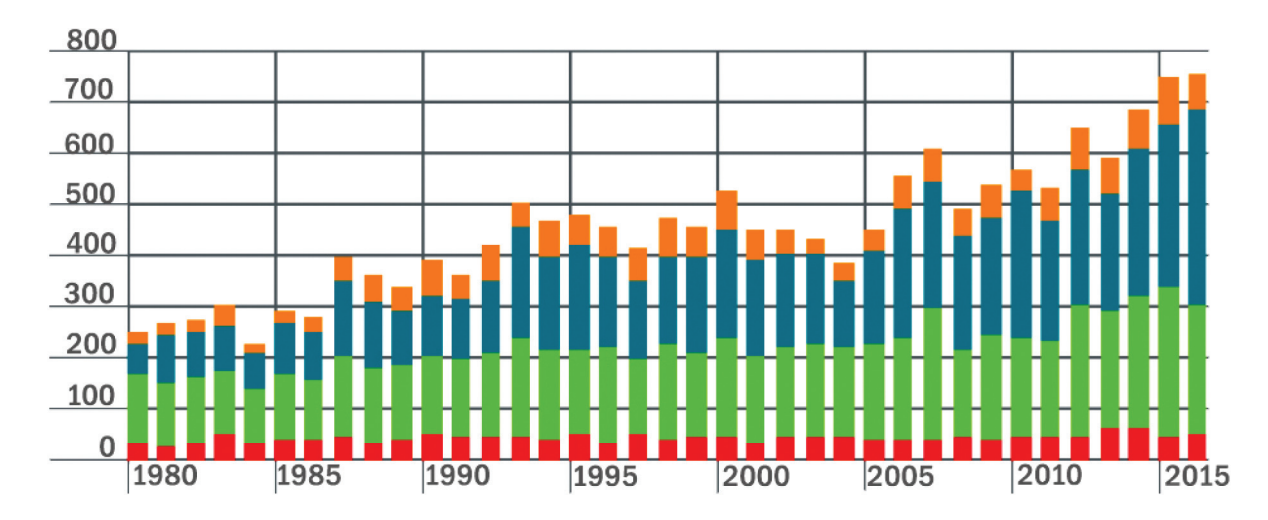
В результате выпадения обильных осадков 24–25 октября 2018 г. (275-330 мм) в трех муниципальных образованиях Краснодарского края повреждены два автомобильных и один железнодорожный мост, участки автомобильных дорог «Туапсе — Майкоп» и «Джубга — Сочи», железнодорожное полотно на перегонах «Туапсе — Кривенковская» и «Туапсе — Адлер». Были отменены 36 и задержаны 39 пассажирских поездов.

Бесперебойная и безопасная работа железнодорожного транспорта во многом зависит от условий климата. Оценка факторов климатического риска, количественно характеризующих последствия влияния на инфраструктуру железнодорожного транспорта, служит отправным моментом для управления рисками бедствий и адаптации человеческой деятельности к постоянно изменяющемуся климату.

Оценка риска состоит в его количественном измерении [3], чтобы количественно оценить риск, требуются проведение анализа вероятностей возникновения опасностей и последствий реализации этих опасностей.

Основной задачей управления рисками на железнодорожном транспорте является достижение и поддержание допустимого уровня риска при обеспечении функциональной безопасности объектов инфраструктуры и подвижного состава [4]. Последнее время особое внимание уделяется вопросам надежности подвижного состава и разработкам систем и методов оценки и управления рисками для решения задач по обеспечению безопасности транспортных процессов [5-8]. Однако в последних исследованиях, посвященных этой проблеме, система функционирования инфраструктуры железнодорожного транспорта рассматривается в отрыве от окружающей среды. В данной статье предлагается метод оценки риска транспортного происшествия, учитывающий влияние различных видов ЧС природного характера.

Под транспортным происшествием в данной статье понимаются крушения, аварии, а также сходы и столкновения железнодорожного подвижного состава, не имеющие последствий крушения и аварии, в соответствии с



- Геофизические явления: землетрясения, цунами, извержения вулканов;
- Метеорологические явления: тропические штормы, внетропические штормы, конвективные штормы, локальные штормы;
- Гидрологические явления: речные наводнения, сели (оползни);
- Климатические явления: экстремальные температуры, лесные пожары, засухи.

Рисунок 1 – Количество природных катастроф за период 1980–2016 гг.

классификацией Приказа Минтранса от 18 декабря 2014 года № 344 [10].

Для характеристики ЧС природного характера введем следующие обозначения:

 $C_{j,i,m}$ — событие, представляющее собой ЧС m-го вида, природного характера, произошедшее в географическом районе России, на территории которого находится i-й участок j-ой железной дороги;

 $D_{j,i,m}$ — событие, характеризующее воздействие ЧС природного характера m-го вида (события $C_{j,i,m}$) на социотехническую систему железнодорожного транспорта на i-ом участке j-ой железной дороги и приводящее к транспортному происшествию;

 $B_{j,i,m} = D_{j,i,m} \times C_{j,i,m}$ — транспортное происшествие [10], вызванное воздействием ЧС природного характера m-го вида на социотехническую систему железнодорожного транспорта на i-ом участке j-ой железной дороги;

 $N_{j,i,m}$ — среднее годовое число природных ЧС m-го вида, происходящих в географическом районе России, на территории которого находится i-й участок j-ой железной дороги (m = 1, 2, ..., M), 1/год;

 $L_{j,i,m}$ —характерный пространственный масштаб природного ЧС m-го вида, происходящего в географическом районе России, на территории которого находится i-й участок j-ой железной дороги (m = 1, 2, ..., M), км;

 $T_{j,i,m}$ — характерное время действия природного ЧС m-го вида, происходящего в географическом районе России, на территории которого находится i-й участок j-ой железной дороги (m = 1, 2, ..., M), ч;

Оценка вероятности транспортного происшествия при движении поезда в четном направлении по i-му участку j-ой железной дороги, вызванного природной ЧС m-го вида, производится по формуле:

$$R''(B_{j,i,m}) = R''(D_{j,i,m} \times C_{j,i,m}) =$$

$$= P''(C_{j,i,m}) \cdot P''(D_{j,i,m} | C_{j,i,m}), \tag{1}$$

где
$$P''(D_{j,i,m} \Big| C_{j,i,m}) = P''(L_{j,i,m} \Big| C_{j,i,m}) \cdot P''(T_{j,i,m} \Big| C_{j,i,m}).$$

 $P''(C_{j,i,m})$ — вероятность возникновения в данном географическом районе природного ЧС m-го вида, характерного пространственного масштаба — $L_{j,i,m}$ за среднее время нахождения поезда, движущего в четном направлении по i—му участку, протяженностью $L_{i,j}$ [9];

$$P''(C_{j,i,m}) = 1 - \exp\left(-\frac{N_{j,i,m} \cdot t''_{j,i}}{365 \cdot 24}\right),\tag{2}$$

где $t_{j,i}'' = L_{j,i} / V_{j,i}'' V_{j,i}'' -$ участковая скорость движения поездов на i-ом участке j-ой железной дороги в четном направлении, км/час;

 $P''(L_{j,i,m} | C_{j,i,m})$ — условная вероятность воздействия на социотехническую систему железнодорожного транспорта события $C_{j,i,m}$ характерного пространственного масштаба $L_{j,i,m}$, приведшего к транспортному происшествию с поездом, движущимся в четном направлении на i-ом участке j-ой железной дороги [9]

$$P''(L_{j,i,m}|C_{j,i,m}) = 1 - \exp(-k_x \lambda_x'' L_{j,i,m}) \sum_{k=0}^{k_x - 1} \frac{(k_x \lambda_x'' L_{j,i,m})^k}{k!};$$

$$\lambda_x'' = \frac{1}{\Delta \overline{X}_{i,j}''},$$
(3)

где k_x — порядок нормированного распределения Эрланга;

 $\Delta \overline{X}_{j,i}'' = V_{j,i}'' \times \Delta \overline{T}_{j,i}''$ – средний пространственный интервал между поездами, движущимися в четном направлении на i-ом участке j-ой железной дороги, км;

 $\Delta \overline{T}''_{j,i}$ — средний временной интервал между поездами, движущимися в четном направлении на i-ом участке j-ой железной дороги, ч;

 $P''(T_{j,i,m}|C_{j,i,m})$ — условная вероятность воздействия на социотехническую систему железнодорожного транспорта события $C_{j,i,m}$ характерного временного масштаба $T_{j,i,m}$, приведшего к транспортному происшествию с поездом, движущимся в четном направлении на i-ом участке j-ой железной дороги [9]

$$P''(T_{j,i,m}|C_{j,i,m}) = 1 - \exp(-k_t \lambda_t'' T_{j,i,m}) \sum_{k=0}^{k_t - 1} \frac{(k_t \lambda_t'' T_{j,i,m})^k}{k!};$$

$$\lambda_t'' = \frac{1}{\Delta T_{i,i}''},$$
(4)

где k_t – порядок нормированного распределения Эрланга

В выражении (1), записанном для оценки вероятности транспортного происшествия при движении поезда в нечетном направлении по i-му участку j-ой железной дороги $R'(B_{j,i,m})$, соответствующие значения $P'(C_{j,i,m})$, $P'(L_{j,i,m}|C_{j,i,m})$, $P'(T_{j,i,m}|C_{j,i,m})$ определяются по формулам, аналогичным для четного направления движения поездов при соответствующей замене данных.

Тогда вероятность транспортного происшествия $R(B_{j,i,m})$ при движении поездов в четном и нечетном направлениях по i-му участку j-ой железной дороги, вызванного опасным воздействием природного ЧС m-го вида, можно определить по формуле (с учетом совместности событий):

$$R(B_{i,i,m}) = R''(B_{i,i,m}) + R'(B_{i,i,m}) - R''(B_{i,i,m}) \times R'(B_{i,i,m}).$$
 (5)

Из формул (1), (5) можно получить следующие оценки вероятности транспортного происшествия при движении поезда.

I. Оценку вероятности транспортного происшествия при движении поезда по i-му участку j-ой железной дороги, вызванного всеми возможными природными ЧС M видов (m = 1, 2, 3, ..., M), произведем по следующим формулам:

при движении поезда в четном направлении

$$R''(B^{M}_{j,i}) = \sum_{m=1}^{M} \phi_m \cdot R''(B_{j,i,m}), \tag{6}$$

при движении поезда в нечетном направлении

$$R'(B^{M}_{j,i}) = \sum_{m=1}^{M} \phi_m \cdot R'(B_{j,i,m}), \tag{7}$$

при движении поездов в четном и нечетном направлениях

$$R(B_{i,i}^{M}) = R''(B_{i,i}^{M}) + R'(B_{i,i}^{M}) - R''(B_{i,i}^{M}) \cdot R'(B_{i,i}^{M}), \quad (8)$$

где ϕ_m — частота возникновения ЧС m-го вида среди других видов ЧС, $\sum_{m=1}^M \phi_m = 1$; $B_{j,i}^M$ —транспортное происшествие — событие, после-

 $B_{j,i}^{M}$ —транспортное происшествие — событие, последовавшее после воздействия всех возможных M видов ЧС природного характера на социотехническую систему железнодорожного транспорта на i-м участке j-ой железной дороги.

II. Оценку вероятности транспортного происшествия при движении поезда по I (i =1, 2, 3, ..., I) участкам j-ой железной дороги, вызванного природной ЧС m-го вида, произведем по следующим формулам:

при движении поезда в четном направлении

$$R''(B_{j,m}^I) = 1 - \prod_{i=1}^{I} [1 - R''(B_{j,i,m})], \tag{9}$$

при движении поезда в нечетном направлении

$$R'(B_{j,m}^I) = 1 - \prod_{i=1}^{J} [1 - R'(B_{j,i,m})], \tag{10}$$

при движении поездов в четном и нечетном направлениях

$$R(B_{j,m}^{I}) = 1 - \prod_{i=1}^{I} [1 - R(B_{j,i,m})], \tag{11}$$

где $B^I_{j,i}$ —транспортное происшествие — событие, последовавшее после воздействия ЧС m-го вида природного характера на социотехническую систему железнодорожного транспорта на I (i =1, 2, 3, ..., I) участках j-ой железной дороги.

III. Оценку вероятности транспортного происшествия при движении поезда по I (i = 1, 2, 3, ..., I) участкам j-ой железной дороги, вызванного всеми возможными ЧС природного характера, произведем по следующим формулам:

при движении поезда в четном направлении:

$$R''(B_j^{I,M}) = 1 - \prod_{i=1}^{I} [1 - R''(B_{j,i}^{M})], \tag{12}$$

при движении поезда в нечетном направлении:

$$R'(B_j^{I,M}) = 1 - \prod_{i=1}^{I} [1 - R'(B_{j,i}^M)], \tag{13}$$

при движении поездов в четном и нечетном направлениях:

$$R(B_j^{I,M}) = 1 - \prod_{i=1}^{I} [1 - R(B_{j,i}^M)], \tag{14}$$

где $B_j^{I,M}$, — событие, последовавшее после воздействия всех возможных M видов ЧС природного характера

на социотехническую систему железнодорожного транспорта на I (i = 1, 2, 3, ..., I) участках j-ой железной дороги.

IV. Оценку вероятности транспортного происшествия при движении поезда по I участкам (i=1,2,3,...,I) J железных дорог (j=1,2,3,...,J), вызванного всеми возможными ЧС природного характера, произведем по следующим формулам:

при движении поезда в четном направлении

$$R''(B^{J,I,M}) = 1 - \prod_{j=1}^{J} [1 - R''(B_j^{I,M})], \tag{15}$$

при движении поезда в нечетном направлении

$$R'(B^{J,I,M}) = 1 - \prod_{j=1}^{J} [1 - R'(B_j^{I,M})], \tag{16}$$

при движении поездов в четном и нечетном направлениях

$$R(B^{J,I,M}) = 1 - \prod_{j=1}^{J} [1 - R(B_j^{I,M})], \tag{17}$$

где B^{IJM} — транспортное происшествие — событие, последовавшее после воздействия всех возможных M видов ЧС природного характера на социотехническую систему железнодорожного транспорта на I (i=1,2,3,...,I) участках J (j=1,2,3,...,J) железных дорог.

Если в формулах (9)-(14) в качестве I взять все участки j-ой железной дороги, то можно получить соответствующие оценки аварийных рисков для j-ой железной дороги в целом (j=1,2,3,...,J). Если в формулах (15)-(17) взять I участков (i=1,2,3,...,I) J железных дорог (j=1,2,3,...,J), то можно получить соответствующие оценки аварийных рисков для различных маршрутов и направлений движения поездов.

Для экономической оценки последствий транспортного происшествия воспользуемся данными работ [11–16]. Согласно [10] транспортные происшествия — нарушения безопасности движения (НБД) поездов — подразделяются на крушение — B_1 , аварию — B_2 ; транспортное происшествие (сход или столкновение поезда без последствий крушения или аварии) — B_3 .

Используя метод дисконтирования [11] и статистические данные работ [12, 13], можно записать уравнение для оценки математического ожидания экономического ущерба от НБД B_n ($B_n = B_1$, B_2 , B_3):

$$Y(B_n) = Y_0(B_n)(1+r)^p,$$
(18)

где $Y_0(B_1)=2\cdot 10^6$ руб., $Y_0(B_2)=0.5\cdot 10^6$ руб., $Y_0(B_3)=7\cdot 10^3$ руб. — средние значения экономического ущерба от одного события видов B_1 , B_2 , B_3 в ценах 2000 г.;

 $p = \Gamma - 2000 -$ условный номер года;

 Γ – календарный год анализа риска;

r – норма дисконтирования (r = 0,1–0,12).

Практическая невозможность прогнозных оценок экономического ущерба от возникновения НБД определенного вида B_n при воздействии природных ЧС на со-

циотехническую систему железнодорожного транспорта и приводящих к транспортным происшествиям при движении поездов, заставляет обращаться к использованию консервативных допущений и апостериорных статистических данных по НБД поездов. С учетом этого можно записать уравнение

$$Y(B) = \sum_{n=1}^{3} \alpha_n \cdot Y(B_n), \tag{19}$$

где α_n — относительные частоты появления определенного вида НБД B_n (n=1, 2, 3), которые по данным работ [14, 16] можно оценить как $\alpha_1=0{,}01$, $\alpha_2=0{,}1$, $\alpha_3=0{,}89$.

Тогда экономическую оценку риска транспортного происшествия с поездом при движении по i-у участку j-ой железной дороги, вызванного природной ЧС m-го вида, можно получить по формулам:

в четном направлении $R''_{\supset}(B_{j,i,m}) = R''(B_{j,i,m}) \cdot Y(B);$ в нечетном направлении $R'_{\supset}(B_{j,i,m}) = R'(B_{j,i,m}) \cdot Y(B);$ в четном и нечетном направлениях

$$R_{\ni}(B_{i,i,m}) = R(B_{i,i,m}) \cdot Y(B).$$
 (20)

Экономическую оценку рисков для случаев $B_{j,m}^{I}$; $B_{j}^{I,M}$; $B_{j}^{I,J,M}$ (для I участков на одной железной дороге или на J железных дорогах) можно получить аналогично, умножив соответствующие вероятности возникновения транспортных происшествий (формулы (6) - (17)) на величину ущерба Y(B).

Оценим вероятности транспортного происшествия $R(B_{j,i}^M)$ при движении поездов по маршруту «Невинномысская — Туапсе», состоящего из 6 участков (i=1,2,3,...,6) Северо-Кавказской железной дороги в результате воздействия на социотехническую систему этого направления трех видов ЧС природного характера, а именно:

- наводнения (m=1); частота возникновения среди других видов ЧС $\phi_1=0.06$; среднее годовое число $N_1=1$; характерный пространственный масштаб $L_1=15$ км; характерное время действия $T_1=1$ ч;
- урагана с силой ветра более 22 м/с (m=2); частота возникновения среди других видов ЧС $\phi_2=0,11$; среднее годовое число природных ЧС $N_2=2$; характерный пространственный масштаб природного ЧС $L_2=300$ км; характерное время действия $T_2=120$ ч;
- сильного дождя (m=3); частота возникновения среди других видов ЧС $\phi_3=0,83$; среднее годовое число природных ЧС $N_3=15$; характерный пространственный масштаб природного ЧС $L_3=1$ км; характерное время действия $T_3=3$ ч.

Результаты расчета приведены в таблице 1.

Пользуясь формулой (14), произведем оценку вероятности транспортного происшествия при движении поездов по 6 (i = 1, 2, 3, ..., 6) участкам Северо-Кавказской железной дороги (j = 1), вызванного тремя опасными состояниями (M = 3) объектов окружающей среды: $R(B^{6,3}_{1}) = 4,295 \cdot 10^{-4}$. При этом математическое ожидание экономического ущерба от НБД в пересчете на 2019 год составит Y(B) = 429474,42 руб. (формула (19)).

Тогда экономическая оценка риска транспортного происшествия с поездом при движении по 6 участкам (i = 1, 2, 3, ..., 6) Северо-Кавказской железной дороги (j = 1)) составит (по аналогии с формулой (20)):

$$R_9(B_j^{I,M}) = R(B_j^{I,M}) \cdot Y(B) = R(B_1^{6,3}) \cdot Y(B) =$$

= 24,295 \cdot 10^{-4} \cdot 429474,42 \cong 184,45 \cdot py\lefta.

Если, например, рассматривать стоимость транспортировки 1 т опасного груза по этому маршруту, составляющую по приблизительным расчетам 6000 руб., то полученная экономическая оценка может рассма-

Таблица 1 - Результаты расчета вероятностей транспортного происшествия

i	Наименование участка	Длина участка, км	Размер	Наводнение $(m=1; \varphi_1=0.06; N_1=1; L_1=15; T_1=1)$	Ураган с силой ветра более 22 м/с ($m=2$; $\phi_2=0.11$; $N_2=2$; $L_2=300$; $T_2=120$)	Сильный дождь $(m=3; \varphi_3=0,83; N_3=15; L_3=1; T_3=3)$	Вероятность $R(B^{M}_{j,i})$
				Вероятность $R(B_{j,i,m})$	Вероятность $R(B_{j,i,m})$	Вероятность $R(B_{j,i,m})$	
1	Невинномысская – Армавир Ростовский	77	46	1,506·10 ⁻⁴	9,058·10 ⁻⁴	1,028·10 ⁻⁹	1,087·10 ⁻⁴
2	Армавир Ростовский – Курганная	40,5	40	5,165·10 ⁻⁵	4,765·10 ⁻⁴	2,122·10 ⁻¹⁰	5,552·10 ⁻⁵
3	Курганная – Белореченская	63,8	41	8,830·10 ⁻⁵	7,506·10 ⁻⁴	3,944·10 ⁻¹⁰	8,786·10-5
4	Белореченская — Комсомольская	19,8	42	2,961·10 ⁻⁵	2,33·10 ⁻⁴	1,44·10 ⁻¹⁰	2,741·10 ⁻⁵
5	Комсомольская — Кривенковская	87,6	42	1,31·10 ⁻⁴	1,03·10 ⁻³	6,361·10 ⁻¹⁰	1,212·10-4
6	Кривенковская – Туапсе	18,2	77	8,89·10 ⁻⁵	2,142·10 ⁻⁴	7,187·10 ⁻⁹	2,89·10 ⁻⁵

триваться как страховая сумма при управлении риском (обработке риска) путем его передачи.

Библиографический список

- 1. Доклад о климатических рисках на территории Российской Федерации [Текст] / Под ред. д.ф-м.н. В.М. Катцова. Санкт-Петербург, 2017. 106 с.
- 2. Оценка и управление природными рисками: тематический том [Текст] / Под ред. А.Л. Рагозина. М.: Издательская фирма «КРУК», 2003. 320 с.
- 3. **Акимов В.А.** Основы анализа и управления риском в природной и техногенной сферах [Текст] / В. А. Акимов, В. В. Лесных, Н. Н. Радаев. М.: Деловой экспресс, 2004. 352 с.
- 4. **ГОСТ 33433-2015.** Безопасность функциональная Управление рисками на железнодорожном транспорте [Текст]. Введ. 2016-09-01. М.: Стандартинформ, 2016. IV, 34 с.
- 5. Володарский В.А. О надежности подвижного состава, прошедшего ремонт [Текст] / В.А. Володарский, А.И. Орленко // Надежность. 2015. №1(52). С. 25-28.
- 6. Замышляев А.М. Функциональная зависимость между количеством вагонов в сходе из-за неисправностей вагонов или пути и факторами движения [Текст] / А.М. Замышляев, А.Н. Игнатов, А.И. Кибзун, Е.О. Новожилов // Надежность. -2018.- N18(1).- C. 53-60.
- 7. Даев Ж.А. Применение статистических критериев для улучшения эффективности методов оценки рисков [Текст] / Ж.А. Даев, Е.Т. Нурушев // Надежность. 2018. №18(2). С. 42-45.
- 8. Аксенов В.А. Совершенствование системы управления рисками для решения задач по обеспечению безопасности производственных процессов [Текст] / В.А. Аксенов, Д.Л. Раенок, А.М. Завьялов // Надежность. $-2013.- №3.- С.\ 103-120.$
- 9. **Попов В.Г.** Оценка аварийного риска при движении поездов в результате воздействия чрезвычайных ситуаций природного характера, возникающих в окружающей среде [Текст] / Попов В.Г., Сухов Ф.И, Боландова Ю.К. // Наука и техника транспорта. 2018. №4. С. 115-120.
- 10. Приказ Минтранса РФ от 18 декабря 2014 г. №344 Об утверждении положения о классификации,

- порядке расследования и учета транспортных происшествий и иных событий, связанных с нарушением правил безопасности движения и эксплуатации железнодорожного транспорта (Зарегистрировано в Минюсте РФ 26.02.2015 № 36209).
- 11. **Легасов В.А.** Дисконтирование и компромисс между поколениями [Текст] / В.А. Легасов, В.Ф. Демин, Я.В. Шевелев // Проблемы анализа риска. -2005.-T.2.-N2.-C. 141-146.
- 12. **Красковский А.Е.** Экономические механизмы управления безопасностью движения [Текст] / А.Е. Красковский // Железнодорожный транспорт. -2002. -№5. С. 29-33.
- 13. **Попов В.Г.** Индекс прогноз и индекс отклик [Текст] / В.Г. Попов, Ф.И. Сухов // Мир транспорта. -2007. -T. 5. -№3. -C. 130-133.
- 14. **Попов В.Г.** Метод оценки уровня безопасности движения и аварийного риска при перевозке грузов по железным дорогам [Текст] / В.Г. Попов // Транспорт: наука, техника, управление. 2008. №7. С. 1-5.
- 15. **Попов В.Г.** Метод оценки аварийного риска при перевозке нефти и нефтепродуктов по железным дорогам [Текст] / В.Г. Попов, С.В. Петров // Безопасность жизнедеятельности. -2010.- N 11.- C. 39-43.
- 16. **Попов В.Г.** Оценка риска от аварийных происшествий. [Текст] / Попов В.Г., Сухов Ф.И, Петров С.В. // Мир транспорта. -2012. -T. 10. №6. С. 150-155.

Сведения об авторах

Владимир Г. Попов – доктор технических наук, профессор, заведующий кафедрой «Химия и инженерная экология», Российский университет транспорта (МИИТ), Российская Федерация, Москва, e-mail: vpopov miit@mail.ru

Филипп И. Сухов – кандидат технических наук, доцент кафедры «Химия и инженерная экология», Российский университет транспорта (МИИТ), Российская Федерация, Москва, e-mail: philipp.sukhov@mail.ru

Юлия К. Боландова – аспирант, ассистент кафедры «Химия и инженерная экология», Российский университет транспорта (МИИТ), Российская Федерация, Москва, e-mail: jbolandova@gmail.com

Поступила: 17.12.2018





tp://Gnedenko-Forum.org/

Дорогие коллеги!

В 2005 году была основана неформальная Ассоциация специалистов по надежности, прикладной вероятности и статистике (I.G.O.R.), которая имеет свой сайт в Интернете GNEDENKO FORUM. Сайт назван в честь выдающегося математика Бориса Владимировича Гнеденко (1912-1995). Целью Форума является улучшение профессиональных и персональных контактов специалистов по математической статистике, теории вероятностей и их важных ветвей, как Теория надежности и контроля качества, Теория массового обслуживания, Теории управления запасами и т.п.

Начиная с января 2006 года Форум издает ежеквартальный Международный электронный журнал

«Надежность: Теория и приложения» ("Reliability: Theory & Applications").

Журнал зарегистрирован в Библиотеке Конгресса США (ISSN 1932-2321). Все права сохраняются за авторами, так что статьи затем могут быть свободно опубликованы в любых других изданиях или представлены на конференции.



Вступайте в Форум Гнеденко!

Добро

пожаловать!

В наших рядах уже более 500 специалистов из 44 стран мира.

Для вступления в Форум присылайте фото и краткое резюме по адресу:

к.т.н. Александр Бочков, a.bochkov@gmail.com

Membership is free.

с № 20 г. по №	220 г., количество экз
Полное наименование	
организации	
Юридический адрес	
предприятия	
(индекс, страна, адрес)	
Почтовый адрес	
предприятия	
(индекс, страна, адрес)	
ИНН/КПП	
Расчетный счет	
Банк	
Корреспондентский счет	
БИК	
Контактное лицо: Ф.И.О., должность	
Телефон/факс, e-mail	
Реквизиты: ООО «Журнал «Над Адрес редакции: 109029, г. Москв Тел./факс: (495) 967-77-02, e-mail ИНН 7709868505 КПП 770901001 p/c 40702810100430000017, ПАО « к/c 30101810100000000787	a, ул. Нижегородская, д.27, стр.1, оф. 209 : evgenya.patrikeeva@yandex.ru
Адрес доставки:	
Кому:	
Куда:	
факсу или электронной почте.	онал «Надежность» заполните заявку и отправьте ее по одпиской, обращайтесь в редакцию журнала.

 \neg

Г

L

ЖУРНАЛ ИЗДАЕТСЯ ПРИ УЧАСТИИ И ПОДДЕРЖКЕ

АКЦИОНЕРНОГО ОБЩЕСТВА «НАУЧНО-ИССЛЕДОВАТЕЛЬСКИЙ И ПРОЕКТНО-КОНСТРУКТОРСКИЙ ИНСТИТУТ ИНФОРМАТИЗАЦИИ, АВТОМАТИЗАЦИИ И СВЯЗИ НА ЖЕЛЕЗНОДОРОЖНОМ ТРАНСПОРТЕ» (АО «НИИАС»)



АО «**НИИАС**» – ведущее предприятие ОАО «РЖД» в области создания комплексов и систем обеспечения безопасности движения, управления движением, геоинформационного обеспечения, мониторинга состояния подвижного состава и инфраструктуры железных дорог





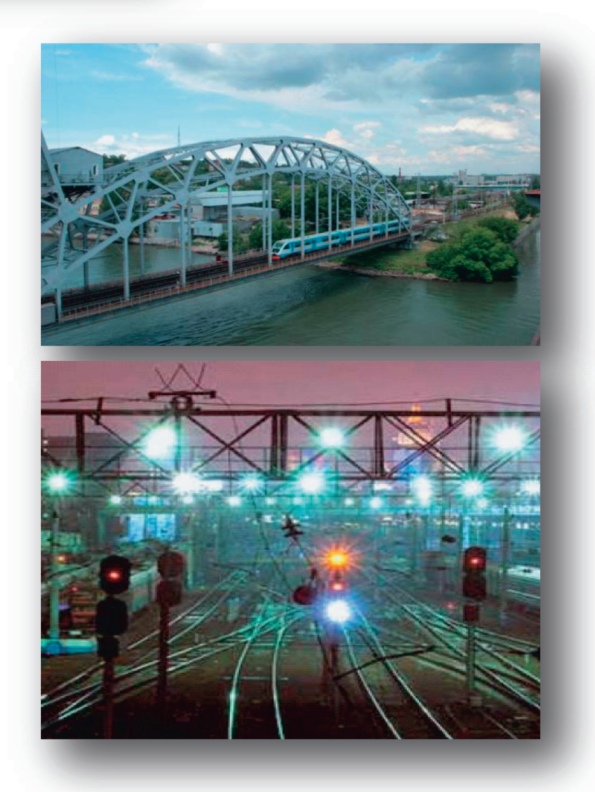
Цели:

- 🗖 эффективность,
- □ безопасность
- □ надежность перевозок



Основные направления деятельности

- •Интеллектуальные системы управления
- •Технологии управления перевозками и транспортного обслуживания
- •Системы автоматики и телемеханики
- •Центры автоматизированного управления
- •Информационные системы
- •Геоинформационные системы и спутниковые технологии
- •Системы транспортной безопасности
- •Системы управления инфраструктурой
- •Системы управления топливноэнергетическими ресурсами
- •Испытания, сертификация и экспертиза
- •Информационная безопасность
- •Нормативно-правовое обеспечение

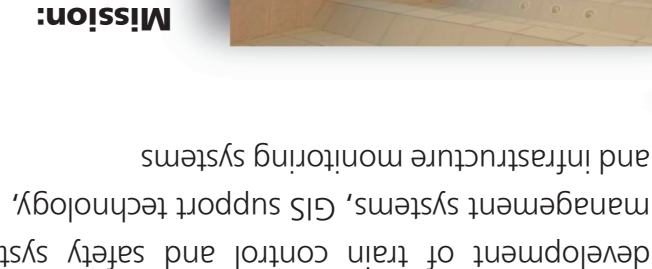


www.vniias.ru

THE JOURNAL IS PUBLISHED WITH PARTICIPATION AND SUPPORT

ON RAILWAY TRANSPORT (JSC NIIAS) FOR INFORMATION TECHNOLOGY, SIGNALLING AND TELECOMMUNICATIONS OF JOINT-STOCK COMPANY RESEARCH & DESIGN INSTITUTE

management systems, GIS support technology, railway fleet development of train control and safety systems, traffic to bleif and rin ynagmon gnibael 2'USA si **ZAIIN DRL**









□ reliability

.γon∋ioiff∋ □ transportation

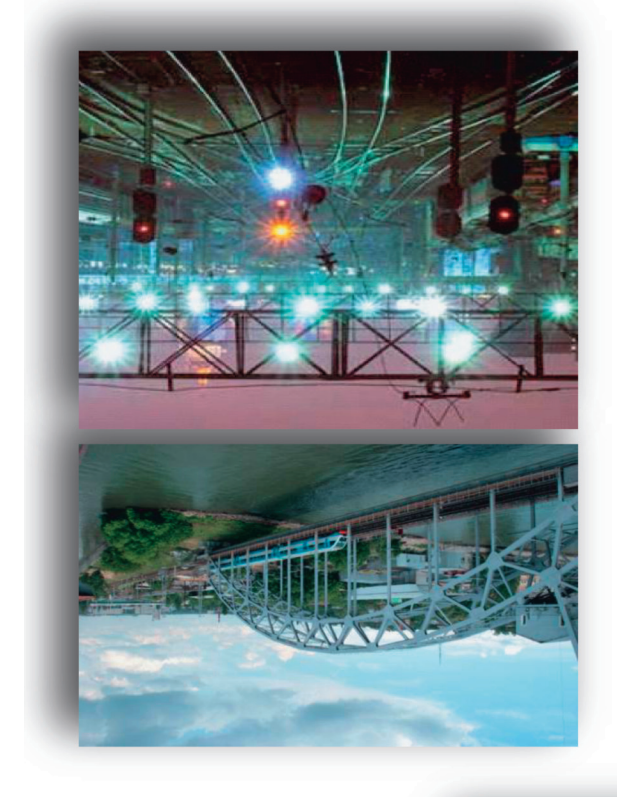
,ytəlas 🗖



- Intellectual control and management systems
- technology • Transportation management systems and transport service
- Signalling and remote control systems
- Automated transportation management centers
- Railway transport information systems
- Geoinformation systems and satellite technology
- Transport safety systems
- Infrastructure management systems
- Testing, certification and expert assessment

Power consumption and energy management systems

- Information security
- Regulatory support



ur.ssiinv.www

Cost of year subscription is 4180 rubles, including 18 per cent VAT. In case of any questions related to subscription, please contact us. To subscribe for Dependability journal, please fill in the application form and send it by fax Where: то мрош: Address of delivery: Account No. 30101810100000000787 Account No. 40702810100430000017 900-2200-068 Account 890-0055-006 Russia Phone/fax: 007 (495) 967-77-02, e-mail: evgenya.patrikeeva@yandex.ru Address of the editorial office: office 209, bldg 1, 27 Nizhegorodskaya Str., Moscow 109029, Publisher details: Dependability Journal Ltd. Phone/fax, e-mail Vame, job title Contact person: S.W.I.F.T. Account number Bank Account TAV (address, postcode, country) Legal address (address, postcode, country) Mail address of company head Phone/fax, e-mail of company head Aame, job title Company name to No. ____ number of copies from No. Please subscribe us for 20 SUBSCRIBER APPLICATION FOR DEPENDABILITY JOURNAL

The journal is published four times a year.





``£b://Gnedenko-Forum.org

Dear colleagues!

reliability theory and quality control, the theory of mass service, storekeeping theory, etc. experts in the mathematical statistics, probability theory and their important branches, such as 1995). The Forum's purpose is an improvement of personal and professional contacts between site has been named after the outstanding mathematician Boris Vladimirovich Gnedenko (1912-Statistics (I.G.O.R.) was established with its own Internet website GNEDENKO FORUM. The In 2005 the informal Association of Experts in Reliability, Applied Probability and

Since January 2006, the Forum has published a quarterly international electronic

"Reliability: Theory and Applications".

presented at conferences. All rights reserved for authors so that articles can be freely published in any other publications or The magazine is registered with the Library of Congress in the USA (ISSN 1932-2321).

Welcome! Join Gnedenko Forum!

More than 500 experts

Isu baniol worldwide have already from 44 countries

following address: photo and a short CV to the To join the Forum, send a

a.bochkov(a)gmail.com Alexander Bochkov, PhD

Membership is free.



magazine

with the rail transportation of oil and petroleum products]. Life safety 2010;11:39-43 [in Russian]. [16] Popov V.G., Sukhov F.I., Petrov S.V. Accident

[16] Popov V.G., Sukhov F.I., Petrov S.V. Accident risk assessment. World of Transport and Transportation 2012;6;150-155 [in Russian].

About the authors

Vladimir G. Popov, Doctor of Engineering, Professor, Head of Department of Chemistry and Ecological Engineering, Russian University of Transport (MIIT), Russian Federation, Moscow, e-mail: vpopov_miit@mail.ru

Filipp I. Sukhov, Candidate of Engineering, Senior Lecturer, Department of Chemistry and Ecological Engineering, Russian University of Transport (MIIT), Russian Federation, Moscow, e-mail: philipp.sukhov@mail.ru

Yulia K. Bolandova, post-graduate student, teaching assistant, Department of Chemistry and Ecological Engineering, Russian University of Transport (MIIT), Russian Federation, Moscow, e-mail: jbolandova@gmail.com

Received on: 17.12.2018

- [11] Legasov V.A., Demin V.F., Shevelev Ya.V. Diskontirovanie i kompromiss mezhdu pokoleniyami [Discounting and compromise between generations]. Issues of Risk Analysis 2005;2(2):141-146 [in Russian].
- [12] Kraskovsky A.E. Ekonomicheskie mekhanizmy upravleniya bezopasnostyu dvizheniya [Economic mechanisms of traffic safety management]. Zheleznodorozhny transport 2002;5:29-33 [in Russian].
- [13] Popov V.G., Sukhov F.I. Indeks prognoz and indeks otklik [Prediction index and response index]. World of Transport and Transportation 2007;5(3):130-133 [in Bussian].
- [14] Popov V.G., Petrov S.V. Metod otsenki urovnya bezopasnosti dvizheniya i avariynogo riska pri perevozke gruzov po zheleznym dorogam [Method of assessment of traffic safety and accidental risk associated with carriage of goods by rail]. Transport: science, equipment, management 2008;7:1-5 [in Russian].

[15] Popov V.G., Petrov S.V. Metod otsenki avariynogo riska pri perevozke nefti i nefteproduktov po zheleznym dorogam [Method of assessment of accidental risk associated

t probability	accident	transportation	ΙO	data	Calculation	ı.	Table
---------------	----------	----------------	----	------	-------------	----	-------

5.89.10-5	6-01·781,7	2,142.10-4	s-01·68 [°] 8	LL	2,81	Krivenkovskaya – Tuapse	9
1,212.10-4	01-01-196,9	1,03.10-3	1,31.10-4	77	9'48	Komsomolskaya – Krivenkovskaya	ς
5-01-10-5	1,44.10-10	2,33.10-4	s-01·196'7	7 <i>t</i>	8'61	Komsomolskaya – Komsomolskaya –	7
s-01·98L'8	3,944.10	₂ -01·905 [°] L	8,830.10-5	ΙÞ	8,£9	Kurgannaya – Be- lorechenskaya	ε
2,552.10-5	2,122.10-10	₊ .01·S9L'†	s-01·S91'S	07	S'0t	Armavir Rostovsky – Kurgannaya	7
1,01.780,1	1,028·10 ⁻⁹	₂ 01.880,6	1,506.10	97	LL	Nevinnomysskaya – Armavir Rostovsky	I
	Probability R(B _{j,i,m})	Probability R(B _{i.i.n})	Probability R(B _{j,m})	_			
Probability R(B ^M ,)	Heavy rain $(m = 3; \phi_3 = 0.83;$ $(M = 3; \Phi$	Hurricane with wind strength not less than 22 mps ($m = 2$; $\varphi_2 = 0$, II; $N_2 = 2$; $L_2 = 300$; $T_2 = 120$)	Flood $(m = 1;$ $\phi_1 = 0.06; N_1 = 1;$ $\phi_1 = 0.06; N_1 = 1;$	Amount, of traffic, trains	Length of line, km	Name of line	1

[2] Ragozin A.L., editor. Otsenka i upravlenie prirodnymi riskami: tematicheskiy tom [Assessment and management of natural risks: a subject-matter publication]. Moscow: Izdatelskaya firma KRUK; 2003 [in Russian].

[3] Akimov V.A., Lesnykh V.V., Radaev N.N. Osnovy analiza i upravleniya riskom v prirodnoy i tekhnogennoy sferakh [Basics of the natural and man-made risk analysis and manage-

ment]. Moscow: Delovoy ekspress; 2004 [In Russian].

[4] GOST 33433-2015. Functional safety. Risk management on railway transport. Moscow: Standartinform; 2016 lin Russian].

[5] Volodarsky V.A., Orlenko A.I. On the dependability of reconditioned rolling stock. Dependability. 2015;1(52):29-31.

[6] Zamyshliaev A.M., Ignatov A.N., Kibzun A.I., Novozhilov E.O. Functional dependency between the number of wagons derailed due to wagon or track defects

and the traffic factors. Dependability 2018;18(1):53-60. [7] Dayev Zh.A., Nurushev E.T. Application of statistical criteria for improving the efficiency of risk assessment

methods. Dependability 2018;18(2):42-45. [8] Aksenov V.A., Raenok D.L., Zavyalov A.M. Improv-

ing the system of risk management to ensure the safety of production processes. Dependability 2013;(3):112-120. [9] Popov V.G., Sukhov F.I., Bolandova Yu.K. Accidental

Tisk assessment of train movement consequently the impact of natural emergencies in the environment. Science and Technology in Transport 2018;4:115-120 [in Russian].

[10] Decree of the Ministry of Transportation of the Russian Federation no. 344 of December 18, 2014 On the approval of the regulations on the classification, procedure of investigation and registration of transportation accidents and other events caused by violations of rules of traffic safety and operation of railway transport (Registered by the Ministry of Justice of the Russian Federation on by the Ministry of Justice of the Russian Federation on

.6.02.2015, no. 36209).

– hurricane with wind strength over 22 mps (m=2), frequency as compared to other types of emergencies $\phi_2 = 0,11$, average annual number of natural emergencies $N_2 = 2$, characteristic spatial scale $L_2 = 300$ km, characteristic duration $T_2 = 120$ h,

— heavy rain (m = 3), frequency as compared to other types of emergencies $\phi_3 = 0.83$, average annual number of natural emergencies $N_3 = 1.5$, characteristic spatial scale $L_3 = 1$ km, characteristic duration $T_3 = 3$ h.

The calculation data is given in Table 1.

Using formula (14), let us estimate the probabilities of a transportation accident involving trains on 6 (i = 1, 2, 3, ..., 6) lines of the North Caucasus Railway (j = 1) ocaused by three hazardous states (M = 3) of environmental objects: $R(B^{6.3}_{-1}) = 4,295 \cdot 10^{-4}$. The mathematical expectation of the economic damage of TSD calculated as of 2019 will amount to Y(B) = 4.29474,42 rub (formula (19)).

Then, the estimate of the economic risk of a transportation accident involving a train traveling on $6 \ (i = 1, 2, 3, ..., 6)$ lines of the North Caucasus Railway (j = 1) will be (similarly to formula (20)):

$$R_{E}(B_{j}^{I,M}) = R(B_{j}^{I,M}) \cdot Y(B) = R(B_{j}^{6,3}) \cdot Y(B) = 24,295 \cdot 10^{-4} \cdot 429474,42 \cong 184,45 \text{ rub.}$$

If, for instance, we consider the case of transportation of 1 t of hazardous freight on this route that amount to approximately 6000 rub, the obtained economic estimate can be considered as the amount of coverage for the purpose of risk management (risk treatment) by means of transfer.

References

[1] Katsov V.M., editor. Doklad o klimaticheskikh riskakh na territorii Rossiyskoy Federatsii [Report on the climaterelated risks in the Russian Federation]. Saint Petersburg; 2017 [in Russian].

(derailment or collision without consequences in the form wrecks, B_1 , train accidents, B_2 , transportation accidents traffic safety disturbances (TSD) are subdivided into train in [11-16]. According to [10], transportation accidents, i.e. transportation accidents let us use the information set forth For the economic assessment of the consequences of

TSD as $B_n (B_n = B_1, B_2, B_3)$: mathematical expectation of economic damage caused by of [12, 13], we can write the estimation equation of the Using the discounting method [11] and statistical data of train wreck or train accident), B_3 .

$$(81) \chi(B_n) = \chi_0(B_n)(1+1)^p, (18)$$

 $= 7.10^{\circ}$ rubles are the average values of economic damage where $Y_0(B_1) = 2.10^6$ rubles, $Y_0(B_2) = 0.5.10^6$ rubles, $Y_0(B_3)$

caused by one event of types B_1 , B_2 , B_3 in 2000 rubles,

p = Y - 2000 is the conventional year,

Y is the calendar year of risk analysis,

v is the rate of discounting (v = 0, 1-0, 12).

sumptions and a posteriori statistical data on the TSD that moving trains forces us to resort to using conservative assystems and causing transportation accidents involving the effect of natural emergencies on sociotechnical railway economic damage caused by TSD of type B_n associated with The practical impossibility of predictive estimation of the

as follows: affect trains. Given the above, the equation can be written

$$Y(B) = \sum_{n=1}^{3} \alpha_n \cdot Y(B_n), \qquad (19)$$

 $\alpha_2 = 0, 1, \alpha_3 = 0,89.$ that according to [14, 16] can be estimated as $\alpha_1 = 0.01$, where α_n is the relative rates of TSD of type $B_n(n=1,2,3)$

tained using the following formulas: caused by a natural emergency of the m-th type can be obaccident affecting a train on the i-th line of the j-th railway Then, the economic estimate of the risk of transportation

$$\operatorname{up} R_{\mathbb{E}}^{"}(B_{j,l,m}) = R^{"}(B_{j,l,m}) \cdot Y(B),
\operatorname{down} R_{\mathbb{E}}(B_{j,l,m}) = R'(B_{j,l,m}) \cdot Y(B),
\operatorname{up} \operatorname{and} \operatorname{down} R_{\mathbb{E}}(B_{j,l,m}) = R(B_{j,l,m}) \cdot Y(B).$$
(20)

of damage Y(B). a transportation accident (formulas (6) - (17)) by the size similarly by multiplying the corresponding probability of (for I lines in one railway or J railways) can be obtained The economic estimate of risks for cases $B_{l,m}^{l,l}$; $B_{l,l,m}^{l,l,l}$; $B_{l,l,l,m}^{l,l,l,l}$

Railway caused by the effect of three types of natural emerline of 6 sections (i = 1, 2, 3, ..., 6) of the North Caucasus $R(B^{M}_{i,i})$ involving trains on the Nevinnomysskaya – Tuapse Let us estimate the probability of transportation accident

gencies below on the sociotechnical system:

 $tion T_1 = 1 h$ characteristic spatial scale $L_1 = 1.5$ km, characteristic duraof emergencies $\phi_1 = 0.06$, average annual number $N_1 = 1$, - μ - μ

(01)
$$R'(B_{J,m}^{I}) = I - \prod_{i=1}^{I} [I - R'(B_{J,m})]_{i}$$

snistt nwob bns qu tof

(11)
$$R(B_{j,n}^{l}) = 1 - \prod_{i=1}^{l} -1 = (A_{j,i,n}).$$

on the sociotechnical railway system on I(i=1, 2, 3, ..., I)lowed the effect of a natural emergency of the m-th type where $B'_{i,i}$ is a transportation accident, an event that fol-

accident affecting a train moving along I(i = 1, 2, 3, ..., 1)III. We will estimate the probability of a transportation lines of the j-th railway.

gencies using the following formulas: lines of the j-th railway caused by all possible natural emer-

for an up train:

$$R''(B_{j,M}^{l,M}) = I - \prod_{i=1}^{l} [I - R''(B_{j,i}^{M})],$$

(51)
$$R'(B_{j,N}^{I,M}) = I - \prod_{i=1}^{I} [I - R'(B_{j,i}^{M})]_{j}.$$
 for up and down trains:

$$A[I] = I - I = \prod_{i=1}^{N} - I = \prod_{i=1}^{N} - I = (A_i)$$

nical railway system on I (i = 1, 2, 3, ..., I) lines of the j-th possible M types of natural emergencies of the sociotechwhere $B_{i,M}^{i,M}$ is an event that followed the effect of all

accident affecting a train on I (i = 1, 2, 3, ..., 1) lines of JIV. We will estimate the probability of a transportation

emergencies using the following formulas: (j = 1, 2, 3, ..., J) railways caused by all possible natural

for an up train

(16) Arithmetical form of the second state
$$[I - R'(B^{L,M})]$$
, which is the second second state of $[I - R'(B^{L,M})]$, where $I = I - I$ is the second second state of $I = I$.

satisfy awob base qu tof
$$R[B^{l,k}] = \prod_{i=1}^k -1 = \binom{M,l,l}{i}$$

3, ..., I) lines of J(j = 1, 2, 3, ..., J) railways. gencies on the sociotechnical railway system on I(i=1, 2, 2)followed the effect of all possible M types of natural emerwhere $B^{J,lM}$ is a transportation accident, an event that

estimates of accidental risks for various routes. J(J=1,2,3,...,J) railways, we can obtain the corresponding If in formulas (15) to (17) we take I(i = 1, 2, 3, ..., I) lines of cidental risk for the j-th railway as a whole (j = 1, 2, 3, ..., J). j-th railway, we can obtain the corresponding estimates of ac-If in formulas (9) to (14) for I we take all the lines of the

$$\frac{\partial^{n} (u, \lambda, \overline{\Lambda}^{n}, \lambda, \overline{\Lambda}^{n})}{\partial A} \sum_{0=A}^{1-A} (u, \lambda, \overline{\Lambda}^{n}, \lambda, \overline{\Lambda}^{n} -) \operatorname{dxa} - 1 = (u, \lambda, \overline{\Lambda}) \Big|_{m, \lambda, \overline{\Lambda}} T)^{n} Q$$

$$(4) \qquad \qquad \frac{\partial^{n} (u, \lambda, \overline{\Lambda}^{n}, \lambda, \overline{\Lambda}^{n})}{\partial A} = \frac{\partial^{n$$

cording to formulas similar to those for up trains subject to line of the *j*-th railway $R'(B_{j,l,m})$, the corresponding values $P'(C_{j,l,m})$, $P'(L_{j,l,m})$, $P'(T_{j,l,m})$ are identified actransportation accident involving a down train on the i-th In formula (1) written to estimate the probability of a where k_i is the kind of the standard Erlang distribution,

Then, the probability $R(B_{j,i,m})$ of a transportation accident appropriate data.

(accounting for the jointness of events): the m-th type can be identified using the following formula way caused by a hazardous effect of a natural emergency of affecting up and down trains on the i-th line of the j-th rail-

(c)
$$(R_{i,i,n}) + R'(R_{i,i,n}) + R'(R_{i,i,n}) + R'(R_{i,i,n}) \times R'(R_{i,i,n})$$

estimates of the probability of a transportation accident af-Out of formulas (1), (5), we can obtain the following

accident affecting a train on the i-th line of the j-th railway I. We will estimate the probability of a transportation fecting a moving train.

caused by all possible natural emergencies of M types

(m = 1, 2, 3, ..., M) using the following formula:

(6)
$$R''(B^{M}) = \sum_{i=m}^{M} \phi_{im} \cdot R''(B_{i,i,m}),$$

$$R'(B^{M}_{i,i}) = \sum_{m=1}^{M} \phi_{m} \cdot R'(B_{i,i,m}), \qquad (7)$$

for up and down trains

$$K(B_{j,i}^{M}) = K''(B_{j,i}^{M}) + K'(B_{j,i}^{M}) - K''(B_{j,i}^{M}) \cdot R'(B_{j,i}^{M}), \quad (8)$$

where ϕ_m is the frequency of emergencies of the m-th type

out of all the other types of emergencies,
$$\sum_{m=1}^{M} \phi_m = 1$$
,

on the sociotechnical railway system on the i-th line of the the effect of all possible M types of natural emergencies B^M_{1,1} is a transportation accident, an event that followed

у-та ганмау.

II. We will estimate the probability of a transportation

j-th railway caused by a natural emergency of the m-th type accident affecting a train on I (i = 1, 2, 3, ..., I) lines of the

using the following formulas:

 $R''(B_{l,m}^{I}) = I - \prod_{i=1}^{I} [I - R''(B_{l,m})],$ (6)tor an up train

 $B_{j}i,m=D_{j}i,m$ $AC_{j}i,m$, a transportation accident [10]

of the j-th railway, type on the sociotechnical railway system on the i-th line caused by the effect of a natural emergency of the m-th

of the m-th type that occur in the Russian geographical re- N_i i,m, the average yearly number of natural emergencies

is situated, 1/year, gion where the *i*-th line of the *j*-th railway (m = 1, 2, ..., M)

cies of the m-th type that occurs in the Russian geographical L_{j} , i, m, the characteristic spatial scale of a natural emergen-

is situated, km, region where the *i*-th line of the *j*-th railway (m = 1, 2, ..., M)

gion where the *i*-th line of the *j*-th railway (m = 1, 2, ..., M)of the m-th type that occurs in the Russian geographical re- T_j , i, m, the characteristic duration of a natural emergency

We will estimate the probability of a transportation ac-

following formulas: caused by a natural emergency of the m-th type using the cident affecting an up train on the i-th line of the j-th railway

$$R''(B_{i,i,m}) = R''(D_{i,i,m}) \times C_{i,i,m}$$

$$= P''(C_{i,i,m}) \cdot P''(D_{i,i,m} | C_{i,i,m}), \qquad (1)$$

$$(I) \qquad (C_{j,i,m}) \cdot P''(D_{j,i,m}) \cdot P''(P_{j,i,m}) \cdot P$$

where $P''(C_{j,i,m})$ is the probability of occurrence in the specific $P''(C_{j,i,m})$ is the probability of occurrence in the specific

the length of L_{ii} [9], average time of presence of an up train on the i-th line with type with the characteristic spatial scale L_{j} , i, m within the geographical region of a natural emergency of the m-th

where $t_{j,i}^n = L_{j,i} \wedge V_{j,i}^n \vee V_{j,i}^n$ is the up service speed on the *i*-th line of the *j*-th railway,

accident involving an up train on the i-th line of the j-th characteristic spatial scale L_{j} , i, m causing a transportation on the sociotechnical railway system of event C_{j} , i, m with $P''(L_{j,l,m}|\mathcal{Q}_{j,l,m})$ is the conditional probability of the effect

$$\lambda^{k} = \lim_{x \to \infty} \left| \nabla_{\lambda,i,m} \right|^{\lambda} \int_{0}^{L_{x}} \int_{0}^{L_{x}} \int_{0}^{\lambda_{x}} \int_{0$$

 $\Delta \overline{X}_{j,i}^n = V_{j,i}^n \times \Delta \overline{T}_{j,i}^n$ is the average spacing of up trains on the *i*-th line of the *j*-th railway, km, where k_x is the kind of the standard Erlang distribution,

 $\Delta T_{i,i}^{m}$ is the average headway between up trains on the

accident involving an up train on the i-th line of the j-th characteristic duration T_j , i,m that caused a transportation on the sociotechnical railway system of event $C_{\rho}i_{,m}$ with $P''(T_{j,i,m}|C_{j,i,m})$ is the conditional probability of the effect i-th line of the j-th railway, h,

railway [9]

Risk assessment consists in its quantitative measurement

of such hazards' realization. the probabilities of occurrence of hazards and consequences [3]. Quantitative estimation of risk requires the analysis of

is placed on the matters of dependability of rolling stock and ture facilities and rolling stock [4]. As of late, special emphasis level of risk while ensuring the functional safety of infrastructation consists in achieving and maintaining the acceptable The main purpose of risk management in railway transpor-

of transportation accident risk assessment that takes into rately from the environment. The authors propose a method examines the system of railway infrastructure operation sepaprocesses [5-8]. However, the latest research into this matter management aimed at ensuring the safety of transportation development of systems and methods of risk estimation and

Ministry of Transportation of the Russian Federation no. in accordance with the classification of the Decree of the rolling stock that do not cause train wrecks and accidents train accidents, as well as derailments and collisions of A transportation accident is understood as train wrecks,

consideration the effect of various natural emergencies.

Let us introduce the following notations for the purpose 344 of December 18, 2014 [10].

 $C_{i}i_{i}m_{i}$, an event that is a natural emergency of the m-th of characterizing natural emergencies:

the i-th line of the j-th railway is situated, type that occurred in the Russian geographical region where

emergency of the m-th type (event C_j,i,m) on the sociotech- $D_{i,i,m}$, an event that characterizes the effect of a natural

nical railway system on the i-th line of the j-th railway and

causes a transportation accident,

300 00t 200 009 007 008 Number of natural disasters between 1980 and 2016 of human activities to the ever-changing climate.

starting point of calamity risk management and adaptation

characterize their effect on the railway infrastructure is the

of the factors of climate-related risk that quantitatively

largely depends on the climate conditions. The assessment

Krivenkovskaya and Tuapse - Adler railway lines. 36 pas-

and Dzhubga - Sochi motorways, roadbed in the Tuapse -

and one railway bridge, sections of the Tuapse - Maykop

Krasnodar Krai, harm was inflicted on two road bridges

and 25, 2018 (275-330 mm) in three municipalities of the As the result of abundant precipitations on October ${\bf 24}$

were blocked. According to preliminary estimations, direct

Tuapse, as well as the nearby motorway. 47 passenger trains

m⁵ destroyed 300 meters of railway track between Sochi and

ful mud-and-stone flows with the total volume over 15 ths.

messages of the EMERCOM of Russia, on August 6 power-

on the Black Sea coast of Russia. According to operational

showers between August 6 and 9, 2002 around Novorossiysk

caused by mudflows that accompanied a deep depression with

trial emergencies. Significant social and economic losses were Importantly, hazardous climate events can initiate indus-

climate and hydrological events, i.e. floods, strong winds,

eruptions, tsunamis and earthquakes, but meteorological,

are caused not by geophysical phenomena, such as volcano

diagram (Figure 1) shows that 90% worst economic losses

hazardous weather and climate events around the globe. The

Today's world statistics show growing damage caused by

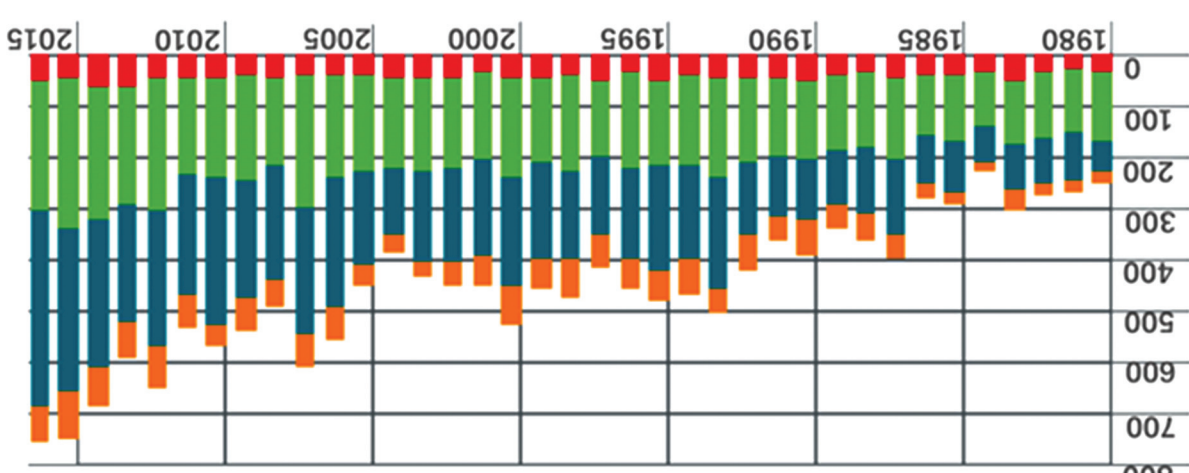
heavy rains, hail, droughts [1].

senger trains were cancelled and 39 were delayed.

economic damage amounted to USD 71 mln. [2].

Fault-free and safe operation of railway transportation





storms, local storms Meteorological phenomena: tropical storms, extratropical storms, convective Geophysical phenomena: earthquakes, tsunamis, volcano eruptions

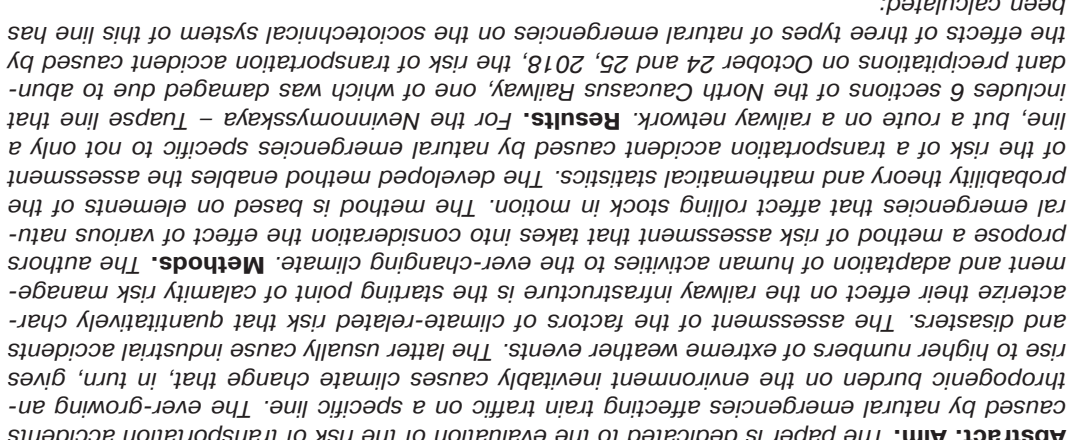
Climate events: extreme temperatures, forest fires, droughts Hydrological phenomena: river floods, mudflows (landslides)

Figure 1. Number of natural disasters between 1980 and 2016

emergencies for train traffic Economic assessment of the accidental risk of natural

Yulia K. Bolandova, Russian University of Transport (MIIT), Russian Federation, Moscow Filipp I. Sukhov, Russian University of Transport (MIIT), Russian Federation, Moscow Vladimir G. Popov, Russian University of Transport (MIIT), Russian Federation, Moscow

Abstract. Aim. The paper is dedicated to the evaluation of the risk of transportation accidents



been calculated:

risk of natural emergencies to train traffic. Dependability 2019;2: 48-53. DOI: 10.21683/1729-

Keywords: accidental risk, accidents, emergencies, railway transportation, natural emergen-

estimation, including the economic component, for the Nevinnomysskaya – Tuapse line. of transportation accidents caused by natural emergencies, an example is provided of such risk ponent of the risk. Conclusions. As the result, a method is proposed for estimation of the risk economic damage by traffic safety disturbances, which allowed estimating the economic comdiscounting method, an equation was obtained for estimating the mathematical expectation of natural emergency of the m-th type is identified subject to the jointness of events. Using the down trains travelling along the i-th line of the j-th railway caused by a hazardous effect of a normal Erlang distribution of the k-th kind. The risk of transportation accident involving up and involving a train were estimated based on the assumption that a train flow in space follows the that has characteristic spatial scale and duration and has caused a transportation accident The conditional probabilities of the effects on the railway sociotechnical system of an event

- 'poojj -
- hurricane with wind strength of over 22 mps,
- һеалу гаіп.

cies, railway freight transportation, traffic safety disturbances.

- frequency as compared to other types of emergencies,

 characteristic duration of the natural emergency. - characteristic spatial scale of the natural emergency,

- The parameters of such emergencies are characterized by the following factors:

- average annual number of natural emergencies,









Yulia K. Bolandova

For citation: Popov VG, Sukhov FI, Bolandova YuK Economic assessment of the accidental

2646-2019-19-2-48-53

obsluzhivania LA i AD [Operational dependability and maintenance conditions of aircraft and aircraft engines]. Moscow: MGTUGA; 2002 [in Russian].

[17] Sheynin VM, Kozlovsky VI. Vesovoe proektirovanie i effektivnost passazhirskikh samoletov. T. 2. Raschet tsentrovki i momentov inertsii samoleta. Vesovoy analiz [Weight design and efficiency of passenger airplanes. Vol. 2. Balance and moments of inertia calculation of an airplane. Weight analysis]. Moscow: Mashinostroenie, 1977 [in Russian].

About the author

Vadim V. Efimov, Doctor of Engineering, Associate Professor, Professor, Moscow State Technical University of Civil Aviation, Russian Federation, Moscow, e-mail: efimowww@yandex.ru

Received on: 19.11.2018

the airworthiness of civilian aircraft in terms of strength]. Moscow: MGTU GA; 2013 [in Russian]. [12] Smirnov NN. Osnovy teorii tekhnicheskoy eksplu-

[12] Smirnov INI. Osnovy teorii tekhnicheskoy ekspluatatsii letatelnykh apparatov: Chast 2 [Fundamentals of aircraft maintenance: Part 2]. Moscow: MGTUGA; 2003 [in Russian].

[13] Svishchev GP, editor. Aviatsia: entsiklopedia [Aviation: encyclopedia]. Moscow: Bolshaia Rossiyskaia entsiktion: encyclopedia].

lopedia; 1994 [in Russian]. [14] GOST R 56079-2014. Aircraft items. Flight safety,

reliability, testability and maintainability. Indices nomenclature. Moscow: Standartinform; 2014 [in Russian].

[15] Antseliovich LL. Nadezhnost, bezopasnost i zhivuchest samoleta [Dependability, safety and survivability of an airplane]. Moscow: Mashinostroenie; 1985 [in Russian].

[16] Gerasimova ED, Smirnov NN, Poliakova IF. Ekspluatatsionnaia nadezhnost i rezhimy tekhnicheskogo

GOST 27.002-89, but taking into account the proposals 27.002-2015 similar to an annex to the previously effective ate national standard or at least issue an annex to GOST to stipulate the concept of survivability in an appropri-In the author's opinion there is a long-standing need

References made in this paper.

technical systems. Dependability 2018;18(2):17-24. Functional survivability analysis of structurally complex [1] Cherkesov GN, Nedosekin AO, Vinogradov VV.

DOI:10.21683/1729-2646-2018-18-2-17-24.

2016;16(2):3-15. DOI:10.21683/1729-2646-2016-16-2under repeated impacts of high accuracy. Dependability proach to estimating survivability of complex structures [2] Cherkesov GN, Nedosekin AO. Description of ap-

Dependability 2016;16(3):35-38. DOI:10.21683/1729-2646 diagnosis of a control computer with improved survivability. [3] Zarubsky VG. Organization features of functional

2016;16(4):30-35. DOI:10.21683/1729-2646-2016-16-4spacecraft under electrophysical effects. Dependability of information support in ensuring the survivability of [4] Yurkevich EV, Kriukova LN, Saltykov SA. Aspects -2016-16-3-35-38.

networks under information technology interference. Deof increasing fault tolerance of satellite communication [5] Klimov SM, Polikarpov SV, Fedchenko AV. Method

7017-17-3-32-40. pendability 2017:17(3):32-40. DOI:10.21683/1729-2646-

2005 [in Russian]. taining the airworthiness of aircraft]. Moscow: MGTUGA; Sokhranenie letnoy godnosti vozdushnykh sudov [Main-[6] Smirnov NN, Chiniuchin YuM, Tarasov SP.

Council for aviation and airspace management of September airplanes: approved by Order of the 23-rd session of the 25. Airworthiness Requirements for transport category prostranstva 5 sentiabria 2003 goda [Aviation rules. Part 23-ey sessii Soveta po aviatsii i ispolzovaniiu vozdushnogo nosti samoletov transportnoy kategorii: utv. Postanovleniem [7] Aviatsionnye pravila. Chast 25. Normy letnoy god-

Terms and definitions. Moscow: Standartinform; 2016 [in [8] GOST 27.002-2015. Industrial product dependability. 5, 2003]. Moscow: Aviaizdat; 2004 [in Russian].

Kussian].

General concepts. Terms and definitions. Moscow: Izdatel-[9] GOST 27.002-89. Industrial product dependability.

stvo standartov; 1990 [in Russian].

[10] Arepiev AN, Gromov MS, Shapkin VS. Voprosy

transport; 2002 [in Russian]. damage tolerance of aerostructures]. Moscow: Vozdushny ekspluatatsionnoy zhivuchesti aviakonstruktsiy [Matters of

grazhdanskoy aviatsii po usloviam prochnosti [Insuring kin VS. Obespechenie letnoy godnosti vozdushnykh sudov [11] Butushin SV, Nikonov VV, Feygenbaum YuM, Shap-

where Q_{ext} is the probability of an aircraft encountering

extreme operating conditions.

Fortunately, $\widetilde{Q}_{exp} >> \underline{Q}_{exp}$ while $Q_{exp} \equiv 1$, so in formula (1) it is usually omitted.

case mission performance relies on the survivability. tions and, as consequence, premature fatigue failure). In this result of careless performance of service and repair operaerror (for instance, damage to structural components as the or occurrence of permanent deformations) or maintenance which may cause the destruction of structural components excess of maximum allowed value of maneuver load factor, of munition), crew error (for instance, hard touchdown or sequence, fatigue failure of a structural component, effects may cause premature depletion of operating life and, as conalso specified in the Airworthiness Requirements, which excessive continued air turbulence, whose parameters are components or appearance of permanent deformations, Requirements, which can cause the destruction of structural the speed higher that the value specified in the Airworthiness anomalous external effects (for instance, single gusts with conditions. In other words, failures may be caused by tering extreme conditions beyond the expected operating But failures may also be caused by an aircraft encoun-

i.e. prodom... $P_{\text{sur}} = I - Q_{\text{ext}} Q_{\text{vul}}.$ from the second of the secon i.e. probability of retained operability under extreme condiformula (1), the expression for the survivability indicator, operating conditions, Q_{vul}). Given the above, similarly to operability under condition of effects beyond the expected indicator of vulnerability is the probability of loss of aircraft of effects beyond the expected operating conditions (the the possibility of disruption of its operability as the result Vulnevability is the property of an aircraft that characterizes an aircraft encountering extreme operating conditions, Q_{ext}). conditions (the indicator of perishability is the probability of tering extreme conditions beyond the expected operating of an aircraft that characterizes the possibility of it encounthe above considerations. Then, perishability is the property ments to the definitions of these concepts in accordance with by the perishability and vulnerability. Let us make improve-In accordance with [15], aircraft survivability is defined

Conclusion

tained definition can be extended to an aircraft as a whole, define the survivability of aeronautical structures. The ob-In this paper, an attempt was made to unambiguously

There is no point in singling out the concept of combat as well as other complex technical objects.

survivability, since the effect of munitions is covered by the

The advantage of the obtained definition of survivability concept of the effects of adverse factors.

for dependability and fail-safety. consists in its clear difference from the standardized terms

to the concept of operational dependability. al survivability) was proposed that was introduced similarly Additionally, the concept of damage tolerance (operation $Q_{\text{exp}} + Q_{\text{ext}} = 1$,

ancy conditions must be equal to one:

ists, the sum of the probabilities of an aircraft encountering the expected operating conditions while no third option expected operating conditions, or in extreme conditions beyond As an aircraft, as stated above, may be either in the ex-

expected operating conditions.

where Qexp is the probability of an aircraft encountering

$$P_{\mathbf{f}} = 1 - Q_{\exp} Q_{\mathbf{f}}, \tag{1}$$

to formula:

the expected operating conditions is identified according probability Q_{ff}, while the probability of no-failure under sipility of such failures is estimated by the corresponding components and aircraft equipment manufacture. The posfailures caused by design flaws, poor quality of structural under expected operating conditions. They may include mally understood as disruptions of operability that occur

In this classification of adverse factors, failures are nortions, crew errors and maintenance errors.

Adverse factors include failures, extreme operating condiand crashes that prevent the flight mission performance. tions that cause reduced flight safety [7], including accidents the result of the effect of adverse factors or their combina-

However, during a flight, special situations may arise as conditional probability P_f.

aircraft being operable is defined by the corresponding The capability to conduct a flight under conditions of the to ensure flights in nighttime, in poor weather conditions). pabilities of the flight and navigation equipment (capability the aircraft properties, that depends, for instance, on the cafactors, including managerial ones, but if we only talk about the up state, must conduct the flight. That depends on many

In order to perform the flight mission, an aircraft, being in probability P named availability coefficient.

Quantitatively, that is evaluated with the corresponding be initially in the up state which depends on its availability. In order to perform the flight mission, an aircraft must Let us examine these probabilities.

the expected operating conditions.

 P_{ff} is the probability of no-failure during the flight under of the aircraft being operable,

 $P_{\rm t}$ is the probability of Hight execution under conditions where P_{a} is the availability coefficient,

$$^{\text{th}}d^{\text{t}}d^{\text{g}}d = ^{\text{dep}}d$$

product of probabilities:

The dependability indicator can be represented as the operating conditions).

operability under extreme conditions beyond the expected P_{sur} is the survivability indicator (probability of retained

operability under the expected operating conditions), P_{dep} is the dependability indicator (probability of retained

of the aircraft, maximum mass of payload, m_0 is the maximum takeoff mass maximum mass of payload, L is the flight distance with the of productive capacity [17] $W_0 = m_{\rm pl} L/m_0$, where $m_{\rm pl}$ is the and survivability. That may be, for instance, the indicator performance), under conditions of its absolute dependability by the aircraft's functional properties (most importantly its

where W_0 is the initial efficiency indicator that is defined

$$M = M^0 D^{\text{dep}}$$

mathematical expectation:

a transport aircraft that can be represented in the form of

Let use examine the indicator of operating efficiency of

described in [15].

dependability and survivability, let us use the approach differences and correlation between the concepts of

In order to ensure a better understanding of the of aeronautical structures

of dependability and survivability delimitation of the concepts Probabilistic approach to the

ability and survivability using the probabilistic approach. examine the difference and correlation between the depend-

In order to better understand this delimitation, let us area of responsibility.

yet clearly delimitated concepts each of which has its own Thus, dependability and survivability are interrelated,

and transportation. tions depending on the methods of maintenance, storage extreme conditions beyond the expected operating condithe capability to perform the required functions under be formulated as the property of an item to retain in time tion of damage tolerance (operational survivability) can and transportation. Similarly to this definition the definion the methods and conditions of maintenance, storage tions under the expected operating conditions depending retain in time the capability to perform the required funccan be formulated as follows: the property of an item to introduced the concept of operational dependability that item may differ from the specified ones. Due to that [16] conditions of maintenance, storage and transportation of an ganization of service and repair, etc. Thus, the methods and and maintenance personnel, physical infrastructure, orenvironmental conditions, level of training of the flight by a significant variety and instability due to the varied covered. But real operating conditions are characterized methods of maintenance, storage and transportation are definition of survivability, in both cases the specified definition of dependability and the above recommended ability)" has the right to exist as well. If we examine the The concept of "damage tolerance (operational surviv-

is the responsibility of survivability. dependability, while under extreme operating conditions it conditions the operability of an item is the responsibility of

of munitions – and only survivability in "normal" operation being the kind of survivability associated with the effects

tolerance (operational survivability)" implies something But in some works [10, 11] the concept of "damage

within which the damage (destruction) will be undoubtedly will not go below the allowed level over an interval of time, the residual strength, despite the structure being unrepaired, or destruction of one of the main load-carrying elements, ing a structure in which, after possible significant damage and way of ensuring its safety in terms of strength by design-Safety of destruction (damage) is a property of a structure onset of such state, when degraded strength is unacceptable. repairs or replacement of the damaged element before the structure in operation in order to detect possible damage and ing the time of the first and subsequent inspections of the way of ensuring its safety in terms of strength by specifyage). Allowability of damage is a property of a structure and the allowability of damage and safety of destruction (damways of ensuring its safety in terms of strength and includes ized term that characterizes the properties of a structure and damage tolerance (operational survivability) is a general-

failures onboard [14]. Hight in the expected operating conditions in case of possible characterizes the capability to ensure safe completion of the of an aircraft as a whole and/or its functional systems that with the standardized definition of fail-safety, the property of definitions of survivability. But in this case, it overlaps uted to the first type of definitions in the above classification of damage tolerance (operational survivability) can be attribopment of critical failures out of defects. This understanding that ensures safety through the capability to resists the develessentially it comes down to survivability being the property This definition is quite cumbersome and complex, but

identified.

different:

off-design loads, as well as subject to the existence of acto retain its operability when affected by projectiles and second type: survivability is the property of an airplane In [15], a definition is set forth that is the closest to the vivability appears to be the most logical and consistent. Given the above, the second type of definitions of sur-

cumulated damage" from this definition, it can be deemed If we remove "as well as subject to the existence of accumulated damage.

Thus, similarly to the above definition of dependability, quite acceptable.

the capability to perform the required functions under exsurvivability can be defined as follows:

transportation. under the specified methods of maintenance, storage and treme conditions beyond the expected operating conditions survivability is the property of an item to retain in time

tions. No third option exists. Under expected operating operating conditions beyond the expected operating condieither in the expected operating conditions, or in extreme Thus, any item or aircraft may be, among other things,

> its innctions despite the sustained damage of various - survivability is the property of a structure to perform

> endurance or defects caused at the stage of manufacture of fatigue failure of elements due to miscalculations of fatigue of structural components manufacture. Examples include caused, among other things, by design flaws, poor quality operating conditions. That may be the case of partial failures ability. But a structure may sustain damage under expected age the operability of a structure will depend on its surviv-In accordance with these definitions, in case of any dam-

parts that prove to be stress raisers.

it happened under extreme operating conditions beyond the ability must be ensured by the dependability (reliability), if happened under the expected operating conditions, the operditions, under which a defect or partial failure occurred. If it obvious that the difference can only be in the operating conthe above definitions of survivability and reliability? It is the item or its system. Then, what is the difference between fail, the remaining elements will ensure the operability of several parallel elements (in case of multiple redundancy) of the simplest ways of improving reliability. If one or even Requirements. As it is known, component redundancy is one expected operating conditions in terms of the Airworthiness specified modes and conditions of application, i.e. under the functions during a certain period of time or operation time in to continuously retain the ability to perform the required In accordance with [8], reliability is a property of an item concept of reliability that is a component of dependability. But then the concept of survivability overlaps with the modation and the structure as a whole will remain operable. ing structural components will ensure design load accomcomplies with the principle of safe destruction, the remain-If a structure has redundant elements, i.e. its design

The understanding of this term varies too. Let us examine tional survivability)" along or instead of "survivability". Some papers use the term "damage tolerance (operanothing about that.

survivability. But the above definitions of survivability say

expected conditions, the operability must be ensured by the

failures or damage to individual assemblies, elements, functions by all systems of an aircraft in flight in case of property that ensures normal performance of the specified - damage tolerance (operational survivability) is a the following definitions:

and repairs [13]. operation, or damage caused in the process of manufacture elements due to fatigue, corrosion, accidental damage in case of partial or complete destruction of load-carrying aircraft to ensure safe operation in terms of strength in aeronautical structures is a property of structures of an - damage tolerance (operational survivability) of

in this case combat survivability is not implied – the latter the word "operational" is apparently used to indicate that ferent from the above definitions of survivability, while In terms of their meanings, those definitions are no dif-

Introduction

of appropriate measures as part of service and repair operation requires maintaining its airworthiness by means in terms of structural strength. In this context, aircraft expected conditions may cause the loss of airworthiness

operations.

On the matter of the terminology of aeronautical structures survivability

aircraft survivability terminology, but that of other items ally accepted definition. That is true not only in case of the "survivability" does not have an unambiguous and generterms are even part of corresponding standards, the term sufficient consistency in specialized literature, and some and maintainability are covered in sufficient detail and with and maintainability. Whereas the terms dependability, safety operation. They include dependability, survivability, safety aircraft properties that manifest themselves in the course of and parameter, including operating properties, i.e. the set of Any aircraft is characterized by a wide range of properties

complex technical items. The primary goal of this paper is In this paper, an attempt is made to unambiguously as well [1-5].

and survivability. to clearly distinguish between the concepts of dependability subsequently be extended to an aircraft as a whole and other define the survivability of aeronautical structures that can

of aeronautical structures of the theory of survivability Primary concepts and definitions

that affect flight safety. external factors that affect an aircraft, operational factors its purpose. Such conditions include state parameters and ably predicted within the useful life of an aircraft subject to known from practice or whose occurrence can be reasonexpected operating conditions as the conditions that are worthiness Requirements of transport aircraft [7] define and under the established methods of operation [6]. Airallows performing safe flights under expected conditions by the implemented design principles and solutions that is a comprehensive characteristic of an aircraft defined its design and is maintained in operation. Airworthiness an aircraft must possess airworthiness that is defined by In order to ensure efficient operation and flight safety,

:gniwollof The expected operating conditions do not include the

introducing operating restrictions and rules, - extreme conditions that can be reliably avoided by

result in a higher level of airworthiness than required and the Airworthiness Requirements in such conditions would - extreme conditions that occur so rarely, that observing

Airworthiness depends on the dependability of the airpractical.

craft, including the dependability of its structure that, in turn,

is defined by its strength.

solutions, strength, stiffness and fatigue calculations and terms of strength is ensured by correct choice of design At the stage of design, an aircraft's airworthiness in

exposure to extreme operating conditions beyond the rosion damage, destruction of non-metallic materials, In the course of aircraft operation, fatigue and cor-

strength when damaged (including fatigue damage) [10], - survivability is the property of a structure to retain definitions of this type:

ability of aeronautical structures all of the three above

of survivability. In the literature dedicated to the surviv-

nents affected by fatigue cracks whose size does not exceed

the retaining of the carrying capacity by structural compo-

case of failure of some components. An example would be

presence of defects or damage of a certain type, as well as in

exposed to effects not provided for by the operating condi-

the development of critical failures from defects and damage

term. Let us take a look at those definitions. Survivability

which did not contribute to a clear understanding of the

ity was defined, but it was done so in three different ways,

terminology was covered in an annex, in which survivabil-

the above standard (GOST 27.002-89, [9]) the dependability

in any Russian national standard. In the previous version of

terminology of survivability of aeronautical structures

survivability fit this purpose? Let us examine the existing

survivability. But does any of the existing definitions of operability is to be ensured by another property, i.e.

conditions beyond the expected operating conditions

conditions. Conclusion suggests itself that under extreme plication are to be understood as the expected operating

Requirements, the specified modes and conditions of ap-

accordance with the terminology of the Airworthiness

tion, maintenance, storage and transportation, while in

-tooligan so enoitions and conditions of applica-

tem to retain in time the ability to perform the required

Terms and definitions [8] dependability is a property of an

ance with GOST 27.002-2015 Dependability in technics.

outside the expected operating conditions, as in accord-

But dependability cannot be responsible for operability

conditions beyond the expected operating conditions.

in such a way as to remain operable even under extreme

safety, the most vital structural components are designed

Requirements ensures a sufficiently high level of flight

Despite the fact that compliance with the Airworthiness

Currently, terminology of survivability is not represented

1) property of an item that consists in its ability to resist

under the adopted system of service and repair,

2) property of an item to retain limited operability when

3) property of an item to retain limited operability in the

the specified values.

is understood as:

and aircraft as a whole.

'suoi1

That is a classification of sorts of the existing definitions

structures survivability On the matter of the terminology of aeronautical

Vadim V. Efimov, Moscow State Technical University of Civil Aviation, Russian Federation, Moscow

of damage tolerance (operational survivability) was proposed that was introduced similarly to clearly different from the concepts of dependability and fail-safety. Additionally, the concept improvements can be used. Conclusions. A definition of survivability was obtained that is expected conditions the well-known concepts of perishability and vulnerability with the author's the probability of failure in such conditions. For the case of extreme conditions beyond the as the product of the probability of an aircraft encountering certain operating conditions and of the probability of the contrary event, i.e. the probability of failure that can be represented such conditions must be equal to one. The probability of no-failure can be calculated by means conditions. No third option exists. Then, the sum of the probabilities of an aircraft encountering in the expected operating conditions or in extreme conditions beyond the expected operating resented as the mathematical expectation of the efficiency indicator. An aircraft may be either examined using the known indicator of operating efficiency of a transport aircraft that is repdelimitation of the concepts of dependability and survivability of aeronautical structures was the methods of maintenance, storage and transportation. The probabilistic approach to the functions under extreme conditions beyond the expected operating conditions depending on survivability) as the property of an item to retain in time the capability to perform the required transportation. Additionally, the paper proposes the definition of damage tolerance (operational the expected operating conditions under the specified methods of maintenance, storage and retain in time the capability to perform the required functions under extreme conditions beyond Upon the analysis of literary sources, survivability was defined as the property of an item to the concepts of dependability and survivability, the probabilistic approach was used. Results. items. In order to ensure an optimal understanding of the differences and correlation between dependability and survivability of aeronautical structures, as well as other complex technical tic approaches. The author examined literary sources primarily dedicated to the matters of i.e. survivability. Methods. This research was conducted using the logical and probabilisbeyond the expected operating conditions operability is to be ensured by another property, the expected operating conditions. Conclusion suggests itself that under extreme conditions expected operating conditions. But dependability cannot be responsible for operability outside are designed in such a way as to remain operable even under extreme conditions beyond the ments ensures a sufficiently high level of flight safety, the most vital structural components Airworthiness Requirements. Despite the fact that compliance with the Airworthiness Requireof operation. The expected operating conditions are described in the Aviation Regulations lows performing safe flights under expected conditions and under the established methods of an aircraft that is defined by the implemented design principles and solutions and that altion and flight safety, an aircraft must possess airworthiness, a comprehensive characteristic clearly distinguish between dependability and survivability. In order to ensure efficient operaan aircraft as a whole and other complex technical items. The primary goal of this paper is to ously define the survivability of aeronautical structures that can subsequently be extended to ance (operational survivability) of aeronautical structures. An attempt is made to unambigu-Abstract. Aim. The paper examines the existing definitions of survivability and damage toler-

ability. Dependability 2019;2: 42-47. DOI: 10.21683/1729-2646-2019-19-2-42-47

ability, fail-safety, aeronautical structure, aircraft.

the previously introduced concept of operational dependability.

For citation: Efimov VV. On the matter of the terminology of aeronautical structures surviv-

Keyword: survivability, damage tolerance (operational survivability), dependability, failure, reli-



Vadim V. Efimov

77

Control Sciences of the Russian Academy of Sciences, Russian Federation, Moscow, e-mail: kulba@ipu.ru Alexey B. Shelkov, Candidate of Engineering, Lead Researcher, V.A. Trapeznikov Institute of Control Sciences of the Russian Academy of Sciences, Russian Federation, Moscow, e-mail: abshelkov@gmail.com Dmitry S. Somov, Chief Analyst, Sberbank, Russian Federation, Moscow, e-mail: somov.dmitry@gmail.com com

Received on: 27.02.2019

[in Russian].

[4] Baranov L.A. Automatic control of metro trains. World of Transport and Transportation. 2018;16(3):156-165 [in Russian].

[5] Kulba V.V., Kononov D.A., Kosyachenko S.A., Kochkarov AA, Somov DS. Ispolzovanie scenarnogo indikatornogo podhodov dlya upravleniya zhivuchestyu, stojkostyu i bezopasnostyu slozhnyh tekhnicheskih sistem [Use of scenario and indicator-based approaches to controling the survivability, durability and safety of complex technical systems]. Moscow: ICS RAS;2011

[in Russian].
[6] Bykov A.A. O problemah tekhnogennogo riska i bezopasnosti tekhnosfery [On the problems of technol-

ogy-related risk and safety of the technosphere]. Issues of risk analysis 2012:9(3):4-7 [in Russian].

[7] Shults V.L., Kulba V.V., Shelkov A.B., Chernov I.V., Somov D.S. Upravlenie tekhnogennoy bezopasnostyu na osnove scenarnogo i indikatornogo podhodov. Nauchnoe izdanie [Technogenic safety management using scenario and indicator approaches. A scientific publication]. Moscow: ICS RAS; 2013 [in Russian].

[8] Shults V.L., Kulba V.V., Shelkov A.B., Chernov I.V. Metodologiya upravleniya tekhnogennoy bezopasnostyu obiektov infrastruktury zheleznodorozhnogo transporta na osnove indikatornogo podhoda [Method of technogenic safety management of railway infrastructure tachnogenic safety management of railway infrastructure facilities using indicator approach]. Trends and manage-

ment 2013;3:4-23 [in Russian].
[9] Shults V.L., Kulba V.V., editors. Modeli i metody analiza i sinteza scenariev razvitiya socialno-ekonomicheskih sistem [Models and methods of analysis and

icheskih sistem [Models and methods of analysis and synthesis of development scenarios of socio-economic systems]. Moscow: Nauka; 2012 [in Russian].

[10] Eckerson W. Performance Dashboards: Measuring, Monitoring, and Managing your Business. Moscow:

Alpina Business Books; 2007.

[11] Cormen T., Leiserson C., Rivest R., Stein C. Introduction to Algorithms. Third edition. Moscow: Izdatelstvo Viliams; 2013.

[12] Kulba V.V., Somov D.S., Kochkarov A.A. The use of structure-integrated indicators in complex technical systems monitoring. Izvestiya SFedU. Engineering

sciences 2011;3(116):52-65 [in Russian].

About the authors

Leonid A. Baranov, Doctor of Engineering, Professor, Head of Department, Russian University of Transport (MIIT), Russian Federation, Moscow, e-mail:

baranov.miit@gmail.com
Vladimir V. Kulba, Doctor of Engineering, Professor, Head of Laboratory, V.A. Trapeznikov Institute of

Due to the orientation to the systems of high dimensional, structural and functional complexity and in light of opposing nature of the criteria formulated above, the precise algorithms for solving the problem in question will have too high computational complexity. Thus this problem is proposed to be solved using a combination of various approximate algorithms that create solutions according to individual criteria, or modify some existing indicator placement created based on other performance criteria [5, 12]. The practical application of this problem algorithms should be carried out using interactive procedures to collaborate with experts or specialists in a given subject area. Such approach can significantly improve the quality of the solution results (variants of indicator the quality of the solution results (variants of indicator

placement) in terms of achieving the set goals.

Conclusion

The main aim of the proposed indicator-based approach is to increase the dependability of CTS in operation and to prevent SE through the early diagnostics of the hazard of emergencies in technical systems. The indicator-based approach offers means to reduce the information-related stress and to concentrate dispatchers' or operators' attention on the processes that are most relevant in terms of safety. The approach also allows locating the sources of emergency situations with the sequired accuracy.

required accuracy.

The proposed models of the disturbance propagation in the CTS are the basis for the formulation and development of formalized methods for timely detection of abnormal situations during the CTS operation and preventing SE. The developed indicator-based approach includes a set of models and technologies for analyzing the processes of hazard effect and disturbances propagation in complex technical systems, as well as methods for solving multi-criteria problems of optimal placement of indicators in the structure of the CTS based on criteria indicators in the structure of the CTS based on criteria

of completeness, accuracy and timeliness of detecting

failures of various types.

References

[1] Gapanovich V.A. Development and implementation of the URRAN technology on railway transport. Dependability 2013;4:11-17.

[2] Gapanovich V.A., Shubinsky I.B., Rozenberg E.N., Zamyshlyaev A.M. System of adaptive management of railway transport infrastructure technical maintenance

(URRAN project). Dependability 2015;2:14-22. [3] Kulba V.V., Kosyachenko S.A., Shelkov A.B.

Methodology of research of railway transport safety problems. Large-Scale Systems Control 2012;38:5-19

In order to judge of the possible causes and consequences of the current situation most accurately, the selected indicators must allow for the precedence and afteraction sets to covers as much of the model elements as possible. Mathematically, it can be expressed as:

$$\left| \frac{I^{\Lambda h}}{I} \right| \to \max_{I} \left| \frac{I^{Bef}}{I} \right|$$

3. Accuracy of coverage. In the previous criterion coverage is used without consideration of time. However, to accurately identify the developing situation, the indicators should be "close" to the propagating through the system disturbance in time. For that purpose, the minimal diameter of precedence or afteraction coverage (the set of which covers the whole set of precedence I^{leg} or afteraction I^{all}) must be minimal:

$$. \underset{I}{\text{nim}} \leftarrow \left(\left(\left(\int_{T}^{gef} I \right) O \right) \underset{\overline{\mathbb{P}}^{g}}{\text{nim}} \right)$$

Let us formulate the task of optimizing the placement of indicators.

Let us suppose that the given model of disturbance propagation through a technical system is: the set of model elements is $A=\{a_1,a_2,...,a_n\}$, the subset of sensors is $D=\{d_1,d_2,...,d_{n_b}\}$, the subset of critical elements is $K=\{k_1,k_2,...,k_{n_k}\}$. The model elements are interconnected in relations graph G, edge passing times are given in the matrix of temporal

It is required to find such subset of elements (a set of indicators) $I=\{i_1,i_2,...,i_{n_l}\}$ that would comply with the following conditions:

relations M.

$${}_{c_{I}}N \ge {}_{I}n = \big|I\big|$$

$$(b) {}_{S}HA \ni i : I \ni i \in \emptyset \ne A \cap (b) \forall i \in \emptyset \Rightarrow b \forall i \in A \mapsto (b) \cap ($$

$$, \underset{l}{\operatorname{xsm}} \leftarrow \left(\left(\left(i, b \right) \operatorname{'sib} - \left(\operatorname{A}, b \right) \operatorname{'sib} \right) \underset{(b) \operatorname{lin} \cap 1 \ni i}{\operatorname{xsm}} \right) \underset{\lambda \ni \lambda, G \ni b}{\operatorname{mim}}$$

$$\lim_{I \to I} \left| \frac{I_{\text{lef}}}{I} \right| \rightarrow \max_{I} \left| \frac{I_{\text{lef}}}{I} \right|$$

$$\lim_{I} \leftarrow \left(\left(\prod_{T} I \right) Q \right) \lim_{M \to I} \prod_{T = M} I_{T} I_{T} I_{T}$$

$$. \min_{l} \leftarrow \left(\left(\begin{smallmatrix} \mathbb{P}_{l}^{g} I \\ I \end{smallmatrix} \right) Q \right) = \min_{\mathbb{P}^{g} I = \mathbb{P}_{l}^{g} I : T}$$

Diameter of the overall coverage shall mean the maximum value of all times of a set.

$$T:D\left(I_{\mathbb{T}^{d}}^{\mathbb{R}^d}\right)=D\left(I_{\mathbb{T}^d}^{\mathbb{R}^d}\right)=D\left(I_{\mathbb{T}^d}^{\mathbb{R}^d}\right)$$

Similar to the time coverage, the concept of the indicator set of the overall indicator coverage of precedence and afteraction is introduced:

$$(i)_{i} \mathcal{H}_{M} \bigcup_{m \ge i} = \overline{\mathcal{H}_{i}} I_{i} (i)_{i} \mathcal{H}_{M} \bigcup_{m \ge i} = \overline{\mathcal{H}_{i}} I$$

Let us suppose that the solutions to the indicator localization problem is a subset of model elements $I \subseteq A$. With the introduction of some restrictions on the set of solutions the set of feasible solutions is obtained.

The number of indicators should be limited. This restriction derives from the requirement to reduce the information related stress on the operator. Mathematically this restriction can be expressed as $|I| = n_I \le N_I$, where N_I is some constant given in a specific task.

The set of indicators shall cover all possible threats known at the current stage of system development. In other words, in terms of the model in question, there should not be a situation in which the disturbance caused by the sensor reaches a critical element before it reaches the indicator. The mathematical interpretation of this restriction can be written as $\forall d \in D : Aty(d) \cap K \neq \emptyset \exists i \in i \in Aty_S(d)$

Thus, the region of feasible solutions must satisfy the afteraction requirements:

Optimization criteria for finding the optimal solution among the feasible solutions are formulated.

I. Criterion of maximizing the allowable time for decision making. From the system's operational safety and failure prevention point of view the earliest possible threat detection is required. This criterion implies maximizing the time from the moment of activation of the critical element to the critical event. In terms and designations of the model it is critical event. In terms and designations of the model it is written as follows:

$$. \underset{I}{\operatorname{xem}} \leftarrow \left(\left(\left(i, b \right) \operatorname{'sib} - \left(\lambda, b \right) \operatorname{'sib} \right) \underset{b}{\operatorname{(i,b)}} \operatorname{kem} \right) \underset{\lambda \ni \lambda, d \ni b}{\operatorname{mim}}$$

2. Completeness of coverage. For each set of indicators, coverage by precedence and afteraction sets is defined.

matrix is the result of applying the Floyd-Warshall algorithm for finding the shortest distances between the nodes to the matrix of temporal relations [11].

An optimization problem of placing indicators in a technical system is formulated using a series of definitions introduced below. A subset of indicators will be denoted by $I = \{i_1, i_2, ..., i_{n_j}\}$. The set of time t precedence of element t shall mean a set of model elements $Bef_i(a)$, from which the element a can be reached in a time not exceeding time t. The set of time t precedence of element a shall mean a set of model elements $Bef_i(a)$, from which the element a can be reached in a time not exceeding time t. The set of time t afteraction of element a shall mean a set of model elements a string in a time of element a shall mean a set of model elements a set of exceeding time a afteraction of element a shall mean a set of model elements a set of time a shall mean a set of model elements a shall mean a set of time a shall mean a shall me

Indicator coverage of time t precedence shall mean a set of time t precedence sets for all indicators:

$$I_{i}^{\text{Bef}} = \left\{ Bef_{i}(i_{1}), Bef_{i}(i_{2}), \dots, Bef_{i}(i_{n}) \right\}$$

Indicator set of coverage of time t precedence shall mean the union of the set of model elements included in the indicator coverage of time t precedence, or, what is the same, the union of time t precedence sets for all indicators:

$$I_{i}^{Bef} = \bigcup_{j=n_i} Bef_i(i_j).$$

Similarly, indicator coverage of time t afteraction shall mean a set of time t afteraction sets for all indicators:

$$\left. \left. \left. \left\{ \left(\begin{smallmatrix} i \\ \\ i n \end{smallmatrix} \right) \right|_{i} \mathcal{H} \mathcal{N} \ldots \left(\begin{smallmatrix} i \\ \\ \zeta \end{smallmatrix} \right) |_{i} \mathcal{H} \mathcal{N} \left(\begin{smallmatrix} i \\ \\ \zeta \end{smallmatrix} \right) |_{i} \mathcal{H} \mathcal{N} \right. \right\} = \left. \begin{smallmatrix} i \in I \\ \\ i \cap I \end{smallmatrix} \right.$$

Indicator set of coverage of time t afteraction shall mean the union of the set of model elements included in the indicator coverage of time t afteraction, or, what is the same, the union of time t afteraction sets for all indicators:

$$\int_{\mathbb{R}^n} \int_{\mathbb{R}^n} \int_{\mathbb{R}^n$$

Overall set of coverage precedence shall mean the union of sets of time given for each indicator precedence for all indicators:

$$\text{i.s.} \left\{ \left(\begin{array}{c} i_{n}i \end{array} \right), \text{local} \left(\begin{array}{c} i_{1} \end{array} \right), \dots, \left(\begin{array}{c} i_{n} \end{array} \right), \text{local} \right\} = \int_{T}^{\log T} I$$

where $T=\{t_1,\,t_2,\,...,\,t_{n_1}\}$ is a set of times of precedence sets. Similarly, the concept of overall indicator precedence

$$\left\{\left(\begin{smallmatrix}i\\in^{j}\end{smallmatrix}\right)_{in^{j}}\Re\hbar\ldots\left(\begin{smallmatrix}i\\2\end{smallmatrix}\right)_{ij}\Re\hbar\left(\begin{smallmatrix}i\\1\end{smallmatrix}\right)_{ij}\Re\hbar\right\}=\begin{smallmatrix}i\hbar\hbar\\T$$

while ensuring the minimum possible reduction in the accuracy and information content of the data they send to the visualization, dispatching or situational manage-

ment systems.

At the substantive level, the following main criteria for choosing the set of indicators in a complex technical system

can be distinguished.

Reliability of consequence evaluation. The selection of the indicator set should allow for making judgment on the nature of the situation development and possible consequences with maximum accuracy based on their readings.

Accuracy of cause identification. Indicators should allow not only for timely detection and consequences assessment of abnormal situations, but also for identification of their causes. For example, indicators should show with which CTS node (element) the spread of the negative impact started, whether the cause of the deviations was external or internal, etc.

Abnormal situation detection time. Indicators' selection and localization in the structure of the CTS should allow for detecting deviation from normal operating at the earliest possible stages of their development in order to maximize the amount of time available for a decision made by system operator.

Cost. Indicators' selection and localization in the structure of the CTS should minimize one-time and current costs.

The proposed criteria are contradictory in a way. For example, in order to determine the cause of an abnormal situation as precisely as possible, strictly speaking, one should place indicators in all elements of the system, but this will increase the cost, the information-related stress on the decision maker, the time required for abnormal situation detection, etc.

To solve the problem of composing a set of indicators, the above graph model of disturbance propagation in the CTS is modified. The concept of edge passing time is introduced expressed as a positive number associated with the edge of the relation graph and meaning the time, during beginning of the edge to the element at the model element at the beginning of the edge passing times, the matrix of temporal relations Mt, which is a square matrix $n \times n$, indexed along both axes by the model elements. Positions $(i,j), i,j, \in I, n$ of the temporal relations matrix contain edge passing time of the temporal relations matrix and infinity sign ∞ , if such edge does not exist.

Temporal distances matrix N shall mean a $n \times n$ square matrix indexed along both axes by the set of model elements. Position $(i,j), i,j, \in I$, n of this matrix contains temporal distance between graph nodes a_i and a_j . The temporal distance

provide the decision makers with the necessary and sufficient information on the status of the CTS in visual form, as well as ensure the possibility of operational (including scenario) analysis of alternative ways of emergency situation developing on a specific time horizon. Ultimately, it should improve the efficiency of management decisions on transport safety.

In order to achieve these objectives, the location of the indicators in the CTS structure should allow for informing the DS on the occurrence and development of a potentially dangerous situation at the earliest possible stage. At the same time, it should be noted that at the early stages of a situation's development, the possible (most probable, pessimistic, optimistic, etc.) scenario for an abnormal situation is not always clear. As a result, the set of consequences may be too broad, which does not allow reliably predicting the consequences and making the right decision. In this case, real-time and detailed monitoring of the potentially pre-emergency state of the CTS is required in order to collect additional information to analyze it and decide on collect additional information to analyze it and decide on

the appropriate response.

Naturally, an equally important criterion for choosing a specific placement of indicators is the cost of such placement. Depending on the specific task, it is necessary to take into account not only the number of indicators, but also their weight, volume, physical distance between indicators, sensors, etc. When selecting a set of indicators one should obviously strive to reduce their total number, one should obviously strive to reduce their total number.

2. Models of using the indicator-based approach

For the purpose of more efficient diagnostics of emergency hazard, a model of application of structurally integrated indicators in railway infrastructure facilities will be considered. The indicator-based approach means that, in addition to the sensors, indicators are integrated within the structure of a technical system immediately delivering the required and sufficient information to the corresponding visualization, dispatching or situational management systems in case of emergency in order to inform the DM (dispatchers, operators, etc.) if increased attention to the situation or direct intervention are required.

The main task is to identify a set of indicators (the concept of "indicator dashboard" generally accepted in organizational management [10] can be used here) with the primary purpose of reducing the information-related stress and concentration of dispatchers' or operators attention on the processes within a technical system that are most relevant in terms of accident-free and safe operation

The values of the parameters reflected by the selected indicators should reliably demonstrate the deviations from the normal operation of the system. Thus, within the framework of control, dispatching or situational management, the approach under consideration is to first and foremost

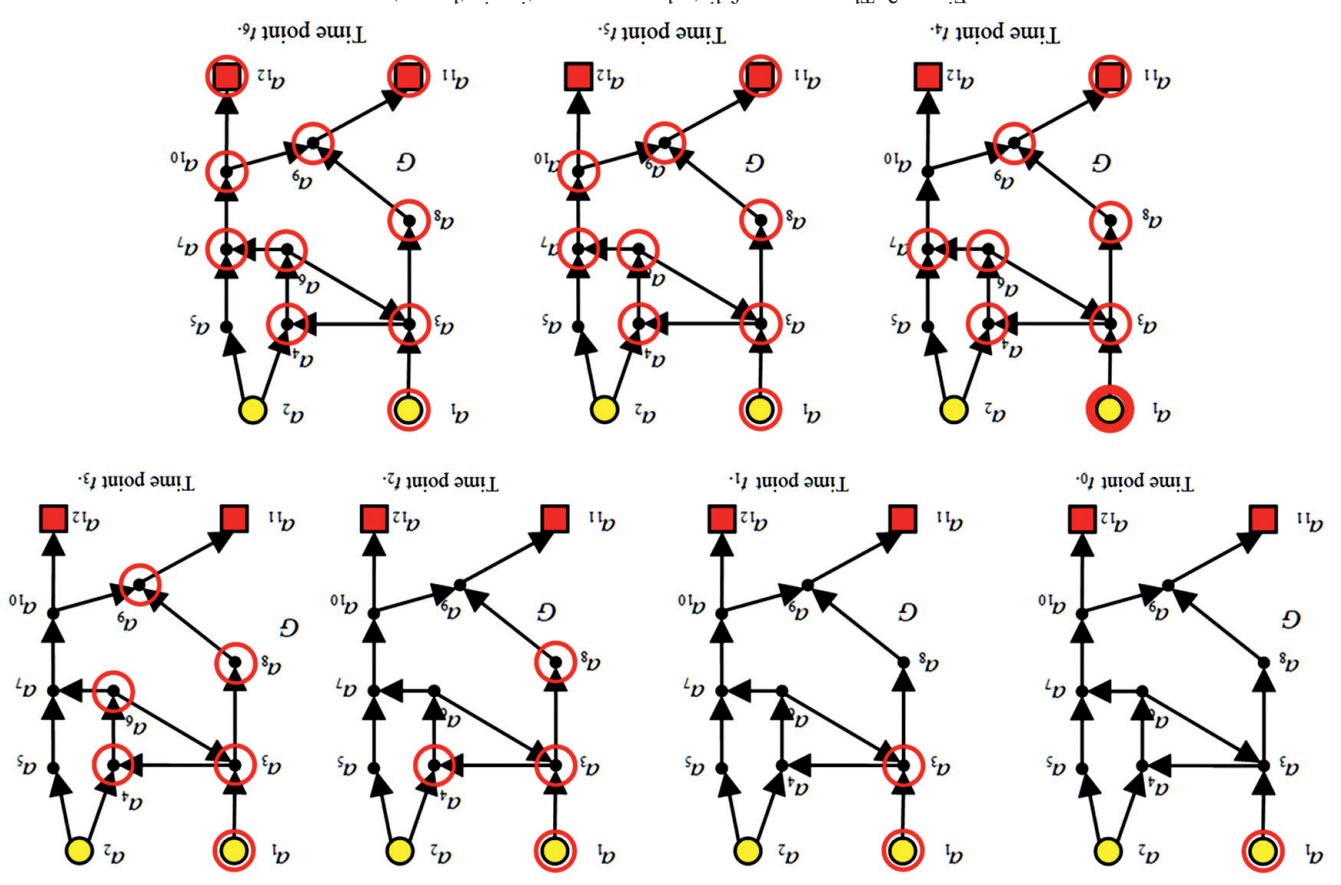


Figure 2. The process of disturbance propagation in the system

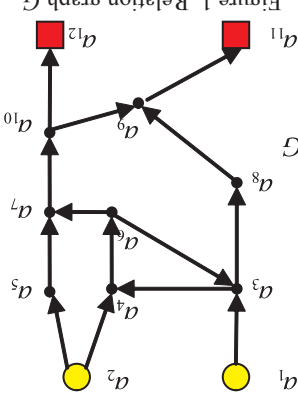


Figure 1. Relation graph G

Let us suppose that at time $t=t_0$ the sensor $d_1=d_1$ registers a threat $a_1(t_0)=1$, $a_{i,j\neq 1}(t_0)=0$, $\overline{A}(t_0)=\underbrace{(1,0,0,...,0)}_{1,2}$. Then, the states of the model elements at the time point $t=t_0+\Delta t$ are calculated as follows:

$$\widehat{(0,...,0,0,1,0,1)} = \widehat{M} \times (_{0}1) \overline{\widehat{M}} = (_{1}1) \overline{\widehat{M}}$$

Figure 2 shows the process of disturbance propagation along the edges of the relation graph G from active elements (marked by an additional circle) to inactive ones, as well as the states of the corresponding model elements at different points in time. The disturbance spreads along the edges of the graph from the active elements to the inactive ones, covering one edge at a step. The state of the elements at a specific time point is determined by a Boolean formula $\overline{A}(t_i) = \overline{A}(t_0) \times M'$.

The elements status lines for different points in time are

as follows:

$$(0,0,0,0,0,0,0,0,0,0,0,1) = (_{0}1)\overline{K}$$

$$: (0,0,0,0,0,0,0,0,0,1,0,1) = (_11)\overline{K}$$

$$(0,0,0,0,1,0,0,0,1,1,0,1) = (_{2}1)\overline{K}$$

$$(0,0,0,1,1,0,1,0,1,1,0,1) = (\varepsilon_1) N$$

$$(0,1,0,1,1,1,0,1,1,0,1) = (_{\flat}1)\overline{K}$$

As the above example shows, at the time point $t=t_4$ the first critical element is activated. If the system uses an exceptional criterion for system failure, then at the time point t_4 the system would fail. With absolute criteria, the system fails at the time point $t=t_6$.

cal elements can be considered for each type of threat (edge coloring).

Simulation starts at the moment of activation of the first sensor t_0 and continues either until the moment of stabilization (termination of change in the state of the model elements), or until the system fails in accordance with the selected system failure criterion.

The time of system failure will be designated as t_s . The criterion for system failure is determined by critical elements. Depending on the features of the system or node under consideration, as well as other features of the problem being solved, different criteria for evaluating the system failure can be selected. There are two basic criteria among

Exceptional criterion for system failure. The system is considered failed if the disturbance has reached any of the

critical elements: $t_s = \min(t : \exists k \in K : k(t) = 1)$.

Absolute criterion for system failure. The system is considered failed if the disturbance has reached a given subset $K^* \subseteq K$ of (in the degenerate case of all) critical elements:

 $t_s = \min(t : \forall k \in K^* : k(t) = 1).$

Other criteria can also be considered, for example, those related to the number, mutual arrangement and other parameters of the critical element set to which the disturbance has reached.

To illustrate the possibilities of the proposed model of disturbance propagation in the structure of a CTS, let us consider a simplified example. Let us suppose that the structure of the system include 12 elements, n=12, $A=\{a_1, a_2, ..., a_{12}\}$. Elements a_1 and a_2 are sensors, $a_1=a_1, a_2=a_2, D=\{a_1, a_2\}=\{a_1, a_2\}$, $n_b=2$. Elements a_1 and a_{12} are critical elements, $k_1=a_{11}, k_2=a_{12}, K=\{k_1, k_2\}=\{a_{11}, a_{12}\}, n_k=2$. The adjacency matrix M is defined as:

I	0	0	0	0	0	0	0	0	0	0	0	
0	I	0	0	0	0	0	0	0	0	0	0	
Į	0	I	Į	0	0	0	0	0	0	0	0	
0	Į	0	Ţ	0	0	0	0	0	0	0	0	
0	0	0	Ţ	Ţ	0	0	0	0	0	0	0	
0	0	Ţ	0	0	Ţ	0	0	0	0	0	0	T47
0	0	0	0	0	I	I	0	0	I	0	0	= W
0	0	0	0	0	Į	0	Į	0	0	0	0	
0	0	0	0	0	0	I	0	Ţ	0	0	0	
0	0	0	0	Ţ	0	0	0	Ţ	Į	0	0	
0	0	0	0	0	0	0	I	Ţ	0	Ţ	0	
0	0	0	0	0	0	0	0	0	I	0	I	

The relation R_1 , defined by the matrix M forms the relation digraph $G(A, R_1)$ shown in Figure 1, where the sensors are designated by a circle \bigcirc , and the critical elements are indicated by a square \blacksquare . Let us suppose that there is only one type of threat, hence, only one set of critical elements, one adjacency relationship and one relationship graph are

tion of dynamic systems has now found application in a

number of sensors. of model elements $A \supseteq P = \{d_1, d_2, ..., d_n\}$, where n_D is the designated as A(t). The set of sensors constitute a subset of states of model elements $(a_1(t), a_2(t), ..., a_n(t))$ will be point of time t will be designated as $a_i(t)$, and the row-vector zero stands for inactive state. The state of element a_i at the an active state (the disturbance has reached the element), any element can take on a value of 0 or 1. One stands for in a model, where n is their number. At any point in time Let us assume that $A = \{a_1, a_2, \dots, a_n\}$ is a set of elements number of areas [9].

one in the matrix position (i, j). This graph will be called set of model elements, and the edge (a_i, a_j) corresponds to of the model elements $G(A, R_1)$, the nodes of which are the corresponds to the digraph of the cause-effect relationships threat has its own adjacency matrix. The adjacency matrix M be defined, R_1^1 , R_2^2 , R_3^3 and so on. Accordingly, each type of specified type of threat, its own adjacency relationship can remains activated during the entire simulation time. For each Within the model, this means that once activated, the element adjacency relation has reflexive property, i.e. $\forall a \in A$ aR_1a . tion (i,j) of the adjacency matrix M. Let us suppose that the relation R_1 between elements a_i and a_p , there is a 0 in the posirelation will be designated as $a_i R_i a_j$. If there is no adjacency and a_i will be designated as $a_i \underline{k_i} \underline{a_i}$ and the absence of such relation. The adjacency relation between model elements a_i mean an adjacency relation or reachability of depth of 1 propagation through the system. By relation R₁ we shall other words, relation R₁ specifies the paths of disturbance element a_i will also be active at the moment $t_2 = t_1 + \Delta t$. In is such that when element a_i is active at the moment t_1 , the and only if the relation R_1 between model elements a_i and a_j sitions $(i, j), i, j \in I, n$ of the adjacency matrix contain 1 if indexed along both axes by the set of model elements. Po-Adjacency matrix M shall mean $n \times n$ binary matrix,

simulation, since the diagonal elements of the adjacency once activated elements remain activated during the entire active elements are activated at further steps. In this case, all elements of the model connected by edges with already the Boolean equation $A(t_{i+1}) = A(t_i) \times M$. In other words, The activation of the model elements is described by

matrix are equal to 1.

the relationship digraph.

among the elements of the model. Different sets of critidetermine the criterion for system failure is also selected The subset of critical elements $K = \{k_1, k_2, ..., k_n\}$ that operation scheme analysis at the development stage. system designer according to the results of the system the subset of sensors are determined together with the The set of model elements, the correlation matrix and system along the edges of the correlation graph $G(A, R_1)$. threat spreads from the sensors to other elements of the occurrence of a threat. The disturbance caused by this the specified parameters of the CTS and indicate the sors $D=\{d_1, d_2, ..., d_{n_b}\}$ is selected. The sensors register Among the set of model elements the subset of sen-

> operation, etc. of the system state, environment, parameters of the CTS elements of the system that can register various parameters in CTS or their subsystems (nodes) operation are sensors, information on possible abnormal deviations (malfunctions) makers (DM), dispatchers, operators, etc.). The sources of ational management systems at various levels (to decision their occurrence to the visualization, dispatching and situ-(emergency) situations and the transfer of information on other disorders in the technical system, pre-emergency

> different paths. will also propagate through the elements of the CTS along be different for each type of threat. Hence, the disturbances As a result, schemes of interaction between elements will various ways during the disturbance propagation process. tion, etc.), the CTS elements can interact with each other in different nature (type, nature of occurrence and manifestaaccordance with the definition above, threats can be of CTS accordance with their interaction scheme. Since, in disturbance propagation along the structural elements of of a certain threat presumably leads to the processes of by the sensor, is called a threat. In this case, the occurrence or other disruption of the normal CTS operation, registered The resulting risk of malfunction, failure, accident, SE

> functional complexity usually include a large number of Technical systems of high structural, dimensional and

> critical processes [5, 7-8]. rate without a significant loss of awareness about safety erator's stress in order to increase the emergency response information system arises. It should allow reducing the opthe structure of the dispatching or situational management the threat of SE occurrence. Thus, problem of choosing event of reading deviation from the norm and especially importantly, make timely accurate control decisions in the tor their readings, diagnose abnormal situations, and most sensors, which makes it significantly more difficult to moni-

> being simulated. usmic systems) depending on the process or phenomenon or undergo certain regular changes (which is typical of dysame time, the structure of the system can be rigidly fixed eling of the correlations between system elements. At the form of a graph is widely used for visualization and modrepresentation of the structure of a technical system in the functions, the theoretic graph approach will be used. The gation of the disturbances that occur as the result of mal-For the purpose of simulating the processes of propa-

> discrete time with a fixed step At. This approach to simulaals assigned to the edges of the graph. The simulation uses itself can change as well in accordance with the functionthe nodes. In the general case, the magnitude of the pulse gated through the whole graph changing the parameters of pulse (disturbance) applied to one or several nodes is propaof operation of the simulated system elements. The initial certain parameters and functionals that reflect the processes directed graph. Each node and edge of a graph is assigned tions between its elements are represented in the form of a In this approach the structure of a system and the interac-

Introduction

decision making [4]. detection of failures of various types and preventive ensure the completeness, accuracy and timeliness of systems for subways should contain subsystems that these conditions, centralized automatic train control

railway infrastructure facilities from indicator-based apoccurrence and development of emergencies at complex the methods of analysis and simulation of the processes of and the entire system. The aim of this paper is to develop possibility of malfunctioning or failure of a separate node In this case, the realization of risks may take the form of the faults propagation in the considered systems may differ [5]. manifestation of the risks and the nature of failures and depending on their structural and functional features, the that are part of the railway infrastructure facilities, since, the reliable operation of complex technical systems (CTS) plexity). This significantly complicates the task of ensuring the forms and methods of this interaction (functional com-(structural complexity) and the increase in the diversity of in the diversity of interaction structures of these elements technical systems (dimensional complexity), the increase with the increase in the number of elements involved in Today, the technological development goes hand in hand

propagation in the technical system 1. Simulation of disturbance

proach point of view.

deviations and errors in the first stage. part would be impossible without the accumulation of result of the rapid development of events, for the most obvious that the SE, occurring at the third stage as a and resources for their effective implementation. It is and technical countermeasures, as well as lack of time are significantly aggravated by the lack of organizational and the occurrence of SE, the consequences of which avalanche-like development of unfavorable processes so-called initiating event occurs, which leads to an always lead to accidents. At the next stage a sudden are accustomed to such deviations, since they do not tools, or, even more often, with the fact that personnel due to the lack of effective monitoring and diagnostic unobservability of the CTS elements and subsystems such deviations are usually associated either with the currence. In practice the processes of accumulation of themselves do not pose an immediate threat of SE ocdays). At the same time, at first the defects or deviations of this stage can vary significantly (from minutes to or deviations in a particular process [6]. The duration the stage of accumulation of defects in the equipment as sudden emergencies, or SE) is usually preceded by and emergencies they lead to (hereinafter referred to failures and faults of various nature, as well as incidents ous types and purposes shows that the occurrence of The extensive experience of operating CTS of vari-

eration of CTS is the timely identification of malfunctions, Thus, one of the main tasks of ensuring the smooth op-

> ing conditions for more even economic development of security, providing citizens with transportation and creatsuch essential functions as protecting its sovereignty and ment, but also the nation's ability to effectively perform the prospects for further social and economic developsafety and quality of rail transportation define not only importance for the national development. The condition, transport in Siberia and the Far East, which are of strategic insufficient infrastructure development of other types of points of processing and consumption, as well as seaports, mining facilities and sources of raw materials from the nificant transport distances, remoteness of primary main by the country's specific characteristics, including sigleading role of railway transportation is also determined volume and structure of freight and passenger traffic. The of transport has practically no alternative in terms of the country's socio-economic development, since this type dustry railways play an essential role in the process of the Being a crucial part of the Russian transportation in-

> transportation and is essentially an extended RAMS (reliresources and functional safety management in railway tem implements a comprehensive process of dependability, the Russian Railways since 2010 [1]. Essentially, the sysimplemented by specialized organizations and divisions of facilities at lifecycle stages is being developed and widely sources, risks and dependability of railway infrastructure The URRAN integrated system for management of reindividual regions, etc.

> (life cycle cost) methodology. ability, availability, maintainability and safety) and LCC

1. Improving the efficiency of the main activity, utiliza-The primary strategic railway safety objectives are [2]:

availability, tion of infrastructure, technical reliability and fixed assets

2. Ensuring the quality of products, services and proc-

Ensuring transportation safety.

The system of railway facilities and processes is a mas-

number and variety of risks associated with the production, ously increases, which inevitably leads to an increase in the technical systems included in the above facilities continuspecific tasks. At the same time, the complexity of the that are different in purpose and solve different processpower facilities; locomotive, car and passenger facilities) structures, signalling, communication, electrification and that includes JSC Russian Railways facilities (track and sive geographically distributed multi-purpose infrastructure

no operational personnel onboard rolling stock. Under to GOA4). When GOA4 level is implemented, there is there are 5 Grades of Automation of trains (from GOA0 ing to the International Association of Public Transport, important with the use of "driverless" vehicles. Accord-Ensuring safety and dependability becomes especially

adjustment, maintenance, operation and upgrading of these

systems [3].

Dmitry S. Somov



Alexey B. Shelkov



Vladimir V. Kulba



Leonid A. Baranov



10.21683/1729-2646-2019-19-2-33-41

safety management of railway infrastructure facilities. Dependability 2019;2: 33-41. DOI: For citation: Baranov LA, Kulba VV, Shelkov AB, Somov DS. Indicator-based approach to

sensors, indicators, simulation.

Keywords: control, railway transportation, infrastructure facility, technical system, emergency,

support in railway infrastructure facilities management.

of further development of the URAM methodology in terms of improvement of the decision disturbance propagation in technical systems will allow using the proposed methods as part of various types. Automation of the processes of generation of indicator sets using models of technical system in terms of completeness, accuracy and timeliness of detection of failures solving the multicriterion problems of optimal location of indicators within the structure of a disturbance propagation in a complex technical system is provided that is the prerequisite for identification time, minimum of nonrecurrent and current costs. A modified graph model of estimate, maximum of accuracy of emergency causes identification, minimum of emergency within a complex technical system: maximum of reliability of the disturbance consequences free and safe operation. Basic criteria are identified for the generation of the set of indicators tention on the processes within a technical system that are most relevant in terms of accidentof reducing the information-related stress and concentration of dispatchers' or operators' atof emergency. The main task would be to identify a set of indicators with the primary purpose technical system that would immediately deliver the required and sufficient information in case ally integrated indicators that consists in the integration of indicators within the structure of a cies in railway infrastructure facilities the paper proposes a model of application of structurof a technical system. For the purpose more efficient diagnostics of the hazard of emergentrates the capabilities of the proposed model of disturbance propagation within the structure subset of critical elements) are defined. The paper provides an analytical example that illuselements) and absolute criterion (failure occurs if the disturbance has reached the specified clusive (a system is considered to have failed if the disturbance has reached any of the critical helps identify the event of its failure. Two basic criteria of technical system failure, i.e. the extion matrices. The authors introduce the concept of critical element of a technical system that gation in a technical system based on the construction of structural components and correlaor several nodes. The paper refers to the developed formalized models of disturbance propapropagation of disturbances within a system is simulated with pulse processes initiated in one reflect the processes of correlated operation of the elements of the simulated system. The elements. Each node and edge of a graph is assigned certain parameters or functionals that under consideration in the form of a directed graph that shows the correlations between its approach that involves model and visual representation of the structure of a technical system gencies) that occur as the result of malfunctions, it is proposed to use the theoretic graph purpose of simulating the processes of propagation of the disturbances (hazards of emerand propagation of malfunctions across the elements of complex technical systems. For the based approach that allows diagnosing and formally analyzing the processes of occurrence of technical objects, as well as timely identification of faults, it is proposed to use the indicatorcies at complex railway infrastructure facilities. For the purpose of ensuring reliable operation facilities. It cites analysis data on the threats, causes and consequences of sudden emergenprocesses of occurrence and development of emergencies at complex railway infrastructure Abstract. The Aim of this paper is to develop the methods of analysis and simulation of the

> Dmitry S. Somov, Sberbank, Russian Federation, Moscow Russian Federation, Moscow

Alexey B. Shelkov, V.A. Trapeznikov Institute of Control Sciences of the Russian Academy of Sciences (ICS RAS), Russian Federation, Moscow

Vladimir V. Kulba, V.A. Trapeznikov Institute of Control Sciences of the Russian Academy of Sciences (ICS RAS), Leonid A. Baranov, Russian University of Transport (MIIT), Russian Federation, Moscow

railway infrastructure facilities Indicator-based approach to safety management of

[2] Shubinsky I.B. Funktsionalnaya nadezhnost informatsionnykh sistem: Metody analiza [Functional dependability of information systems. Analysis methods]. Moscow:

Dependability Journal; 2012 [in Russian]. [3] Shubinsky I.B. Madiozhnie otkazoustoychivie informatsionnie sistemy. Metody sinteza [Dependable failsafe

matsionnie sistemy. Metody sinteza [Dependable failsafe information systems. Synthesis methods]. Moscow: Dependability Journal; 2016 [in Russian].

[4] Shubinsky I.B. O poniatii funktsionalnoy nadezhnosti [On the concept of functional dependability]. Dependability

2012;4:74-84 [in Russian]. [5] Shubinsky I.B. Methods of software functional de-

[6] Shubinsky I.B., Zamyshlyaev A.M., Pronevich O.B. Graph method for evaluation of process safety in railway

pendability assurance. Dependability 2014;4:95-101.

facilities. Dependability 2017;17(1):40-45. [7] Pronevich O.B., Shved V.E. Algorithm of calculation and forecasting of functional safety indicators of railway power supply systems. Dependability

2018;18(3):46-55. [8] Rozenberg E.U., Penkova N.G., Korovin A.S. Functional dependability of the display unit software of the

BLOK system. Dependability. 2017;17(2):36-40. [9] Shukhina E.E., Astrakhan V.I. Bezopasny lokomotivny obiedinenny kompleks BLOK [BLOK vital integrated

onboard system]. Moscow; 2013 [in Russian]. [10] Zorin V.I., Astrakhan V.I. Unifitsirovannoe kompleksnoe lokomotivnoe ustroystvo bezopasnosti (KLUB-U)

kanoe lokomotivnoe ustroystvo bezopasnosti (KLUB-U) [Standardized integrated onboard train protection system (KLUB-U)]. Moscow: Training and Methodology Centre for Railway Transport; 2008 [In Russian].

[11] GOST R IEC 61508–7–2012. Functional safety of electrical, electronic, programmable electronic safety-related systems. Part 7. Techniques and measures. Moscow: Standarinform; 2014 [in Russian].

About the authors

Efinat Deputy Director General, JSC NIIAS Russia, Moscow,

e-mail: info@vniias.ru
Alexander S. Korovin, Chief Specialist of Computer-Based Devices Development Sector, JSC MIAS, Russia,

Moscow, e-mail: A.Korovin@vniias.ru

Natalia G. Penkova, Deputy Head of Safety and Al
contibusio Support 186 MUAS Puscio Moscow a pagil-

gorithmic Support, JSC NIIAS, Russia, Moscow, e-mail: N.Penkova@vniias.ru

Received on 08.04.2019

C4:
$$S1 \rightarrow S4 \rightarrow S1$$
, circuit weight is $p14 \cdot p41$; $S2 \cdot S1 \rightarrow S4 \rightarrow S1$, circuit weight is $p14 \cdot p41$;

C5: $S1 \rightarrow S4 \rightarrow S5 \rightarrow S1$, circuit weight is $p14 \cdot p45 \cdot p51$;

C6: $56 \rightarrow 56$, circuit weight is p66.

For the considered case, the weight of graph resolution without the nodes of the forbidden state set equals:

The weight of resolution accounting for the exclusion of node "6" out of the graph, as well as the nodes situated

of node "6" out of the graph, as well as the nodes situated in the k-th path from node "1" to node "6" and connected edges equals to: $\Delta G_1^6 = 1$.

By substituting data from Table 1 we obtain the conditional probability of transition from state S1 to state S6:

$$=\frac{1}{\sqrt[4]{2}} \frac{\partial \mathcal{Q}_{\mathcal{D}}}{\partial \mathcal{Q}_{\mathcal{D}}} \int_{\mathcal{D}_{\mathcal{D}}} \int_{\mathcal{D}_{\mathcal{D}_{\mathcal{D}}} \int_{\mathcal{D}_{\mathcal{D}}} \int_{\mathcal{D}_{\mathcal{D}}} \int_{\mathcal{D}_{\mathcal{D}}} \int_{\mathcal{D}_{\mathcal{D}_{\mathcal{D}}}}$$

$$= \frac{p_1 4 * p_4 6 * \Delta G_1^6}{1 - C1 - C2 - C3 - C4 - C5} = 0,53.$$

As the considered models describe a complete group of events, the probability of hitting the only forbidden state is in both cases 1. Thus, based on the calculated value of conditional probability $b_{16/5}|_{\mathbb{R}^3}$, we conclude that adding pretrip diagnostics of the display unit by the driver or service personnel allows reducing the probability of the display unit transitioning into a forbidden state during the trip more than twice (from 1 to 0.47).

Conclusion

This paper shows the efficiency of adding pre-trip diagnostics of the display unit by the driver or service personnel to the inbuilt tools for diagnosing failures in the display unit. Thus, the probability of a system's transition into a forbidden state, i.e. a state when the failure will not be detected by the inbuilt or additional diagnostic tools, will be reduced more than twice.

Acknowledgement

The authors express their gratitude to Prof. Igor B. Shubinsky, Doctor of Engineering, for his assistance, valuable advice and observations that contributed to this paper.

References

[1] Ivnitsky V.A. Modelirovaniye informatsionnykh sistem zheleznodorozhnogo transporta. Uchebnoye posobiye [Simulation of information systems of the railway industry. Study guide]. Moscow: MIIT; 2011 [in Russian].

- path is a chain of series-connected unidirectional edges

$$I_{ij}^{\mu} = \prod_{j \in \mathcal{I}} J^{\mu} D^{\mu} D^{\mu}$$

 p_{ij} is the probability of one-step transition from state rstate i into state v;

where p_{ir} is the probability of one-step transition from

$$\int_{\eta} d u d \prod_{i,j=1}^{N} d u_{i,j} d u_{i,j} = \int_{\eta} d u d u_{i,j} d u_{i$$

the path weight being with the beginning in the state i and the end in the state j, and function of failure detection by inbuilt diagnostic tools. ments the function of current operational situation display based on the ratio of the part of the program that implevalues of transition probability pll and pl2 were selected operation of display unit during intended operation". The

A trip lasts 10 hours (i.e. every 10 hours the state a pre-trip States S1 and S2 are allowed and belong to the set "normal

has not been registered in the course of operation does not number of systems being 11740). The fact that a failure the railway network based on operational data, the total ity event (70 failures were registered in 2018 throughout Statistically, a failure of the display unit is a low-probabilability of the display unit in the course of its operation. The value p21 is selected based on the actual dependdiagnostics is to be initiated).

The failure detectivity by the inbuilt diagnostic tools the internal diagnostic tools implemented in the unit. p23 and p26 were distributed based on the efficiency of period of time. The values of probabilities of transitions have been in a forbidden state of hidden failure for some mean that the unit is operational the whole time. It may

with GOST R 61508-7-2012. implemented in the display unit are at 0.5 in accordance

Table 2 shows the values of probabilities of one-step

transitions from the *i*-th state to state j (p_{ij}).

Table 1. Transition probabilities matrix

operation, when only in-built diagnostic tools are used. play unit transitioning into a forbidden state during intended introduction of pre-trip diagnostics on the probability of dis-The problem consists in the identification of the effect of

state f is defined by formula [5] specific i-th initial non-hazardous state into any hazardous states that the probability of system transition from the In order to solve this problem, let us use theorem that

$$q^{il} = \frac{\nabla G^{\underline{Z}^b}}{\sum_{j} q_{ij}^{\gamma} \nabla G_{ij}^{\gamma}} = q^{il}$$

state of graph i into a hazardous state f. where l_k^n is the k-th path leading from a non-hazardous

node and graph nodes situated on the k-th path; ΔG_{i}^{\dagger} is the weight of graph resolution without the f-th

of the hazardous state set. $\Delta G_{\overline{c}_n}$ is the weight of graph resolution without the nodes

in mathematical simulation [3]: Let us set forth the following topological concepts used

C3: $S1 \rightarrow S2 \rightarrow S3 \rightarrow S1$, circuit weight is $p12 \cdot p23 \cdot p31$;

Identification of path weights: $l_1^{16} = SI \rightarrow S4 \rightarrow S6 =$

display unit by the driver or service personnel - equals 1.

failure detection relies only on pre-trip diagnostics of the of transition paths from SI to S6 - provided that display unit

 $p^{\log_{\sqrt{2}} \sum_{i \in \underline{N}} \sum_{k} \prod_{l \in \underline{N}} \nabla Q_{i}^{\underline{N}}} = \frac{\nabla Q_{\underline{N}}^{\underline{N}}}{\sum_{l \in \underline{N}} \nabla Q_{i}^{\underline{N}}} \cdot \frac{1}{N}$

a forbidden state, the conditional probability of transition

ability of system transition from the initial allowed state into

ternal diagnostics) are disabled (paths S1 -> S2 -> 56 and

state "6", provided that the inbuilt diagnostic tools (inof transition from the initial state "I" into the forbidden

trip diagnostics, let us calculate the conditional probability

 $\Delta G = 1 - \sum_{i} C_{j} + \sum_{m} C_{i} \cdot C_{j} - \sum_{l \neq i} C_{l} \cdot C_{r} \cdot C_{l} + \dots$

In order to evaluate the efficiency of introducing pre-

- the weight of resolution is found using Mason's for-

resolution ΔG_k^{\vee} is calculated subject to the exclusion of node set S_p and connected edges out of the graph; the weight of

is calculated subject to the additional exclusion of nodes of

nected edges out of the graph; the weight of resolution $\Delta G_{\overline{5}_p}$

 ΔG^i is calculated subject to the exclusion of node *i* and con-

defined nodes and connected edges; the weight of resolution

and outgoing edges merge into one edge, the weight of a

 $C_j = \prod_{i,j \in S} p_{ij} p_{ji};$

circuit is connected to the initial node of the circuit. The

tional edges, in which the output of the final node in the

- closed circuit is a chain of series-connected unidirec-

weight of the j-th circuit is identified by the formula:

- graph resolution is a part of a graph that does not contain

- loop is a case of closed circuit, in which the incoming

path from the initial node to f and connected edges; f out of the graph, as well as the nodes situated in the k-th

In accordance with the theorem for evaluation of the prob-

As it can be seen in the graph in Figure 2b, the number k

C2: $S1 \rightarrow S2 \rightarrow S1$, circuit weight is $p12 \cdot p21$;

C1: $S1 \rightarrow S1$, circuit weight is p11;

from S1 to S6 is defined with the formula:

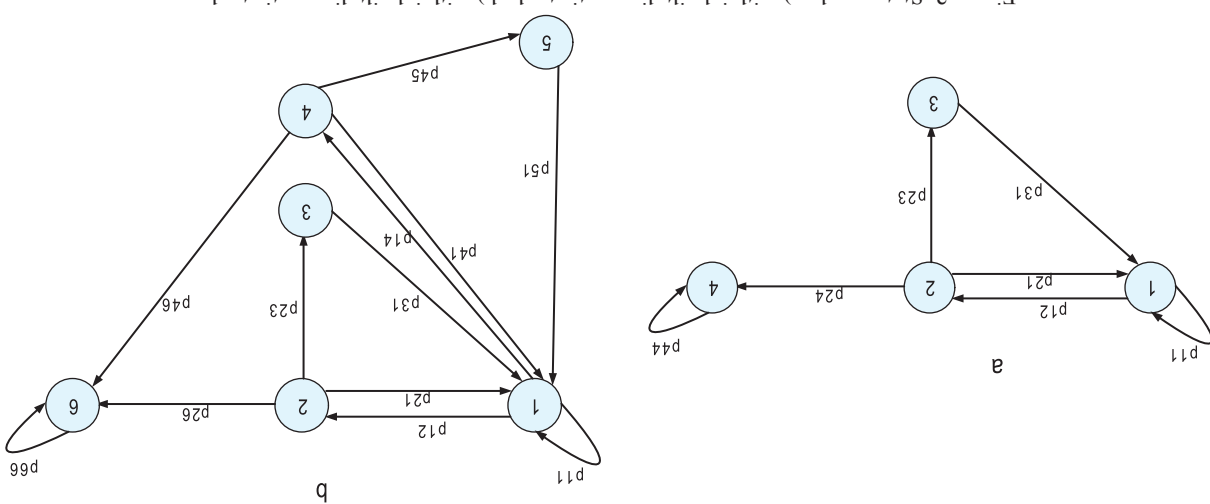
Identification of circuit weights:

.94q.41q

.(£2←22←13).

loop is $C_i = p_{ij}$;

into state j;



and added pre-trip diagnostics of the display unit by the driver or service personnel. Figure 2. State graph: a) with inbuilt diagnostic tools, b) with inbuilt diagnostic tools

us consider the graph in Figure 2b. The graph has the personnel. In order to attain the goal of this paper, let

following states:

State S1, display of the current operational situation by

the display unit software;

(software check for CAN errors, software check for control-

ler freeze by watchdog timer switching, software check of State S2, testing for failures by inbuilt diagnostic tools

display unit being present in the configuration);

interface, hardware controller reboot by means of watchdog ed by the inbuilt diagnostic tools (software reboot of CAN State 53, elimination by the display unit of failures detect-

timer, hardware reboot of display unit software);

correctness of operational situation display, correctness of nostics of display unit (correctness of command processing, State 54, testing for failures by means of pre-trip diag-

State 35, elimination by the driver or service personnel of constant characteristics); installed version of software, correctness of parameter values

ware update input of correct parameter values of constant mediate elimination of detected errors, display unit softof failures detected by means of pre-trip diagnostics (im-

State S6, i.e. display unit being in a state with a hidden characteristics);

:{95

`{\$\$`'Z\\dagger'\text{22}}` $S_p = S_p = S_p = S_p$, is the subset of non-forbidden states, $S_p = S_p = S_p$

display unit is identified and the system is put into failure agnostic tools are operable, the existence of failure in the Provided that the display unit's inbuilt and pre-trip di- \overline{S} is the subset of forbidden states, \overline{S} = {36}.

and pre-trip diagnostic tools of the display unit due to their is restored. In case of non-detection of failure by the inbuilt It is assumed that in case of failure detection the system elimination mode.

failure mode (forbidden state). failure or insufficient efficiency the system is put into hidden diagnostics of the display unit by the driver or service display unit diagnostic tools, but additional pre-trip detection of system failures involves not only the inbuilt unit failure. Figure 2b shows a state graph in which the built diagnostic tools are used for detection of display

Figure 2a shows a state graph in which only the incan transition into state s_i .

If the display unit is in state s_i , then with probability p_{ij} it states of display unit operation can be described as follows: is the finite set of edges between nodes i, j (states s_p s_j). The graph G(S, H), where S is the finite set of system states; H eration algorithms of the display unit with a directed state random in their nature. Let us represent the considered op-

Events of irregularities of display unit operation are the display unit shown in Figure 1.

Let us construct the graph of the operation algorithm of

form of a flow diagram (figure 1).

with inbuilt diagnostic tools and pre-trip diagnostics in the Let us represent the operation algorithm of a display unit

Models description

of its transition into a forbidden state. characteristics of the display unit and reduced probability

of the existing diagnostic tools enables better operational ment, deployment of new diagnostic tools and improvement onboard systems. It is also to demonstrate that the developnostic tools in man-machine interaction in the context of

The aim of this paper is to show the efficiency of diagto be cleared for operation.

will allow preventing locomotives with faulty safety devices to be conducted before each trip. Among other things, that tional pre-trip diagnostics by the driver or service personnel the list of detectable errors, it is proposed to introduce addiregularities in the display unit operation. In order to extend

Inbuilt diagnostic tools are able to detect a number of ircoverage that is sufficient to ensure safety.

the operability of the display unit with a level of diagnostic The display unit has inbuilt diagnostic tools that verify

probability of the display unit transitioning into a forbidden state that causes disruption of display unit operability. A forbidden state, in this case, is understood as a hidden (not detected by diagnostic tools) failure.

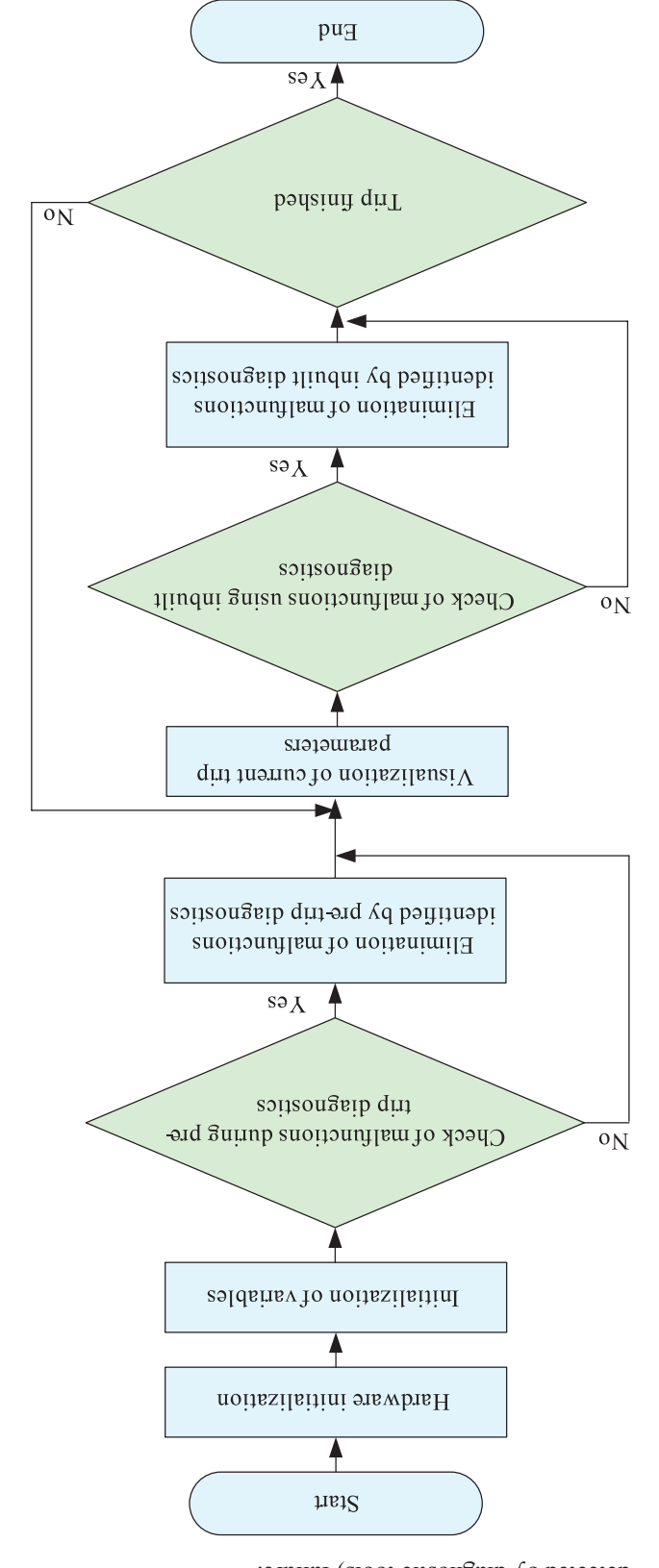


Figure 1. Flow diagram of the operation algorithm of a display unit with inbuilt diagnostic tools and pre-trip diagnostics

Introduction

forbidden event handling. complex mathematics in the preparation of measures of allowed into hazardous states, does not require the use of wanted system states, as well as paths of transition from 5]. Such models are highly visual, allow formalizing the semi-Markovian models with a coupled graph model [3, per shows the feasibility of representation and solution of involves mathematical difficulties. For this reason the pahomogenous differential equations. This procedure always Markovian models comes down to building a system of process. In general, the construction and solution of semichanges in time can be described with a semi-Markovian from an allowed state into a forbidden state, system state ess. A random process of system development, transition are random; they can be represented as a random procthat cause inoperability of intelligent railway systems taken into consideration by such model. Forbidden events to the feasibility of demonstration of the factors that are model of probability evaluation is of principal interest due ligent railway systems, the construction of the analytical comings of simulation modeling [1], in the context of intelanalytical and simulation modeling. Due to certain shortof mathematic simulation are subdivided into two groups: systems, mathematic simulation is advantageous. Methods planning of forbidden state handling. In case of intelligent Simulation is widely used in the railway industry for

Problem definition

Currently, the Russian railway industry employs the following intelligent onboard systems: KLUB-U (standardized integrated onboard train protection system), BLOK (vital integrated onboard system) and BLOK-M (scalable vital integrated onboard system). The KLUB-U, BLOK and BLOK-M systems have their own display unit is a hardware with man-machine interfaces. A display unit is a hardware and software system. This system is to ensure information display to the driver, assistant driver, operator in case of driverless operation, service personnel in case of locomotive driving and pre-trip diagnostics.

The display of information on the permitted speed, target speed, actual speed, track profile, distance, stopping point ahead, train schedule, train ahead, stop aspect enables safe locomotive driving in terms of observation of speed limits in normal operation and prediction of safe mode of locomotive driving.

In the process of operation, system operability may be disrupted due to a random hardware failure, manifestation of a systematic failure in its software, driver's error while interacting with the system, input data error. Any disruption of system operability is regarded as its failure. This causes the display of incorrect information and wrong decisions by

the driver in terms of safety of locomotive driving.

That is why great attention is paid to the development and application of diagnostic tools that allow minimizing the

of onboard equipment Model of efficiency assessment of diagnostic tools

Alexander S. Korovin, JSC NIIAS, Russian Federation, Moscow Efim N. Rozenberg, JSC NIIAS, Russian Federation, Moscow

be detected by the inbuilt or additional diagnostic tools. probability of a system's transition into a forbidden state, i.e. a state when the failure will not in this paper shows that the use of additional diagnostic tools reduces more than twice the set forth the formula to calculate this probability. Results. The graph method implemented probability of system's transition from the initial unhazardous state into a hazardous state and railway systems into a forbidden state, the authors use the theorem of identification of the the existing diagnostic tools in onboard equipment on the probability of transition of intelligent In order to identify the effect of the introduction of new diagnostic tools and improvement of connections are represented with a directed state graph with defined topological concepts [3]. the probability of a system's transition into a forbidden state. The set of system states and their (3, 5] that has a high level of visualization and is a well-formalized method of identification of representation and solution of a semi-Markovian model with the help of a coupled graph model tion arises as to the selection of a method of calculation. The paper shows the feasibility of process. When assessing the probability of system transition into a forbidden state, the quesinto a forbidden state, system state changes in time can be described with a semi-Markovian a random process. A random process of system development, transition from an allowed state that cause inoperability of intelligent railway systems are random; they can be represented as demonstrating the factors that are taken into consideration by such a model. Forbidden events of the analytical model of probability evaluation is of principal interest due to the feasibility of into a forbidden state. Method. In the context of intelligent railway systems, the construction operational characteristics and reduced probability of transition of intelligent railway systems tic tools and improvement of the existing diagnostic tools in onboard equipment enables better Abstract. The Aim of this paper is to show that the development, deployment of new diagnos-

agnostic tools of onboard equipment. Dependability 2019;2: 28-32. DOI: 10.21683/1729-2646 For citation: Rozenberg EN, Korovin AS, Penkova NG. Model of efficiency assessment of di-

Keywords: onboard train protection systems, display unit, functional dependability, graph



Natalia G. Penkova

Κοιονίη

28

Alexander S.





Natalia G. Penkova, JSC NIIAS, Russian Federation, Moscow

-2019-19-2-28-32

*ј*әрош

2016. p. 223-229 [in Russian]. comprehensive facility security assets. Penza-Zarechny;

Control 2016;2(16):64-72 [in Russian]. ability functions. Measuring. Monitoring. Management. geometric mean tests calculated for the analyzed probdata on extremely small samples using the criteria of the tivariate statistical analysis of the quality of biometric [16] Ivanov A.I., Perfilov K.A., Malygina E.A. Mul-

a differential variant statistical test of the geometric mean. tion of the quality of small samples of biometric data using [17] Ivanov A.I., Perfilov K.A., Malygina E.A. Evalua-

[18] Malygin A.Yu., Volchikhin V.I., Ivanov A.I., Fun-Vestnik SibGAU 2016;4(17):864-871 [in Russian].

2006 [in Russian]. information]. Penza, Penza State University Publishing mechanisms of biometric and cryptographic protection of informatsii [Fast algorithms for testing of neural network mekhanizmov biometriko-kriptograficheskoy zashchity tikov V.A. Bystrye algoritmy testirovania neyrosetevykh

protection]. Almaty: Satpayev KazNTU; 2013 [in Russian]. biometric and neural network mechanisms of information mekhanizmov zashchity informatsii [Algorithms for testing gin A. Yu. Algoritmy testirovania biometriko-neyrosetevykh [19] Akhmetov B.S., Volchikhin V.I., Ivanov A.I., Maly-

About the authors

e-mail: ivan@pniei.penza.ru Electrical Engineering Institute, Russian Federation, Penza, Neural Network Technologies, Penza Research and Design Professor, Lead Researcher of Laboratory of Biometric and Alexander I. Ivanov, Doctor of Engineering, Associate

and Control Systems, Russian Federation, Moscow, e-mail: Center, Research and Design Institute for Communications Sergey V. Tureev, Head of Research and Technology versity, Russian Federation, Penza, e-mail: ibst@pnzgu.ru ment of Information Security Technology, Penza State Uni-Evgeny N. Kuprianov, post-graduate student, Depart-

Received on: 22.01.2019

nı:nssiiu(v)nssiiu

of the chi-square test. Dependability 2016;16(2):43-48. a small sampling biometric data using a more efficient form [9] Akhmetov B.B., Ivanov A.I. Estimation of quality of

Moscow: Gosstandart of Russia; 2001 [in Russian]. with the theoretical one. Part I. Chi-square-type criteria]. for compliance verification of experimental distribution [Standardization recommendations. Applied statistics. Rules raspredelenia s teoreticheskim. Chast I. Kriterii tipa $\chi 2$ Prikladnaia statistika. Pravila proverki soglasia opytnogo [10] R 50.1.037-2002. Rekomendatsii po standartizatsii.

tion with the theoretical one. Part II. Non-parametric tests]. Rules for compliance verification of experimental distribu-Chast II. Neparametricheskie kriterii [Applied statistics. proverki soglasia opytnogo raspredelenia s teoreticheskim. [11] R 50.1.037-2002. Prikladnaia statistika. Pravila

[12] Haykin S. Neural Networks: A Comprehensive Moscow: Gosstandart of Russia; 2002 [in Russian].

[13] Serikova N.I., Ivanov A.I., Serikova Yu.I. Otsenka Foundation. Moscow: Viliams; 2006.

ktroniki 2015;1(1):85-94 [in Russian]. multiple of the number of experiments]. Voprosy radioele-Gini distribution for the number of degrees of freedom opytov [Likelihood estimation of the hypothesis of normal teriu Dzhini dlia chisla stepeney svobody, kratnogo chislu pravdopodobia gipotezy o normalnom raspredelenii po kri-

[in Russian]. Vol. 9. p. 92-93, http://www.pniei.penza.ru/RV-conf/T9/ Penza information technology security cluster. Penza; 2014. Proceedings of the science and technology conference of the the statistical hypotheses of biometric data distribution]. rion of geometric mean used for validity verification of gipotez raspredelenia biometricheskikh dannykh [Criteispolzuemyy dlia proverki dostovernosti statisticheskikh [14] Perfilov K.A. Kriteriy srednego geometricheskogo,

and Practice Conference Modern security technologies and on small samples of biometric data]. XI All-Russian Science strengths of the "geometric mean" family of statistical tests richeskikh dannykh [Assessment of the relations of the nego geometricheskogo" na malykh vyborkakh biometmoshchnostey semeystva statisticheskikh kriteriev "sred-[15] Ivanov A.I., Perfilov K.A. Otsenka sootnoshenia

In this context, the approach to the synthesis of new statistical criteria is fundamentally changing. After Pearson, mathematicians were trying to find a new, more powerful criterion. A great number of analyzed criteria proved to have low power, and therefore were not published. With neural network integration of a set of statistical criteria, the power of each of them becomes secondary. The correlation relationships between the added criterion and the group of other criteria are also very important. In our case, two integrated criteria have almost the same power, but in this group there is a special Shapiro-Wilk criterion that has low correlation with the primary chi square and Cramér-von Mises criteria.

Thus, the possible diversity of statistical criteria is to be researched again, taking into account not only their relative power, but also the values of their correlation coefficients in groups with other relevant statistical criteria. New statistical criteria with relatively low power of hypothesis separation were previously rejected and not published, but now the situation has changed. It is more important to understand how the new criterion complements the already studied statistical criteria. Probably, it will be necessary to create a statistical criteria. Probably, it will be necessary to create a sand promising statistical criteria in the nearest future. Linable of the level of affinity (correlation) of already known and promising statistical criteria in the nearest future. Linable of the level of affinity correlated) statistical criteria bave to be grouped, and neural network integrations are to be created for them.

References

- [1] Pokhabov Yu.P. Problems of dependability and possible solutions in the context of unique highly vital systems design. Dependability 2019;19(1):10-17.
- [2] Pokhabov Yu.P. Ensuring dependability of unique highly vital systems. Dependability 2017;17(3):17-23, [3] GOST R 52633.5-2011. Information protection. Infor-
- mation protection technology. The neural net biometry-code converter automatic training. Moscow: Standartinform; 2012 [in Russian].
- [4] Kobzar A.I. Prikladnaia matematicheskaia statistika: dlia inzhenerov i nauchnykh rabotnikov [Applied mathematical statistics: for engineers and researchers]. Moscow:

FIZMATLIT; 2006 [in Russian].

- [5] Iazov Yu.K., editor, Volchikhin V.I., Ivanov A.I., Funtikov V.A., Nazarov I.G. Neyrosetevaia zashchita personalnykh biometricheskikh dannykh [Neural network protection of biometric data]. Moscow: Radiotekhnika;
- 2012 [in Russian].

 [6] Sukhoruchenkov B.I. Analiz maloy vyborki. Prikladnye statisticheskie metody [Small sample analysis. Applied statistical methods]. Moscow: Vuzovskaya kniga; 2010 [in
- Russian]. [7] Doerffel K. Statistics in analytical chemistry. Moscow: Mir; 1994.
- [8] Dayev Zh.A., Nurushev E.T. Application of statistical criteria for improving the efficiency of risk assessment methods. Dependability 2018;2:42-45.

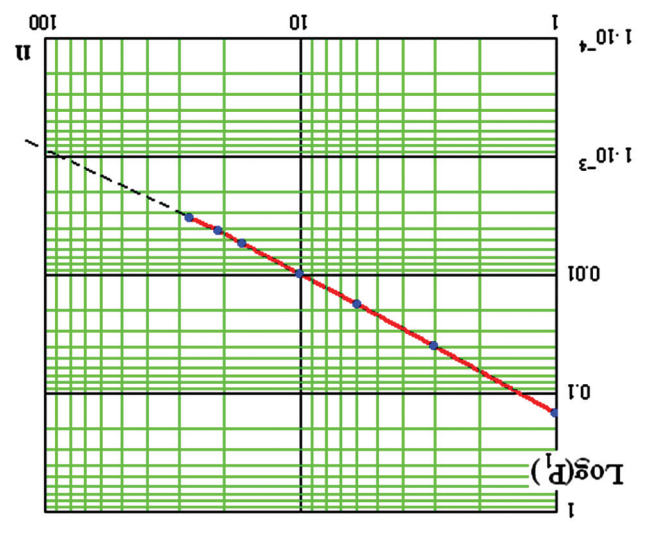


Figure 5. The line of decreasing probability of errors of the first kind due to application of several statistical criteria with correlation coefficients of 0,645

The line was constructed in 7 groups, composed of I, 3, 6, 10, 16, 21, 27 neurons. When conducting an experiment, a sample of 10 000 000 tests was used; the computation time for a conventional computer is about 9 minutes. It should be noted that using this computer it is difficult to conduct a numerical experiment for a group of 100 neurons, as such experiment would take several months. It is possible to reduce the time by means of extrapolation (dashed line in Figure 5).

As the result, the predicted value of the error probability for a neural network generalization of 10 criteria should be $P_1 = 0.01$, and when summarizing 100 criteria the probability of errors should go down to 0,0009. Such a significant reduction of errors probability is a greater incentive for the synthesis of new statistical criteria [13-17].

Conclusion

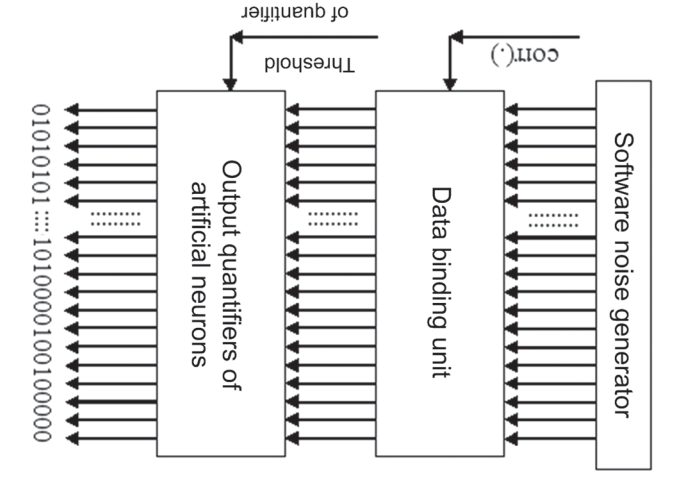
Pearson, who created the chi square criterion in 1900, essentially launched a revolution in statistical processing. The path of development discovered by Pearson proved to be very fruitful and over 119 years his followers have created dozens of different statistical criteria.

Neural networks have been a focus of scientific research since the middle of the 20-th century, but only at the beginning of the 21-st century this technology was implemented into the industry and standardized [3].

The key statement of this paper is that it is possible to combine two seemingly different branches of mathematics. Their integration only requires the neural network biometric data processing technologies that are standardized in Russia and are applied to 3 or more standard statistical criteria, this approach reduces the probability of errors more than 7 times. In this case, thesis on expediency of expansion of nomenclature of the existing statistical criteria becomes obvious. The larger is the size of the group of statistical criteria generalized by neurons the better is the final result.

there is a positive experience of using symmetrization. Figures 1, 2, 3, but at the moment only for this simplification states of neuron adders that contradicts the data presented in Another simplification is the normalization of the output

with normal distribution. from 100 software generators of pseudorandom numbers ment. Initial data for the numerical experiment are obtained Figure 4 shows the block diagram of the numerical experi-



artificial neural networks Figure 4. Block diagram for modelling completely symmetrical

numbers and by a symmetric connecting matrix: left block that multiplies the vector of independent random Figure 4 shows that this function is performed by the second such data needs to be interconnected and correlated equally. As 100 software generators provide independent data,

it suffices to find the value of one control parameter a. value of coefficients of equal correlation corr(V_i, V_{i+1}) = 0,645, (11), the output data is correlated equally. To obtain a given Due to the symmetry that connects the transfer matrix

error of 0,138. This result is about 3 times worse than the probability is 0,312, then the output triple will have a total of the neuron emulation block in such a way that the error predictions and real data. If we set the quantization threshold symmetrization cannot provide exact correspondences of Let us note that the procedure of relations and data

Let us reduce the equal probability of errors of each actual data in Table 1.

operation of three neurons will be 0,0404. observed data. In this case the probability of errors of joint neuron from 0,312 to 0,141 to match the results with the

connected by a linear dependence as shown in Figure 5. coordinates the error probabilities and number of neurons are correlation is profitable as for this special case in logarithmic The transition from normal data to data with the equal

> triple confirmation of the hypothesis of the uniform law of The inverted state of this code "Ill" will correspond to the neurons "000" will correspond to a triple confirmation of joint application. In this case, the output code of the three output states of the three criteria allows combining them for The absence of a complete linear dependence (10) of the

> distribution of small sample data. the hypothesis of the data normality of the checked sample.

> to its own probability of errors. Table 1 shows these data. of the four code states "normal distribution" will correspond converters, which is biometrics and code. In this case, each code by analogy with practical application of neural network states of "0" or "1" in the output code of the three neurons Let us consider one of two hypotheses for the majority of

"normal distribution" Table 1. Error probability for the code states

1790'0	1770'0	0,0423	t0t0°0	d
100.,	,,010,,	,,001,,	,,000,,	Sode

comparison with their application one by one. wrong decisions, when using three statistical criteria in There is about a 7-fold decrease in probability of taking errors arising with the probability from 0,0404 to 0,0621. complex characteristic of "data normality" it can lead to Then, if we consider the codes from Table 1 as some

integration of statistical criteria of the group of neural network of estimates with the growing size Effect of increasing accuracy

and their neural analogs. develop a series of hundreds of different statistical criteria ones. That means that in a few years it will be possible to dozens of completely new statistical criteria to the existing [13-17]. The first progress in this area will allow adding viously unknown statistical criteria are under development neuron can be developed for each of them. Moreover, preand applied [4, 10, 11]. Supposedly, an equivalent artificial Dozens of statistical criteria have so far been developed

the accumulated technological experience in processing of tistical criteria? This question can be answered based on integration of a collection composed of 100 and more stareduce the probability of errors by means of neural network The question arises: up to what level is it possible to

have symmetric matrices of correlation coefficients with the proceed from the fact that all of the 100 integrated criteria states of the three neurons (10): E(|corr(.)|) = 0,645. We the modules of correlation coefficients between the output rons (0,292+0,303+0,342)/3 = 0,312. Then, let us average the error probability of the three previously examined neuused for prediction [18, 19]. To implement it, let us average The neural network symmetrization technology can be neural network biometrics data.

elements' values outside its diagonal of 0,645.

data of the sample being checked, and the output quantifier will be described as follows:

(7)
$$(8.81 \le {}^{2}0 \text{ if "0"} \to ({}^{2}0)z$$

$$(8.81 \le {}^{2}0 \text{ if "I"} \to ({}^{2}0)z$$

Such configuration of the threshold of the quantifier provides the errors probability of the first and second kind $\frac{1}{2}$

of
$$P_1 = P_2 = P_{EE} = 0,303$$
.

Synthesis and configuration of a Cram r-von Mises neuron with 20 inputs

If we compare the chi square neuron (1) and the Shapiro-Wilk neuron (6), we can see the growth of their input dimension (the number of inputs of their adders). The Cramér-von Mises neuron has an even higher input dimension:

(8)
$$\sum_{i=0}^{19} \left(\frac{1+i}{21} - \tilde{P}(x_i) \right)^2 \cdot \frac{x_{20} - x_0}{x_{20} - x_0}.$$

Figure 3 shows the distribution of values at the output of the Cramér-von Mises neuron adder.

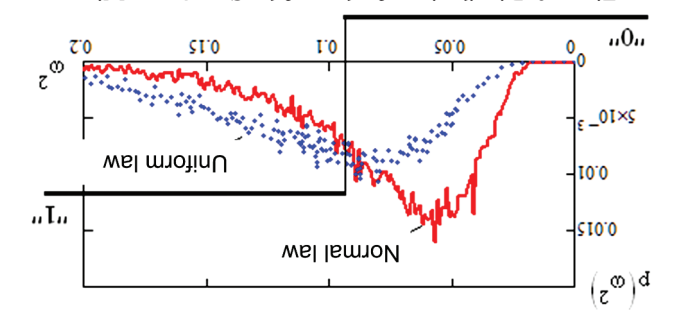


Figure 3. Distribution of values of the Cramér-von Mises criterion for samples with 21 tests with the uniform and normal distribution laws

The configured output quantifier of the neuron adder is described as follows:

(9)
$$(780,0 \ge {}^{2}\omega \text{ if "0"} \to ({}^{2}\omega)z$$

$$(780,0 \le {}^{2}\omega \text{ if "I"} \to ({}^{2}\omega)z$$

Such threshold configuration for quantifier operation provides the same values of errors probability of the first and second kind of $P_1 = P_2 = P_{EE} = 0,342$.

criteria

The statistical criteria described above are linearly independent (they have modules of correlation coefficients less than 1):

$$\begin{cases} \cot(\chi^2, \upsilon^2) \approx +0.559; \\ \cot(\chi^2, \omega^2) \approx -0.708; \\ \cot(\omega^2, \upsilon^2) \approx -0.667. \end{cases}$$

Let us sort the data of the checked sample according to their values to obtain five input parameters of chi square

$$(2) (x) = sort(x).$$

At the same time, it is required to calculate the width of

the histogram intervals:

$$\frac{\zeta}{S} = x\nabla$$

Furthermore, the position of the interval ends is calcu-

lated:

(4)
$$\zeta \dots \zeta \dots \zeta = i \text{ manw } i \cdot x \triangle + {}_{0}x = {}_{i}X$$

Only after that, it is possible to calculate the number of hits for each of the histogram intervals and form a vector of input parameters $\{n_1, n_2, ..., n_5\}$ for the neuron (1). The final result is quantized:

As the result, we have a complete formal description of the chi square neuron implementation for a sample of

Synthesis and configuration of Shapiro-Wilk neuron with 10 inputs

Obviously, the Shapiro-Wilk criterion can be applied to the same sample of 21 tests [4, 11]. This criterion is calculated as following:

$$\rho_{z} = \frac{1}{(\mathbf{Q}(x))^{\frac{1}{2}}} \cdot \left\{ \sum_{i=0}^{d-1} a_{i} \cdot (x_{20-i} - x_{i}) \right\}_{z}^{2}$$
 (6)

where x_i is the ordered values of the sample being checked, $\sigma(x)$ is the standard deviation, a_i is the table values of the Spanico-Wilk coefficients

of the Shapiro-Wilk coefficients. Figure 2 shows the distribution of the values of this cri-

terion for the uniform and normal laws.

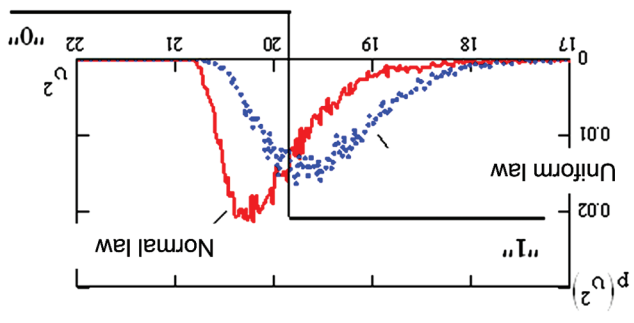


Figure 2. The distribution of the Shapiro-Wilk criterion values for the samples with 21 tests with uniform and normal distribution laws

If the functions of (6) are considered as some kind of artificial neuron, then its outputs will be 10 differences of

biometrics standards. tions of the GOST R 52633.xx series of neural network through the implementation of the primary recommendafirst and second kind can be fulfilled in other subject areas tion security regulators for the probability of error of the

square neuron with 5 inputs Synthesis and adjustment of the chi

square criterion value is the following: sample with 21 tests, the formula for calculating the chi Pearson's chi square test is most often used. For a small When testing the normality hypothesis in practice, the

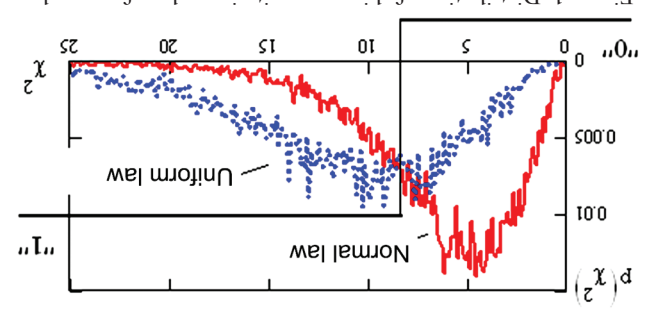
$$\chi^{2} = 2 \cdot 1 \cdot \sum_{i=1}^{2} \frac{\tilde{q}_{\Delta}}{\sqrt{1 - \frac{1}{1}}} \sum_{i=1}^{2} \cdot 1 \cdot 2 = \frac{1}{2}$$

law of the checked sample. the i-th histogram interval under the normal data distribution terval; ΔP_i is the expected probability of tests being within where n_i is the number of tests in the *i*-th histogram in-

the reason why in formula (1) summation over δ histogram each of the histogram intervals is to be close to 5. That is recommendations [10], the average number of tests within Let us note that in accordance with the national standard

a program that can produce millions of samples of 21 tests. Today the situation has changed. Any student is able to write to look for asymptotic relations for infinitely large samples. cess to computer technologies. For this reason, he was forced When developing the formula in 1990, Pearson had no acintervals for a small sample of 21 tests is used.

uniform value distribution law. chi square criterion values for samples with a normal and Figure 1 shows the probability density distribution of the



with a normal and uniform value distribution law Figure 1. Distribution of chi square criterion values for samples

 $O[D^{1}] = D^{2} = D^{EE} = 0.292.$ equally probable error values of the first and second kind square neuron is configured based on the condition of data and I is uniform data. The output quantifier of a chi continuum of output elements into two areas: 0 is normal threshold element of the chi square neuron divides the classes: normal and uniform [12]. Figure 1 shows that the such a way as to effectively divide input data into two Let us note that artificial neurons are configured in

> distribution law of small samples The problem of control of the data

no outliers (gross errors). of 20 examples, if this sample is obtained correctly and has learning algorithm [3] is able to solve the task on samples is that learning samples are small. In particular, the standard normal multidimensional data distribution law. The problem network learning, while the learning sample has a close to ness of the transformation is enabled by means of neural password generated through random symbols. The uniqueto be transformed into a cryptographic key or long access biometrics. Each of us has a unique biometric image that is These problems are especially prominent in neural network through a set of organizational and technical measures. cal systems [1, 2] are multifaceted and can be solved only The problems of ensuring the reliability of unique criti-

password or voice password. Users perceive negatively the their unique biometric image, for example, a handwritten ted a learning sample consisting of 10 to 20 examples of of their biometric image. Users feel satisfied having submitneural network learning machine [3] 200 and more instances [5] is that its users do not wish to provide to an automatic criterion can be used [4]. One of the problems of biometrics distribution. The chi square criterion or any other statistical more) it is not difficult to test the hypothesis of normal In cases of large biometrics data samples (200 tests and

over several generations. selecting and consolidating the desired rare characteristics estimation can be obtained after a long period of time by rare characteristics. A sufficient sample for correct statistical sample of 200 animals (plant specimens) with necessary A plan breeder or a biologist is not able to quickly get a The situation is similar in botany, biology, and medicine.

requirements to present more than 20 examples.

criteria [8]. are achieved through the application of several statistical significantly improve the situation. As a rule, improvements popular, but the well-known recommendations [6, 7] do not matter of statistical processing of small samples is very are required to test statistical hypotheses. The subject There is a similar situation in medicine. Large samples

criteria individually provide poor results. ments. As a rule, new statistical criteria or variants of earlier cal criteria [9], but this does not result in major improve-An attempt could be made to enhance the known statisti-

that the very tough requirements of the Russian informanew subject areas. At the same time, we will try to show mathematical techniques of neural network biometrics to paper we will actually attempt to apply the well-developed tough requirements for neural network biometrics. In this national series of standards that regulate a number of market have developed the GOST R 52633.xx Russian significant. Regulators of the Russian information security achieved by the Russian neural network biometrics is very tion of standard statistical criteria [4, 10, 11]. The progress The main idea of this paper is the neural network integra-

for processing small samples of biometrics data Meural network integration of classical statistical tests

72-22-2-61-6102-946-2019-19-2-22-7

MOSSOW Sergey V. Tureev, Research and Design Institute for Communications and Control Systems, Russian Federation, Evgeny N. Kuprianov, Penza State University, Russian Federation, Penza Alexander I. Ivanov, Penza Research and Design Electrical Engineering Institute, Russian Federation, Penza

Alexander I. Ivanov







Sergey V. Tureev

22

of the first and second kind becomes linear in logarithmic coordinates. the connection between the number of integrated tests and the expected probabilities of errors output states are averaged out as well by means of artificial neuron adders. Only in this case second kind are made identical and averaged out. Coefficient modules of pair correlation of process is the symmetrization of the problem, when the probabilities of errors of the first and statistical tests for small samples that contain 21 tests. An important element of the prediction the first and second kind are predicted for neural network integrations of 10 and 30 classical triples of statistical tests under consideration. Conclusions. Expected probabilities of errors of second kind. The paper sets forth the results of neural network integration of pairs, as well as under consideration enables a significant reduction of the probabilities of errors of the first and kind in the process of normality hypothesis testing. Neural network integration of three tests teria on small samples of biometric data produces high values of errors of the first and second output code of a network of three artiflicial neurons. Results. It is shown that each of such criprecomputed threshold and has two output states. That allows obtaining three bits of binary means of using equivalent artificial neurons. Each neuron compares the input statistics with a to combine classical statistical tests, i.e. chi square, Cram r-von Mises and Shapiro-Wilk by application to reduce the requirement for the size of the test sample. Methods. It is proposed Abstract. The Aim of this paper is to increase the power of statistical tests through their joint

tical tests for processing small samples of biometrics data. Dependability 2019;2: 22-27. DOI: For citation: Ivanov AI, Kuprianov EV, Tureev SV. Neural network integration of classical statis-

Keywords: statistical tests: chi square, Cram r-von Mises, Shapiro-Wilk; artificial neural net-

works, small samples, normal law of data distribution hypothesis testing.

failure-free tests conducted using a binomial plan. The obtained estimate of GPL is recommended for

References

Moscow: Radio i sviaz; 1983 [in Russian]. dezhnosti [Matters of mathematical dependability theory]. Gnedenko BV, editor. Voprosy matematicheskoj teorii na-[1] Barzilovich EYu, Beliaev YuK, Kashtanov VA et al.,

Terms and definitions. Moscow: Standartinform; 2016 [in [2] GOST 27.002-2015. Industrial product dependability.

[3] Shulenin VP. Matematicheskaya statistika. Chast 1. Russian].

Izdatelstvo NTL; 2012 [in Russian]. statistics. Part 1. Parametric statistics: a textbook]. Tomsk: Parametricheskaya statistika: ouchebnik [Mathematical

ikh primenenie [Unbiased estimates and their application]. [4] Voinov VG, Nikulin MS. Nesmeshchennye otsenki i

[5] GOST R 50779.26-2007. Statistical methods. Point Moscow: Nauka; 1989 [in Russian].

Standartinform; 2008 [in Russian]. tolerance intervals for exponential distribution. Moscow: estimates, confidence intervals, prediction intervals and

Reliability and quality of complex systems 2018;1(21):64-[6] Mikhailov VS. Implicit estimates for the WBT test plan.

[7] Mikhailov VS. Efficient estimation of mean time to 7] [in Kussian].

information-measuring systems by short-term test results. C-percentile time to failure of electronic components in [8] Ishkov AS, Zuev VD. Evaluation methodology of failure. Dependability 2016;4:40-42.

mation on reliability derived from testing of its components. complex based on the results of its testing using prior informethod for estimating reliability indicators of technological FP, Ratushenko VG. Computational and experimental [9] Shvetsova-Shilovskaya TN, Gromova TV, Sokolov Dependability 2015;2:86-89.

approach to estimations of residual lifetime. Dependability tions of residual lifetime of alternating process. Common [10] Chumakov IA, Chepurko VA, Antonov AV. Estima-Dependability 2013;2:87-92.

About the author

.67-23:2;6102

chanics, Russian Federation, Moscow, e-mail: Mvs1956@ Central Research and Design Institute of Chemistry and Me-Viktor S. Mikhailov, Lead Engineer, D.I. Mendeleev

Received on: 25.11.2018

Then,

$$\hat{t}_{\gamma 1} = -T_{01} \ln (\gamma) = 0,1053*50000 = 5265 \text{ h}.$$

requirements. 5265 h, which is in line with the product dependability which not more than 10 % of products will fail will be for the gamma-percentile time to failure. The time within cluded that the product complies with the requirements Based on the conventional estimates of t_v it can be con-

tion t_{y1}. time to failure t_y in comparison with the proposed estimapected, significantly underestimates the gamma-percentile failure t_y shows that the conventional estimation t_{y1} as ex $t_{\rm v} = 5947 (\gamma = 90\%)$ estimates of gamma-percentile time to son of the conventional $\vec{k}_1 = 5265 \ (\gamma = 90\%)$ and proposed the gamma-percentile time to failure $\hat{t}_{\gamma^{1}}$. Then, the comparifailure $t_{\gamma 1}$ is more efficient than the conventional estimate of $T_{4}[6]$. Therefore, the estimate of gamma-percentile time to The estimate of MTF T_{01} is less efficient than estimate

year-long storage of one product it is required to estimate $t_{
m y}$ must not be lower than one year. Based on the results of 10the gamma-percentile storing life t_{γ} ($\gamma=0.9$) is used, that Example 3. As the dependability indicator of a product

requirements. and verify the product's compliance with the dependability

the GPSL value will be Out of formulas (6) and (7) follows that the estimate of

$$= \frac{\tau}{\hat{h}} \ln(\gamma) = -\ln(0,0)^{*} - \ln(1-\hat{p})(R=0,N=1)$$

$$= 0,1053 * \frac{10}{\ln(1-0,0)} = 1,519 \text{ years.}$$

in line with the product dependability requirements. than 10 % of products will fail will be 1.519 years, which is centile storing life. The calendar time within which not more product complies with the requirements for the gamma-per-Based on the estimates of t_y it can be concluded that the

Conclusions

The obtained estimate of GPL ight has significant advanproximity to t_y in case a binomial test plan is used. nificantly inferior to estimate $\hat{t}_{\gamma e f_{\gamma}}$ if such exists, in terms of efficient as compared to the conventional one and not sig-The obtained estimate of GPL î₁ is simple and more

- the estimate is efficient within a sufficiently wide range tages, i.e.:

- the estimate allows obtaining value t, based on the results of estimates [6],

of tests that did not produce any failures.

For comparison, let us mention the conventional solution

. L əlqmaxə to

accordance with [5] the result will be: of MTF with the confidence probability of $\gamma = 0.9$. Then, in lower confidence contour (hereinafter referred to as LCC) rameter T_0 (instead of point estimation) is estimated per the Normally, for tests that did not produce any failures, pa-

$$T_{01n} = \frac{2^{1} \sum_{k=1}^{2} (1-\infty; 2r+1)}{2^{2}} = \frac{2*1*10000}{17} = 7380 \text{ h},$$

GOST R 50779.26-2007. represented by the level of sinificance per per level of sinificance per per level of the sinificance of th tion with a 2r+1 degree of freedom (for the NRT test plan), where $x^2(1-\infty;2r+1)$ is the quantile of the x^2 distribu-

$$\hat{t}_{1} = -T_{01H} \ln (\gamma) = 0.1053 * 7380 = 777 \text{ h}.$$

pe 117 h, which is not in line with the product dependability within which not more than 10 % of products will fail will ments for the gamma-percentile time to failure. The time cluded that the product does not comply with the require-Based on the conventional estimates of t_v it can be con-

gamma-percentile time to failure t_y in comparison with the lower confidence estimates significantly underestimates the not produce any failures the conventional estimation using percentile time to failure t_y shows that for tests that did and proposed $\hat{i}_{\gamma} = 1519(\gamma = 90\%)$ estimates of gamma-The comparison of the conventional $\hat{t}_{\gamma 1} = 777 \ (\gamma = 90\%)$

results of tests of ten products, one failure occurred at the end Example 2. In the conditions of example 1, based on the proposed estimation $\hat{t}_{\gamma 1}$.

ncts' compliance with the dependability requirements. of the tests. It is required to estimate t_y and verify the prod-

the GPTF value will be Out of formulas (6) and (7) follows that the estimate of

$$= \frac{\tau}{\left((01 = N, 1 = R)\hat{q} - I\right) nI} * (9,0) nI - = (\gamma) nI_{\rho}\hat{T} = \frac{\tau}{1\gamma}\hat{T}$$

$$= \frac{100001}{(02201, 0 - I)nI - \pi} * \xi \xi 01, 0 = \frac{10000}{10000}$$

than 10 % of products will fail will be 5947 h, which is in percentile time to failure. The time within which not more product complies with the requirements for the gamma-Based on the estimates of t_y it can be concluded that the

For comparison, let us mention the conventional solution line with the product dependability requirements.

of example 2.

:slumof gniwollot shi gnisu [δ] Normally, parameter T_0 is estimated in accordance with

$$T_{01} = \frac{1}{R+1} = \frac{10*10000}{10*10000} = 50000 \text{ h}.$$

$$= \int_{0}^{2\pi} \int_{0}^{$$

 T_4 from [6] should be used in the binomial test plan as the biased estimates. In this case, the implicit efficient estimate its efficient estimate based on a sufficiently wide class of value, if the estimate of parameter T_0 is substituted with the functional $A(\hat{i}_{\gamma})$ in formula (5) assumes the minimal In accordance with [6] the functional $V(T_0)$ (along with

parameter of T_0 (MTF):

where

(6)
$$\frac{\tau}{((N, \Lambda)\hat{q} - 1)nl -} = {}_{\rho}\hat{T}$$

where the probability of failure estimate \hat{p} is obtained by

solving the equation (see formula (3)):

$$\mathcal{E}_{0} = (\hat{q}, \lambda)_{N} \mathbf{q} \sum_{0=\lambda}^{\gamma} = (\hat{q}, N, \gamma)_{A} \mathbf{q}$$

((1) slumnot ficiently wide range of estimates [6] will be as follows (see Then, the efficient estimate of GPL $\hat{t}_{\gamma 1}$ based on a suf-

$$(7) \qquad (7) \qquad (7)$$

 $NR\tau$ as well. Thus obtained estimate of GPL t_{γ} has significant For failure-free tests the estimate \hat{t}_{v_1} can be used for the

- the estimate is efficient within a sufficiently wide range advantages, i.e.:

of estimates [6],

of tests that did not produce any failures and conducted using - the estimate allows obtaining value t_{γ} based on the results

test plans of types NNt or NRt.

Examples

required to estimate t_{γ} and verify the product's compliance of 10000-hour-long failure-free tests of one product it is that must not be lower than 1500 h. Based on the results the gamma-percentile time to failure t_{γ} ($\gamma=0,9$) is used, Example 1. As the dependability indicator of a product

Out of formulas (6) and (7) follows that the estimate of with the dependability requirements.

the GPTF value will be

$$= \frac{1}{\left((1 - N_{\bullet}(0 - R) \hat{q} - I) n I - {}^{*}(\theta_{\bullet}(0) n I - = (\gamma) n I_{\circ} \hat{T} - = {}^{1}\gamma \hat{t} \right)}$$

$$A \theta I \delta I = \frac{00001}{(\delta_{\bullet}(0 - I) n I - {}^{*}(\delta_{\bullet}(0) n I - = (\gamma) n I_{\circ} \hat{T} - {}^{*}(\delta_{\bullet}(0) n I - = (\gamma) n I_{\circ} \hat{T} - {}^{*}(\delta_{\bullet}(0) n I - = (\gamma) n I_{\circ} \hat{T} - {}^{*}(\delta_{\bullet}(0) n I - = (\gamma) n I_{\circ} \hat{T} - {}^{*}(\delta_{\bullet}(0) n I - = (\gamma) n I_{\circ} \hat{T} - {}^{*}(\delta_{\bullet}(0) n I - = (\gamma) n I_{\circ} \hat{T} - {}^{*}(\delta_{\bullet}(0) n I - = (\gamma) n I_{\circ} \hat{T} - {}^{*}(\delta_{\bullet}(0) n I - = (\gamma) n I_{\circ} \hat{T} - {}^{*}(\delta_{\bullet}(0) n I - = (\gamma) n I_{\circ} \hat{T} - {}^{*}(\delta_{\bullet}(0) n I - = (\gamma) n I_{\circ} \hat{T} - {}^{*}(\delta_{\bullet}(0) n I - = (\gamma) n I_{\circ} \hat{T} - {}^{*}(\delta_{\bullet}(0) n I - = (\gamma) n I_{\circ} \hat{T} - {}^{*}(\delta_{\bullet}(0) n I - = (\gamma) n I_{\circ} \hat{T} - {}^{*}(\delta_{\bullet}(0) n I - = (\gamma) n I_{\circ} \hat{T} - {}^{*}(\delta_{\bullet}(0) n I - = (\gamma) n I_{\circ} \hat{T} - {}^{*}(\delta_{\bullet}(0) n I - = (\gamma) n I_{\circ} \hat{T} - {}^{*}(\delta_{\bullet}(0) n I - = (\gamma) n I_{\circ} \hat{T} - {}^{*}(\delta_{\bullet}(0) n I - = (\gamma) n I_{\circ} \hat{T} - {}^{*}(\delta_{\bullet}(0) n I - = (\gamma) n I_{\circ} \hat{T} - {}^{*}(\delta_{\bullet}(0) n I - = (\gamma) n I_{\circ} \hat{T} - {}^{*}(\delta_{\bullet}(0) n I - = (\gamma) n I_{\circ} \hat{T} - {}^{*}(\delta_{\bullet}(0) n I - = (\gamma) n I_{\circ} \hat{T} - {}^{*}(\delta_{\bullet}(0) n I - = (\gamma) n I_{\circ} \hat{T} - {}^{*}(\delta_{\bullet}(0) n I - = (\gamma) n I_{\circ} \hat{T} - {}^{*}(\delta_{\bullet}(0) n I - = (\gamma) n I_{\circ} \hat{T} - {}^{*}(\delta_{\bullet}(0) n I - = (\gamma) n I_{\circ} \hat{T} - {}^{*}(\delta_{\bullet}(0) n I - = (\gamma) n I_{\circ} \hat{T} - {}^{*}(\delta_{\bullet}(0) n I - = (\gamma) n I_{\circ} \hat{T} - {}^{*}(\delta_{\bullet}(0) n I - = (\gamma) n I_{\circ} \hat{T} - {}^{*}(\delta_{\bullet}(0) n I - = (\gamma) n I_{\circ} \hat{T} - {}^{*}(\delta_{\bullet}(0) n I - = (\gamma) n I_{\circ} \hat{T} - {}^{*}(\delta_{\bullet}(0) n I - = (\gamma) n I_{\circ} \hat{T} - {}^{*}(\delta_{\bullet}(0) n I - = (\gamma) n I_{\circ} \hat{T} - {}^{*}(\delta_{\bullet}(0) n I - = (\gamma) n I_{\circ} \hat{T} - {}^{*}(\delta_{\bullet}(0) n I - = (\gamma) n I_{\circ} \hat{T} - {}^{*}(\delta_{\bullet}(0) n I - = (\gamma) n I_{\circ} \hat{T} - {}^{*}(\delta_{\bullet}(0) n I - = (\gamma) n I_{\circ} \hat{T} - {}^{*}(\delta_{\bullet}(0) n I - = (\gamma) n I_{\circ} \hat{T} - {}^{*}(\delta_{\bullet}(0) n I - = (\gamma) n I_{\circ} \hat{T} - {}^{*}(\delta_{\bullet}(0) n I - = (\gamma) n I_{\circ} \hat{T} - {}^{*}(\delta_{\bullet}(0) n I - = (\gamma) n I_{\circ} \hat{T} - {}^{*}(\delta_{\bullet}(0) n I - = (\gamma) n I_{\circ} \hat{T} - {}^{*}(\delta_{\bullet}(0) n I - = (\gamma) n I_{\circ} \hat{T} - {}^{*}(\delta_{\bullet}(0) n I - = (\gamma) n I_{\circ} \hat{T} - {}^$$

line with the product dependability requirements. than 10 % of products will fail will be 1519 h, which is in percentile time to failure. The time within which not more broduct complies with the requirements for the gamma-Based on the estimates of t_v it can be concluded that the

- the estimate is not efficient [1],

the results of tests that did not produce any failures. - the estimate does not allow obtaining value t_y based on

of all biased estimates and not always have a considerable They are also not always sufficiently efficient in the class quite lengthy and have a complex calculation algorithm [4]. some cases, the generated unbiased efficient estimates are one, in the form of function of parameter or constant [3]). In contains estimates with any bias, including those with a fixed substitution, inclusive of the maximum likelihood method, mates that includes all estimates generated by the method of of consistent biased estimates. (The class of consistent estiunbiased efficient estimate (t_{yef}) , if such exists in the class In order to solve the above problem, it suffices to find an

advantage over simple yet biased estimates in terms of

proximity to the estimated value [6].

The Aim of the paper

blan is used. exists, in terms of proximity to t_y in case a binomial test significantly inferior to the efficient estimate t_{yef} , if such more efficient as compared to the conventional one and not (hereinafter referred to as \hat{t}_{ij}) that would be simple and The aim of this paper is to find such estimate of GPL

Methods of research and results

a binomial test plan. sented as $t_{\gamma} = -T_0 \ln(\gamma)$, where T_0 is the estimate of MTF for Let us consider the class of estimates that can be pre-

possible values t_{i} , T_{0} , γ , N and τ : squared deviation of the expected estimate \hat{t}_{γ} from t_{γ} for all tional (hereinafter referred to as $A(t_y)$) based on the total characteristics [6]. Similarly to [6], let us construct a func-In order to find the efficient estimate we will use integral

$$A(\hat{\boldsymbol{l}}_{\boldsymbol{\gamma}}(\boldsymbol{R},\boldsymbol{N},\boldsymbol{\tau},\boldsymbol{l}_{\boldsymbol{l}})) = \frac{1}{3} \sum_{i,j=1}^{10} \frac{1}{10} \sum_{l=1}^{10} \frac{1}{10} \left(\frac{1}{10} \right)^{2} \left\{ \hat{\boldsymbol{E}}_{\boldsymbol{l}}^{\boldsymbol{\gamma}}(\boldsymbol{R},\boldsymbol{N},\boldsymbol{\tau}_{\boldsymbol{l}},\boldsymbol{l}_{\boldsymbol{l}}) - \frac{1}{10} \sum_{l=1}^{10} \frac{1}{10} \sum_{l$$

 $E\hat{t}_{\gamma}(R, N, \tau, t_i)$ will be as follows: timate. According to (3), the mathematical expectation where Et_{γ} is the mathematical expectation of the es-

$$E\hat{t}_{\gamma}\left(R, N, \tau, \tau_{i}\right) = \sum_{k=0}^{N} p_{N}(k)\hat{t}_{\gamma}\left(k, N, \tau, \tau_{i}\right) = \sum_{k=0}^{N} p_{N}\left(k\right)^{*}(\gamma) \ln(\gamma).$$

An efficient estimate of GPL t_γ must have the minimal value of functional of $A(\hat{t_\gamma})$.

mula will become as follows: Let us take $-ln(\gamma)$ outside the integral sign, then the for-

(5)
$$(\hat{f}_0)^2 V(\hat{f}_0)^2$$

to as t_{γ}) is calculated according to formula: as MTF), the expected values of GPL (hereinafter referred parameter T_0 (mean time to failure, hereinafter referred to failure complies with the exponential distribution law with the probability γ expressed as percentage [2]. If the time to the product is able to perform the required function with schedule time of product storage during and after which percentage [2]. Similarly, GPSL is understood as the total which no failure occurs with the probability γ expressed as ered) [1]. GPTF is understood as the operation time during each failure within the testing time is not recovered (recovthe plan that indicates that the product's operability after (identical for each product); N(R) is the characteristic of the number same-type test objects; t is the operation time a test plan is classified as type NNt or NRt, where N is based on tests that did not produce any failures. Normally, referred to as GPL, meaning GPSL or GPTF respectively) or gamma-percentile time to failure (GPTF) (hereinafter obtain an estimate of gamma-percentile storing life (GPSL) products, it is a commonplace situation when it is required to In today's industry of highly dependable, unique, complex

$$(1) \qquad (1)$$

Problem definition

Let us consider the case of tests according to a binomial

2, ..., N with probabilities: of N independent tests, takes on whole-number values 0, 1, i.e. r.v. R equal to the number of successful tests in a series (1>q>0, q and N arameters N and parameters N and p, (1>q>0)R (hereinafter referred to as r.v.) has a binomial distribution i=1,2,...,R, then for a binomial test plan the random value the random number of failures, t_i is the moments of failures, failures and total operation time $S(R, V, \tau_i)$ [1, 4, 5], R = r is For a binomial plan, a sufficient statistic is (r) of observed

$$p_{N}(k) = C_{N}^{k} p^{k} (1 - p)^{N - k}.$$

$$(2)$$

Distribution function $F_R(r, V, p)$ of binomial r.v. R will

be written as

$$F_{\mathbb{R}}(\mathbf{r}, N, p) = \sum_{k=0}^{r} p_{N}(k).$$
 (3)

of parameter T_0 [1, 5]: constructed for an exponential distribution as the estimate ral to use the conventional mean time to failure estimate In order to estimate the GPL (\hat{t}_y) it would be quite natu-

$$L_{0} < 1 \text{ Ti.}$$
, $\frac{S(R, N, \tau, V, R)}{r} = \frac{S(R, N, \tau, V, R)}{r}$

i.e.; e.sadvantages, i.e.; However, thus obtained estimate $\hat{t}_{\gamma z} = -T_{0z} \ln(\gamma)$ has sig-

- the estimate is biased [1],

test plan Estimation of the gamma-percentile life for the binomial

Federation, Moscow Viktor S. Mikhailov, D.I. Mendeleev Central Research and Design Institute of Chemistry and Mechanics, Russian

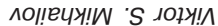
failure-free tests conducted using a binomial plan. of tests that did not produce any failures. The obtained estimate of GPL is recommended for within a sufficiently wide range of estimates, it allows obtaining a value based on the results is used. The obtained estimate of GPL has significant advantages, i.e. the estimate is efficient estimate, if such exists, in terms of proximity to the GPL estimate in case a binomial test plan more efficient as compared to the conventional one and not significantly inferior to the efficient of the distribution law parameter. Conclusions. The obtained estimate of GPL is simple and on the vertical sum of biases of estimates selected out of a certain set based on the function approach that uses the construction of the choice rule (criterion) of efficient estimate specified is used. Methods of research. The research of efficient estimates is based on the integrative estimate, if such exists, in terms of proximity to the GPL estimate in case a binomial test plan more efficient as compared to the conventional one and not significantly inferior to the efficient percentage. The Aim of this paper is to find such estimate of GPL that would be simple and which the product is able to perform the required function with the probability expressed as Similarly, GPSL is understood as the total schedule time of product storage during and after operation time during which no failure occurs with the probability expressed as percentage. classified as binomial tests or tests with limited time and recovery. GPTF is understood as the GPTF respectively) based on tests that did not produce any failures. Normally, a test plan is or gamma-percentile time to failure (GPTF) (hereinafter referred to as GPL, meaning GPSL or place situation when it is required to obtain an estimate of gamma-percentile storing life (GPSL) Abstract. In today's industry of highly dependable, unique, complex products, it is a common-

For citation: Mikhailov VS. Estimation of the gamma-percentile life for the binomial test plan.

Keywords: gamma-percentile storing life, gamma-percentile time to failure, exponential dis-

Dependability 2019; 2: 18-21. DOI: 10.21683/1729-2646-2019-19-2-18-21

tribution, test plan, point estimation.





[9] Smith C.L., Wood S.T., Galyean W.J., Schroeder J.A., Sattison M.B. Systems Analysis Programs for Handson Integrated Reliability Evaluations (SAPHIRE) Version 8: Technical Reference. NUREG/CR-7039 INL/EXT-09-17009; Vol. 2. Washington, D.C.: U.S. Nuclear Regulatory Commission; 2011.

[10] O'Connor A.N. A general cause based methodology for analysis of dependent failures in system risk and reliability assessments; 2013.

[11] O'Connor A.N. A general cause based methodology for analysis of dependent failures in system risk and reliability assessments; 2013.

About the authors

Alexander V. Antonov, Doctor of Engineering, Professor, Chief Expert of the International Training Center, Rosatom Technical Academy, Russian Federation, Moscow, e-mail: AVAntonov@rosatomtech.ru

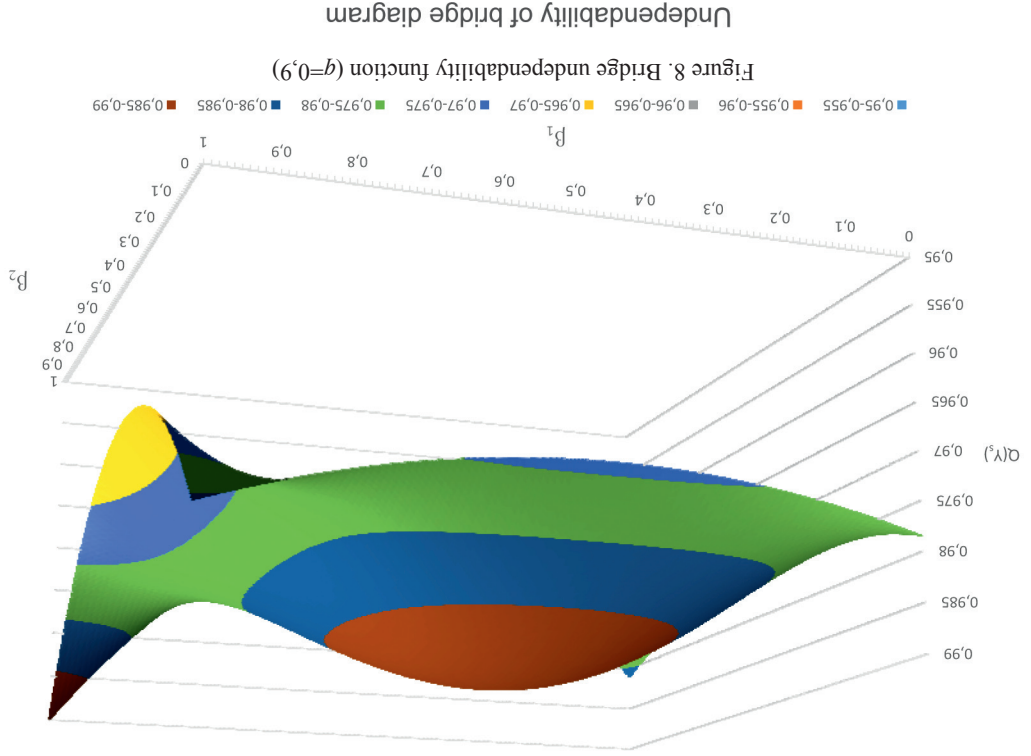
Valery A. Chepurko, Candidate of Physics and Mathematics, Associate Professor, Chief Specialist of Division for Justifying Calculations of Design Solutions, JSC RASU, Russian Federation, Moscow, e-mail: VAChepurko@rasu.ru

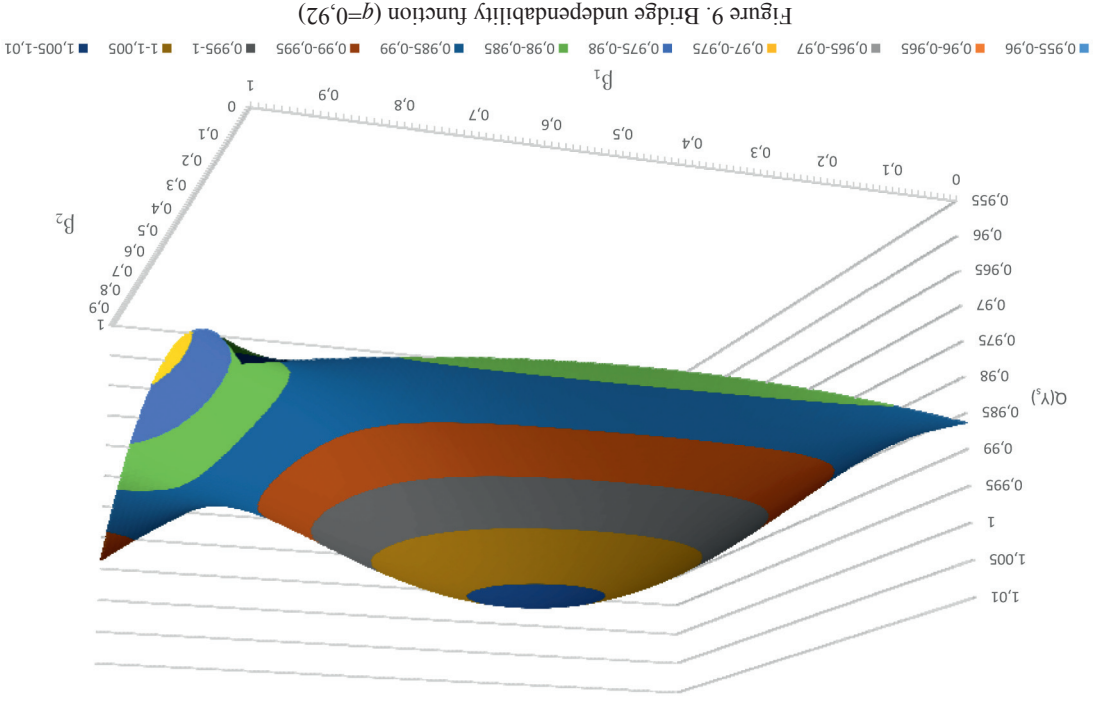
Alexey N. Cherniaev, Candidate of Engineering, Deputy Technical Director, Director of Design Department, JSC RASU, Russian Federation, Moscow, e-mail: AINChernyaev@rasu.ru

Received on: 06.02.2019

- [2] GOST R IEC 62340-2011. Nuclear power plants. Instrumentation and control systems important to safety. Requirements for coping with common cause failure. Moscow: Standartinform; 2012 [in Russian].
- [3] Antonov A. V., Galivets E. Yu., Chepurko V.A., Cherniaev A.N. Fault tree analysis in the R programming environment. Dependability 2018;18(1):4-13. DOI: 10.21683/1729-2646-2018-18-1-4-13.
- [4] Antonov A.V., Galivets E.Yu., Chepurko V.A., Cherniaev A.N. Fault tree analysis in the R programming environment. Accounting for common cause failures. Dependability 2018; 18(3):3-9. DOI: 10.21683/1729-2646-2018-18-3-3-9.
- [5] Pereguda A.I., Pereguda A.A., Timashev D.A. The mathematical model of computer networks' reliability. Dependability 2013;(4):31-43. DOI: 10.21683/1729-2646-2013-0-4-18-43.
- [6] Alpeev A.S. Dependability of control systems software and safety of nuclear power plants. Dependability 2015;(4):78-80. DOI: 10.21683/1729-2646-2015-0-4-75-80.
- [7] Mosleh A., Rasmuson D.M., Marshall F.M. Procedures Guidelines in Modeling Common Cause Failures in Probabilistic Risk Assessment. NUREG/CR-5485. University of Maryland; 1998.
- [8] O'Connor A.N. A General Cause Based Methodology for Analysis of Dependent Failures in System Risk and Reliability Assessments. University of Maryland; 2013, http://hdl.handle.net/1903/14285 [accessed 09.04.2019].

Undependability of bridge diagram





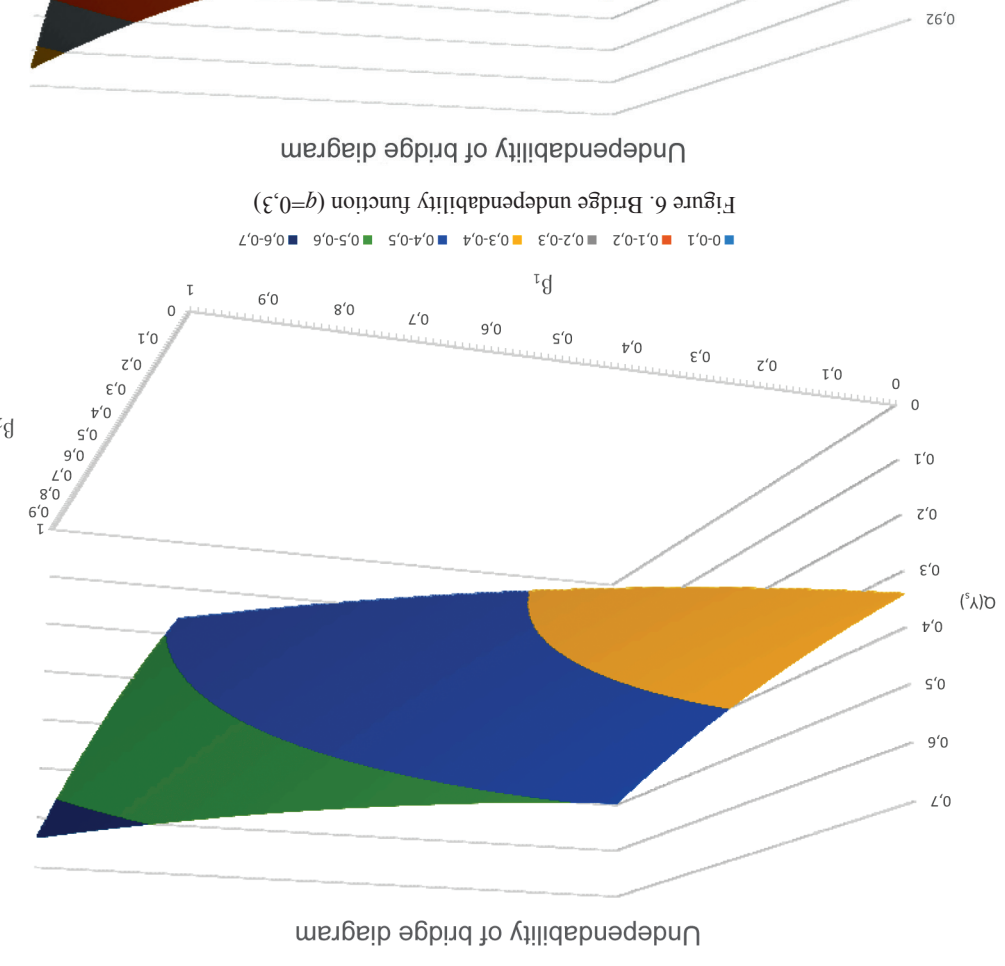
undependability. model parameters do not necessarily cause the growth of

References

Moscow: Standartinform; 2011 [in Russian]. Classification of instrumentation and control functions. Instrumentation and control systems important for safety. [1] GOST R IEC 61226-2011. Nuclear power plants.

Conclusion

pendability diagrams it is shown that increasing beta factor undependability of component elements. For all three deable beta factor model parameter values in case of high The two latter diagrams reveal the problem of unacceptthree dependability diagrams: parallel, serial and bridge. factor model of accounting for CCF. The research covered The paper conducts a mathematical research of the beta-



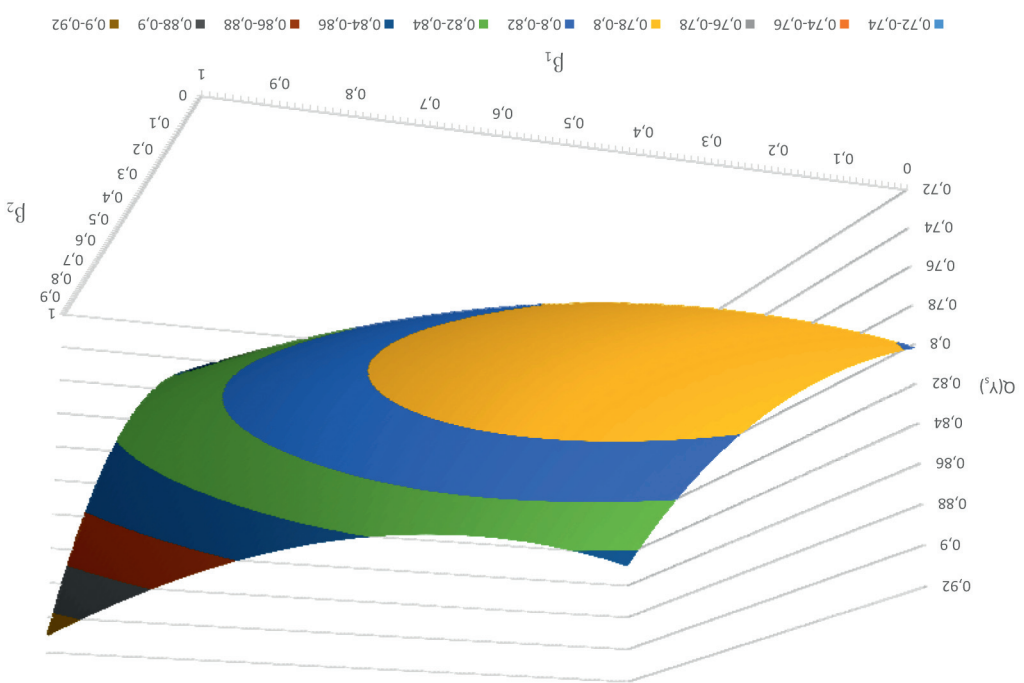


Figure 7. Bridge undependability function (q=0,7)

pendability of the growing undependability. Further behaviour depends

growing undependability. Further benaviour depends on the specific parameter values. If $\beta_a = \beta_b = 1$, maximum undependability is reached. It must be noted that there is a range of unacceptable values of parameters β_a , β_b , under which the systems' undependability assumes a value higher than one. Thus, a serial structure does not necessarily have unacceptable beta-factor model parameter values.

case of low $\beta_{\mathfrak{a}},\,\beta_{\mathfrak{b}})$ or an increase of undependability of the system as a whole.

If $q \in (\approx 0,91,1)$ the undependability function has, as previously, a complex dependence: four local boundary minimums and one maximum (figure 9). In the vicinity of point (0,0) the undependability decreases if each parameter increases. When the minimum point has been reached, further increase of CCF parameters causes

In order to calculate the probability of event B_s let us use the addition theorem that, in the case of antithetic events of a CCF group will result in the following:

$$P(B) = P((i_1 \lor i_3)(i_2 \lor i_4)) + P(C_a)^2 \beta_a q^3 - \beta_a \beta_b q^2,$$

$$+ \beta_a q + \beta_b q - (1 - \beta_a)^2 \beta_b q^3 - (1 - \beta_b)^2 \beta_a q^3 - \beta_a \beta_b q^2,$$
where $g(\beta_a, \beta_b, q) = (1 - \beta_a)q + (1 - \beta_b)q - (1 - \beta_a)(1 - \beta_b)q^2.$

Upon the substitution of the obtained results and simplification, we will obtain the bridge's undependability subject to CCF:

$$Q(Y_s) = c_s q^5 + c_4 q^4 + c_3 q^3 + c_2 q^2 + c_1 q, \tag{13}$$

where the polynomial coefficients are defined by the

$$c_{2} = 2(1 - \beta_{a})^{2} + (1 - \beta_{b})^{2} - \beta_{a}\beta_{b},$$

$$c_{3} = 2 - 3\beta_{a} - 3\beta_{b} + \beta_{a}\beta_{b} (6 - \beta_{a} - \beta_{b}),$$

$$c_{4} = (1 - \beta_{a})(1 - \beta_{b})(-5 + 3\beta_{a} + 3\beta_{b} - \beta_{a}\beta_{b}),$$

$$c_{5} = 2 - 3\beta_{a} - 3\beta_{b} + \beta_{a}\beta_{b} (6 - \beta_{a} - \beta_{b}\beta_{b}),$$

$$c_{5} = 2(1 - \beta_{a})^{2} (1 - \beta_{b}\beta_{b}),$$

$$c_{5} = 2(1 - \beta_{a}\beta_{b})^{2} (1 - \beta_{b}\beta_{b})^{2} (1 - \beta_{b}\beta_{b}),$$

$$c_{5} = 2(1 - \beta_{a}\beta_{b})^{2} (1 - \beta_{b}\beta_{b}),$$

$$c_{5} = 2(1 - \beta_{$$

As the result of the conducted research of function (13)

the following dependences were identified. If $q \le 0.5$ undependability $\widetilde{Q}(Y_i)$ classically monotonical

If $q \le 0.5$ undependability $\widetilde{Q}(\overline{V_s})$ classically monotonically increases per each parameter β_a , β_b (figure 6). I.e. when calculating a bridge with highly dependable elements no unexpected effects were identified.

If $q \in (0,5,\approx 0,85)$ the undependability function has a global minimum. In the vicinity of point (0,0) the undependability decreases if each parameter increases (figure 7). When the minimum point has been reached, further increase of CCF parameters causes growing undependability. If case of average undependability of the bridge's component case of average undependability of the bridge's component elements accounting for CCF may cause a reduction of undependability of the system as a whole. The value 0.85 was obtained visually, accurate estimation requires an analytical study of (13).

If $q \in (\approx 0,85,\approx 0,91)$ the undependability function has a complex dependence: four local boundary minimums and one maximum (figure 8). In the vicinity of point (0,0) the undependability decreases if each parameter increases. When the minimum point has been reached, further increase crease of CCF parameters causes growing undependability excluse of CCF parameters causes growing undependability. Further behaviour depends on the specific parameter values. If $\beta_a = \beta_b = 1$ maximum undependability is reached. In case of high undependability of the bridge's component elements accounting for CCF may cause a reduction (in elements accounting for CCF may cause a reduction (in

Let β_a and β_b be parameters of the beta-factor model in the respective groups. In this case the following events are possible: i_1 is independent failure of the 1-st element, C_a is dependent can be comparable of the 1-st element and 2-nd element (group a), figure 5. Similarly, the events from the second CCF group can be shown in this same sample space: i_3 is independent failure of the 3-rd element, i_4 is independent and the dement, C_b is dependent CCF of the 4-th element, C_b is dependent CCF of the 3-rd element and 4-th element, C_b is dependent CCF of the 3-rd element of the

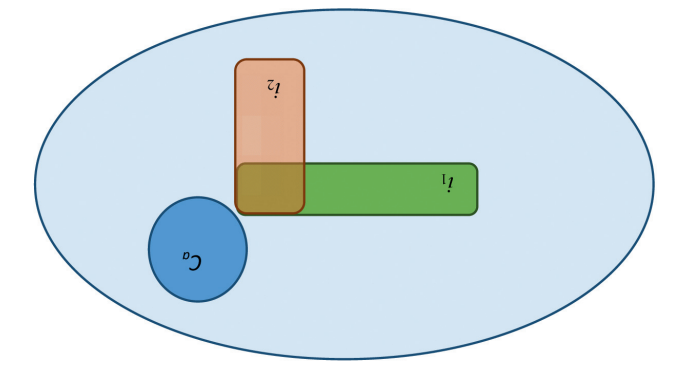


Figure 5. Events in case of CCF

Figure 5 shows possible mutual location of the events in a group. Importantly, antithetic (mutually exclusive) pairs of events will be the following: i_1 and C_a , i_2 and C_a , i_3 and C_b , i_4 and C_b . Let us indicate the event x_b , the k-th element is operable, $k = 1, \ldots, 5$. Then,

 $\overline{x_1} = i_1 \vee C_a, \overline{x_2} = i_2 \vee C_a, \overline{x_3} = i_3 \vee C_b, \overline{x_4} = i_4 \vee C_b.$

The logic function of inoperability will be as follows

(01)
$$, \left[a_{1s} \overline{x} \right] \vee \left[h_s x \right] = \overline{x}$$

where $A = (\overline{x_1}\overline{x_2}) \vee (\overline{x_3}\overline{x_4})$ and $B = (\overline{x_2} \vee \overline{x_4})(\overline{x_1} \vee \overline{x_3})$. Let all the elements be equally dependable and the probabilities of their total cause failures be equal to q. In this case the undependability of the bridge regardless of CCF will be equal to:

 $= (z_p - z_p)^2 + q^2 (1 - q)^2 + 2q^2$ (11) $= (z_p - z_p)^2 + 2q^2 + 2q^2$

Let us substitute the events \mathbb{A} and B involved in (1) and containing $\overline{x}_1, \overline{x}_2, \overline{x}_3$ and \overline{x}_4 with independent and CCF events:

$$A = (\overline{x}_1 \overline{x}_2) \vee (\overline{x}_3 \overline{x}_4) = (i_1 i_2 \vee C_a) \vee (i_3 i_4 \vee C_b).$$

$$B = (\overline{x}_2 \vee \overline{x}_4) (\overline{x}_1 \vee \overline{x}_3) = (i_1 \vee i_3) (i_2 \vee i_4) \vee C_a \vee C_b.$$

Let us identify the probabilities of such events:

(21)
$$(p, d) f(p, d) f(p, d) f(p, d) f(p, d) f(p, d)$$

where
$$f(\beta, q) = (1 - \beta)^2 q^2 + \beta q$$
.

$$p \beta \leq \sqrt{p(\beta-1)-1}$$

the curve in figure 3. acceptable values of probability q will be the area beneath Thus, for instance, if n = 2,3,4,5,10,50,100 the range of

and $1-(1-q)^n=0.99$ respectively. ing for CCF will be equal to $1 - (1 - \beta)^n + \beta q = 1,0539$ n=2. The probabilities of failure accounting and not account-Let us, as previously, take, for example, $\beta=0,1$, q=0,9,

CCF in bridge diagram

at once: ent common causes of failure of several bridge elements shown in figure 4. Let us assume that there are two differin a bridge diagram. The structure of a bridge diagram is Let us research the effect of beta factor model parameters

- common cause a that may cause simultaneous failure

- common cause b that causes simultaneous failure of of elements I and 2,

elements 3 and 4.

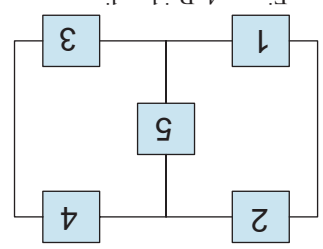


Figure 4. Bridge diagram

the next paper. several CCF groups. Such situation is to be considered in in general, one element can simultaneously be part of two groups do not contain identical elements, although, elements 3 and 4 form the second one. Evidently, those Thus, elements I and 2 form the first CCF group, while

$$\left(\frac{\ln n}{1-n}\right) - \exp\left(-\frac{\ln n}{1-n}\right).$$

Thus, if
$$q \in \left(0, 1 - \exp\left(-\frac{\ln n}{1 - n}\right)\right)$$
, derivative (7) for any

nes of
$$\beta$$
 will be negative, as $\frac{\partial Q(V_s)}{\partial Q(V_s)} = q - nq < 0$

 $\sqrt{\frac{\partial \mathcal{Q}(v_s)}{\partial \theta}} = \frac{\partial \mathcal{Q}(v_s)}{\partial \theta}$ so solitive, as $\frac{\partial \mathcal{Q}(v_s)}{\partial \theta}$

undependability. Therefore, increasing \(\beta\) will cause, as expected, decreasing If $n \ge 2$ and the critical point is outside the interval [0,1].

vative (7) is negative for $\beta=1$, the critical If $q > \exp\left(-\frac{\ln n}{n-1}\right)$, there will be a point of extremum

point will be the maximum point. Then, $\frac{\partial \mathcal{Q}(V_s)}{\partial \beta} > 0$ and

parameter B. the undependability function will increase with respect to

must be solved: In order to identify such values, the following equation about unacceptable values of probability of system failure. to any cause for each element, exceeding which may bring each \(\beta \) there are limit values of the probability of failure due Unlike in the parallel structure, in the serial structure for

$$.0 = p\beta - {}^{n} \left(p \left(\beta - I \right) - I \right)$$

place, i.e. $C \Rightarrow i_1 \lor i_2 \lor ... \lor i_n$. In this case event C follows that no independent cause failures took model. In terms of logic algebra, out of the occurrence of directly associated with the assumptions of the beta-factor An unacceptably high value of probability of failure is

.ə.i ,
$$(\Im)q \le (\overline{i} \land ... \land \overline{i} \land \overline{i})q$$

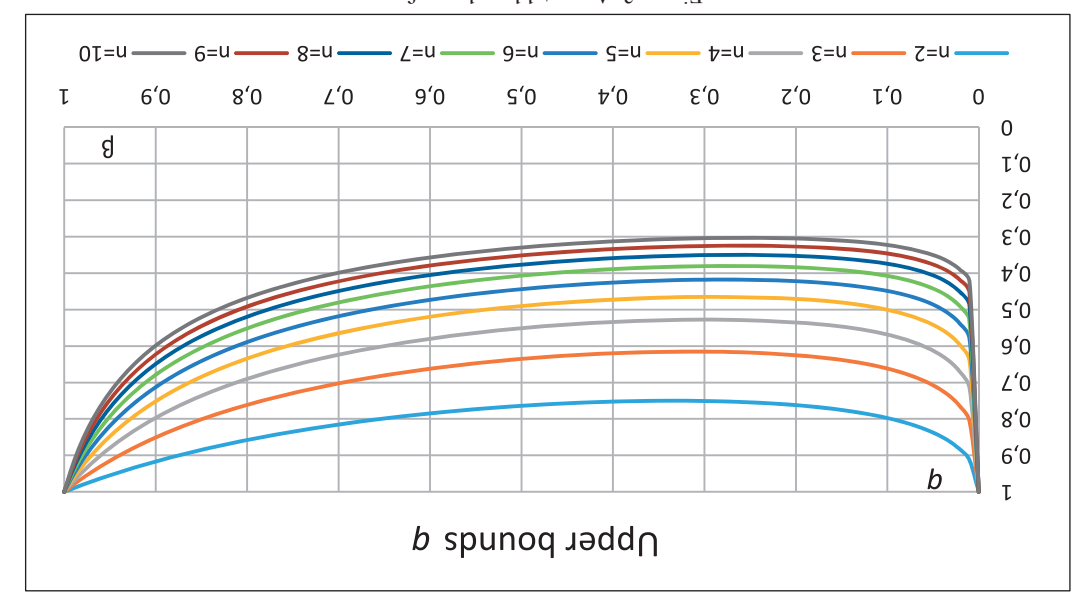


Figure 3. Acceptable values of q

 $\frac{240}{160} = \frac{16}{160} = \frac{$ accounting and not accounting for CCF will be equal to example, $\beta = \frac{1}{\Delta}$, $q = \frac{3}{\Delta}$, n = 2. The probabilities of failure pendability of the system. Let us, as previously, take, for if $q > q_{\beta,n}$, accounting for CCF will cause decreased dewill not affect the dependability of the system. And finally, ability of a serial system. If $q=q_{\beta,n}$ accounting for CCF ary $q_{\theta,n}$, accounting for CCF will cause increased depend-If the probability for any reason q is lower than bound-

analysis addressing, among other things, the derivatives under various parameter values by conducting a qualitative iour of the dependability (or undependability) function As above, let us try to explain the change of the behav-

The derivative of function $Q(Y_s)$ of q will be defined by of q and [3.

$$(1,0) \ni \emptyset \text{ If } 0 < \emptyset + {}^{1-n} \Big(p \Big(\emptyset - 1 \Big) - 1 \Big) \Big(\emptyset - 1 \Big) n = \frac{({}_{g}Y) \mathcal{Q} 6}{p 6}$$

undependability of a parallel system as a whole. Growing undependability of the element causes growing

Derivative per another parameter

$$(7) p + {}^{1-n} \left(p \left(\beta - 1 \right) - 1 \right) p n - n = \frac{\left(s \right) Q \Theta}{\beta G}$$

Let us analyze (7). The derivative is equal to 0 in the

only when

(8)
$$\int_{0}^{\infty} \left(\left(\frac{\ln n}{1 - n} \right) - \ln \frac{1}{p} \right) dx = 1 - \frac{1}{p} \int_{0}^{\infty} 1 - \exp \left(\frac{\ln n}{1 - n} \right) - \ln \frac{1}{p} \int_{0}^{\infty} 1 dx = \frac{1}{p} \int$$

 $\beta_{\mbox{\tiny crit}}{<}1$ is obviously fulfilled, while $\beta_{\mbox{\tiny crit}}{>}0$ occurs when and The critical point is attainable if $\beta_{\mathit{crit}}\!\in\!(0,1).$ Condition

If $q \in \exp\left(-\frac{\ln n}{n-1}\right)$, there will be a point of extremum (5), and, as derivative (4) is positive for $\beta=1$, the critical

point will be the minimum point. Then, $\frac{\partial Q(v_s)}{\partial \beta}$ < 0 and the undependability function will paradoxically decrease

with respect to parameter β . That is the complete proof of

the behaviour of the undependability function.

CCF in serial structures

(p-1)=(x)accounting for CCF, the system's PNF will be equal to able elements with the probability of failure q each. Not to CCF. Let the system consist of n serial equally dependserial (primary) structure in terms of dependability subject In this section, let us analyze the dependability of the

The logic function of operability subject to CCF will be

$$Y_s = \overline{i_1 \vee i_2 \vee \ldots \vee i_n \vee C}$$
.

PNF subject to CCF is

$$(\mathcal{S}) \cdot \mathcal{A} = \mathcal{A} \cdot \mathcal{A}$$

 $q_{\beta,n}$ it is obviously required to solve the following algebraic mary junction. In order to identify the boundary values of may either reduce or increase the dependability of the pri-Similarly to the parallel structure, accounting for CCF

pizection. was obtained by means of the numerical method of segment parameter β under various n. The solution of equation (6) Figure 2 shows dependence graphs of function $q_{\beta,n}$ of

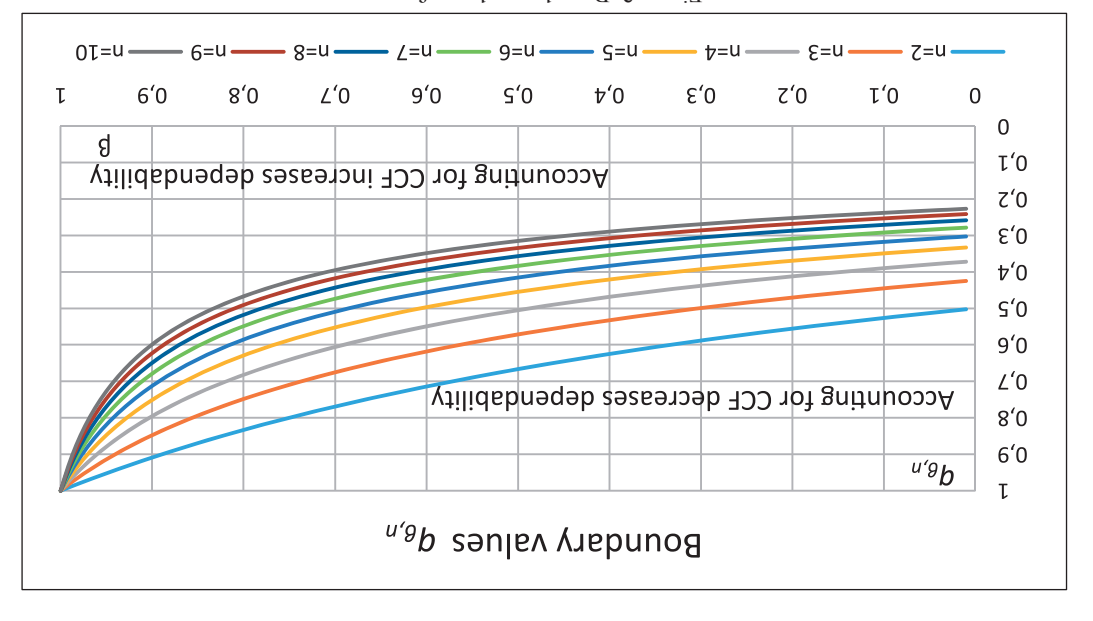


Figure 2. Boundary values of $q_{\beta,n}$

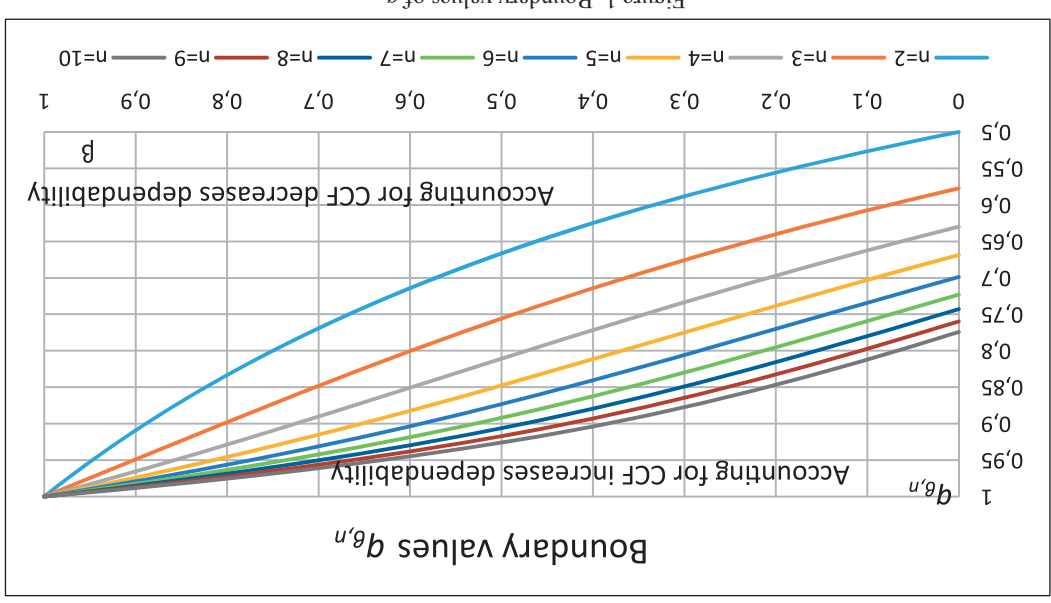


Figure 1. Boundary values of $q_{\beta,n}$

The derivative of function $Q(Y_s)$ of q will be defined by analyzing, among other things, the derivatives of q and \beta.

$$(1,0) \ni \emptyset$$
 if $0 < \emptyset + (1-\beta)^{n-1}$ $\lim_{n \to \infty} \theta = \lim_{n \to \infty} \theta = \lim_{n$

Now, let us take a derivative of another parameter ing undependability of a parallel system as a whole. i.e. growing undependability of the element causes grow-

$$(4) \qquad p + \frac{1-n}{2} (\beta - 1)^n p n - 1 = \frac{(2) \sqrt{26}}{66}$$

Let us analyze (4). The derivative is equal to 0 in the

$$\beta_{\text{crit.}} = I - \frac{1}{p} \left(\frac{1}{n} \frac{n}{n} \right) = I - \frac{1}{p} \exp \left(-\frac{\ln n}{n} \right).$$

tion $\beta_{\text{crit}}{<}1$ is fulfilled, while $\beta_{\text{crit}}{>}0$ occurs when and only The critical point is attainable if $\beta_{\text{crit}} \in (0,1)_{..}$ Condi-

$$\int \frac{u \, du}{1 - u} \, dx = \int dx \, dx \, dx \, dx$$

$$\lim_{\beta \to 0^+} q_{\beta,n} = \lim_{\beta \to 0^+} \left(\frac{\beta}{n(\beta - 1) - 1} \right)_{0 \to 0} = \exp\left(-\frac{\ln n}{n - 1} \right).$$

Thus, if
$$q \in \left(0, \exp\left(-\frac{n \ln n}{1-n}\right)\right]$$
 derivative (4) for any values

will cause, as expected, increasing undependability. point is outside the interval [0,1]. Therefore, increasing β of β will be positive, since $\frac{\partial Q(V_s)}{\partial \theta} = q > 0$ and the critical

> failure accounting and not accounting for CCF will be equal us take, for example, $\beta=1/4$, q=3/4, n=2. The probabilities of prisingly, cause increased dependability of the system. Let system. And finally, if $q > q_{\beta,n}$, accounting for CCF will, sur-

to
$$((1-\beta)q)^n + \beta q = \frac{129}{256}$$
 and $q^n = \frac{9}{16} = \frac{144}{256}$ respectively. In order to get this effect clarified, let us examine an ex-

will have the following result equal to 1 as well. If $n \ge 2$ and $\beta \in (0,1)$, accounting for CCF the probability of failure not accounting for CCF will be of total cause failure of one element equals 1. In this case treme situation. Let us assume that q=1, i.e. the probability

$$.1 > \beta + {}^{n}(\beta - 1)$$

impossible as, for instance, event $C_{3,4,...,n-1}$ is impossible. be higher. However, in the beta-factor model such events are model, etc.) were possible, the probability would probably of accounting for CCF (alpha-factor model, Greek letters enumerations of such events that are present in other models due to the common cause) and all possible combinatorial ments failed due to an independent cause, the others failed event of type $i_1 \wedge i_2 \wedge i_n \wedge C_{3,4,\dots,n-1}$ (1-st, 2-nd and n-th ele $i_j \vee C$. System failure is a conjunction of $\Lambda^n_{j=1}(i_j \vee C)$. If an The failure of J-th element is a disjunction of antithetic events to the 'rigidity" of the assumptions of the beta-factor model. redundant structure the probability of failure decreased due the probability would not decrease: $(1-\beta)+\beta=1$. In case of the the cause of failure. If the system consisted of one element, the beta-factor model into two components conditioned by out that the unitary probability of failure was decomposed by any element will be respectively equal to $(1-\beta)u\beta$. It turns The probabilities of one independent failure and CCF of

ing a qualitative analysis of the undependability function, parameter values can be explained quite simply by conductpendability (or undependability) function under various On the other hand, the change of behaviour of the de-

Introduction

total cause failure of an element. such events will be proportional to q, i.e. the probability of

(1)
$$n \dots l = l, p(l-1) = (l-1)q, p(l-1)q$$

or even impossible results. In case of relatively high values the use of the beta-factor model normally yields paradoxical i.e. the probability of failure q is also low. In this context, and technical systems contain highly dependable elements, ating conditions, etc. Normally, this coefficient is quite low factors, such as system structure, redundancy method, oper-Non-negative proportionality factor \(\beta\) depends on many

as follows: The logic function of operability subject to CCF will be of β and q it is quite possible to attain them.

$$X_{i} = \underbrace{\sum_{i} \sqrt{(i + i)}}_{i} + \underbrace{\sum_{i} \sqrt{(i + i)}}_{i} = \underbrace{\sum_{i} \sqrt{(i + i)}}_{i}$$

the probability of failure $Q(Y_s)$ will be defined by the

$$= (x_1) q - I = (x_2) Q$$

$$= (x_1) q - I = (x_2) Q$$

$$= (x_1) q - I = (x_2) Q$$

$$= (x_2) q + (x_1) q + (x_2) q + (x_2$$

Let us examine (2) in order to identify possible problems

Therefore, the probability of failure (2) will not exceed one. Whereas $0 \le (1-\beta)q \le 1$, then $((1-\beta)q) \le (1-\beta)q$. with the calculations.

will be fulfilled. I.e. the normalization requirement for the parallel structure

be fulfilled in order to enable a growth of dependability: accounting for CCF. Obviously, the following condition is to growth of dependability of a parallel structure system when the parameter values of the CCF model that enable a relative ity of failure of the system. For that purpose, let is identify for CCF in redundant structures causes increasing probabil-Let us verify the commonly held opinion that accounting

$$\int_{a}^{b} \left(p(\beta - I) \right) = \left(\sum_{s} I \right) \int_{a}^{b} ds$$

After a simplification we obtain the following condi-

(5)
$$p > \frac{1}{n \cdot d} p = \frac{1}{\left(\frac{d}{n(d-1) - 1} \right)}$$

graphs of function $q_{\beta,n}$ of parameter β under various n. ability calculated otherwise. Figure 1 shows the dependence calculated subject to CCF will be higher than the depend-If (3) is fulfilled, the dependability of a parallel structure

accounting for CCF will not affect the dependability of the tion of the beta-factor model to accounting for CCF. If $q=q_{\beta,n}$, This effect is what is normally expected as the natural reacwill cause decreased dependability of a redundant system. probability q is lower than boundary $q_{\beta,n}$, accounting for CCF Let us assume that parameter $\beta > 0$. Then, if the total cause

> operating conditions. errors, general failures due to commonality of design or internal or external effects, failures caused by personnel's existing CCF classification includes failures caused by cision taken by the personnel of the Chernobyl NPP. The of a number of safety systems as the result of a wrong desystem [2]. As an example, we can mention the blocking tions or internal events within the control and supervision operational processes in a nuclear powerplant, human acthat manifest themselves as the result of natural effects, sign or manufacture, errors of operation or maintenance is caused by certain shortcomings associated with the defailure of two or more structures, systems or components specific event or single specific cause [1]. A simultaneous more structures, systems or components due to a single mon cause failures (CCFs). CCF is a failure of two or often includes taking into consideration possible com-Today's dependability analysis of complex systems

> single parameter b. model involves the CCF of the whole group, it contains the of CCF of a group of the specified size. As the beta-factor found of the parameters corresponding with the probability ing on the specific model, in a certain manner, the vector is of random subgroups of a CCF group. In this case, depend-CCF group. The other models consider the possible failure (CCF groups), of simultaneous failure of all elements of a failures of a group's elements that have a common cause the simplest ones. It considers either single independent beta-factor model, etc. The beta-factor model is one of for CCF, i.e. the alpha-factor model, Greek letter model, There is a number of probabilistic methods of accounting

> of the model. of failure are analyzed to determine the possible limitations and the model parameter b, in each case the probabilities the dependence between the probability of system failure of failure of various structure diagrams. Aside from finding for CCF using the beta-factor model affects the probability The aim of this paper is to investigate how accounting

CCF in parallel structures

be equal to q". counting for CCF, the system's probability of failure will with the probability of failure q each. Obviously, not acsystem consist of n parallel equally dependable elements structure in terms of dependability subject to CCF. Let the Let us analyze the dependability of the parallel (backup)

of all elements. i, independent failure of the j-th element, C, dependent CCF mon cause. In this case the following events will be possible: Let us assume that all n element can fail due to one com-

i.e. events i_j and C will be antithetic. The probabilities of independent or common cause identical for all the elements, a failure of any element of the group may occur due to an According to the assumptions of the beta-factor model,

cause failure modeling Study of the beta-factor model application for common

Alexey N. Cherniaev, JSC RASU, Russian Federation, Moscow Valery A. Chepurko, JSC RASU, Russian Federation, Moscow Alexander V. Antonov, Rosatom Technical Academy, Russian Federation, Obninsk

model parameters on the probability of failure is shown. As in the second example, limitations diagram with two groups of CCFs is considered. The complex ambivalent effect of beta factor systems with highly dependable components. In the third example, the conventional bridge high model parameter values and are hardly practically attainable as part of engineering of real unacceptable values of system failure probability. These sets of values correspond to relatively undependability. A number of beta factor model parameter values was identified that cause that accounting for CCF subject to parameter values causes both increased and decreased the second example of primary junction of n elements with identical dependability, it is shown cally shown that accounting for CCF does not necessarily cause increased undependability. In selected structure diagram out of n parallel elements with identical dependability, it is analytidiagrams that accounts for CCF and uses the beta-factor model. In the first example, for the per features an in-depth study of the method of undependability calculation for three structure methods of solution of equations, analytical methods of function studies. Conclusions. The paof beta-factor model applicability. Methods. The calculations were performed using numerical pendability, research the effects of the model parameters on the final result, find the limitations the paper is to thoroughly analyze the beta-factor method for three structure diagrams of desystem failure probability with CCF taken into account for the beta-factor model. The Aim of selected structure diagrams of dependability, the paper analyzes the calculation method of events in a group of n events that becomes labour-intensive if the number n is high. For the tions. Other models, when used in simulation, involve combinatorial enumeration of dependent most simple in terms of simulation of dependent failures and further dependability calculai.e. the Greek letter model, alpha, beta factor and their variants. The beta-factor model is the failures of individual elements. CCA probabilities calculation uses a number of common models, whose probability cannot be expressed as a simple product of the probabilities of unconditional of premises, etc.). A dependent failure is a multiple failure of several elements of a system, due to a single common cause (e.g. a sudden change of climatic operating conditions, flooding elements that occur simultaneously or within a short period of time (i.e. almost simultaneously) Abstract. Aim. Common cause failures (CCFs) are dependent failures of groups of certain

accounting for common cause failures. Dependability 2019;2: 9-17. DOI: 10.21683/1729-2646 For citation: Antonov AV, Chepurko VA, Cherniaev AV. Research of the beta-factor model of

Keywords: common cause failure, total cause failure, total cause failure, independent failures, dependent failure

ures, antithetic events, beta factor, undependability function.

of the applicability of the beta-factor model are identified.



Alexey N. Cherniaev

71-6-2-61-6102-



vonotnA Alexander V.

Federation, Moscow, e-mail: iuliiabutenko2015@yandex.ru fessor, Bauman Moscow State Technical University, Russian Yulia I. Butenko, Candidate of Engineering, Associate Pro-Russian Federation, Moscow, e-mail: Sidn_ni@mail.ru of Department, Bauman Moscow State Technical University, Nikolay I. Sidniaev, Doctor of Engineering, Professor, Head

Received on: 17.12.2018

Ruslan N. Barbul, Senior Researcher, Deputy Director cow, e-mail: vniiem@orc.ru, vniiem@vniiem.ru and Electromechanical Systems, Russian Federation, Mos-

sian Federation, Moscow, e-mail: vniiem@orc.ru, vniiem@ Information, Control and Electromechanical Systems, Russearch and Production Corporation Space Monitoring, General for Quality and Dependability, A.G. losifianRe-

[8] Sidniaev N.I. Obzor i issledovanie fiziki otkazov dlia otsenki pokazateley nadezhnosti radioelektronnykh priborov sovremennykh RLS [Overview and research of physics of failure for the estimation of the dependability indicators of today's radar electronics]. Physical Bases of Instrumentation 100 (17.2) (2.3) (1.4.5.2) [in Puscian]

2017;2(23):4-52 [in Russian]. [9] Barlow R., Proschan F. Mathematical theory of reliability. Moscow: Sovetskoye radio; 1969.

[10] RD 50-690-89. Metodicheskie ukazania. Nadezhnost v tekhnike. Metody otsenki pokazateley nadezhnosti po eksperimentalnym dannym [Guidelines. Dependability indicatechnology. Methods of estimation of dependability indicators based on experimental data]. Moscow: State committee of the USSR for products quality management and standards; of the USSR for products quality management and standards;

1990 [in Russian].

[11] Sidniaev N.I., Makridenko L.A., GechaV.Ya., Onufriev V.N. Faktory kosmicheskoy pogody, vliaiushchie na bortovye elementy nizkoorbitalnykh kosmicheskikh apparatov [Factors of space weather affecting the airborne devices of low-orbiting spacecraft]. In: Electromechanical matters. VMIIEM studies. Proceedings of the Fourth International Science and Technology Conference Topical Issues of the Design of Space-Based Earth Remote Sensing Systems. Moscow: VMIIEM Corporation; 2016. p. 90-100

[12] PokhabovYu.P. What should mean dependability calculation of unique highly vital systems with regards to single-use mechanisms of spacecraft. Dependability

2018;18(4):28-35. [13] Antonov S.G., Klimov S.M. Method for risk evaluation of functional instability of hardware and software systems under external information technology interference.

systems under external information technology interference. Dependability 2017;17(1):32-39.

[14] Sidniaev N.I., GechaV.Ya., Barbul R.N. O sovremennykh podkhodakh razvitia teorii effektivnosti kosmicheskikh sistem [On the modern approaches of the space systems efficiency theory]. In: Sistemy upravlenia polnym zhiznennym tsiklom vysokotekhnologichnoy produktsii v mashinostroenii: novye istochniki rosta: Vserossiyskaia nauchno-prakticheskaia konferentsiia [Proceedings of the All-Russian Science and Practice Conference Complete Lifecycle Management Systems of High-Technology Engineering Products]. Moscow: Bauman MSTU Publishing; 2018. p. 69-75.

[15] Klimov S.M., Polikarpov S.V., Fedchenko A.V. Method of increasing fault tolerance of satellite communi-

cation networks under information technology interference. Dependability 2017;17(3):32-40. [16] Kolobov A. Yu., Dikoun E. V. Interval estima-

[16] KolobovA.Yu., Dikoun E.V. Interval estimation of reliability of one-off spacecraft. Dependability 2017;17(4):23-26.

About the authors

Vladimir Ya. Gecha, Doctor of Engineering, Professor, Deputy Director General, A.G. IosifianResearch and Production Corporation Space Monitoring, Information, Control

types of space technology. the economic efficiency of lifetime extension of specific for the development of specific methods of evaluation of products as part of SS, and it may be the starting point tion is examined only for the case of space technology it should be noted that the proposed method of estimastages of design and engineering development. Although in general, creation of highly dependable products at the reduction of costs of experimental research of SC and, the development of SC, significantly contribute to the qualitative requirements and rules to be observed during the aerospace industry, i.e. a system of quantitative and currently under development in a number of branches of their major advantage. The design rules for dependability mation does not require a statistical experiment, which is confirmed at the respective stage of activities. The confirof elements and SS development, shall be observed and dependability in the technical specifications for each stage organizational (design and software) requirements for analysis is formulated. The qualitative, technical and in the existing methods. The problem of dependability degree to which such factors are taken into consideration way the external factors affect the dependability and the factors on the dependability. The paper examines the the failure rate, non-linear nature of the effect of external of the operating mode or external effects, irregularity of puting, disregard of such factors as the effect of deviations

References

[1] Gnedenko B.V., BeliaevYu.K., Soloviev A.D. Matematical aticheskie metody v teorii nadezhnosti [Mathematical methods in the dependability theory]. Moscow: Nauka; 1965 [in Russian].

[2] Sidniaev N.I. Teoria planirovania eksperimenta i analiz statisticheskikh dannykh: uchebnoe posobie [Experimental design theory and statistical data analysis: study guide]. Moscow: Izdatelstvo Yurayt; 2011 [in Russian].

[3] Morozov D.V., Chermoshentsev S.F. Method of improving the functional dependability of the control systems of an unmanned aerial vehicle in flight in case of failure in the onboard test instrumentation. Dependability 2019;1:....

DOI: 10.21683/1729-2646-2019-19-1...
[4] Sidniaev N.I., Sadykhov G.S., Savchenko V.P. Modeli i metodv otsenki ostatochnogo resursa izdeliv radioele-

i metody otsenki ostatochnogo resursa izdeliy radioelektroniki [Models and methods of estimation of the residual operating life of electronics]. Moscow: Bauman MSTU publishing; 2015 [in Russain].

[5] Morris S.F. Use and application of MIL-HDBK-217. Solid Slate Technology 1990;33(6):65-69.

[6] Sidniaev N.I. Matematicheskoe modelirovanie otsenki nadezhnosti obiektov slozhnykh tekhnicheskikh sistem [Mathematic simulation of dependability estimation of complex technical systems]. Problemy mashinostroenia i nadezhnosti mashin 2003;4:24-31 [in Russian].

[7] Brennom, T.R. Should US MIL-HDBK-217 be 8888.

IEEE Trans. Reliab. 1988;37(5):474-475.

$$\overline{\phi}_{con}(R_n) = (n+1)! n! \times R_{as}^{n-m} (1-R_{as})^m R_n^{n-m} \times \sum_{n} \frac{(1-R_n)^m}{(m!)^2} [(n-m)!]^{2^{-}}$$

a dependence of the following type should be used: the level R_n while testing n products with dependability R_{as} , can be obtained, $\phi: R_{as} \times n \times R_n \to \gamma_n$. In order to confirm Using this dependence, the functional correspondence

$$zb^{m}(z-1)^{m-n}z\int_{a}^{1} \frac{1}{z(m-n)!m} \bigg]^{m} \bigg[\frac{n}{(m-n)!m} \bigg]^{m} \bigg[\frac{1}{z(m-n)!m} \bigg]^{m-n} \int_{0-m}^{m-n} \int_{0-m}^{m} (1+n) dx \bigg]^{n}$$

.00.0 of c1.0 morf the achieved and confirmed levels of guarantee goes down 500 and 2000 items respectively. The difference between and 2% of the total cost for the scope of application 100, share of costs for dependability confirmation is 10%, 5%hundred, for ensuring the guarantee of 0.9 the optimal programs with the scope of product application above a unique product creation programs. At the same time, for efficiency of probabilistic indicators alone in planning cation programs of various scope suggest insufficient -ilqqs rather for the level of guarantee $\gamma = 0.9$ for product appliresults of the problem of optimal values of R_{as} , n, γ_n , C, sion $\sigma^2 = R_{as} (1 - R_{as}) / n$. Thus, for instance, the solution tion of the a posteriori density of distribution with dispercalculatedy, can be simplified using a normal approxima-In case of high n (around 20 and more) and $m \ge 1$ the

enable the solution of the problem under a higher level of of higher quality of SC application management - may efficient protection measures as part of DP that – by means ures, etc. In this context, it would be reasonable to develop the possibility of new unforeseen problems, types of failthe previous DP of similar products, which does not rule out dependence $R_{as} = f(C)$ is defined based on the experience of be directed towards ensuring dependability. The form of of small scopes of application the priority funding should more efficient in cases of large scopes of application. In case Calculations show that confirmation of dependability is

The paper proposes a new approach to the analysis of Conclusions initial uncertainty.

setting, while subsequently operational data is used. Thus, Judgement is the source of input data for dependability model when there is still not enough statistical information, expert advantages of the developed method is that in situations the analysis and supervision of dependability. One of the (SS) that allows significantly improving and simplifying operational dependability of multicomponent space systems

problem of insufficiency of information for classical comclassified and examined. The authors acknowledge the The existing methods of dependability analysis are

a system's dependability model is maintained up to date

throughout its life cycle stages.

and the expired costs is assumed to be defined by functional euce petween the achieved level of product dependability guarantee. In the context of the above example, the dependshows the applicability of stochastic determinism in ensuring unacceptable way of ensuring a guaranteed result. Analysis initially planned cost of the program, which is obviously an scale manufacture can be several times higher than the the compensation of statistical instability through larger unique items (N_{req} of several units) the costs associated with of the total cost and up to 50% of the DP cost. Finally, for sociated with the instability compensation account for 25% program. For low-volume items (N_{req} of tens) the costs as-

correspondence $\phi: C \to R$ with the following properties:

 $\forall (s_i, s_j \in S) \neq (s_i), w_j = \phi(s_j) : ((s_i), w_i, M_j) \neq (s_i, s_j) \neq (s_i, s$

the acceptable error of the extremum seeking procedure. tion that ensures the maximum indicator R to the definition of which allows finding clearly the best strategy of cost alloca-

tion of domain $f: R \times N \to N_G$. introduction of the level of practical guarantee and constructeed result allows eliminating this uncertainty through the nature of the number of successes. The principle of guaranuncertainty of functional correspondence, i.e. the random The only type of considered uncertainty consists in the

The next step in accommodating the problem definition

level of dependability[2]. of the strategy of experimental confirmation of the achieved problem would suggest an investigation into the expediency successful application γ_{ap} : $\gamma = \gamma_{as} \gamma_{ap}$. Such definition of the on both the guarantee of assurance γ_{as} and the guarantee of guarantee of successful program performance y now depends level of practical guarantee of assurance γ_{as} . The practical the construction of a confidence interval $[\underline{R}(\mathbb{C}), \mathbb{I}]$ with the plication of the principle of guaranteed result is based on constants that make the correspondence. Consistent apgeneral case, can be defined with a joint distribution of the uncertainty of correspondence $\phi: C \to R$ that, in a fairly to the real-world problems consists in accounting for the

tests, are random and on the assumption of independence of each test $\{n, m\}$, where m is the number of successful level of dependability R_n it is planned to test n SC. The result Let us assume that for the purpose of confirming a certain

of outcomes have the probability

$$P\left\{m,m\right\} = \binom{n}{m} R_{as}^{n-m} \left(1 - R_{as}\right)^{m}$$

mate of the confirmed level of dependability R_n outcome $\{n, m\}$ a conditional density of the Bayesian estiwhere R_{dep} is the level of assured dependability. For each

$$\phi_{con} \left(R_n / n, m \right) = \frac{R_n^{n-m} (1 - R_n)^m \phi (R_n)}{\int_{0}^{1} R_n^{n-m} (1 - R_n)^m \phi (R_n) dR_n}.$$

of the confirmed level of dependability will be: The weight-average conditional density of the estimate

according to formula [4]: under the known probability of no-failure of SC is identified

$$P\{w_i\} = C_N^i R^i (1 - R)^{N-i}.$$

of such sample events. therefore its probability is defined as the sum of probabilities realm W.The event W_1 is the union of all ω_i under $i \ge N_{\mathrm{req}}$ This formula defines the probability measure over the

$$P\{W_{1}\} = \sum_{i=1}^{N} C_{i}^{N} R_{i} (1-R)^{N-i}$$

$$P\{W_{i}\} = \sum_{l=N_{red}}^{N} C_{i}^{N} R_{i} (1-R)^{N-l}$$

instability of the result as compared to the mathematical component associated with the compensation of statistical [11]. Additionally, calculations can help identify the cost from the required number $N_{\rm req}$ for specific sets of input data standardized unit costs $C_{un.s} = C_{un} \setminus C_0$, where $C_0 = C_{10} + C_{20}$, that defines the dependence of unit costs $C_{un} = C_{\Sigma} / N_{req}$ and extremum seeking is set forth in [2, 9] as part of a program $R' = R_1 R_2$ under minimal cost $C = C_1 + C_2$. The procedure of instance, that may include finding vector R_1 , R_2 , that ensures of auxiliary optimization can be defined and solved. For comboueuts K_1 , K_2 , K_3 . Ineach particular case the problem dependability R can be ensured by various combinations of R it defines N_G . The solution is complicated by the fact that $C_{\Sigma, min}$, correspondence ϕ solves a part of the problem: for each ensures the minimal total cost of program implementation of strategies, out of which must be chosen the value $R_{\rm ed}$ that correspondences $\phi: R \to N$. If the set R is taken as a space will find the possible ways of constructing the functional value of N will be equal to the target value $N_{\rm G}$. Thus, we we obtain compliance with condition $P\{W_i\} \ge \gamma$ [2]. The N_{req} we can increase N thus redefining the space W₁ until required level of guarantee γ under known values of R and of successful program performance. In order to ensure the This probability ensures the level of practical guarantee

$$\nabla C^{\lambda} = \frac{C^{2}}{C} \left(N^{L} - \frac{K}{N^{\text{tot}}} \right)^{2}$$

as well as the cost component associated with assurance

of dependability

$$\Delta C_R = 1 - \Delta C_Y - \frac{C_D}{C_0} \left(N_{req} + N_{ed0} \right).$$

total cost and about 20 % of the cost of the dependability with the instability compensation account for 10% of the serial production items $(N_{\text{req}} > 10^2)$ the costs associated fraction of the total cost of the dependability program. For percent of the total cost of program and an insignificant dom phenomena relative to average ones account for several results that compensate for the statistical instability of ranitems $(N_{req} > 10^{\circ})$ the additional cost of ensuring guaranteed basis of guaranteeing success [1, 4, 12]. For mass-production ous capabilities of using probabilistic requirements as the the range of values of mass product manufacture with vari-The analysis of the last two formulas allows identifying

> maturity, R_{10} , R_{20} , R_{30} are the initial (minimal) levels of comcomponent that takes into consideration the quality level of the quality level of manufacture and quality assurance, $R_3 = I - (I - R_{30}) \exp[-\alpha_3 \left(N_{ed} - N_{ed0}\right)]$ is the dependability dependability component that takes into consideration redundancy, $R_2 = 1 - (1 - R_{20}) \exp[-\alpha_2 (C_2 - C_{20})]$ is the sideration the effect of components failure subject to is the dependability component, that takes into con- $R = R_1 R_2 R_3$, where $R_1 = 1 - (1 - R_{10}) \exp[-\alpha_1 (C_1 - C_{10})]$ cost as part of the dependability program is known to be ence between the level of product dependability and the used as the product dependability indicator. The dependoperation time is specified, probability of no-failure R is the need for N_{req} of such products. The required satellite application of a single-use satellite consist in satisfying Let the objective of a one-off program of creation and tees depending on the scope of SC application [4, 5, 7]. dependability indicators as the basis for ensuring guaran-Let us examine the application field of probabilistic

> Possible solutions and strategies take into consideration

that define the growth rate of components of indicator R as

the experimental development, α_1 , α_2 , α_3 are the parameters C_{10} , C_{20} , N_{00} of resources C_{1} , C_{2} and products N_{ed} spent on

boueuts K_1, K_2, K_3 that correspond to the minimal expenditure

the costs increase.

ability of each item and through extended scale of products poth through increased expenses on higher level of dependthe fact that achieving the specified objective is possible

As when N SC are manufactured, the number of SC manufacture [14].

such that outcome set W can be divided into two subsets W₁ and W₂ From the point of view of achieving the set goal the whole fact that the use of NSC resulted in exactly $N_s = i$ successes. use the sample space. Each sample event $\boldsymbol{\omega}_i$ consists in the operation of $N_s \ge N_{req}$ products. As the outcome set we will required number of SC [11, 15] that guarantees successful tion of the total cost of development and manufacture of the dependability assurance measures consists in the minimizadependability of the product and allocation of resources to solution that involves the definition of the required level of $C^{\Sigma} = (C^{I} + C^{\Sigma})(N^{eq} + N^{C})$ The rationality (optimality) of the implementationC₂ can be identified using the dependence successful mission completion. The total costs of program $N_{\rm G} = \int \left(N_{\rm reg}, \beta, R \right)$ can be clearly identified that guarantees and N_{req} subject to known R the number of manufactured SC which unambiguously defines level R. For the specified γ of components R_1 , R_2 , R_3 or corresponding costs C_1 , C_2 , N_{or} the practically achievable guarantee would be γ , where $\gamma=P\{N_s\geq N_{req}\}$. Each solution is defined by the vector N_s that successfully completed their mission is random,

$$\forall (M \leq i) \leftrightarrow (M \leq M) (M, \dots, I, 0 = i) \forall$$

$$\forall (M \leq M) (M, \dots, I, 0 = i) \forall$$

$$\forall (M \leq M) (M, \dots, I, 0 = i) \forall$$

In this context the probability of event $w_i \leftrightarrow \left\{N_y = i\right\}$

Introduction

solutions are adjusted [5-8].

required quantitative values of dependability indicators of • definition of dependability norms (specification of the

system components),

the standard values of system dependability indicators by deviation norms, that must be observed while confirming · definition of confidence probability or mean square

• specification of managerial and technical requirements the time the state tests are complete,

 definition of the procedure of confirmation of dependfor dependability per system elements,

ability requirements per design stages of system compo-

definition is as follows [8, 9,13]. In the general formulation, the dependability norms

number of factors under consideration, L is the number of of the *i*-th element, Φ_v is the considered v-th factor, S is the where P_i is the pointwise value of the dependability estimate $\phi_i \left\{ P_i, i = I, N, \Phi_v, v = I, S \right\}, l = I, L;$ distribution function of faultless operation time of components $F_i = P_i \left\{ f \left(\overline{C_i} \right) \right\}, i = \overline{I}, \overline{N};$ objective function (functional) $g = g \left\{ P_i, i = \overline{I}, \overline{N} \right\}, i = \overline{I}, \overline{N};$ of relations between dependability and considered factors values) of the system dependability indicator P, functions failures (r_i) , $\int_s \left\{ r_i ; i = 1, N \right\}$, required value (or a series of are known [9, 10, 14]: type of joint density of SC element structure and performing certain functions. The following Let SC consist of N elements integrated with a certain

It is required to find such values of elements' dependfunctions of relations.

If it is required to design a SC with minimal cost or mass, ability that optimize the objective function g [1, 9].

the cost or mass g = C, $C = C \left\{ P_i, i = 1, \overline{N} \right\}$, or g = M are chosen as the objective function, $M = M \left\{ P_i, i = 1, \overline{N} \right\}$.

The solution involves finding vector $P = \left\{ P_1, P_2, \dots, P_N, \dots, P_N \right\}$

continues starting from vector $P = \overline{P}_{p}$ i.e. vector that satis-If it is fulfilled, the problem is solved, if not, the solution i.e. $B = \Phi(P)$, then condition $B = \Phi(P) \ge P_B$. Is verified. problem is solved using the safety function as function $\Phi(P)$ requirements, but safety requirements as well. Then, the takes into consideration not only system dependability $\Phi(P) = \max \Phi(P)$ if $M(P) \leq M_0$. Norm definition often limitations, then $\Phi = \Phi \left\{ P_{i,j} = \overline{I,N} \right\}$. Vector P is found that maximizes $\Phi(\overline{P})$, i.e. $\Phi(\overline{P}) = \max \Phi(P)$ if $C(\overline{P}) \le C_0$ or that minimizes C or M, i.e. $C(\overline{P}) = \min(C(\overline{P});$ $\overline{P} = \{P_1, P_2, ..., P_N, P_N\}$ or $M(\overline{P}) = \min(M(\overline{P});$ $\overline{P} = \{P_1, P_2, ..., P_N, P_N\}$ if $\Phi(P) \ge \Phi_0$. If the task consists in maximizing function $\Phi(P)$ under the given cost (or mass)

Methods of specific implementation

fies the solution at the first stage.

element [15,16], as well as the actual limitations. tion the characteristic aspects of application of a SC and its ability requirements are developed that take into consideraof specification and norm definition of quantitative dependvalues of dependability indicators, algorithms and methods that have no analogs and prototypes, instead of strict standard In the process of creation of space technology products

> are evaluated in terms of dependability and the adopted service jointly with the developing units, the design outputs tormalization of a project by the company's dependability design and process engineering solutions before the final are used. After the selection of all project, architectural, DP and dependability confirmation models (procedures) development [1-4]. For that purpose, DP models, standard of dependability requirements confirmation at all stages of as well as the development and approval of the procedure (DP) of a product as a whole, its components and element, velopment is the substantiation of the dependability program the relationships among all the parties involved in the SC deability of spacecraff (SC). An important activity that governs significance within the overall problem of ensuring dependtechnical documentation for prototype production are of key the technical specifications for a system to the delivery of The stages of design, starting from the development of

repairs, storage and transportation [4]. Due to the complexspecified modes and conditions of operation, maintenance, characterize the ability to perform the required functions in and within the set limits the values of all parameters that understood as the property of and item to maintain in time cording to the Russian national standard, dependability us of the primary characteristics of a technical system [3]. Actheir characteristics and state analysis. Dependability is one quently, their operation involves real-time supervision of both hardware and software components [9-12]. Conse-

becomes more complicated as well [5-8]. obtaining the numerical values of dependability indicators relations among the individual components), the process of ity of SC structure (and, subsequently, complex nature of 2C is a complex multicomponent system that includes

objectives of the problem The methodological aspects and

application, i.e. program execution as a whole [6, 7]. estimating and minimizing the total cost of development and level of product dependability can be clearly determined by of guaranteed mission completion, the minimal required system efficiency determine the required quantity and level elements from their consequences. If preliminary studies of manufacture and operation, as well as protection of system vention and detection of failures related to the design, A number of methods and measures are used for pre-

ments involves: Specifying system and components dependability requireof products) with the guarantee not lower than γ_{req} [9-12]. mission completion not less than N_{req} times (required number and operation of the whole fleet of products that ensures consideration: costs of system development, manufacture this case all components of the total cost must be taken into Development of a limited use system (tens of items). In

• making a list of dependability indicators,

design and engineering studies Method of dependability assessment of spacecraft in

Ruslan N. Barbul, A.G. losifian Research and Production Corporation Space Monitoring, Information, Control and Elec-Electromechanical Systems, Russian Federation, Moscow Vladimir Ya. Gecha, A.G. losifianResearch and Production Corporation Space Monitoring, Information, Control and

tromechanical Systems, Russian Federation, Moscow

10.21683/1729-2646-2019-19-2-3-8

Yulia I. Butenko, Bauman Moscow State Technical University, Russian Federation, Moscow Nikolay I. Sidniaev, Bauman Moscow State Technical University, Russian Federation, Moscow













forth the fundamentals of the dependability theory for SS design, methods of collection and pendability and comparison of dependability of various SS. For that purpose, the authors set ods of predicting the dependability of designed devices, design of devices with desired deefficiency of complex systems, use of redundancy in spacecraft (SC) design. It presents meth-Abstract. The paper examines the matters of operational dependability of space systems (SS),

nomic aspect in the research dedicated to SS lifetime extension.

shall be observed and confirmed at the respective stage of activities. The paper presents the dependability in the technical specifications for each stage of elements and SS development, noted that the qualitative, technical and organizational (design and software) requirements for and the degree to which such factors are taken into consideration in the existing methods. It is examined. The paper also takes a look at the way the external factors affect the dependability of the failure rate, non-linear nature of the effect of external factors on the dependability are case of classical computing. The effect of nominal deviations of the external effects, irregularity examined. The authors outline the problems of ambiguity of information of the input data in ating life estimation method. The existing methods of dependability analysis are classified and various tested types of redundancy, lifetime extension of SC units based on the residual operat the stage of design and manufacture is analyzed. The paper also cites the design ratios for dependability tests. Methods, mathematical models are developed, the equipment architecture processing of data of equipment dependability based on the results of operation and special

sessment of spacecraft in design and engineering studies. Dependability 2019;2: 3-8. DOI: For citation: GechaVYa, Barbul RN, Sidniaev NI, ButenkoYul. Method of dependability as-

Keywords: dependability, methods, operating life, design, spacecraft, operating life assess-

physical premises of operating life depletion. Attention is drawn to the importance of the eco-

methods of estimation of technical item operating life with the focus on those based on the

Nikolay I. Sidniaev

Yulia I. Butenko

CONTENTS

	Popov V.G., Sukhov F.I., Bolandova Yu.K. Economic assessment of the
	Risk management. Theory and practice
ZÞ42	Efimov V.V. On the matter of the terminology of aeronautical structures survivability
EE	to safety management of railway infrastructure facilities
	Baranov L.A., Kulba V.V., Shelkov A.B., Somov D.S. Indicator-based approach
	Functional safety and survivability. Theory and practice
82	diagnostic tools of onboard equipment
	Rozenberg E.U., Korovin A.S., Penkova N.G. Model of efficiency assessment of
ZZ	statistical tests for processing small samples of biometrics data
	Ivanov A.I., Kuprianov E.N., Tureev S.V. Neural network integration of classical
	Functional dependability. Theory and practice
81	Mikhailov V.S. Estimation of the gamma-percentile life for the binomial test plan
6	application for common cause failure modeling
	Antonov A.V., Chepurko V.A., Cherniaev A.N. Study of the beta-factor model
ε	assessment of spacecraft in design and engineering studies
	Gecha V.Ya., Barbul R.N., Sidniaev N.I., Butenko Yu.I. Method of dependability
	Structural dependability. Theory and practice

accidental risk of natural emergencies to train traffic.....48

EDITORIAL BOARD

Valentin A. Gapanovich, PhD, President, Association of of the Research Board under the Security Council of the Russian (Gomel, Belarus) Igor B. Shubinsky, PhD, D.Sc in Engineering, Professor, Expert Editor-in-Chief

(Moscow, Russia)

Operational Availability, Maintainability and Safety, TUV Schäbe Hendrik, Dr. rer. nat. habil., Chief Expert on Reliability, Deputy Editor-in-Chief Federation, Director General CISC IBTrans (Moscow, Russia)

Sciences of Ukraine (Kharkiv, Ukraine) Center for Nuclear and Radiation Safety, National Academy of Professor, Head of Department, State Scientific and Technical Mikhail A. Yastrebenetsky, PhD, D.Sc in Engineering, Deputy Editor-in-Chief

Rheinland InterTraffic (Cologne, Germany)

Director General, JSC MIIAS (Moscow, Russia) Aleksey M. Zamyshliaev, PhD, D.Sc in Engineering, Deputy Executive Editor

Department, JSC MIAS (Moscow, Russia) Evgeny O. Novozhilov, PhD, Head of System Analysis Technical Editor

Director General, JSC MIIAS (Moscow, Russia) Igor N. Rozenberg, PhD, D.Sc in Engineering, Professor, Chairman of Editorial Board

Group under the President of RAS on Risk Analysis and Safety of the Russian Academy of Sciences, Chairman of the Working Chief Researcher, Mechanical Engineering Research Institute corresponding member of the Russian Academy of Sciences, Nikolay A. Makhutov, PhD, D.Sc in Engineering, Professor, Cochairman of Editorial Board

EDITORIAL COUNCIL

(Moscow, Russia)

Alexander V. Bochkov, PhD, Deputy Head of Division for University of Transport (MIIT) (Moscow, Russia) of Information Management and Security Department, Russian Leonid A. Baranov, PhD, D.Sc in Engineering, Professor, Head Traffic Engineering, University of Belgrade (Belgrade, Serbia) Zoran Z. Avramovic, PhD, Professor, Faculty of Transport and

Gazprom Gaznadzor, Moscow, Russia Analysis and Ranking of Monitored Facilities, Analytic Center,

Research Laboratory, Belarusian State University of Transport Research Officer and Head of Technology Safety and EMC Konstantin A. Bochkov, D.Sc in Engineering, Professor, Chief

National Research University "Higher School of Economics" Professor of Moscow Institute of Applied Mathematics, Viktor A. Kashtanov, PhD, M.Sc (Physics and Mathematics), Railway Technology Manufacturers (Moscow, Russia)

of Department, 4th Central Research and Design Institute of the Sergey M. Klimov, PhD, D.Sc in Engineering, Professor, Head

Yury N. Kofanov, PhD, D.Sc. in Engineering, Professor of Mos-Ministry of Defence of Russia (Moscow, Russia)

University "Higher School of Economics" (Moscow, Russia) cow Institute of Electronics and Mathematics, National Research

Science and Technology (Cochin, India) Professor Emeritus, Department of Mathematics, University of Achyutha Krishnamoorthy, PhD, M.Sc. (Mathematics),

Eduard K. Letsky, PhD, D.Sc in Engineering, Professor, Head

Transport (MIIT) (Moscow, Russia) of Chair, Automated Control Systems, Russian University of

Viktor A. Netes, PhD, D.Sc in Engineering, Professor, Moscow

(MTUCI) (Moscow, Russia) Technical University of Communication and Informatics

Research Center of Dependability and Quality Management Ljubiša Papić, PhD, D.Sc in Engineering, Professor, Director,

(DQM) (Prijevor, Serbia)

Visiting Professor, Faculty of Mathematics, Technion - Israel Roman A. Polyak, M.Sc (Physics and Mathematics), Professor,

Informatics and Automation of the Russian Academy of Sciences Director for Academic Affairs, Saint Petersburg Institute for Boris V. Sokolov, PhD, D.Sc in Engineering, Professor, Deputy Institute of Technology (Haifa, Israel)

University (Saint Petersburg, Russia) Department, Peter the Great St. Petersburg Polytechnic Lev V. Utkin, PhD, D.Sc in Engineering, Professor, Telematics (SPIIRAS) (Saint Petersburg, Russia)

Chief Researcher, Laboratory of Technical Diagnostics and Fault Evgeny V. Yurkevich, PhD, D.Sc in Engineering, Professor,

Tolerance, ICS RAS (Moscow, Russia)

, Format 60x90/8, Paper gloss Volume Papers are reviewed. Signed print Printing order Pushkarev str., 27. Circulation: 500 copies.

board. Manuscripts are not returned. only with the written permission of the editorial publications. The reprint of materials is granted not coincide with the point of view of authors' opinion of members of the editorial board may Papers are published in author's edition. The Papers are reviewed.

> Dubrovskaya A.Z. Director LLC Journal "Dependability" "Journal "Reliability" Ltd Publisher of the journal THE JOURNAL PROMOTER:

11,2001. Registration certificate IIN 77-9782, September, Broadcasting and Mass Communications. It is registered in the Russian Ministry of Press,

Reliability of the Russian Academy of the Pussian Academy

AND LLC PUBLISHING HOUSE «TECHNOLOGY» INSTITUTE OF INFORMATISATION, AUTOMATION AND COMMUNICATION ON RAILWAY TRANSPORT» (JSC «NIIAS») THE JOURNAL IS PUBLISHED WITH THE PARTICIPATION AND SUPPORT OF THE JOINT-STOCK COMPANY «RESEARCH AND DESIGN

Printing place, 432049, Ulyanovsk,

Printed by JSC "Regional printing house,

ur.ytilidsbnaqəb.www

Ltd Journal "Dependability"

Building 1, office 209

Str. Nizhegorodskaya, 27,

The address: 109029, Moscow,